

Ing. Dan Micșa

TEZA DE DOCTORAT

Metode de generare,
conversie, import, export, analiză și
fabricație optimizată a suprafețelor
discrete

UNIVERSITATEA "POLITEHNICA"
TIMIȘOARA
BIBLIOTECA CENTRALĂ

Nr. Inv. 622.114

Dulap 366 Lit. A

Conducător științific: _

Prof. dr. ing. George Drăghici

BIBLIOTECA CENTRALĂ
UNIVERSITATEA "POLITEHNICA"
TIMIȘOARA



1998

Mulțumiri

Mulțumesc în primul rând părinților că s-au gândit să mă facă și să mă crească independent și zvăpăiat, cu înțelegere pentru afecțiunile mele cam “exotice” pentru calculatoare, la începutul anilor ‘80.

Mulțumesc soției pentru liniștea, înțelegerea și sprijinul oferit în redactarea acestei lucrări. Mulțumesc fiicei mele, care nu m-a lăsat să dorm nopțile și să lucrez zilele, oferindu-mi timp berechet pentru a gândi.

Autorul se simte dator de a le mulțumi tuturor dascălilor care i-au călăuzit sinuosul drum spre altarul științei.

Acum, din punct de vedere științific, primele gânduri de recunoștință se îndreaptă spre conducătorul tezei, **prof. dr. ing. George Drăghici**, care a îndrumat munca doctorandului cu multă competență (via email), punând la dispoziție atât cunoștințele sale, cât și un material bibliografic personal foarte prețios prin conținut, sferă de cuprindere și mai ales actualitate.

Gânduri de recunoștință se îndreaptă către **prof. dr. ing. Gavril Urdea**, **prof. dr. ing. Nicolae V. Ivan**, **prof. dr. ing. George G. Savii**, care m-au onorat, în calitate de președinte, respectiv referenți, în comisia de doctorat.

Alte gânduri se îndreaptă spre **prof. dr. ing. Constantin Stăncescu**, cel care, în decursul anilor, și-a găsit întotdeauna timp să discute și să publice în prima revistă de CAD din România, “*Hello CAD fans*”, o mulțime de articole despre rezultatele și produsele autorului, precum și pentru onoarea de a mă asista în calitate de referent.

Mulțumiri speciale **șef lucr. ing. Mircea Șelariu**, care a fost oricând dispus să stea și să analizeze cu mine diferite aspecte legate de această lucrare.

De asemenea, gândurile mi se îndreaptă spre prietenul, **ing Dorin Dascălu**, care în ultimii 5 ani a fost primul care a testat și și-a expus observațiile valoroase despre utilitatea și posibilele căi de îmbunătățire ale algoritmilor expuși.

Nu poate fi omis din aceasta sumară înșiruire prietenul și exvecinul meu, **ing. Mircea Bunea**, care mi-a hrănit spiritul cu o mulțime de cunoștințe în domeniul DTP (DeskTopPublishing - paginăție computerizată sau aranjare în pagină) și m-a ajutat la corectarea acestei lucrări.

Mulțumesc conducerilor întreprinderilor **ROMACOST**, **ELBA** și **CAROM** pentru sprijinul material și științific acordat în perioada 1991-1993.

Mulțumesc **Domnului ing. David Boucher** - director tehnic la **Patbtrace Engineering Systems Ltd**, care mi-a oferit oportunitatea de a-mi continua studiile și de a găsi algoritmilor și aparatelor matematice o finalitate comercială.

Dacă ar fi să menționez un singur lucru care m-a ajutat imens în această muncă de analiză și sinteză, acesta ar trebui să fie, bineînțeles, **INTERNETUL**, cu o mulțime de aparate matematice, descrieri de produse, oameni fără principii, plini numai de cunoștințe și umor, care de-a lungul vremii mi-au fost de un real ajutor, împingându-mă să continui și să finalizez această lucrare.

Cuprins

1. Introducere	4
2. Stadiul actual	8
2.1. Introducere	9
2.2. Evoluția metodelor de stocare.....	10
2.2.1. Seturi de puncte.....	10
2.2.2. Curbe și suprafețe analitice multiparametrice.....	11
2.2.3. Curbe la o înălțime dată 2D.....	12
2.2.4. Polilinii plane.....	12
2.2.5. Suprafețe extrudate.....	13
2.2.6. Polilinii în spațiu.....	13
2.2.7. Solide simple.....	14
2.2.8. Suprafețe discrete fațetate.....	15
2.2.9. Suprafețe discrete demulabile.....	16
2.2.10. Suprafețe și curbe superioare.....	17
2.2.11. Solide sculpturale.....	18
2.2. Evoluția limbajelor de programare.....	21
2.3. Evoluția sistemelor de proiectare și fabricație pe plan mondial.....	23
2.4. Evoluția sistemelor de proiectare și fabricație pe plan național.....	24
2.5. Concluzii	25
3. Metode de notație și clase utilizate	26
3.1. Introducere	27
3.2. Limbajul pseudocod	28
3.2.1. Clasă.....	28
3.2.2. Obiect.....	29
3.2.3. Operator.....	29
3.2.4. Lista cu parametri	29
3.2.5. Indexul vectorilor.....	30
3.2.6. Enumerare.....	30
3.2.7. Algoritm.....	30
3.2.8. Cuvinte cheie.....	32
3.2.9. Comentariu.....	32
3.3. Clase utilizate.....	34
3.3.1. Clasa Întreg.....	34
3.3.2. Clasa Boolean.....	34
3.3.3. Clasa Real.....	35
3.3.4. Clasa Punct.....	36
3.3.5. Clasa SetDeCaractere.....	37
3.3.6. Clasa BazăVectorială.....	37
3.3.7. Clasa Curbă.....	37
3.3.8. Clasa CurbăSuperioară.....	39
3.3.9. Clasa Plasă.....	39
3.3.10. Clasa SuprafețeSuperioare.....	41

3.3.11. Clasa CapDeSculă	41
3.3.12. Clasa BazăDiscretă.....	43
3.3.13. Clasa SuprafețeDiscrete	43
3.3.14. Clasa Mască.....	47
3.3.15. Colectiile.....	48
3.4. Concepte introduse.....	49
3.5. Concluzii	53
4. Metode de generare și modelare	54
4.1. Introducere	55
4.2. Metode de generare discrete.....	56
4.2.1. Plan orizontal.....	56
4.2.2. Plan înclinat	56
4.2.3. Funcție $Z(x, y)$	57
4.2.4. Interpolarea prin secțiuni	57
4.2.5. Combinarea cu o altă SD	59
4.2.6. Exemple despre metodele discutate	60
4.2.7. Set de puncte.....	61
4.2.8. Interpolarea capetelor de scule.....	63
4.2.9. Calculul SD înfășurătoare și SD de racordare statice.....	65
4.2.10. Calculul SD înfășurătoare și SD de racordare dinamice.....	66
4.3. Filtre.....	69
4.3.1. Filtre de creare	69
4.3.2. Filtre de distrugere.....	71
4.4. Metode de generare vectorială.....	72
4.5. Concepte introduse.....	76
4.6. Concluzii	77
5. Metode de conversie și formate de import – export	78
5.1. Introducere	79
5.2. Metode de conversie.....	80
5.2.1. Conversia în curbe.....	80
5.2.2. Proiectarea unei familii de curbe pe suprafața discretă.....	84
5.2.3. Offset pe SD.....	85
5.2.4. Convertirea în plase patrulater	86
5.2.5. Convertirea în reprezentare triunghiulară.....	87
5.3. Formate de import - export.....	88
5.3.1. Formatul DXF.....	91
5.3.2. Formatul STL	93
5.3.3. Formatul CL.....	94
5.3.4. Formatul NC.....	96
5.4. Concepte introduse.....	100
5.5. Concluzii	101
6. Metode de analiză și optimizare	102
6.1. Introducere	103
6.2. Concepte introductive	104
6.3. Metode de analiză a SD.....	105
6.3.1. Calculul secțiunilor paralele cu Z constant.....	105
6.3.2. Calculul secțiunilor paralele în planul XY	106

6.3.3. Calculul de detecție a zonelor plane	107
6.3.4. Calculul zonelor critice la frezarea secțiunilor paralele în planul XY.....	111
Suprapunerea familiilor de curbe	115
6.3.6. Calculul curbelor echirugozitate.....	116
6.3.7. Calculul materialului nefrezabil.....	120
6.4. Metode de analiză a curbelor.....	126
6.4.1. Rejecția punctelor coliniare.....	126
6.4.2. Interpolări superioare.....	127
6.4.3. Minimizarea mișcărilor în avans rapid.....	127
6.4.4. Modul pseudoadaptiv fără DS.....	130
6.4.5. Eliminarea punctelor de inflexiune.....	131
6.5. Metode de analiză mixtă.....	133
6.5.1. Spiralele lui Billator.....	133
6.5.2. Modul pseudoadaptiv cu SD.....	140
6.5.3. Detecția interferențelor.....	140
6.6. Optimizarea traseelor de sculă	142
6.7. Calculul rețelelor de difracție.....	145
6.8. Metode de vizualizare a curbelor	148
6.9. Concepte introduse.....	150
6.10. Concluzii.....	151
7. Concepte introduse.....	152
8. Concluzii.....	159
Anexe	164
Anexa A: Clase utilizate.....	165
Anexa B: Abrevieri.....	166
Anexa C: Definiții	167
Anexa D: Legături web.....	171
D1. Sisteme mari de proiectare și fabricație	171
D2. Alte sisteme de proiectare și fabricație	171
D3. Sisteme de proiectare.....	171
D4. Procesoare APT.....	172
D5. Sisteme de fabricație	172
D6. Informații despre proiectare și fabricație.....	173
D7. Informații generale despre proiectare și fabricație.....	173
D8. Grupuri de discuții despre proiectare și fabricație.....	174
D9. Alte liste de pagini web destinate proiectării și fabricației WEB List.....	174
BIBLIOGRAFIE.....	175

1. Introdúcere

Prezenta teză de doctorat reprezintă rezultatul unei activități de cercetare de peste 7 ani a autorului, în domeniul proiectării și fabricației asistate, desfășurată în România, la BillaSoft srl, o mică firmă născută din dorința de a face ceva pentru proiectarea și fabricația asistată românească, precum și în Marea Britanie, la Pathtrace Engineering Systems Ltd, unde i s-a oferit oportunitatea de a-și continua cercetările, în vederea unei finalizări comerciale a rezultatelor. În toată această perioadă s-a încercat să se dezvolte, implementeze și testeze o nouă modalitate generică de concepție, introducere, modelare, vizualizare, analizare, fabricare, optimizare, simulare și verificare a suprafețelor.

Lucrarea încearcă să îmbine pregătirea și cunoștințele din domeniul de specializare al autorului, cel mecanic, cu profunde pasiuni pentru informatică și matematică. Astfel, subiectul abordat se află în zona de graniță dintre aceste trei impresionante și deopotrivă fascinante științe, îmbinând cunoștințele mecanice, cu algoritmi, tehnici de programare și limbajele de programare din ce în ce mai eficiente, într-o evoluție de o dinamică impresionantă. Teza se dorește a fi una cu profunde aplicații practice, fiind implementată în două produse destinate fabricației asistate (TechnoPack BillaSoft, peste 50 utilizatori și EdgeCAM Pathtrace Ltd, peste 12.000 utilizatori); acesta este și principalul motiv pentru care s-a optat pentru prezentarea metodelor într-un limbaj de tranziție între matematică și limbaje de programare.

Toate capitolele au o structură asemănătoare, începând cu un subcapitol intitulat “**Introducere**”, în care se va prezenta problema propusă spre rezolvare și un ultim subcapitol “**Concluzii**”, în care se vor rezuma cele discutate de-a lungul capitolului respectiv. Aceeași structură unificată se dorește a fi utilizată și pentru întreaga teză, care începe cu “**Introducere**” și se sfârșește cu “**Concluzii**”. Penultimul capitol se va intitula “**Concepte introduse**” și va rezuma în pseudocod cele discutate pe parcursul tezei (antetele conceptelor introduse).

În capitolul 2, intitulat “**Stadiul actual**”, se vor sintetiza câteva aspecte, încercând să se cuprindă evoluția temporară a unor domenii care au o influență importantă asupra problematicii. Se vor discuta, exemplifica și comenta avantajele și dezavantajele diferitelor metode și tehnici de stocare și analiză. Se va prezenta cronologic evoluția limbajelor și a tehnicilor de programare, pentru a justifica crearea și utilizarea limbajului pseudocod în descrierea unificată a algoritmilor descriși.

În capitolul 3, intitulat “**Metode de notație și clase utilizate**”, se va introduce un limbaj obiectual de tip pseudocod, în care se vor descrie algoritmi (tehnice, metodele) și care ajută la o eventuală implementare a conceptelor discutate într-un limbaj de nivel înalt orientat obiect; se vor descrie metodele de stocare a informațiilor, încercându-se o prezentare cât mai concisă și consistentă. Se vor pune bazele unei ierarhii de clase, care vor fi folosite în decursul lucrării, acestea fiind: *șirul de caractere (string), fișierul, întregul, booleanul, realul, punctul, curba, curbe superioare, plasa, suprafețe superioare, masca, suprafața digitală, colecțiile (familiile) de obiecte.*

Toate tipurile de dată vor fi prezentate într-un mod organizat, atașându-li-se atât operațiile, cât și metodele și funcțiile asociate.

Nu se va aborda o prezentare exhaustivă a acestor tipuri de dată, ci doar crearea unui set decent și relativ bogat de tehnici de operare cu data respectivă, tipurile enumerate fiind larg studiate și implementate în toate sistemele de proiectare și fabricație.

În capitolul 4, intitulat “Metode de generare și modelare” se vor prezenta pe larg unele metode care stau la baza generării și modelării suprafețelor demulabile. De asemenea, se vor prezenta diferite metode de conversie din alte tipuri de dată, specifice importului din alte sisteme de proiectare și fabricație, date importate în format plasă sau listă cu triunghiuri (forma cea mai simplă de export a solidelor).

De asemenea, se vor prezenta și defini filtrele, se vor prezenta și exemplifica scopul și utilitatea lor în reducerea zgomotului introdus în diferiți pași de conversie și analiză, sau datorat diferitelor inflexiuni particulare ale suprafeței date spre conversie, analiză și fabricație.

Se va descrie un set de algoritmi de modelare: cel al calculului înfășurătorii și racordării statice și dinamice, algoritmi care nu sunt specifici numai modelării, ci și calculului suprafeței corecție de sculă și a suprafeței de contact pentru scule generice de orice geometrie. Se vor face particularizările specifice capetelor de freză.

De asemenea, se vor prezenta în premieră trei metodologii noi concepute de către autor:

- ⇒ *algoritmul de import și conversie a seturilor de puncte și curbe furnizate fără nici o regulă;*
- ⇒ *algoritmul de calculare a înfășurătoareii și racordărilor cu forme de orice geometrie (un caz particular al acestora sunt capetele de sculă suprafețe de revoluție utilizate în frezare);*
- ⇒ *rețeaua neuronală pentru antrenarea cu date care nu cad în punctele rețelei, utilizabilă ca o metodă generică de import a tuturor datelor parametrice.*

În capitolul 5, intitulat “Metode de conversie și formate de import-export”, se vor prezenta câteva conversii ale suprafețelor demulabile în reprezentările vectoriale uzuale altor sisteme de proiectare și fabricație, pentru a da nu numai o consistență vizuală analizelor și generărilor, ci și o finalitate și utilizabilitate în alte sisteme.

În prima parte a capitolului se vor prezenta metode de culegere a datelor și de convertire a lor în formate de tip *plasă, solide fațetate*, reprezentări de tip *familie de curbe*, care sunt specifice generării fișierului NC.

Pe parcursul acestui capitol se vor introduce metode de creare a curbelor, proiecție, offset inteligent și export în formate simple ASCII, ca: *DXF, STL, CL, NC*. Nu se vor discuta formate evoluat ca IGES, STEP, VDA, pentru a nu îngreuna expunerea.

Acest capitol este de o importanță notabilă în utilizarea suprafețelor digitale, în orice sistem de proiectare și fabricație. Se va crea un set nou de obiecte, specifice fiecărui tip de export în parte: *DXFOut, STLOut, NCOut, CLOut*. Aceste noi obiecte (specifice exportului) au fost implementate folosind o metodă unificată de prezentare, încercând să se ascundă detaliile fiecărui format în parte, să se prezinte exemple pentru fiecare format și listingul asociat.

Se vor expune metode noi destinate conversiei și exportului, metode care dau utilizabilitate suprafețelor demulabile, legându-le de alte sisteme de proiectare, ca aparate matematice auxiliare de analiză sau conversie în format NC.

Se va prezenta, în premieră, un algoritm de conversie în curbe de nivel foarte fin (comparativ cu pasul suprafeței digitale), care permite conversia suprafețelor demulabile corecție de sculă în format NC, asigurând erori de ordinul micrometrilor.

Un subcapitol aparte va fi rezervat expunerii problemei creerii unui post procesor generic GNCCP (Generic Numeric Control Post Processor) generator automat de tehnologie, o librărie dinamică foarte complexă, care are scopul de a genera fișier NC specific, virtual, pe orice echipament, optimizat pentru lungime și timp de rulare.

În capitolul 6, ultimul capitol principal, generic intitulat “**Metode de analiză și optimizare**”, se vor cuprinde câteva dintre cele mai importante aspecte legate de analiza și generarea optimizată a codului NC pentru fabricarea suprafețelor demulabile pe mașini-unelte cu comenzi numerice, precum și câteva tehnici de verificare și simulare. Cum toate acestea sunt tehnici și metode de analiză, natural ele își vor găsi locul în acest ultim capitol.

Se vor prezenta în premieră câteva contribuții ale autorului, constând din metode noi de analiză, precum: calculul zonelor plane, calculul zonelor critice la frezarea de secțiuni paralele în planul XY, calculul materialului nefrezabil, calculul curbelor de egală rugozitate, metode pseudoadaptive de variere a avansului și corecției de uzură în timp real, minimizarea mișcărilor în avans rapid, spiralele lui Billator, o metodă nouă de optimizare a traseelor echidistante, prin dublarea sau triplarea locală, o metodă de rezolvare a rețelelor de difracție.

Pe lângă prezentarea contribuțiilor autorului se vor expune și câteva metode clasice de generare de cod, considerându-se ca element de noutate metodele de generare a acestora (curbelor echidistante în XY și Z) utilizând SD în acest domeniu.

Vor fi exemplificate alte concepte, cum ar fi interpolările superioare, eliminarea punctelor de inflexiune, eliminarea punctelor coliniare, doar cu scopul secundar de a da consistență și calitate unei eventuale generări de cod NC.

În penultimul capitol, “**Concepte introduse**”, vor fi enumerate toate clasele introduse, cu toți operatorii și algoritmi descriși de-a lungul lucrării.

Ultimul capitol, “**Concluzii**”, va sintetiza cele discutate, încercând să scoată în evidență contribuțiile autorului și să punteze direcțiile rămase deschise cercetării.

În “**Anexe**” se vor prezenta: *definițiile unor concepte utilizate, abrevieri, legături web utile, specifice domeniului proiectării și fabricației.*

Multe referințe făcute pe parcursul lucrării vor fi la pagini de web, documente “vii” care prezintă “în timp real” evoluția aparatelor matematice discutate, nu documente “moarte” ca și cele scrise (reviste, cărți, manuale de prezentare sau utilizare).

Lucrarea se dorește a fi în primul rând una de sinteză, în care se prezintă o metodă solidă, consistentă și generică de *stocare, conversie, analiză, generare optimizată, simulare și verificare* a suprafețelor discrete demulabile, punându-se accentul pe modul de structurare și prezentare a conceptelor, pentru a da un caracter cât mai practic expunerii.

2. Stadiul actual

2.1. Introducere

Dată fiind complexitatea și varietatea tipodimensională, în cursul anilor s-a încercat ca în funcție de stadiul respectiv de evoluție al *aparaturilor matematice, calculatoarelor, limbajelor de programare, echipamentelor cu comenzi numerice, mașinilor unelte, sculelor așchietoare*, să se genereze diferite metode de *descriere, stocare, procesare, optimizare, verificare și prelucrare*, în vederea fabricației diferitelor reperi complexe.

Se va încerca doar prezentarea într-o manieră evolutivă a **metodelor de stocare** utilizate în descrierea reperelor sau efectuarea analizelor, precum și a **limbajelor de programare**, pentru a justifica construcția și utilizarea limbajului pseudocod întrebuițat la expunerea metodelor și tehnicilor folosite.

Va fi atins doar stadiul actual al evoluției proiectării și fabricării asistate în România și pe plan mondial.

Evoluția altor domenii, care au o influență și o implicație mai puțin importantă, și care vor fi atinse doar tangențial (calculatoare, echipamente cu comenzi numerice, mașini unelte, scule așchietoare, pachete de plăci, teoria sistemelor, inteligența artificială, automate celulare, automate neuronale, automate moleculare, automate genetice, teoria dezastrelor, comunicații, sisteme de calitate, aparate de măsură și control, tribologie, mecanisme și organe de mașini, dispozitive), va rămâne nediscuțată.

2.2. Evoluția metodelor de stocare

Cea mai mare influență, pentru domeniului studiat, o au metodele de stocare (baza de date) și tehnicile sau algoritmi specifici pentru fiecare tip de dată enumerat.

În ultimii 30 de ani au fost create diferite metode de stocare și prelucrare a datelor în vederea proiectării și fabricării. Se va încerca o enumerare succintă a acestora, în ordinea complexității reprezentării:

2.2.1. Seturi de puncte

❖ **Definiție:**

⇒ *Datele sunt stocate ca o colecție de puncte în spațiu.*

❖ **Utilizare:**

⇒ *la discretizări de date provenite de la mașini de scanat, palpat sau cartografiat, la reprezentări moleculare 3D în chimie, în anii '70 – '80.*

❖ **Avantaje:**

⇒ *sunt foarte simplu de importat și exportat.*

❖ **Dezavantaje:**

⇒ *inutilizabile în analiză și fabricație, deoarece informații auxiliare, ca aceea de normală, sunt imposibil de obținut (pentru executarea ofsetului);*

⇒ *sunt foarte dificil de interpretat și convertit în alte reprezentări.*

❖ **Exemple:**

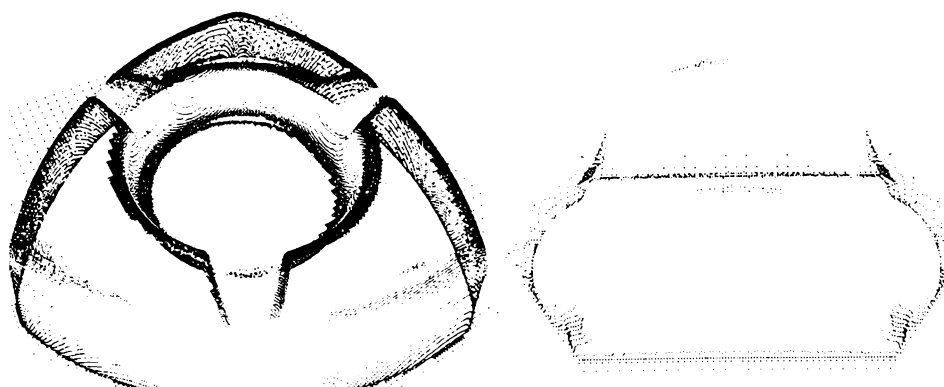


Figura 2.1 Reprezentare și stocare prin puncte

2.2.2. Curbe și suprafețe analitice multiparametrice

❖ Definiție:

⇒ *Suprafețele și curbele analitice sunt acelea care pot fi descrise printr-un singur set de ecuații matematice (nu conțin seturi de ecuații pe porțiuni de curbă sau suprafață descrisă).*

❖ Utilizare:

⇒ *la descrierea obiectelor matematice simple (sfere, tori, paralelipipede, conuri).*

❖ Avantaje:

- ⇒ *sunt foarte precise (comparativ cu metodele de stocare discrete);*
- ⇒ *asigură precizie mare (teoretic infinită) la calcularea ariei, volumului, perimetrului, existând integrale directe pentru ecuațiile lor;*
- ⇒ *sunt compacte, necesitând spații de stocare scăzute (de 10-100 ori mai mici decât cele discrete).*

❖ Dezavantaje:

- ⇒ *tipurile de repere descrise sunt foarte limitate;*
- ⇒ *importul și exportul este dificil, necesitând resurse însemnate în scrierea convertoarelor;*
- ⇒ *suprafețele descrise sunt nesculpturale.*

❖ Exemple:

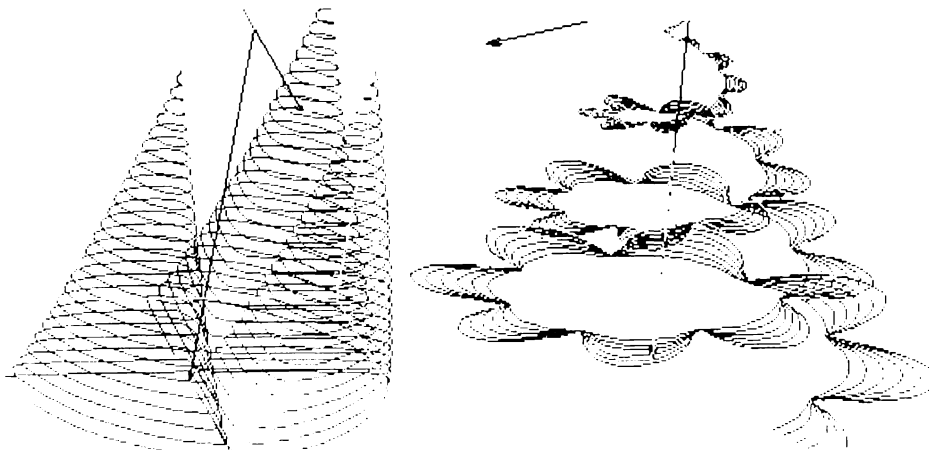


Figura 2.2. Reprezentare prin curbe analitice

2.2.3. Curbe la o înălțime dată 2D

❖ **Definiție:**

⇒ Curbele plane sunt stocate ca o serie de segmente de linie, arce de cerc, sau curbe superioare în planul XY.

La început au fost folosite la stocare doar segmente de linie, apoi au fost introduse segmentele de cerc (arce), iar mai nou sunt utilizate și segmente din curbe de ordin mai mare (cubice).

❖ **Utilizare:**

⇒ pe scară largă în prezent, la definirea conturilor pentru strunjiri și decupări prin electroeroziune, laser, jet de apă, jet de aer etc. Sunt prezente în toate sistemele de proiectare și sunt suportate, în general, cam de toate formatele de import – export.

❖ **Avantaje:**

⇒ sunt compacte, comparativ cu poliliniile;
⇒ sunt independente de toleranță (stocare analitică).

❖ **Dezavantaje:**

⇒ conversiile (importul, exportul) sunt relativ greu de executat;
⇒ calculele de arie, perimetru trebuie executate pentru fiecare tip de segment în parte.

2.2.4. Polilinii plane

❖ **Definiție:**

⇒ Poliniile plane sunt stocate ca o serie de segmente de linie în planul XY, fiind deopotrivă un caz particular al curbelor și al poliliniilor spațiale.

❖ **Utilizare:**

⇒ pe scară largă în prezent, la definirea conturilor pentru strunjiri și decupări prin electroeroziune, laser, jet de apă, jet de aer etc. Sunt prezente în toate sistemele de proiectare și sunt suportate, în general, cam de toate formatele de import – export. Toate curbele și suprafețele sunt reprezentate uzual utilizând poliliniile.

❖ **Avantaje:**

⇒ export și import simplu;
⇒ procesare simplă a perimetrului, ariei;
⇒ sunt generice, descriind orice geometrie sub o toleranță

❖ **Dezavantaje:**

⇒ necesită spații mari de stocare;
⇒ sunt dependente de toleranță;

2.2.5. Suprafețe extrudate

❖ **Definiție:**

⇒ Suprafețele extrudate reprezintă curbe extrudate de-a lungul unei direcții.

❖ **Utilizare:**

⇒ Descrierea primordială a reperelor cu geometrie extrudată simplă 2½ D destinate frezării (carcase, repere cu găuri, repere turnate/ forjate).

După corpurile simple sunt cele mai simple metode de stocare a solidelor.

❖ **Avantaje:**

⇒ simplu de importat, exportat, procesat și stocat.

❖ **Dezavantaje:**

⇒ geometriile descrise sunt simple, neoferind posibilitatea descrierii volumelor sculpturale.

❖ **Exemple:**



Figura 2.3 Curbe 2D la diferite cote Z

2.2.6. Polilinii în spațiu

❖ **Definiție:**

⇒ poliliniile spațiale sunt acelea care pot descrie orice curbă în spațiu, sub o toleranță. Sunt stocate ca o colecție de puncte în 3D.

❖ **Utilizare:**

- ⇒ este tipul principal de dată geometrică existent în fișierele NC destinate frezării în 3 și mai multe axe. Este utilizat de toate sistemele de fabricație care suportă mai mult de 2½ axe. Pe parcursul acestei teze se vor folosi doar curbele de tip **polilinie**.

❖ **Avantaje:**

- ⇒ este suportat de toate formatele de import - export;
- ⇒ simplu de procesat și stocat;
- ⇒ simplu de reprezentat;
- ⇒ orice curbă în spațiu poate fi convertită într-o polilinie, sub o toleranță.

❖ **Dezavantaje:**

- ⇒ sunt dependente de toleranță;
- ⇒ necesită memorie însemnată pentru stocare.

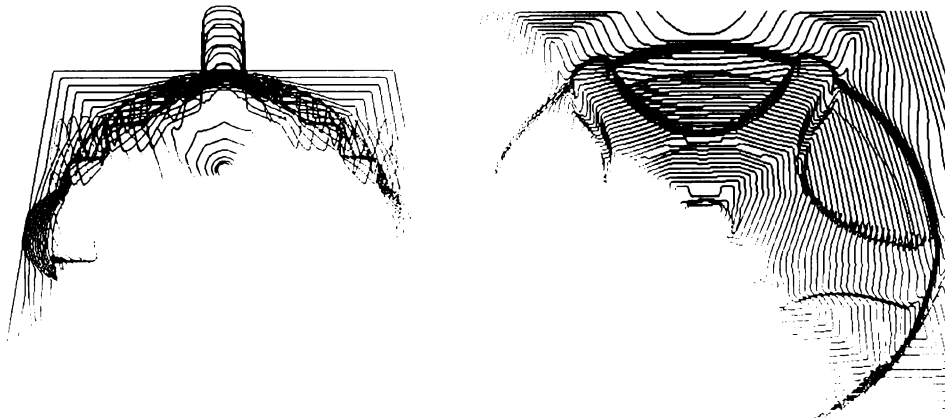
❖ **Exemple:**

Figura 2.4 Polilinii în 3D

2.2.7. Solide simple

❖ **Definiție:**

- ⇒ solidele simple sunt cele de tip sferă, tori, conuri, piramide, curbe extrudate.

❖ **Utilizare:**

- ⇒ sunt primele încercări cu adevărat valoroase de a găsi o metodă unificată de a stoca și analiza solide. Sunt utilizate într-o multitudine de sisteme de proiectare, fiind destul de ușor de utilizat și implementat.

❖ **Avantaje:**

- ⇒ simplu de editat;
- ⇒ interferențe corect detectate;
- ⇒ frezări în mai mult de 3 axe;
- ⇒ calcul precis al suprafețelor și ariei.

❖ **Dezavantaje:**

- ⇒ formate speciale de export și import;
- ⇒ pot fi descrise numai geometrii simple.

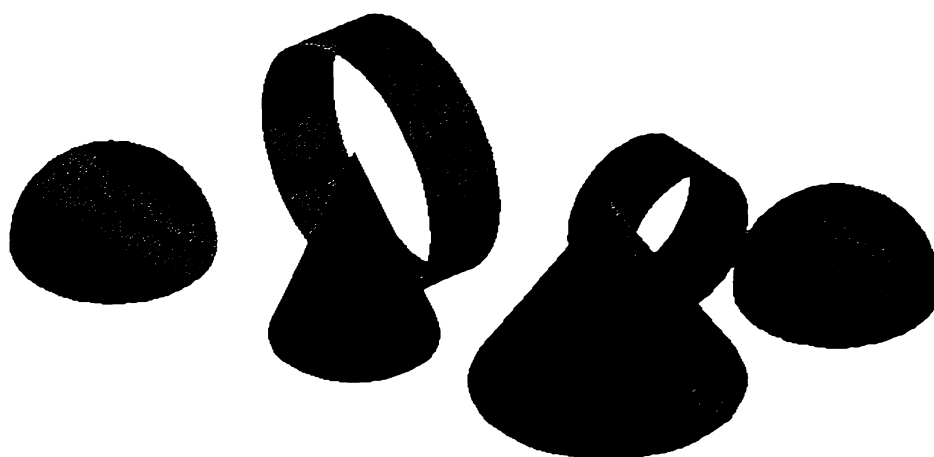
❖ **Exemple:**

Figura 2.5 Corpuri simple

2.2.8. Suprafețe discrete fațetate

❖ **Definiție:**

- ⇒ sunt o metodă generată de calcul a tuturor suprafețelor cilindrice sau conice sau formă de tronconuri sau patrulatere. [DM'2 - '14, TPE]

Se poate demonstra că orice suprafață superioară sau inferioară sferică poate fi convertită într-o suprafață fațetată finită, sub o toleranță.

❖ **Utilizare:**

- ⇒ în formate de export de tipul STL, DXF și STEP;
- ⇒ în schimbul de informații în analiza de elemente finite sau de frezare;
- ⇒ în simulatoare de detectare a interferențelor sau analizate a realității a realității (coliziuni) utilizate;
- ⇒ în cartografiere.

❖ **Avantaje:**

- ⇒ foarte generale;
- ⇒ capabile să stocheze orice reprezentare;
- ⇒ simplu de importat și exportat;
- ⇒ simplu de procesat.

❖ **Dezavantaje:**

- ⇒ foarte dificil de modificat;
- ⇒ dependente de toleranță;
- ⇒ mari consumatoare de memorie.

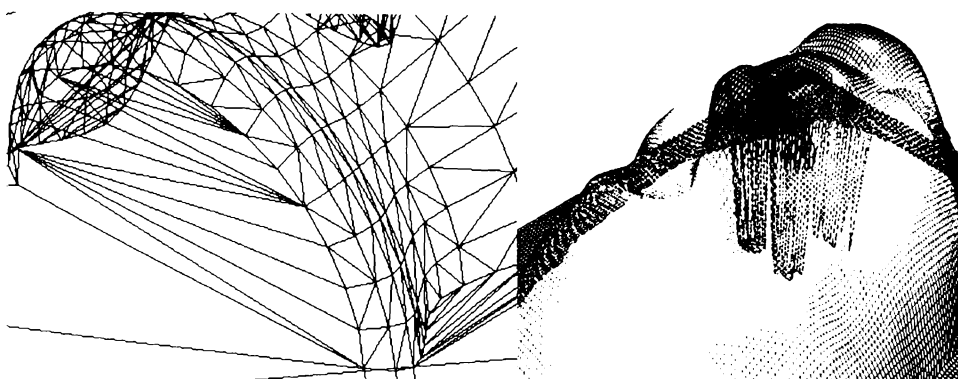
❖ **Exemple:**

Figura 2.6 Solide șafetate cu 3 și 4 laturi

2.2.9. Suprafețe discrete demulabile

❖ **Definiție:**

- ⇒ suprafața este stocată ca cota Z într-o matrice cu pas variabil sau constant. [DM01 - 11]

❖ **Utilizare:**

- ⇒ este utilizat în produsele din anii '90 care execută diferite analize pe solide, detectează foarte rapid interferențe, solidifică traiectorii venite de la mașini de palpat sau scanere 3D etc.

❖ **Avantaje:**

- foarte compacte și ușor de prelucrat;
- oferă facilități foarte bune de analiză;
- ușor de importat și exportat;
- generică (stochează și analizează orice geometrie cu aceeași ușurință).

❖ **Dezavantaje:**

- nu conține informații despre muchii și pereți verticali.

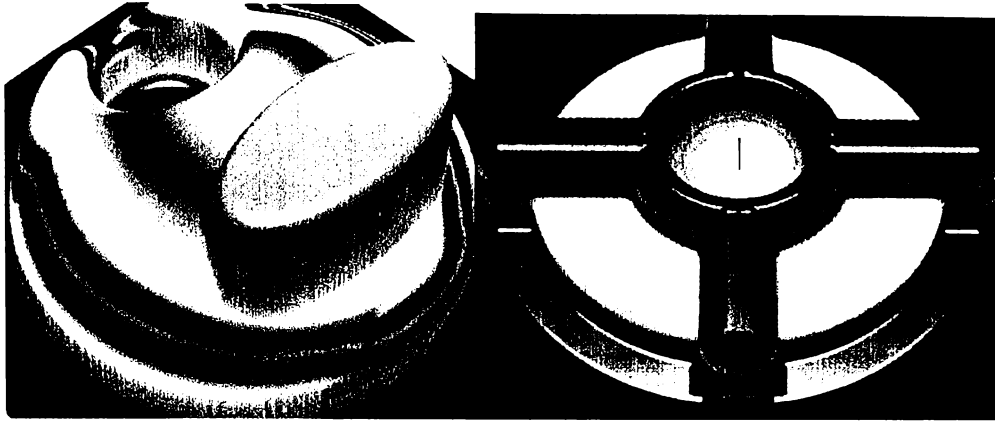
❖ Exemple:

Figura 2.7 Solide stocate matricial

Această teză este un caz particular al acestui tip de structură de dată. Metoda va fi limitată doar la repere discrete stocate cu pas constant.

De menționat că pe parcursul lucrării, din rațiunea de a fi succint, acest tip de suprafețe vor fi denumite impropriu “Suprafețe Discrete” (SD), nemaiprecizându-se cuvântul demulabil. “Greșeala” nu este mult prea mare, deoarece multe din tehnicile descrise pot fi, natural, extinse pe alte reprezentări discrete și analitice.

2.2.10. Suprafețe și curbe superioare

❖ Definiție:

⇒ Sunt acele geometrii care utilizează reprezentări polinomiale pe intervale.

❖ Utilizare:

⇒ Sunt folosite crasitotal în toate sistemele de modelare moderne ca și curbe și suprafețe: spline, B-spline, Bézier, Hermite etc. IFCAM, BKOS, DFR, IEMP, LEO, SAV.

❖ Avantaje:

- ⇒ compacte la utilizarea memoriei;
- ⇒ foarte ușor de editat și revordat.

❖ Dezavantaje:

- ⇒ aparatele matematice de analiză și optimizare sunt foarte rudimentare și greoaie.
- ⇒ dificil de importat și exportat;
- ⇒ dificil de calculat suprafața și volumul.

❖ Exemple:

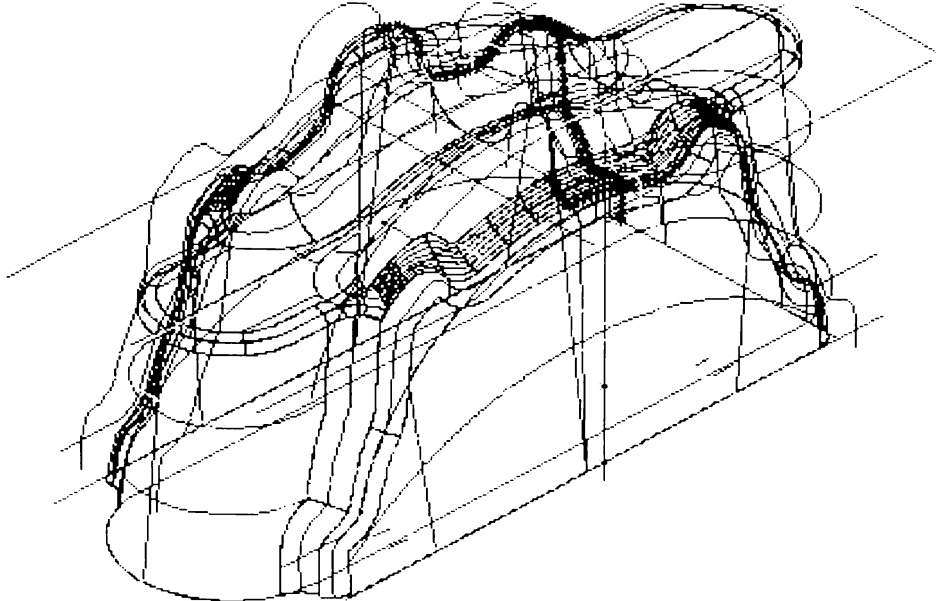


Figura 2.8 Suprafețe B-spline

Constituie începuturile unei adevărate revoluții în generarea suprafețelor. Permite ca suprafețe generate prin diferite metode să fie stocate unitar ca un singur tip de dată, la început ca suprafețe B-spline după care ca suprafață B-spline înconjurată de curbe(trimmed B-spline).

2.2.11. Solide sculpturale

❖ **Definiție:**

⇒ Sunt solide reprezentate analitic pe intervale care trebuiesc să închidă un volum.

❖ **Utilizare:**

⇒ Utilizat în sistemele evoluate de proiectare orientate pe solide AMD, SolidEdge, Microstation, etc.

❖ **Avantaje:**

- ⇒ facilități de modelare extraordinare;
- ⇒ calcul precis al suprafeței și volumului;
- ⇒ facilitati bune pentru proiectarea parametrică.

❖ **Dezavantaje:**

- ⇒ lente pentru analize;
- ⇒ dificil de importat și exportat;
- ⇒ foarte complexe metode de vehiculare a bazelor de date.

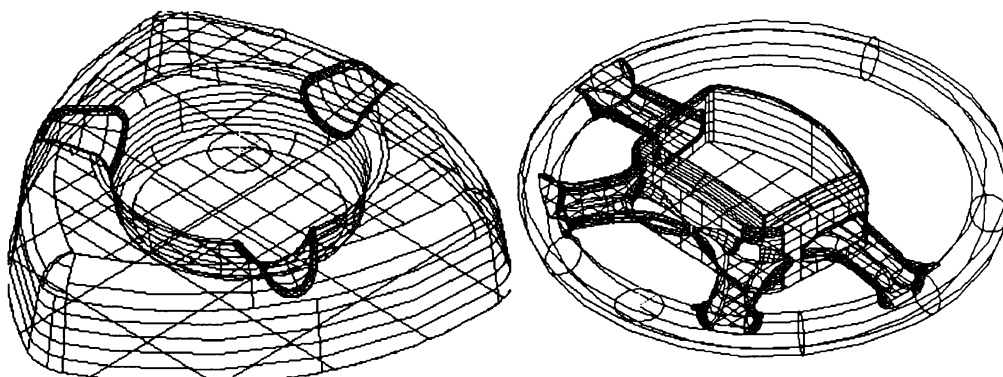
❖ **Exemple:**

Figura 2.9 Solide sculpturale

O metodă cu adevărat revoluționară de descriere a solidelor de orice fel, cu foarte bune rezultate în importul și exportul solidelor, modelare, calculul suprafețelor de offset, reprezentare în mod linii ascunse, fațetat, randat. Este o reprezentare destul de complexă, mare consumatoare de memorie și foarte lentă, dar analizând evoluția tehnicii de calcul se pare că se va impune cvasitotal în următorii ani, exceptând probabil unele facilități de analiză, care vor lăsa locul aparatelor matematice descrise la punctul precedent [ACIS].

Concluzionând, metodele de stocare a curbilor și suprafețelor se împart în două mari categorii: *discrete și analitice*.

Metodele discrete (*polilinii, suprafețe discrete fațetate, suprafețe discrete demulabile, seturi de puncte*)

❖ **Avantaje:**

- ⇒ sunt foarte generice, pot stoca orice geometrii cu aceeași ușurință;
- ⇒ foarte simplu de analizat;
- ⇒ simplu de implementat;
- ⇒ simplu de importat și exportat;

❖ **Dezavantaje:**

- ⇒ sunt dependente de toleranță;
- ⇒ dificil de editat;
- ⇒ mari consumatoare de memorie;
- ⇒ imprecise în calcule care necesită rezultate foarte precise.

Metodele analitice (curbe compuse, suprafețe analitice, solide sculpturale și simple)❖ **Avantaje:**

- ⇒ precise (calcul de volum, perimetru, arie);
- ⇒ independente de toleranță;
- ⇒ natural de editat;
- ⇒ suport foarte bun pentru proiectare parametrică.

❖ **Dezavantaje:**

- ⇒ dificil de implementat;
- ⇒ dificil de importat și exportat;
- ⇒ dificil și lent de analizat.

Pe parcursul acestei lucrări vor fi utilizate cvasitotal numai metode de stocare discrete, dorindu-se trasarea de metode generice (care nu sunt particulare unui reper sau familii de repere în parte).

Geometriile analitice vor fi convertite, sub o toleranță, în geometrii discrete, iar analizele vor fi executate pe reprezentarea discretă, folosind proprietatea acestora de a fi foarte bune reprezentări pentru analize.

2.2. Evoluția limbajelor de programare

Limbajele de programare au avut o evoluție foarte spectaculoasă. Scopul primordial a fost acela de a dezvolta cât mai repede aplicații fără erori, a organiza și reutiliza codul, a crea produse program cât mai mentenabile și portabile.

În ordine cronologică se pot enumera:

- ⇒ **cod mașină** – programare deosebit de dificilă și ineficientă;
- ⇒ **asamblare** – o evoluție naturală a codului mașină, prin renumirea într-un format mai accesibil a acestuia. Marele dezavantaj: codul este total neportabil de pe un sistem pe altul.
- ⇒ **C** – s-a născut pentru a face mai simplă portarea sistemelor de operare și a aplicațiilor de pe un sistem pe altul; limbaj de nivel jos, destinat în general scrierii sistemelor de operare portabile, necesitând crearea pentru fiecare platformă hard a unui compilator simplu de C, după care, pentru implementarea sistemului de operare și a altor aplicații se compilează acesta cu compilatorul respectiv. Născut ca un limbaj primar cu o sintaxă deosebit de simplă, fără verificări de tip, l-a făcut total neinteresant pentru dezvoltatorii de proiectare și fabricație în anii '70;
- ⇒ **FORTRAN (FORmula TRANslation)** – primul adevărat limbaj de programare de nivel înalt. Acesta permitea pentru prima dată **programarea modulară**, organizarea codului în subrutine și portarea (interpretarea sau compilarea acestuia) pe diferite sisteme. A fost unul din cele mai folosite limbaje, cu preponderență în domeniul științific. Multe sisteme mari destinate proiectării și fabricației (ex. Euclid) își au originile în anii '60-'70 și în limbajul FORTRAN;
- ⇒ **BASIC** – un limbaj deosebit de simplu, apărut la început fără nici o formă de modularizare a informației, cu excepția subrutinelor care, însă, nu avea variabile locale. Folosit în general ca limbaj interpretat cablat în ROM, în calculatoarele personale apărute în perioada 1975 – 1985. Acestea erau deosebit de simple (lungime între 1.. 128 k). Nu se poate specifica nici un sistem de proiectare și fabricație comercial care să fie scris nativ în BASIC. Din cauza "războiului" dintre firmele **Microsoft** și **Imprise, Basic**, prin noua lui încarnare, **Visual Basic**, a ajuns un limbaj larg întâlnit ca limbaj de comandă în sisteme de proiectare și fabricație, deopotrivă datorită simplității, dar și API-ului "Visual Basic for Applications" furnizat de **Microsoft**, foarte puternic și bine documentat;
- ⇒ **Pascal, Modula, Oberon** – apărute începând din 1971, ca urmare a lucrărilor profesorului Wirth în domeniul **programării structurate**, acestea au fost o adevărată revoluție în domeniul academic, fiind limbaje de nivel înalt cu verificări de tip, permițând crearea de librării de algoritmi, re folosirea codului prin crearea modulelor (Modula2 și Oberon), a listelor de import și export; au dominat și încă mai domină mediul universitar, fiind limbajele preferate pentru instruirea studenților în algoritmi și tehnici de programare;
- ⇒ **ADA** – unul dintre cele mai complexe și solide limbaje apărute, conține verificare puternică de tip metode de detecție și tratare de erori, utilizând compilatoare foarte complexe. Este folosit în general în aplicațiile critice din punct de vedere al erorilor, în domeniul aviativ și militar, în mainframeuri.

⇒ **Objectual Ada, Smaltalk, C++, Eiffel, Delphi, Borland Pascal, Object Pascal, Objective C, Java** – apariția programării orientată pe obiecte este una dintre cele mai mari revoluții în domeniul programării, permițând, pe lângă avantajele programării modulare și structurate, noi concepte de modularizare, ca: *polimorfism, moștenire simplă și multiplă, încapsulare, serializare, metode virtuale etc.* Se pot realiza librării cu obiecte MFC (Microsoft Foundation Clasa), Java Beans, Turbo Vision. Cu ajutorul acestor librării, aplicațiile foarte mari pot fi generate foarte ușor cu ajutorul mediilor vizuale și a “vrăjitorilor”, care fac ca probleme ce altădată necesitau luni de programare să fie rezolvate în timp de domeniul minutelor, în zona designului interfeței periferiei și comunicației. Cea mai importantă evoluție la ora actuală o are limbajul Java, care este un dialect simplificat de C++ pur obiectual, ce are marele avantaj de a fi portabil pe orice echipament, fără recompilare, de la telefoane și televizoare inteligente până la cele mai sofisticate calculatoare.

❖ **Utilizare:**

La ora actuală C++ este destinat produselor profesionale de înaltă performanță uniplatformă; pentru portare pe o altă platformă acestea necesită recompilare.

Java este destinat produselor soft multiplatformă și este cvasitotal prezent pe internet, dar codul generat este de cca 10 ori mai lent decât cel generat de C++ sau Delphi.

ADA și FORTRAN sunt utilizate în mainframeuri și aplicații din domeniul militar, datorită numărului imens de librării scrise pentru ele, stabilității compilatoarelor și verificarea tipului strict de dată.

Delphi (Object Pascal) este destinat instruirii în tehnici de programare și tehnici de implementare rapidă a aplicațiilor (Rapid Application Development RAD).

Basic este un limbaj de batch file sau macro pentru diferite produse, destinat proiectării asistate sau suitelor “office”, dar și pentru dezvoltarea unor produse prin tehnica RAD.

NOTĂ: Nu au fost incluse în această listă o mulțime de alte limbaje de nivel înalt: PL1, Simula, B; limbaje de script sau batch file: Perl, CGI, diferite alte dialecte de Basic; limbaje destinate bazelor de date: Cobol, DBase, Paradox, Access, Aproach, încercând să se cuprindă doar acele limbaje care au avut sau au un real impact în proiectare și fabricație.

Limbajul ales pentru această teză în descrierea unificată a aparatului matematic, algoritmului și a (eventualei) implementări este bazat pe Java și C++, cu traducerea cuvintelor cheie din engleză în română. Se va crea astfel un limbaj orientat obiect simplu, care se dorește a acoperi cu succes scopul propus.

Doriința autorului a fost aceea de a da un caracter practic și generic expunerii, fără repetarea în trei locuri (*aparat matematic, algoritm în pseudocod și implementare într-un limbaj*) a aceleași metode.

2.3. Evoluția sistemelor de proiectare și fabricație pe plan mondial

Pe plan mondial, oferta de produse de proiectare și fabricație este într-adevăr impresionantă. Este listată în **Anexa D** numai o enumerare care încearcă să sorteze produsele și serviciile destinate pieței de proiectare și fabricație. Vor fi prezentate doar cu numele, deoarece ar fi necinstit să se prezinte doar o parte din produse. În general, fiecare produs sau serviciu este destinat unei anumite piețe. Cine are prilejul să citească această lucrare în format electronic poate observa că aproape toate titlurile sunt legături la paginile de web ale firmelor producătoare, deci acest subcapitol, ce se referă la stadiul actual, poate fi actualizat permanent, dorindu-se a fi cu adevărat un stadiu actual. Se poate observa că, în general, firmele care dezvoltă programe destinate proiectării și fabricației mari au apărut în anii '70-'80 și dețin segmente însemnate din piață (peste 95%).

Din punctul de vedere al proiectării, în general, se poate observa că **AutoCAD**-ul devine un standard. Exemplu elocvent al factorului comercial în detrimentul calității, o multitudine de alte programe și-au arătat calitățile remarcabile în domeniul proiectării parametrice (**Ashlar Vellum, TurboCAD, Pro Engineering, Microstation, SolidEdge, SolidWork**) dar, din păcate, în piața de consum relativ ridicat al produselor de proiectare se pare că factorul comercial tinde să domine.

În domeniul fabricației, casele mici de software, care țin relația client - producător foarte strânsă, par a domina piața. Fiecare firmă producătoare tinde să satisfacă în primul rând doleanțele clienților actuali, în baza unor contracte de *colaborare, training și service*. Odată cu creșterea în facilități a acestor produse, care încep să satisfacă din ce în ce mai multe doleanțe ale consumatorilor, se poate observa tendința (naturală) spre comercial și în piața programelor de fabricație.

Probabil că din cauza acestei tendințe (sistemul de proiectare a ajuns un produs de larg consum și sistemul de fabricație este un produs de consum relativ scăzut foarte specializat), la ora actuală companiile care oferă soluții integrate au un deficit în vânzări, prelevând companiile specializate pe domenii, integrând linii de *proiectare, fabricație și analiză* de la mai mulți furnizori.

Produsele din domeniul analizei și optimizării fabricației reperelor complexe sunt foarte puține și realizate cu amatorism, din punct de vedere al facilităților oferite, dovedind că domeniul este unul foarte nou. *Acesta* este abordat de autor pe parcursul prezentei teze.

Tendința este aceea de integrare a proiectării și fabricației, cu consecințe favorabile în desființarea graniței dintre compartimentele de proiectare constructivă (design) și cel de proiectare tehnologică (fabricație); în sensul conceperii unor programe inteligente, care înglobează și simulează comportamentul uman în situații concrete date (sisteme expert); astfel, acestea cuprind decizii în adoptarea unui anumit mod de a realiza un reper, au incluse tehnici de optimizare, și numai în situații extreme necesită intervenția omului, doar sub forma conversațională, programele tinzând să propună, prin intermediul "vrăjitorilor", căi de rezolvare, soluții optime, în urma analizelor din ce în ce mai sofisticate.

2.4. Evoluția sistemelor de proiectare și fabricație pe plan național

În România, dezorganizarea creată de sistemul comunist (resimțită în toate țările din estul Europei) a făcut ca domeniul proiectării și fabricației să fie tratat cu amatorism, nici până la ora actuală nefiind create produse viabile pe piața de larg consum. Evoluția defectuoasă își are originile în metodele prin care au fost tratate aceste probleme, în colective reduse, având adesea un caracter academic, și care erau rareori comunicate publicului larg ori pieței interesate, având astfel un impact nesemnificativ în industrie. Astfel, în acea perioadă, idei de foarte bună calitate nu au fost cunoscute sau cel puțin comunicate.

Evident, se pot cita câteva realizări ale ingineriei românești în acest domeniu (*APT conversațional*, *ALMI [ALM]*, *SORI [SOR]*, *MANA [MAN]*), ca și o caracteristică comună a acestora fiind definirea separată, negrafică a entităților geometrice, și prezența unor ordine de mișcare distincte. Din punct de vedere al performanțelor, aceste programe sunt comparabile între ele, dar cercetarea și dezvoltarea în continuare a problemei este aproape închisă. Alte produse mai complexe, care posedă o interfață grafică, sunt *BIBEXE [BIB]*, *TechnoPack Lite & Pro. [DM01..11]*

Se pare că singurul produs software care a obținut recunoașterea este *TechnoPack [DM01..11]*, acesta găsindu-și loc între produsele destinate proiectării și fabricației pe plan mondial (poate fi găsit la sistemele destinate fabricației). Este produsul care, în decursul vremii, a fost dezvoltat de autor pe baza cercetărilor și studiilor în domeniul *proiectării, fabricației, dar mai ales a analizei și optimizării generării codului NC*, în vederea realizării reperelor complexe pe mașini unelte cu comenzi numerice.

Contribuții valoroase la promovarea proiectării și fabricației asistate de calculator au fost aduse de către *prof. dr. ing. Constantin Stăncescu*, un inimos și pasionat susținător al noului în proiectare [*HCF, DMCS07, DMCS08*]. Revista condusă de Domnia sa a prezentat, începând din 1992, noutățile notabile pe plan mondial și național. Datorită acesteia, a primului club din România, precum și a învățământului axat pe proiectarea asistată de calculator promovat la *Facultatea de IMST* din București, s-au format o mulțime de departamente de proiectare asistată în întreprinderile românești.

O altă apariție editorială care a dus la promovarea și dezvoltarea proiectării asistate este *CAD Report*, condusă de un tânăr colectiv din Tg. Mureș [*CREP*].

⇒

2.5. Concluzii

Având în vedere cele expuse, se poate observa că, în domeniul stocării, comunicării (importului, exportului, DNC), vizualizării și simulării, lucrurile sunt aproape închise, existând colective și produse foarte performante. Singurele locuri cu adevărat deschise îmbunătățirilor sunt:

❖ **generarea optimizată a codului NC:**

- ⇒ *analizarea și calculul zonelor neprelucrate din cauza interferențelor sculă - semifabricat;*
- ⇒ *generarea codului, cu condiția de frezare la rugozitate constantă - ceea ce duce la reducerea dramatică a timpilor de prelucrare.*
- ⇒ *deteția pentru diferite cicluri clasice (echidistante în x, y, z) a zonelor critice, unde nu se poate asigura rugozitatea impusă;*
- ⇒ *analiza și compensarea uzurilor;*
- ⇒ *analiza și compensarea dilatărilor;*
- ⇒ *generarea codului NC în curbe cu cât mai puține inflexiuni - pentru a preveni oprirea și schimbarea sensului de rotație a motoarelor mașinii unelte, ceea ce duce la șocuri, vibrații și previne utilizarea eficientă a traseelor de sculă generate la mașini unelte cu avans rapid;*
- ⇒ *reducerea mișcărilor rapide - prin optimizarea traiectoriilor în ciclurile de finisare, ceea ce duce la avansuri constante și timpi mai scăzuți;*
- ⇒ *luarea automată a deciziei privind care tip de frezare este recomandată pentru un anumit tip de reper (în funcție de gabarit, înclinații, inflexiuni, racordări);*
- ⇒ *deciderea, în cazul existenței mai multor scule așchietoare, a setului optim de scule necesar în vederea frezării reperului dat, la rugozitatea cerută, într-un timp cât mai redus;*

❖ **simulări inteligente: (mențin în tot timpul generării fișierului NC starea de frezare a semifabricatului).**

- ⇒ *Aceste simulări trebuie să asigure citirea nivelelor de siguranță pentru mișcări în avans rapid, cât mai reale, decît cât mai joase, optimizând timpul în mișcări rapide;*
- ⇒ *Să se poată cunoaște în fiecare moment cantitatea de material care este prelevată în direcție radială și frontală, oferind oportunitatea de a pilota inteligent avansul, încărcând cât mai uniform scula și mașina uneltă cu solicitări și scăzând timpii necesari prelucrării unui reper;*

❖ **citirea și convertirea într-un format utilizabil a datelor provenite de la mașini de palpat, scanat și cartografiat;**

❖ **citirea și convertirea într-un format utilizabil a datelor provenite din alte sisteme destinate proiectării și fabricației, în format CL sau NC;**

În general, acestea sunt și domeniile studiate de autor în ultimii ani, domenii în care ar dori să-și aducă contribuția.

3. Metode de notație și clase utilizate

3.1. Introducere

Analizând stadiul actual și observând evoluția explozivă a tehnicilor de stocare folosite în decursul vremii, nu s-a încercat crearea unei noi metode de stocare, ci folosirea uneia din alte domenii, arătându-se în decursul lucrării imensul potențial pe care îl posedă în domeniul fabricației.

Metoda de stocare pentru SD utilizată de către autor se încadrează în *suprafețe discrete demulabile*. Această metodă discretă se regăsește într-o multitudine de alte domenii, ca metodă de stocare, vizualizare și analiză, utilizată în general pentru stocarea și procesarea *imaginilor, hărților, propagarea dezastrilor (incendii, taifune) în funcție de geometria terenului, la simularea solidă a frezării în 2, 2^{1/2}, 3 axe [LWRK], procesare de semnal și zgomot bidimensional*.

Din cauza problematicii destul de complexe care se dorește a fi rezolvată, vor fi prezentate și alte metode de stocare (clase) folosite în decursul tezei; acestea sunt: *șirul de caractere, fișierul, întregul, booleanul, realul, punctul, curba, curbe superioare, plasa, suprafețe superioare, masca, suprafața discretă, colecțiile*.

Toate clasele vor fi prezentate într-un mod organizat, atașându-li-se atât operațiile cât și metodele și funcțiile asociate, încercându-se în prima parte expunerea unui limbaj pseudocod rudimentar și simplu de înțeles, orientat pe obiecte.

Nu se dorește o prezentare exhaustivă a acestor clase, ci doar crearea unui set decent și relativ bogat de tehnici de operare pe clasa respectivă, tipurile enumerate fiind larg studiate și implementate în toate sistemele de proiectare și fabricație moderne.

La sfârșitul capitolului, în subcapitolul **Concepte introduse**, se va încerca sintetizarea în pseudocod a celor discutate pe parcursul capitolului. De asemenea, nu se vor expune toate metodele și funcțiile triviale, deoarece aceasta ar duce la încărarea nejustificată a tezei.

3.2. Limbajul pseudocod

Pe parcursul tezei se va încerca structurarea conceptelor descrise într-un limbaj de tip pseudocod orientat pe obiecte, asemănător cu C++ [CPP], [BST] sau Java [JAV], sintaxa nefiind asemănătoare în totalitate. Scopul principal al acestei structurări este acela de a fi *succintă, flexibilă, sugestivă*, trebuind să posedă abilitatea de a descrie *aparatele matematice, structurile de date, designul și implementarea algoritmului*. Dorința autorului este aceea de a prezenta cele discutate într-un singur context.

Facilități avansate ca:

- ⇒ *moștenire multiplă sau privată,*
- ⇒ *clase abstracte și funcționale,*
- ⇒ *operatori compuși (+=, -=, *=, etc),*
- ⇒ *constructori și destructori,*
- ⇒ *interfețe multiple, protejate sau private,*
- ⇒ *tratarea excepțiilor,*
- ⇒ *spațiile numelor,*
- ⇒ *pointeri și referințe,*
- ⇒ *variabile volatile, constante și mutabile,*
- ⇒ *mecanisme asincrone de tratare a validității datelor,*
- ⇒ *clase și funcții template,*
- ⇒ *clase și funcții din librăriile standard (cu excepția celor trigonometrice),*
- ⇒ *metode virtuale,*

nu vor fi folosite, deoarece sunt mai greu de asimilat, în dorința de a nu face dificilă înțelegerea algoritmilor.[RBPEL] Structura de clase va fi prezentată doar pentru a forma o ierarhie logică de clase și a moșteni proprietățile comune.

În acest limbaj variabila se va numi **Obiect**. Tipul (sau structura) variabilei, precum și algoritmi asociați, vor fi încapsulați într-o **Clasă**. Această convenție este necesară pentru a face deosebirea dintre structurile clasice și *clase* (sau variabilele clasice și *obiecte*): primele nu pot conține metode (algoritmi încapsulați, conținuți), nu posedă moștenire, *polimorfism, abstractizare, metode avansate de creare și distrugere etc.*

3.2.1. Clasă

Clasele sunt scrise **îngroșat** și verde închis și au asociată **obligatoriu** o prescurtare cât mai sugestivă, formată din una sau mai multe caractere scrise cu literă mică. Prefixarea trebuie specificată numai prima oară când clasa este definită.

Clasele încapsulează (conțin) *atribute (set de date), operatori, metode*. Clasele sunt la ora actuală cele mai înalte forme de stocare a informațiilor.

Ele se pot moșteni, pot asigura mecanisme evaluate de *polimorfism, prototipizare, abstractizare etc.*

❖ **Exemple:**

Real prefix: r; Intreg prefix: n; Curbă prefix: c; Punct prefix: p;

3.2.2. Obiect

Obiectele sunt instanțele (de tipul) unei clase ce sunt declarate în felul următor: TipClasa prefixclasaNumeObiect; numele obiectului este prefixat **obligatoriu** de prescurtarea clasei respective (notația ungară). Sunt scrise normal.

❖ **Exemple:**

Real rToleranța = 0.0, rRugozitate;

Întreg nIndex = 0, nPuncteCorectate(0);

Punct pTest(0.0, 0.0, 1.0), pMax = {1.0, 1.0, 10.0}, pMin;

Curbă cPătrat;

În cazul mai multor obiecte de un anumit tip se folosește un operator “,” ca separator. Obiectele pot fi inițializate în timpul declarării, folosind operatorul de atribuire “=” sau un constructor specific, utilizând operatorul “()”, cazul nPuncteCorectate, pTest.

3.2.3. Operator

Operatorii sunt setul de operații posibile definit pe **Clasa** respectivă. Ei sunt utilizați în scopul scrierii expresiilor într-un limbaj mai apropiat de cel natural. Câteva exemple de utilizare a operatorilor sunt descrise în continuare:

$rA = rB + rC$ cu Atribuic(rA, Sumă(rB, rC))

$rDistXYZ = \text{Radical}(rX * rX + rY * rY + rZ * rZ)$ cu Atribuic(rDistXYZ, Radical(Sumă(Înmulțește(rX, rX), Înmulțește(rY, rY), Înmulțește(rZ, rZ))))

Apariția operatorilor a fost o evoluție naturală a limbajelor, făcând scrierea expresiilor mult mai lizibilă și mai apropiată de cea matematică. Ca exemple de limbaje care nu conțin operatori: *Lisp, Prolog, Forth*.

❖ **Exemple:**

+, -, *, /, &, |, %, <, >, =, ==, +=, -=, *=, /=, &=, |=, %=, \$I, SAU, !, (), [];

3.2.4. Lista cu parametri

Lista cu parametri ai unei metode sau funcții este descrisă utilizând operatorul “()” (paranteza deschisă).

❖ **Exemple:**

Întreg Max(Întreg n0, n1);

Nimic Analizează(); lista este vidă, dar marcată, pentru a face diferența față de un obiect.

3.2.5. Indexul vectorilor

Iteratorii (indecșii) colecțiilor sunt accesați folosind operatorul “[]” (paranteze pătrate).

❖ **Exemple:**

Nimic fcCurbă[2].Rotunjește(Întreg nIndex);

3.2.6. Enumerare

Enumerările sunt utilizate fără operatori speciali, în cazul când este vorba de un element, sau folosind operatorul “{}” (paranteze acolade), dacă sunt mai multe elemente.

❖ **Exemple:**

```
//enumerare de instrucțiuni
Dacă(condiție)
{
    rA = rB + rC; //instrucțiunea 1;
    rSumă ++; //echivalent cu rSumă = rSumă + 1; instrucțiunea 2;
} //Dacă
Altfel
rSumă --; //echivalent cu rSumă = rSumă - 1; instrucțiunea 1;
//enumerare de reali
Punct pMax = {1.0, 12.0, 10.0};
```

3.2.7. Algoritm

Algoritmii (aparate matematice, proceduri, rutine, funcții, metode) se vor regăsi în două locuri, sub formă de funcții (în cazul în care nu sunt conținuți într-un corp de clasă) sau metode (în cazul în care se găsesc încapsulați în interiorul unei clase).

Algoritmii sunt blocuri de cod care pot returna un obiect dintr-o clasă anume, sau un obiect din clasa specială Nimic, dacă nu returnează nimic (numiți proceduri în unele limbaje).

Algoritmii sunt scriși subliniați în culoarea roșu închis și suplimentar trebuie să însoțească lista de obiecte care trebuie transmise, scrisă folosind operatorul “()” (între paranteze rotunde). În cazul când această listă este vidă, trebuie chemată cu paranteză rotundă deschisă, urmată de paranteză închisă, pentru a face distincția între algoritmi și obiecte.

Algoritmii pot să aibă unii parametri inițializați în momentul definiției, ceea ce înseamnă că următoarele chemări ale aceluiași algoritim EsteApropiat() sunt valide, vor fi interpretate și vor avea ca rezultat, ca în exemplul următor:

```
Boolean EsteApropiat(Real r0 = 0.0, r1 = 0.0, rToleranță = 1e-10)
{
    Dacă(r0 - r1 < rToleranță SAU r1 - r0 < rToleranță) echivalent.Abs(r0 - r1) < rTol
    întoarce(ADEVĂRAT);
```



```
Altfel
  întoarce(FALSE);
} EsteApropiat
```

❖ **Utilizări posibile:**

Chemare	Interpretare	Rezultat
<u>EsteApropiat</u> (10.0, 11.0, 2.0)	<u>EsteApropiat</u> (10.0, 11.0, 2.0)	ADEVĂRAT
<u>EsteApropiat</u> (10.0, 11.0)	<u>EsteApropiat</u> (10.0, 11.0, 1e-10)	FALS
<u>EsteApropiat</u> (3.0)	<u>EsteApropiat</u> (3.0, 0.0, 1e-10)	FALS
<u>EsteApropiat</u> (0.0, _, 0.01)	<u>EsteApropiat</u> (0.0, 0.0, 0.01)	ADEVĂRAT
<u>EsteApropiat</u> (_, 11.0)	<u>EsteApropiat</u> (0.0, 11.0, 1e-10)	FALS
<u>EsteApropiat</u> ()	<u>EsteApropiat</u> (0.0, 0.0, 1e-10)	ADEVĂRAT

3.2.7.1. Funcții

Funcțiile sunt algoritmi liberi, care nu sunt încapsulați în interiorul vreunei clase.

❖ **Exemple:**

```
NimicAnalizează();
Real Max(Real rA, Real rB);
Punct Max(Punct rA, Punct rB);
```

3.2.7.2. Funcții speciale

a) Dacă și Dacă-Altfel

Dacă o condiție este îndeplinită se execută prima enumerare de instrucțiuni, altfel (eventual) a doua enumerare.

Dacă(condiție){...} [Altfel{...}]

b) PentruFiecare

Pentru fiecare valoare, începând cu condiția de start, sfârșind cu condiția de sfârșit satisfăcută și incrementând cu condiția de incrementare, execută o enumerare de instrucțiuni.

PentruFiecare(Condiție de start = 1; condiția de sfârșit = 1; condiția de incrementare = 1) {...}.

c) PânăCând

Până când este satisfăcută condiția execută o enumerare de instrucțiuni.

PânăCând(condiție){...}

Se poate observa că PânăCând(condiție) ~ PentruFiecare(_, condiție, _).

d) Întoarce și Întoarce(...)

Întoarce oprește execuția unui algoritm și (eventual) întoarce un obiect din clasa returnată de algoritmul respectiv.

Întoarce[(obiect de tipul clasei returnate)];

3.2.7.3. Metode

Metodele sunt algoritmi specifici unui clase și sintaxa lor este exact ca aceea de la algoritmi, cu excepția că având acces la datele încapsulate (*private, interioare unei clase*), când o metodă este chemată, aceasta trebuie prefixată de numele obiectului respectiv, urmat de un operator "." (punct).

❖ Exemple:

Nimic dsPiesă.Analizează(); Real cCurbă.Punct.a(Întreg nIndex, Punct pPunct);

3.2.8. Cuvinte cheie**3.2.8.1. Clasa**

Clasa (cuvânt cheie) înseamnă începutul definiției unei noi clase.

3.2.8.2. DerivatăDin

DerivatăDin (cuvânt cheie) înseamnă moștenirea comportamentului unei clase părinte.

3.2.8.3. Operator

Operator (cuvânt cheie) înseamnă începutul descrierii operatorilor permisi pe clasa respectivă.

3.2.8.4. Enumerare

Enumerare (cuvânt cheie) înseamnă începutul enumerării valorilor posibile pentru un obiect.

3.2.9. Comentariu

Comentariile sunt clarificări ale pseudocodului, sunt scrise *italic* și sunt prefixate de //.

❖ Exemple:

//acesta este un comentariu

În interiorul comentariilor, în cazul în care se doresc a fi specificate diferite valori pentru un coeficient, acestea vor fi specificate în felul următor:

// 0,001, 0,1 <0,01> valori posibile în intervalul închis [0,001, 0,1] , cu valoarea inițială 0,01

Acestea sunt convențiile minimale cu care se vor modela unificat diferitele aspecte matematice, de structură, algoritmice sau problemele legate de implementare.

De menționat că, pe parcursul lucrării, algoritmi au fost expuși în forma lor primară, fără implementarea unor mecanisme evaluate de *Undo, Redo, contoare de derulare, mecanisme de oprire și recuperare, tehnici de tratare a erorilor, implementări internaționale, tehnici de optimizare a algoritmilor, transmiteri prin referințe sau pointeri, metode avansate de inline sau mecanisme de alocare și dealocare dinamică de memorie*. Toate acestea numai din considerentul de a face prezentarea cât mai lizibilă, urmărindu-se doar prezentarea derulării pur algoritmice a metodei respective. O implementare cât de cât completă, într-un limbaj de programare, este de circa 3..10 ori mai lungă și nu face obiectul lucrării.

3.3. Clase utilizate

3.3.1. Clasa Întreg

Întregii reprezintă mulțimea numerelor întregi Z . În interiorul acestei lucrări, întregii sunt utilizați pentru indexi, stocarea numerelor de elemente ale diferitelor clase superioare etc.

❖ Operatori:

Op	Expresie	Explicații	Op	Expresie	Explicații
=	$C = A$	Egalitatea $5 = 5$	==	$C == A$	$(C=A) ? 1 : 0$;
+	$C = A + B$	Adunarea $5+3=8$	+=	$C += A$	$C = C + A$
-	$C = A - B$	Scăderea $5-3=2$	-=	$C -= A$	$C = C - A$
*	$C = A * B$	Înmulțirea $5*3=15$	*=	$C *= A$	$C = C * A$
/	$C = A / B$	Împărțirea $5/3=1$	/=	$C /= A$	$C = C / A$
!	$C = !A$	NEGAȚIA $!5 = 2; !01 = 010$!=	$C != A$	$C = !A$
&	$C = A \& B$	ȘI logic $5\&3=1; 101\&110=001$	&=	$C \&= A$	$C = C \& A$
	$C = A B$	SAU logic $5 3=7; 101 110=111$	=	$C = A$	$C = C A$
%	$C = A \% B$	SAU exclusiv $5\%3=6; 101\%110=110$	%=	$C \% = A$	$C = C \% A$
ȘI	$C = A \text{ ȘI } B$	$C = (A\&B>0) ? 1 : 0$	INT	$C \text{ INT } rA$	$\text{INT } 4.5 = 4$
SAU	$C = A \text{ SAU } B$	$C = (A B>0) ? 1 : 0$	MIN	$C \text{ MIN } A$	$C = \text{MIN}(A, C)$
%%	$C = A \% \% B$	$C = (A\&B>0) ? 1 : 0$	MAX	$C \text{ MAX } A$	$C = \text{MAX}(A, C)$
>	$C = A > B$	$C = (A>B) ? 1 : 0$	>=	$C = A >= B$	$C = (A >= B) ? 1 : 0$
<	$C = A < B$	$C = (A<B) ? 1 : 0$	<=	$C = A <= B$	$C = (A <= B) ? 1 : 0$

❖ Metode:

NimicMin (Întreg nA, nB); //întoarce minimul dintre valorile nA și nB

NimicMax (Întreg nA, nB); //întoarce maximul dintre valorile nA și nB

NimicAbs (Întreg nA); //întoarce valoarea absolută

❖ Funcții asociate:

Întreg Min (Întreg nA, nB); //întoarce minimul dintre valorile nA și nB

Întreg Max (Întreg nA, nB); //întoarce maximul dintre valorile nA și nB

Întreg Abs (Întreg nA); //întoarce valoarea absolută

❖ Prefixare: n;

❖ Exemple:

nNumărPuncte – numărul de puncte;

3.3.2. Clasa Boolean

Booleenii sunt o clasă particulară derivată din întregi (deci moștenesc toate proprietățile acestora). Rolul lor este acela de a asigura implementarea logicii matematice.

Singurele valori posibile ale booleenilor sunt ADEVĂRAT (= 1) și FALS (= 0).

❖ **Operatori:**

Toți operatorii posibili pe Clasa **Întreg** sunt aplicabili specializării (clasei derivate) **Boolean**; evident, nu toți își au sensul.

❖ **Metode:**

Toate metodele de la Clasa **Întreg** sunt moștenite.

❖ **Prefixare: b;**❖ **Exemple:**

bStart – variabila booleană *Start*;

3.3.3. Clasa Real

Realii sau numerele reale din **R**. Reprezintă o clasă elementară descrisă pentru a înțelege operațiile executate cu numere reale. Toate operațiile, metodele și funcțiile asociate pot fi extinse foarte ușor la clasele mai evolute: punct, bază vectorială etc.

❖ **Operatori:**

Op	Expresie	Explicații	Op.	Expresie	Explicații
=	C = A	Egalitatea 5.0 = 5.0	==	C == A	(C=A) ?1.0:0.0
+	C = A + B	Adunarea 5.0+3.0= 8.0	+=	C += A	C = C + A
-	C = A - B	Scăderea 5.0-3.0= 2.0	-=	C -= A	C = C - A
*	C = A * B	Înmulțirea 5.0*3.0=15.0	*=	C *= A	C = C * A
/	C = A / B	Împărțirea 5.0/3.0= 1.6	/=	C /= A	C = C / A
			Real	C real nA	4.0 = real 4
			min	C min A	C = min(A, C)
			max	C max A	C = max(A, C)
>	C = A > B	C = (A>B) ?1.0:0.0	>=	C = A>=B	(A>=B) ?1.0:0.0
<	C = A < B	C = (A<B) ?1.0:0.0	<=	C = A<=B	(A<=B) ?1.0:0.0

❖ **Metode:**

NimicMin (Real rA, rB); //intoarce minimul dintre valorile rA și rB
NimicMax (Real rA, rB); //intoarce maximul dintre valorile rA și rB
NimicMorf(Real rA, rB, rP = 0.5); //intoarce rA * rP + rB * (1.0 - rP)
NimicAbs (Real rA); //intoarce valoarea absolută

❖ **Funcții asociate:**

Real Min (Real rA, rB); //intoarce minimul dintre valorile rA și rB
Real Max (Real rA, rB); //intoarce maximul dintre valorile rA și rB
Real Morf(Real rA, rB, rP = 0.5); //intoarce rA * rP + rB * (1.0 - rP)
Real Abs (Real rA); //intoarce valoarea absolută

❖ **Prefixare: r;**❖ **Exemple:**

rMin, rMax – valorile minim și maxim;

3.3.4. Clasa Punct

Punctele sunt entități elementare folosite de către toate clasele vectoriale superioare, pentru a stoca valorile diferitelor entități care le compun.

De menționat că, pentru simplitate, în decursul lucrării se vor folosi doar puncte din \mathbb{R}^3 . Se poate menționa aici că, în domeniul științei sunt folosite puncte în mai multe dimensiuni \mathbb{R}^n sau puncte cu construcție specială pentru suprafețe superioare \mathbb{R}^5 u, v, x, y, z unde u, v sunt coordonatele parametrice ale suprafeței de pe care derivă.

❖ Operatori:

Pe clasa Punct se aplică exact aceleași tipuri de operații ca și la Clasa Real, corespunzător fiecărui membru rX, rY, rZ .

Pentru a da consistență se implementează operațiile cu scalari de tip real sau întreg, care pot substitui coordonatele unui punct, spre exemplu:

```
pP0(2.0); //pP0.rX 2.00; pP0.rY 2.00; pP0.rZ 2.00; Inițializare
pP0 = 0.0; //pP0.rX 0.00; pP0.rY 0.00; pP0.rZ 0.00; Inițializare
pP0(1.0, 3.9, -1.2); //pP0.rX 2.00; pP0.rY 3.90; pP0.rZ -1.20; Inițializare
pP0 = {2.0, 1.9, -1.2}; //pP0.rX 2.00; pP0.rY 1.90; pP0.rZ -1.20; Inițializare
pP1 = 2.0 * pP0; //pP1.rX 4.00; pP1.rY 3.80; pP1.rZ -2.40; Înmulțire scalar
pP1* = pP0; //pP1.rX 8.00; pP1.rY 7.22; pP1.rZ = 2.88; Înmulțire point
pP0/= 2.0; //pP0.rX 1.00; pP0.rY 0.95; pP0.rZ -0.60; Împărțire
pP1 = max(pP0, 5.0); //pP1.rX 8.00; pP1.rY 7.22; pP1.rZ = 5.00; Similar pP1 MAX 5
pP0 min 0.0; //pP0.rX 0.00; pP0.rY 0.00; pP0.rZ -0.60; Op. MIN cu scalar.
pP0=morph(pP0,pP1,0.5); //pP0.rX = 4.00; pP0.rY = 3.61; pP0.rZ = 2.20; funcția morph.
```

Se poate observa că setul de operații descris este destul de consistent și permite o operare decentă cu clasele elementare descrise până în prezent: *întreg, boolean, real și punct*.

❖ Metode:

```
NimicMin (Punct pA, pB); //intoarce minimul dintre valorile pA și pB
NimicMax (Punct pA, pB); //intoarce maximul dintre valorile pA și pB
NimicMorf (Punct pA, pB, pP = 0.5); //intoarce p.A * pP + pB * (1.0 - pP)
NimicAbs (Punct pA); //intoarce valoarea absolută
```

```
NimicRotX(Punct pRot, Real rUnghiDeg); : rotatia în jurul lui X
NimicRotY(Punct pRot, Real rUnghiDeg); : rotatia în jurul lui Y
NimicRotZ(Punct pRot, Real rUnghiDeg); : rotatia în jurul lui Z
NimicScalare(Punct pScalare, Real rFactorScalare); : scalarea față de un punct
NimicTranslație(Punct pTranslație); : scalarea față de un punct
```

❖ Funcții asociate:

```
Punct Min (Punct pA, pB); : intoarce minimul dintre valorile p.A și p.B
Punct Max (Punct pA, pB); : intoarce maximul dintre valorile p.A și p.B
Punct Morf (Punct pA, pB, pP = 0.5); : intoarce p.A * pP + pB * (1.0 - pP)
Punct Abs (Punct pA); : intoarce valoarea absolută
```

```
Punct RotX(Punct p, pRot, Real rUnghiDeg); : rotatia în jurul lui X
Punct RotY(Punct p, pRot, Real rUnghiDeg); : rotatia în jurul lui Y
```

Punct RotZ(Punct p, pRot, Real rUnghiDeg): rotația în jurul lui Z
Punct Scalare(Punct p, pScalare, Real rFactorScalare): scalarea față de un punct
Punct Translație(Punct p, pTranslație): scalarea față de un punct

❖ **Prefixare: p;**

❖ **Exemple:**

pMin, pMax – punctul minim și maxim;
 p0.rX - valoarea cotei x din punctul 0;

3.3.5. Clasa SetDeCaractere

Șirul de caractere este o colecție de obiecte din clasa **Întreg**. Este utilizat la transmiterea mesajelor. Citirea unui caracter din interiorul unui obiect din clasa SetDeCaractere se face cu operatorul "[]" specific parcurgerii colecțiilor.

❖ **Prefixare: str;**

❖ **Exemple:**

strMesaj = "Acesta este mesajul";

3.3.6. Clasa Baza Vectorială

BazaVectorială este o clasă elementară care trasează un comportament comun pentru clasele mai evoluate (*curbe, plase, suprafețe discrete*).

Această clasă a fost imaginată ca punct de pornire pentru descrierea celorlalte superobiecte bazate pe colecții de puncte.

Conține obiectele locale din clasa **Punct** (**pMin, pMax, pDif**), care reprezintă extensia paralelipipedului spațial în care poate fi inclusă respectiva colecție de puncte.

❖ **Prefixare: bv;**

3.3.7. Clasa Curbă

Curbele discrete folosite în această lucrare sunt cele mai elementare posibile (polilini în R^3), având ca reprezentare o colecție de puncte, cu următoarea convenție: curba se va genera trasând segmente de dreaptă între fiecare pereche de puncte consecutive.

S-a ales acest mod de reprezentare elementar, deoarece oricare curbă continuă de ordin superior (*analitică, arc de cerc, arc de elipsă etc*), dată într-un spațiu n dimensional, poate fi convertită într-o astfel de reprezentare, dându-se o toleranță admisibilă.

Curbele închise se definesc a fi acele curbe a căror prim și ultim element coincid.

Curbele plane sunt acele curbe care nu conțin informații despre cota Z, nu au fost tratate separat, ci sunt utilizate cele 3D, nefolosind cota Z.

Curbele sunt entități foarte generale, folosite în:

- ❖ **generare** – curbe directoare și generatoare, axe de rotație etc;
- ❖ **analiză** – marchează și întorc locuri critice în care anumite condiții nu se împlinesc;
- ❖ **generare fișier NC** – traseul sculei;

Curbele au un punct de start și un sens de parcurs. În cazul curbelor închise, sensul de parcurs poate fi trigonometric sau orar.

Apariția **curbelor discrete** (polilini) a fost naturală, ele fiind cea mai simplă metodă, utilizată larg în schimbul de informații de nivel scăzut despre curbe, între aplicații. Sunt suportate de aproape toate formatele (*STEP, IGES, VDA, ACIS, DXF, ACD*).

Dezavantajul lor major este acela că sunt mari consumatoare de memorie, din cauza stocării discrete a valorilor.

O metodă larg utilizată de scădere a consumului de memorie este aceea de a elimina punctele care sunt coliniare; această metodă reduce consumul de memorie cu 10..95%.

O altă metodă utilizată larg în generarea fișierelor NC, și care duce implicit la reducerea lungimii acestora, este aceea în care se folosesc curbe cu *X, Y sau Z* constant, convertibile în arce de cerc (aproape toate postprocesoarele suportă acest tip de dată). Scăderea necesarului de memorie este de circa 50%. În ultimii ani au apărut ECN care suportă curbe spline. Prin reconvertirea curbelor elementare în curbe spline se asigură o reducere cu 20..50% a lungimii fișierului generat, precum și o creștere sensibilă a calității suprafeței generate.

NOTĂ: Toate statisticile au fost executate pe repere de complexitate medie, cu plaje de toleranță [0.001 – 0.1 mm] și gabarite specifice domeniului construcțiilor de mașini. Tendința generală este aceea că: cu cât un reper este mai simplu (număr scăzut de schimbări de curvatură), cu atât optimizările descrise anterior funcționează mai bine.

Există metode de a crește **calitatea** curbei, prin conversia ei într-o curbă **B-Spline** și eliminarea din nou a punctelor intermediare, cu o toleranță mai mică.

❖ **Operatori:**

Operatorii specifici clasei **Curbă** sunt cei de la clasa **BazaVectorială**; orice operație care conține ca parametru un scalar sau un punct poate fi definită pe o colecție de puncte.

Suplimentar se pot imagina operatorii $+$, $+=$, care adună la lista de puncte un punct nou sau o listă nouă de puncte. Totuși, această facilitate nu va fi folosită, datorită necesității de a fi consecvent în folosirea operatorilor, lăsându-i pentru transformările datelor în maniera folosită la clasele *real, punct*.

❖ **Metode:**

Metodele descrise sunt cele elementare, de adunare, modificare și ștergere a punctelor, precum și cele de schimbare de sens, interogare despre sens, care își au rostul doar în cazul curbelor închise.

Punct Operator[] (**Întreg nNr**): *întoarce punctul numărul nNr [1..nMax]*
Punct Operator[] (**Real rT**): *întoarce punctul normând curba rT [0.0..1.0]*

Punct Operator `l` (**Întreg** `nNr`, **Real** `rT`): # întoarce punctul normând elementul `nNr`
Nimic Punct `La` (**Întreg** `nNr`, **Punct** `p`): # setează punctul numărul `nNr` [1..`nMax`]
Punct Adună (**Punct** `p`): # adună un punct
Punct Adună (**Întreg** `nNr`, **Curbă** `c`): # adună o curbă la poziția dată de `nNr`
Punct Adună (**Curbă** `c`): # adună o curbă la sfârșit

Punct Del (**Întreg** `nNr`): # șterge punctul numărul `nNr` [1..`nMax`]
Nimic SchimbăSensul(): # schimbă sensul de parcurgere al curbei
Nimic FăTrigonometric(): # face sensul de parcurs al curbei în sens trig.
Nimic FăTrigonometric(): # face sensul de parcurs al curbei în sens trig.
Boolean EsteInSensTrig(): # întoarce ADEVĂRAT dacă-i în sens trig.
Boolean EsteInSensOrar(): # întoarce ADEVĂRAT dacă-i în sens orar
Boolean EsteInchisă(): # întoarce ADEVĂRAT dacă curba este închisă

❖ Funcții asociate:

Nu există încă.

❖ Prefixare:

`c`;

❖ Exemple:

`cBoundaries.nNr` – numărul de puncte de pe curbe care reprezintă dreptunghiul înconjurător;

`cTemp.rMax.rY` – valoarea `Y` a punctului maxim de pe curba `Temp`;

În general, curbele nu se folosesc singure decât în cazul particular al generării de suprafețe ca și curbe directoare sau generatoare. Sunt de preferat colecțiile (familii) de curbe, care sunt mult mai puternice din punct de vedere al reprezentării. Spre exemplu, în cazul în care se doresc locuri critice sau trasee de scule în care trebuie alternate mișcări rapide cu cele în avans de lucru, sau scule de geometrii diferite, curbele singure nu sunt destul de bogate în informația conținută pentru a putea reprezenta pertinent aceste tipuri de date, care conțin discontinuități geometrice sau informații auxiliare (*tehnologice, geometrie de cap de sculă etc.*).

3.3.8. Clasa CurbăSuperioară

Toate curbele care nu sunt stocate ca o secvență de segmente de dreaptă vor fi numite **curbe superioare**. Acestea pot conține: *arce de cerc, curbe B-Spline, informații suplimentare despre sculă, culoare, strat de desenare*. În această lucrare nu vor fi detaliate și utilizate, pentru a păstra expunerea cât mai simplă. Fiind posibilă derivarea directă din **curbă**, toți operatorii, metodele și funcțiile asociate clasei **curbă** se presupun moșteniți.

3.3.9. Clasa Plasă

Plasele sunt cele mai simple obiecte care pot fi utilizate pentru stocarea suprafețelor. Sunt extensia naturală înspre stocarea suprafețelor la curbele discrete (polilini). În concluzie, pentru a le stoca este nevoie de o matrice bidimensională, în care sunt stocate **punctele** rețelei. Rezultă că forma celulei elementare este patrulateră, dar nu și plană (conversia într-o reprezentare triunghiulară este trivială, unind două colțuri opuse ale celulei elementare).

În mod similar se poate demonstra că orice suprafață continuă de ordin superior poate fi convertită într-o suprafață finită de tip plasă, cu o eroare mai mică de **toleranță** dată.

Apariția plaselor a fost naturală, ele fiind o metodă simplă, utilizată larg în schimbul de informații de nivel scăzut despre suprafețe, între aplicații. Este suportată cam de toate formatele care suportă suprafețe (*STEP, IGES, VDA, ACIS, DXF*).

Dezavantajul lor major este acela că sunt mari consumatoare de memorie, din cauza stocării discrete a valorilor.

Având în vedere acest dezavantaj (al consumului de memorie), de-a lungul vremii sau dezvoltat metode mai evoluate, pentru a reduce consumul de memorie, prin detecția și eliminarea porțiunilor plane. O primă observație este că această metodă utilizează o structură arborescentă pentru stocare mai eficientă, dar și mai complicată, din punctul de vedere al parcurgerii și exemplificării.

Plasele și plasele optimizate se regăsesc în multe din produsele destinate fabricației actuale, ca un tip de dată ascuns, reprezentând corecția spațială de sculă, deoarece, pe acest tip de dată proiecțiile și secționările se realizează relativ simplu, deci conversia în fișier NC este relativ simplă.

Există metode destul de complicate de a crește calitatea plasei, prin conversia ei într-o plasă B-Spline și stocarea cu un pas mai mare (metoda folosită de autor în produsul TechnoMesh, numită rafinare [DM01..12]).

❖ Operatori:

Operatorii specifici clasei **Plasă** sunt cei de la Clasa **BazaVectorială**. Orice operație care conține ca parametru un scalar sau un punct poate fi definită pe o colecție de puncte de tip plasă (mesh [ACAD]).

❖ Metode:

Metodele descrise sunt cele elementare, de adunare, modificare și ștergere a punctelor, precum și cele de schimbare de sens interogare despre sens, care își au sensul doar în cazul curbelor închise.

Punct Operator| (Întreg nU, nV); //întoarce pt. nU=[1..nNrU], nV=[1..nNrV]
Punct Operator| (Real rU, rV); //întoarce nomând plasa rU,rV [0.0..1.0]
Punct Operator| (Întreg nU, nV, Real rU, rV); //normează elem. nU, nV
NimicPunctLa(Întreg nU, nV, Punct p); //setează punctul de la nU, nV
NimicSchimbăSensul(Boolean bU, bV); //schimbă sensul de parcurgere al plasei
Curbă laDeLaXY(Întreg nPlasa, Real rX, rY); //proiectează și returnează o listă cu pt.

FamiliaDeCurbe laDeLaU(Real rV); //convertește în f.curbă pt rV
FamiliaDeCurbe laDeLaV(Real rU); //convertește în f.curbă pt rU
FamiliaDeCurbe laDeLaX(Real rX); //convertește în f.curbă pt rX
FamiliaDeCurbe laDeLaY(Real rY); //convertește în f.curbă pt rY
FamiliaDeCurbe laDeLaZ(Real rZ); //convertește în f.curbă pt rZ.

Real Aria() //calculează aria
Real LungimeaU(Real rV); //lungimea la în dir U la v rV
Real LungimeaV(Real rU); //lungimea la în dir V la u rU
Real LungimeaMaxU(); //lungimea maximă în dir U
Real LungimeaMaxV(); //lungimea maximă în dir V
Curbă CurbăU(Real rV); //convertește în curbă pt rV
Curbă CurbăV(Real rU); //convertește în curbă pt rU

De menționat metodele $GetU()$, $GetV()$, $GetX()$, $GetY()$, $GetZ()$, care interoghează plasa prin proiectare sau tăiere. Acestea sunt folosite în conversia suprafețelor fațetate corecție de sculă, în trasee de sculă.

De menționat că $GetX$, $GetY$, $GetZ$ sunt metode foarte lente iterative, care solicită intens procesorul. Din cauza acestei probleme, analiza și prelucrarea lor este foarte lentă.

❖ **Funcții asociate:**

Nu există încă.

❖ **Prefixare:**

m;

❖ **Exemple:**

mAnalytic.nNrU – numărul de puncte în direcția U de pe plasa Analytic;

mTemp.Put(nU, nV, pPunct) – pune pe plasa Temp la punctul de coordonate nU, nV valoarea pPunct.

3.3.10. Clasa SuprafețeSuperioare

Suprafețele superioare sunt acele suprafețe care sunt descrise prin alte metode decât cele de la **plase**. În general, fiecare tip de suprafață (*revoluție, rulată, racordare etc*) este stocată în funcție de metoda de generare. Această metodă duce la premisele regenerării automate, a proiectării parametrice. Dar, dezavantajul major este acela că fiecare set de metode trebuie implementate separat pe fiecare clasă specifică, lucru care duce la îngreunarea dezvoltării produsului soft.

Cunoscându-se acest dezavantaj al **suprafețelor superioare**, s-a încercat soluția de compromis, de a o transforma într-o suprafață **B-Spline** și a implementa setul de metode superioare de *secționare, proiecția, offsetul 3D* pe un singur tip de suprafață, doar o singură dată pe acest tip de dată. Această metodă este folosită la ora actuală în aproape toate sistemele de proiectare și fabricație. Dezavantajele sunt numai în ceea ce privește timpul de procesare, care în cazul utilizării curbelor **B-Spline** de ordine mari crește exponențial cu gradul curbei.

Importul și exportul suprafețelor **B-Spline** este suportat de formatele de nivel înalt, ca: *STEP, IGES, VDA, ACIS*.

❖ **Prefixare:**

ss;

❖ **Exemple:**

ssOffset.nNrU – numărul de puncte în direcția U de pe plasa Offset;

3.3.11. Clasa CapDeSculă

Această clasă are scopul de a stoca o sculă ISO standard, caracterizată de următorii parametri: diametrul mare al sculei rD, diametrul mic rDb, raza de racordare rR, unghiul la bază (orizontal) rA, *unghiul față de verticală* rB, *lungimea părții active (auriu)* rF, *lungimea părții critice (roșu)* rC.

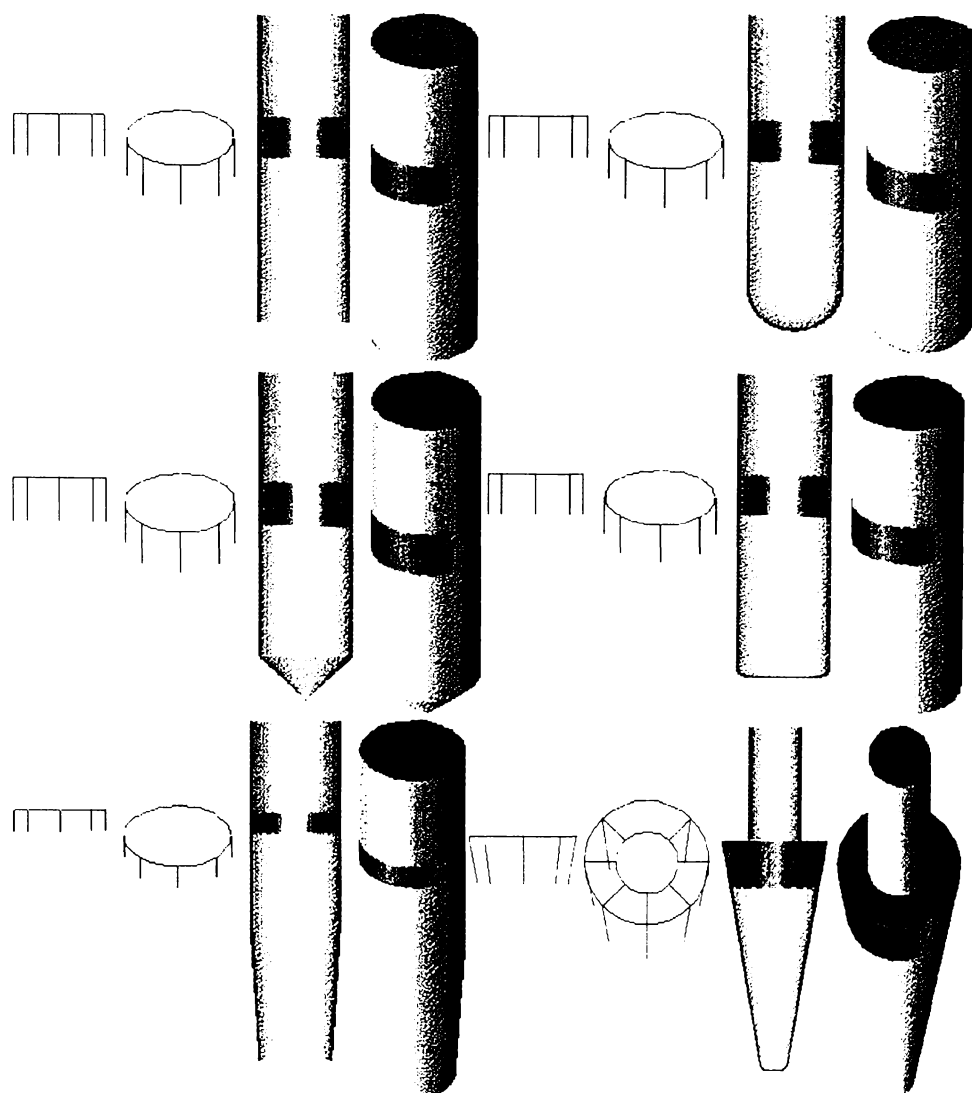


Figura 3.1 Câteva capete de freză suportate de această lucrare

Clasa CapDeSculă are rolul de a furniza informații despre geometria sculei algoritmilor de calcul a suprafeței de contact și a suprafeței discrete cu materialul nefrezabil, suprafețe esențiale în toate procesările de nivel înalt, de optimizare și procesare a fișierului NC.

Nu posedă *operatori, metode sau funcții asociate.*

Sunt folosite numai cu scopul de a furniza suprafeței discrete asociate date necesare conversiei, în vederea analizelor de corecție de sculă.

❖ **Prefixare:**

sc;

❖ **Exemple:**

scSferică.rR – raza capului de sculă Sferic,

3.3.12. Clasa BazăDiscretă

Clasa **BazăDiscretă** este o clasă de bază derivată din **BazaVectorială**, destinată stocării suprafețelor mască discretă și suprafață discretă, creând premisele stocării limitelor acestora, precum și metode de conversie ale originilor, din cele reale ale volumului descris în cele discrete ale matricii de stocare.

❖ **Variabile:**

Întreg nX; //numărul de puncte din matrice în direcția X

Întreg nY; //numărul de puncte din matrice în direcția Y

Real rStep; //pasul reprezentării

❖ **Metode:**

Real IndexÎnRealPtX(Întreg nX); //conversia din index în real pe X

Real IndexÎnRealPtY(Întreg nY); //conversia din index în real pe Y

Întreg RealÎnIndexPtX(Real nX); //conversia din real în index pe X

Întreg RealÎnIndexPtY(Real nY); //conversia din real în index pe Y

❖ **Prefixare:**

Nu există obiecte direct derivate !

3.3.13. Clasa SuprafețeDiscrete

Suprafețele discrete sunt metoda de stocare a suprafețelor discrete.

Forma de stocare este o matrice bidimensională, care stochează o singură cotă z (cea maximă), uniform, într-o rețea parcursă cu pas constant, în ambele direcții, X și Y, în plan.

În fapt, metoda se poate asemăna cu realizarea unei fotografii monocrome (neperspectivă) a reperului ce trebuie frezat, în direcția axei Z a mașinii, stocând în fiecare punct dat, de coordonate x, y, ale fotografiei, cota z maximă vizibilă.

O primă limitare a acestei metode este aceea că nu poate stoca precis suprafețele neinjective (cele nedemulabile), cele care au puncte în planul XY cu mai mult de o cotă Z sau niciuna. Această problemă a fost rezolvată simulând comportamentul tehnologului, care trebuie să rezolve această problemă dându-i-se spre realizare un astfel de reper.

Astfel:

- ⇒ în cazul în care nu există valori pentru un punct x, y , se stochează minimul reprezentării sau o altă cotă arbitrară;
- ⇒ în cazul în care suprafața are o singură cotă Z în spațiu, aceasta se stochează în matricea cu cotele Z ;
- ⇒ în cazul în care există mai mult de o cotă pentru aceeași valoare x și y , se stochează valoarea maximă.

❖ Operatori:

operator +, -, *, /, +=, -=, *=, /=, =, MAX, MIN, ADD, SUB, MULTIPLY, DIVIDE, MORPH, FILSUS, FILJOS, ECDSUS, ECDJOS;

Exemple despre modul în care rezultă suprafața, în 12 cazuri de aplicare a operatorilor, în figura 3.2.

Mai multe detalii despre aceștia, în capitolul următor.

❖ Metode:

```
NimicPunctLa(Întreg nX, Întreg nY, Real rVal, Întreg nMetoda = PM_NONE, Real rMorph = 0.5);
NimicPunctLa(Real rX, Real rY, Real rVal, Întreg nMetoda = PM_NONE, Real rMorph = 0.5);
Real Operator[] (Întreg nX, Întreg nY); //citește un punct
Real Operator[] (Real rX, Real rY); //citește un punct
NimicPunctLaAll(Real rValoare); //setează toată suprafața
```

Metoda de punere a datelor poate fi: *PM_NONE*, *PM_MAX*, *PM_MIN*, *PM_ADD*, *PM_SUB*, *PM_MULTIPLY*, *PM_DIVIDE*, *PM_MORPH*.

❖ Prefixare:

sd;

❖ Exemple:

sdReper, sdCorecție– suprafețele discrete ale reperului și ale suprafeței de corecție.

3.3.13.1. Operații solide

Operațiile solide între diferitele suprafețe discrete (combinările) sunt foarte importante pentru diferitele metode de *modelare*, *import* și *analiză*.

Câteva exemple ar putea fi:

- în **modelare**, cu ajutorul operațiilor *PM_ADD*, *PM_SUB* se pot aduna sau scădea diferite înscrisuri pe SD, iar cu *PM_FILSUS*, *PM_FILJOS* se pot executa racordări;
- în **import**, cu operațiile *PM_MAX*, *PM_MIN* se asigură continuitatea suprafeței convertite din diferite petece importate;

- în analiză, cu operațiile PM_ECDSUS , PM_ECDJOS se pot calcula suprafețele traseelor de sculă și suprafețele de contact (backoffset), precum utilizând PM_SUB se poate calcula SD nefrezabilă în analizele de detecție a materialului nefrezabil.

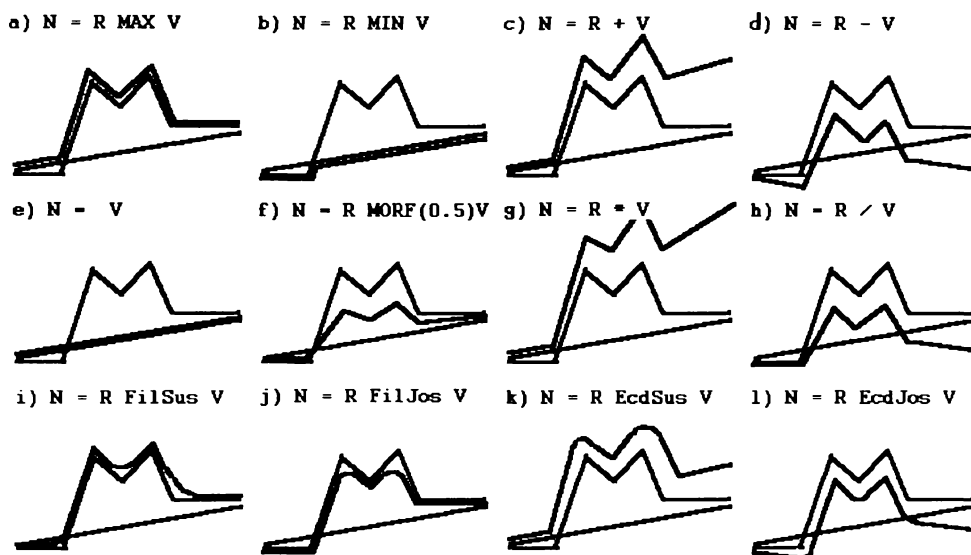


Figura 3.2 Exemple de operatori solizi posibili între diferite suprafețe discrete

Se prezintă în continuare câteva operații solide între două SD. Exemple despre cum arată $sdRezultate$ se pot observa în figura 3.2, unde s-au reprezentat într-o secțiune cele trei SD: cu negru $sdRezultată$, cu roșu $sdNouă$, cu verde $sdVeche$.

Enumerare ModulDePunere //enumerarea modurilor de combinare solidă a SD și măștilor

```
{
  PM_NONE, //sdRezultat sdNouă;
  PM_MAX, //sdRezultat max(sdVeche, sdNouă);
  PM_MIN, //sdRezultat min(sdVeche, sdNouă);
  PM_ADD, //sdRezultat sdVeche + sdNouă;
  PM_SUB, //sdRezultat sdVeche - sdNouă;
  PM_MULTIPLY, //sdRezultat sdVeche * sdNouă;
  PM_DIVIDE, //sdRezultat sdVeche / sdNouă;
  PM_MORPH, //sdRezultat morph(sdVeche, sdNouă, rMorfValue);
  PM_FILSUS, //sdRezultat offset(offset(sdVeche, sdLead, bSus), sdLead, bJos);
  PM_FILJOS, //sdRezultat offset(offset(sdVeche, sdLead, bJos), sdLead, bSus);
  PM_ECSDUS, //sdRezultat offset(sdVeche, sdNouă);
  PM_ECDJOS, //sdRezultat offset(sdVeche, sdNouă);
}
```

3.3.13.2. Necesarul de memorie

În general, încercându-se o analogie cu tehnica stocării imaginilor, SD sunt stocate ca o imagine monocromă, pentru fiecare pixel stocându-se cota Z, iar măștile SDM sunt stocate ca o imagine alb-negru, pentru fiecare pixel fiind stocată o valoare booleană de tip Adevărat – Fals.

Deci, pentru o rezoluție dată de $m \times n$ avem:

⇨ *Necesarul de memorie = $m * n * (4 * 8 + 1)$; // în cazul stocării ca un float*

⇨ *Necesarul de memorie = $m * n * (8 * 8 + 1)$; // în cazul stocării ca un double*

Pentru a preîntâmpina consumul nerățional de memorie, datele au fost stocate ca un *float*, adică pe patru octeți. Această reprezentare asigură peste 6 zecimale exacte pentru valori între $[-1000 +1000 \text{ mm}]$, adică cele uzuale domeniului de fabricație. De menționat că, atunci când memoria volatilă (RAM) și spațiul pe disc nu erau disponibile în cantități suficiente, datele erau stocate ca un întreg pe 16 bit, oferind 65536 valori, ceea ce pentru repere cu extensia uzuală pe Z de $[-1000...+1000 \text{ mm}]$ reprezenta o precizie de $2000/65535 = 0.03 \text{ mm}$, considerându-se suficientă pentru repere gabarite de 2000 mm, și 0.003 mm pentru cele din plaja de $[-100 +100 \text{ mm}]$.

Pentru ușurarea calculului se vor folosi algoritmi bazați pe stocare ca *float*, adică un tip de dată real pe 4 octeți.

3.3.13.3. Mărimea suprafețelor discrete

În funcție de rezoluția de reprezentare și destinația lor, suprafețele discrete pot fi împărțite în trei mari categorii:

mici, până la 10.000 de puncte (100x100), rezonabile în cazurile în care se doresc analize și rapoarte rapide despre diferite moduri de frezare, cazul experților auditivi și ai celor de analiză, care nu execută export grafic, ci doar raportează în mare, spre exemplu, direcția optimă de frezare, sau dacă este sau nu o frezare echipotențială recomandată; reprezentare deosebit de rapidă, cu timpi de analiză în domeniul milisecundelor, decizii foarte utile luate în 2..3 secunde. Nu sunt utilizabile în locurile în care se doresc rapoarte grafice;

timpi medii de răspuns: 0,1-3 [s]

spațiu necesar pentru stocare 4...40 [ko]

medii, până la 250.000 de puncte (500x500), utilizate în cazurile în care se doresc rapoarte grafice, ca și locuri critice din punct de vedere al rugozității, pentru diferite cicluri de frezare, detectarea și exportul zonelor neprelucrate din cauza interferențelor sculă-semifabricat, simple reprezentări vizuale ale solidului, sau generarea fișierelor de degroșare;

timpi medii de răspuns: 3-30 [s]

spațiu necesar pentru stocare 40..1000 [ko]

mari, peste 250.000 (>500x500), rezonabile numai în cazul generării fișierelor NC de finisare; sunt foarte lente și mari consumatoare de memorie;

timpi medii de răspuns: >30 [s]

spațiu necesar pentru stocare >1000 [ko]

Este foarte important ca, în funcție de calitatea și timpul de răspuns dorit, să se aleagă corect mărimea suprafeței discrete asociate.

De menționat că, dacă se stochează la o rezoluție mare, suprafața poate fi convertită într-una de rezoluție mai mică, fără pierdere de calitate, procesul invers nefiind adevărat.

3.3.14. Clasa Mască

Masca reprezintă o matrice bidimensională de aceeași dimensiuni cu cele ale SD în care sunt stocate obiecte de tip boolean, și care este utilizată pentru raportarea diferitelor rezultate ale unor analize.

Suplimentar, în cazul conversiei unei suprafețe nediscrete (SN) într-una discretă (SD), s-a creat facilitatea de a stoca extensia în XY a existenței acesteia, într-o mască numită "masca suprafeței discrete" (MSD).

Măștile sunt concepute mult mai generice, și sunt folosite pentru definirea diferitelor zone în care se execută operațiile de combinare a unei suprafețe cu alta, zone de frezare, sau sunt returnate ca raport al extensiei procesării unei metode de analiză.

❖ Operatori:

Cei de la BazăVectorială, pentru modificarea $pMin$, $pMax$, deci scalări și translații.

De asemenea, operatori noi pentru operații cu măști: AND (Fig.3.2 a), OR (Fig.3.2 b), XOR (Fig.3.2 c), SUB (Fig.3.2 d,e), NOT (Fig.3.2 f);

❖ Metode:

Sunt cele de citire și scriere.

```
NimicPuneLa(Întreg nX, Întreg nY, Boolean bVal, Întreg nMetoda = PM_NONE);
//pune un bool
Real Operator[] (Întreg nX, Întreg nY); //citește un bool
NimicPuneLa(Real rX, Real rY, Boolean bVal, Întreg nMetoda = PM_NONE); //pune un bool
Real Operator[] (Real rX, Real rY); //citește un bool
NimicPuneLaAll(Boolean bValoare); //setează toată suprafața
NimicRevert(); //schimbă toate valorile
```

Observând metodele de combinare a măștilor s-a creat o metodă inteligentă de a pune datele:

```
NimicPuneLa(Întreg nX, Întreg nY, Boolean bVal, Întreg nMetoda): //pune un bool inteligent
```

Aceasta are ca ultim parametru o valoare $nMetoda$, care poate lua următoarele valori: PM_NONE , PM_AND , PM_OR , PM_XOR (fig. 3.3).

❖ ***Prefixare:***

sc;

❖ ***Exemple:***

sdReper.m, sdVârfSculă.m –masca suprafeței discrete a reperului și a vârfului sculei;
 sdContact.m.Get(nX, nY), - masca SD a suprafeței de contact și interogarea acesteia despre starea de adevărat sau fals a punctului de coordonate nX, nY;

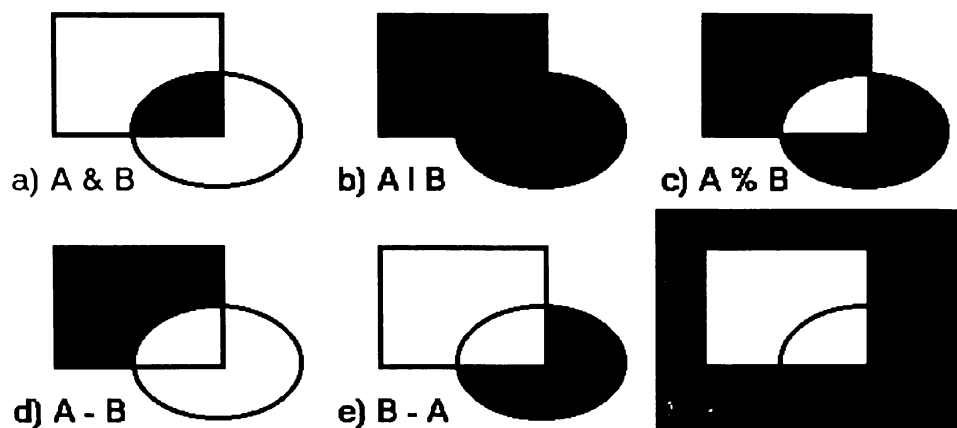


Figura 3.3 Metode de combinare a măștilor

3.3.15. Colecțiile

Colecțiile sunt seturi de obiecte derivate din aceeași clasă stocate împreună. Accesul la un element dintr-o colecție se face cu ajutorul operatorul [], care va returna un element din tipul stocat în colecția respectivă.

Se poate observa imediat că: curba este o colecție de obiecte de tip **Punct**, suprafața demulabilă este o colecție de **Reali**, șirul de caractere este o colecție de **Întregi** etc.

❖ ***Prefixare:***

f + prefixul clasei din colecție; exceptând cazurile de prefixare discutate

❖ ***Exemple:***

```
fcAnaliză[3].Desenează() // desenează curba a treia din setul de curbe fc Analiză.
```

3.4. Concepte introduse

```

//Clasa int utilizată pentru operațiile cu numere întregi
//prefix Variabile: n
Clasa Întreg
{
  operator +, -, *, /, %, |, %, <, >, >=, <=, =, +=, -=, *=, /=, &=, |=, %=, &I, SAU, %% , l, min, max; //operatorii și
  conversiile din tipul real
  Nimic Min (Întreg nA, nB); //întoarce minimul dintre valorile nA și nB
  Nimic Max (Întreg nA, nB); //întoarce maximul dintre valorile nA și nB
  Nimic Abs (Întreg nA); //întoarce valoarea absolută
} //EndInt

//funcții prietene
Întreg Min (Întreg nA, nB); //întoarce minimul dintre valorile nA și nB
Întreg Max (Întreg nA, nB); //întoarce maximul dintre valorile nA și nB
Întreg Abs (Întreg nA); //întoarce valoarea absolută

//Clasa bool utilizată pentru operațiile logice
//prefix Variabile: b
Clasa Boolean Derivată Din Întreg
{
} //EndBool

//Clasa real utilizată pentru operațiile cu numere reale
//prefix Variabile: r
Clasa Real
{
  //operatorii
  operator +, -, *, /, +=, -=, *=, /=, <, >, >=, <=, =, |=;

  //funcții membru
  Nimic Min (Real rA, rB); //întoarce minimul dintre valorile rA și rB
  Nimic Max (Real rA, rB); //întoarce maximul dintre valorile rA și rB
  Nimic Morf (Real rA, rB, rP = 0.5); //întoarce rA * rP + rB * (1.0 - rP)
  Nimic Abs (Real rA); //întoarce valoarea absolută

  Nimic RotX (Punct pRot, Real rUnghiDeg); //rotația în jurul lui X
  Nimic RotY (Punct pRot, Real rUnghiDeg); //rotația în jurul lui Y
  Nimic RotZ (Punct pRot, Real rUnghiDeg); //rotația în jurul lui Z
  Nimic Scalare (Punct pScalare, Real rFactorScalare); //scalarea față de un punct
  Nimic Translație (Real rTranslație); //scalarea față de un punct
  //suplimentar se pot introduce orice funcții matematice Ex sin, cos, etc!!
} //real

//funcții prietene
Real Min (Real rA, rB); //întoarce minimul dintre valorile rA și rB
Real Max (Real rA, rB); //întoarce maximul dintre valorile rA și rB
Real Morf (Real rA, rB, rP = 0.5); //întoarce rA * rP + rB * (1.0 - rP)
Real Abs (Real rA); //întoarce valoarea absolută

Real RotX (Punct pRot, Real rUnghiDeg); //rotația în jurul lui X
Real RotY (Punct pRot, Real rUnghiDeg); //rotația în jurul lui Y
Real RotZ (Punct pRot, Real rUnghiDeg); //rotația în jurul lui Z
Real Scalare (Punct pScalare, Real rFactorScalare); //scalarea față de un punct

```

```

Real Translație(Real rTranslație); //scalarea față de un punct

//Clasa punct utilizată pentru operațiile cu curbe și plase
//prefix Variabile: p
Clasa Punct
{
//variabile locale
  Real rX, rY, rZ; //coordonatele punctului în R3

//operatorii
  operator +, -, *, /, =, +=, -=, *=, /=, min, max, morf;

//toate funcțiile următoare suportă orice combinație de puncte și reali !!
  Nimic Min (Punct pA, pB); //întoarce minimul dintre valorile pA și pB
  Nimic Max (Punct pA, pB); //întoarce maximul dintre valorile pA și pB
  Nimic Morf(Punct pA, pB, pP = 0.5); //întoarce pA * pP + pB * (1.0 - pP)
  Nimic Abs (Punct pA); //întoarce valoarea absolută

  Nimic RotX(Punct pRot, Real rUnghiDeg); //rotația în jurul lui X
  Nimic RotY(Punct pRot, Real rUnghiDeg); //rotația în jurul lui Y
  Nimic RotZ(Punct pRot, Real rUnghiDeg); //rotația în jurul lui Z
  Nimic Scalare(Punct pScalare, Real rFactorScalare); //scalarea față de un punct
  Nimic Translație(Punct pTranslație); //scalarea față de un punct

//suplimentar se pot introduce orice funcții matematice Ex sin, cos, etc!!
} //EndPunct

//funcții prietene
Punct Min (Punct pA, pB); //întoarce minimul dintre valorile pA și pB
Punct Max (Punct pA, pB); //întoarce maximul dintre valorile pA și pB
Punct Morf(Punct pA, pB, pP = 0.5); //întoarce pA * pP + pB * (1.0 - pP)
Punct Abs (Punct pA); //întoarce valoarea absolută

Punct RotX(Punct p, pRot, Real rUnghiDeg); //rotația în jurul lui X
Punct RotY(Punct p, pRot, Real rUnghiDeg); //rotația în jurul lui Y
Punct RotZ(Punct p, pRot, Real rUnghiDeg); //rotația în jurul lui Z
Punct Scalare(Punct p, pScalare, Real rFactorScalare); //scalarea față de un punct
Punct Translație(Punct p, pTranslație); //scalarea față de un punct

//Clasa BazăVectorial utilizată la operațiile cu curbe și plase în spațiu
//prefix Variabile: bv
Clasa BazăVectorial
{
  operator +, -, *, /, +=, -=, *=, /=, min, max, morf;

  Punct pMin; //dreptunghiul înconjurător punctul de start
  Punct pMax; //dreptunghiul înconjurător punctul de sfârșit
  Punct pDif; //pMax - pMin
} //EndBazăVectorial

//Clasa curbă utilizată operațiile cu curbe
//prefix Variabile: c
Clasa Curbă DerivatăDin BazăVectorial
{
//variabile locale
  întreg nNr; //numărul de puncte (vertex) în R3

metode
  Punct Operator (întreg nNr); //întoarce punctul numărul nNr [1..nMax]
  Punct Operator (Real rT); //întoarce punctul nomând curba rT [0.0..1.0]
}

```

```

Punct Operator] (Întreg nNr, Real rT); //întoarce punctul nomând elementul nNr
Nimic PuneLa(Întreg nNr, Punct p); //setează punctul numărul nNr = {1..nMax}
Punct Add(Punct p); //adună un punct
Punct Del(Întreg nNr); //șterge punctul numărul nNr = {1..nMax}
Punct Add(Întreg nNr, Curbă c); //adună o curbă la poziția dată de nNr
Punct Add(Curbă c); //adună o curbă la sfârșit

Nimic SchimbăSensul(); //schimbă sensul de parcurgere al curbei
Nimic FăTrigonometric(); //face sensul de parcurs al curbei în sens trig.
Nimic FăTrigonometric(); //face sensul de parcurs al curbei în sens trig.
Boolean EsteInSensTrig(); //întoarce ADEVĂRAT dacă-i în sens trig.
Boolean EsteInSensOrar(); //întoarce ADEVĂRAT dacă-i în sens orar
Boolean EsteInchisă(); //întoarce ADEVĂRAT dacă curba este închisă
} //Curbă

//Clasa plasă utilizată la operațiile cu suprafețe
//prefix Variabile: l
Clasa Plasă Derivată Din Bază Vectorial
Punct Operator] (Întreg nU, nV); //întoarce pt. nU={1..nNrU}, nV={1..nNrV}
Punct laDeLaUV(Real rU, rV); //întoarce nomând plasa rU,rV = {0.0..1.0}
Curbă laDeLaXY(Real rX, rY); //proiectează și returnează o listă cu pt.
Punct Operator] (Întreg nU, nV, Real rU, rV); //normează elem. nU, nV
Nimic PuneLa(Întreg nU, nV, Punct p); //setează punctul de la nU, nV
Nimic SchimbăSensul(Boolean bU, bV); //schimbă sensul de parcurgere al plasei

FamiliaDeCurbe laDeLaXY(Întreg nPlasa, Real rX, rY); //proiectează și returnează o listă
FamiliaDeCurbe laDeLaU(Real rV); //convertește în curbă pt rV
FamiliaDeCurbe laDeLaV(Real rU); //convertește în curbă pt rU
FamiliaDeCurbe laDeLaX(Real rX); //convertește în curbă pt rX
FamiliaDeCurbe laDeLaY(Real rY); //convertește în curbă pt rY
FamiliaDeCurbe laDeLaZ(Real rZ); //convertește în curbă pt rZ

Real Aria() //calculează aria
Real LungimeaU(Real rV); //lungimea la în dir U la v = rV
Real LungimeaV(Real rU); //lungimea la în dir V la u = rU
Real LungimeaMaxU(); //lungimea maximă în dir U
Real LungimeaMaxV(); //lungimea maximă în dir V
} //EndPlasă

//Clasa de bază pentru suprafețele discrete de tip real și mască
//prefix Variabile: bd
Clasa Bază Discret Derivată Din Bază Vectorial
{
  Întreg nX; //numărul de puncte din matrice în direcția X
  Întreg nY; //numărul de puncte din matrice în direcția Y
  Real rStep; //pasul reprezentării

  Real IndexInRealPtX(Întreg nX); //conversia din index în real pe X
  Real IndexInRealPtY(Întreg nY); //conversia din index în real pe Y
  Întreg RealInIndexPtX(Real rX); //conversia din real în index pe X
  Întreg RealInIndexPtY(Real rY); //conversia din real în index pe Y
} //EndBazăDiscret

prefix m
Clasa Mască Discretă Derivată Din Bază Discretă
{
  operator &, |, -, &=, |=, -=, :=;

  citire scriere date

```

```

Nimic PuneLa(Întreg nX, Întreg nY, Boolean bVal, Întreg nMetoda = PM_NONE); //pune un bool inteligent
Boolean Operator[] (Întreg nX, Întreg nY); //citește un bool
Nimic PuneLa(Real rX, Real rY, Boolean bVal, Întreg nMetoda = PM_NONE); //pune un punct
Boolean Operator[] (Real rX, Real rY); //citește un bool
Nimic PuneLaAll(Boolean bvaloare); //setează toată suprafața
Nimic Revert(); //schimbă toate valorile
} //EndMascăDiscretă

//prefix s
Clasa SuprafațăDiscretă DerivatăDin BazăDiscretă
{
    MascăDiscretă m; //masca asociată

    operator +, -, *, /, +=, -=, *=, /=, =, MAX, MIN, ADD, SUB, MULTIPLY, DIVIDE, MORPH, FILSUS, FILJOS,
    ECSDUS, ECDJOS;

    //citire scriere date
    Nimic PuneLa(Întreg nX, Întreg nY, Real rVal, Întreg nMetoda = PM_NONE, Real rMorph = 0.5);
    Nimic PuneLa(Real rX, Real rY, Real rVal, Întreg nMetoda = PM_NONE, Real rMorph = 0.5);
    Real Operator[] (Întreg nX, Întreg nY); //citește un punct
    Real Operator[] (Real rX, Real rY); //citește un punct
    Nimic PuneLaAll(Real rValoare); //setează toată suprafața
} //EndSuprafațăDiscretă

Enumerare ModulDePunere //enumerarea modurilor de combinare solidă a SD și măștilor
{
    PM_NONE, //sdRezultat = sdNouă;
    PM_MAX, //sdRezultat = max(sdVeche, sdNouă);
    PM_MIN, //sdRezultat = min(sdVeche, sdNouă);
    PM_ADD, //sdRezultat = sdVeche + sdNouă;
    PM_SUB, //sdRezultat = sdVeche - sdNouă;
    PM_MULTIPLY, //sdRezultat = sdVeche * sdNouă;
    PM_DIVIDE, //sdRezultat = sdVeche / sdNouă;
    PM_MORPH, //sdRezultat = morph(sdVeche, sdNouă, rMorfValue);
    PM_FILSUS, //sdRezultat = offset(offset(sdVeche, sdHead, bSus), sdHead, bJos);
    PM_FILJOS, //sdRezultat = offset(offset(sdVeche, sdHead, bJos), sdHead, bSus);
    PM_ECSDUS, //sdRezultat = offset(sdVeche, sdNouă);
    PM_ECDJOS, //sdRezultat = offset(sdVeche, sdNouă);
}

```

3.5. Concluzii

În acest capitol s-a dorit prezentarea unitară a modului de organizare și structurare a datelor, algoritmilor și aparatelor matematice. Nu s-a folosit nici o metodă clasică descrisă în manualele de prezentare a limbajelor orientate pe obiecte ca Java [JAV], Pascal [PAS], C++[CPP], deoarece folosind o metodă clasică de structurare, prezentarea devine fie prea complexă, fie prea sumară.

Pe parcursul lucrării se va încerca structurarea conceptelor descrise, într-un limbaj de tip pseudocod orientat pe obiecte, asemănător cu C++ sau Java, sintaxa nefiind asemănătoare în totalitate. Scopul principal al acestei structurări este acela de a fi succintă, flexibilă și sugestivă.

La sfârșitul fiecărui capitol se vor sintetiza în acest limbaj pur matematic și algoritmic conceptele studiate în capitolul respectiv. Analizând listingul se poate observa că, deși succint enumerate, clasele elementare *Intreg*, *Boolean*, *Real* și *Punct* sunt tratate destul de consistent, permițându-se o multitudine de operatori pe tipul respectiv.

Diferențele față de C++ și Java sunt:

- ⇒ *contoarele sunt bazate pe numerotația naturală începând de la 1, nu de la 0;*
- ⇒ *cuvințele cheie au fost traduse din engleză;*
- ⇒ *metodele și funcțiile sunt subliniate și scrise cu roșu închis;*
- ⇒ *toate obiectele trebuiesc prefixate cu prefixul tipului de dată pe care-l reprezintă;*
- ⇒ *funcțiile, metodele și variabilele triviale s-ar putea să nu fie comentate;*
- ⇒ *pentru simplitate nu s-a implementat tipul pointer sau adresă;*

În concluzie, s-a încercat crearea unei structuri primare de clase care se moștenesc într-o manieră logică și acoperă în totalitate **clasele** necesare acestei lucrări. Structura aceasta de clase poate fi enumerată astfel:

int	i
bool	b
real	r
punct	p
BazăVectorială	bv
Curbă (superioare)	c, cs
Plasa (superioare)	l, ls
BazăDiscretă	bd
SuprafațaDiscretă	s
Masca	m
Colecțiile	f
SetDeCaractere	str

S-au pus bazele metodei de stocare a **suprafețelor discrete (SD)**.

S-a încercat să se cuprindă sumar doar problematica stocării și a seturilor de operatori admisibili pe fiecare tip de date în parte, conversia fiecărui tip de dată particular nefăcând parte din tema acestui capitol.

De asemenea, s-a introdus conceptul de **mască**, ca loc în care se raportează diferite aspecte legate de modul de procesare al SD.

4. Metode de generare și modelare

4.1. Introducere

În acest capitol se vor prezenta pe larg câteva metode care stau la baza generării SD (o descriere a tuturor metodelor se poate găsi în [DM01 – 11, DMW01 - 04]). De asemenea, se vor prezenta diferite metode de conversie din alte tipuri de dată, specifice *importului* din alte sisteme de proiectare și fabricație, date importate în format plasă (suprafețe discrete patrulatere) sau listă cu triunghiuri (suprafețe discrete fațetate) [DM 12 - 15], forma cea mai simplă de export a solidelor.

De asemenea, se vor prezenta și defini filtrele, se vor prezenta și exemplifica scopul și utilitatea lor în reducerea zgomotului introdus în diferiți pași de conversie și analiză, sau datorat diferitelor inflexiuni particulare ale suprafeței date spre conversie și analiză.

Se va descrie un set de algoritmi de modelare: cel al calculului înfășurătorii și racordării statice și dinamice, care nu sunt specifici numai modelării, ci și calculului suprafeței corecție de sculă și a suprafeței de contact, pentru scule generice de orice geometrie; se va face particularizarea specifică capetelor de freză, ca fiind suprafețe de revoluție.

De asemenea, se vor prezenta, în premieră, trei algoritmi noi concepuți de către autor:

- ❖ *algoritmul de import și conversie a seturilor de puncte și curbe furnizate fără nici o regulă;*
- ❖ *algoritmul de calculare a înfășurătoarei și racordărilor cu forme de orice geometrie (un caz particular al acestora sunt capetele de sculă suprafețe de revoluție utilizate în frezare);*
- ❖ *rețeaua neuronală pentru antrenarea cu date care nu cad în punctele rețelei, utilizabilă ca o metodă generică de import a tuturor datelor parametrice.*

4.2. Metode de generare discrete

În această parte a capitolului se va discuta despre metodele de generare și conversiile discrete. Acestea se pot defini foarte simplu, ca fiind metodele care nu depind de coordonatele reale ale solidului, ci numai de cele întregi. Deci, algoritmi sunt de tipul operațiilor cu matrici, unii dintre ei apropiindu-se foarte mult de algoritmi specifici prelucrării imaginilor.

Utilizarea acestor tehnici în proiectare și fabricație ar părea bizară, dar pe parcursul capitolului se vor aduce lămuririle necesare privind utilitatea fiecărui algoritm.

4.2.1. Plan orizontal

Umplerea unei suprafețe cu un plan orizontal este utilă în toate cazurile în care se dorește umplerea întregii SD (sau a unei porțiuni) cu o cotă constantă.

```
SuprafațăDiscretă PuneOrizontal( //pune o valoare orizontală pe o SD
  Real rValoare, //valoarea de umplere
  Întreg nModulDePunere = PM_NONE, //tipul de operație de combinare cu SD
  Boolean bTotul = ADEVĂRAT //locul de punere peste tot sau numai în mască
)
{
  PentruFiecare(Întreg nI = 1; nI <= nX; nI++)
    PentruFiecare(Întreg nJ = 1; nJ <= nY; nJ++)
      Dacă(bTotul SAU m[nI, nJ])
        PuneLa(nI, nJ, rValoare, nModulDePunere);
} //PuneOrizontal
```

4.2.2. Plan înclinat

Rolul acestei metode este de a pune un plan înclinat care trece prin trei puncte.

```
SuprafațăDiscretă PunePlan3P( //pune un plan înclinat pe o SD
  Punct p1, p2, p3, //cele 3 puncte prin care trece planul
  Întreg nModulDePunere = PM_NONE, //tipul de operație de combinare cu SD
  Boolean bTotul = ADEVĂRAT //locul de punere peste tot sau numai în mască
)
{
  CPlan3Puncte pl3p; //Creează un obiect de tip plan
  pl3p.Inițializează(p1, p2, p3); //Inițializează planul cu cele trei puncte
  PentruFiecare(Întreg nI = 1; nI <= nX; nI++)
    PentruFiecare(Întreg nJ = 1; nJ <= nY; nJ++)
      Dacă(bTotul SAU m[nI, nJ])
        PuneLa(nI, nJ, pl3p.laDeLaZ(IndexÎnRealPtX(nI), IndexÎnRealPtY(nJ)), nModulDePunere);
} PunePlan3P
```

Notă: Clasa CPlan3Puncte nu a fost discutată. S-au folosit două metode ale ei, una (Inițializează) care o inițializează cu un set de trei puncte p0, p1, p2 și alta (laDeLaZ) care returnează valoarea Z pentru un X și Y. Implementarea acestei clase nu face parte din această lucrare.

4.2.3. Funcție $Z(x, y)$

Rolul acestei metode este de a pune o funcție injectivă $Z(x, y)$ pe suprafața discretă.

```
SuprafațăDiscretă.PuncFuncție( //pune o funcție Z(x, y) pe o SD
    SetDeCaractere strFuncția, //funcția care trebuie pusă
    Întreg nModulDePunere = PM_NONE, //tipul de operație de combinare cu SD
    Boolean bTotul = ADEVĂRAT //locul de punere peste tot sau numai în mască
)
{
    CFuncție fnFuncția; //Creează un obiect de tip funcție
    fnFuncția Inițializează(strFuncția); //Inițializează funcția cu expresia dată
    PentruFiecare(Întreg nI = 1; nI <= nX; nI++)
        PentruFiecare(Întreg nJ = 1; nJ <= nY; nJ++)
            Dacă(bTotul SAU m[nI, nJ])
                PuncLa(nI, nJ, fnFuncția.laDeLaZ(IndexÎnRealPtX(nI), IndexÎnRealPtY(nJ)), nModulDePunere);
} //PuncFuncție
```

Notă: Clasa CFuncție nu a fost discutată. S-au folosit două metode ale ei, una (Inițializează) care o inițializează cu un SetDeCaractere de tipul " $Z(x, y) = \sin(X/100.0) + \cos(Y/200.0)$ " și o alta (laDeLaZ) care returnează valoarea ei pentru un X și Y. Implementarea acestei clase nu face parte din această lucrare.

4.2.4. Interpolarea prin secțiuni

Interpolarea prin secțiuni este o metodă evoluată de generare discretă a SD. Aceasta se definește prin trasarea unor secțiuni, prin care se dorește ca suprafața să treacă, marcarea lor în mască (pentru a cunoaște care zone sunt active) și interpolarea lor prin linii sau alte curbe mai evaluate.

```
SuprafațăDiscretă.PuncInterpolareXDir( //pune o altă suprafață interpolată prin secțiuni
    SuprafațăDiscretă sdSecțiuni, //suprafața care conține secțiunile
    Întreg nOrdinCurbei= 1, //Ordinul curbei de interpolare
    Întreg nModulDePunere = PM_NONE, //tipul de operație de combinare cu SD
    Boolean bTotul = ADEVĂRAT //locul de punere peste tot sau numai în mască
)
{
    CFuncție fnFuncția; //Creează un obiect de tip funcție
    Punct pCurent;
    Curbă cInterpolator;

    fnFuncția Inițializează(strFuncția); //Inițializează funcția cu expresia dată
    PentruFiecare(Întreg nI = 1; nI <= nX; nI++)
    {
        cInterpolator.Șterge();
        PentruFiecare(Întreg nJ = 1; nJ <= nY; nJ++)
            Dacă(sdSecțiuni.m[nI, nJ])
            {
                pCurent(0, IndexÎnRealPtY(nJ), sdSecțiuni[nI, nJ])
                cInterpolator.Adună(pCurent);
            } Dacă
        cInterpolator.Interpolează(nY, nOrdinCurbei); //interpolează

        PentruFiecare(Întreg nJ = 1; nJ <= nY; nJ++)
            Dacă(bTotul SAU m[nI, nJ])
                PuncLa(nI, nJ, cInterpolator[nJ], nModulDePunere);
    } PentruFiecare
}
```

} *PuneInterpolareXDir*

NOTĂ: Se poate observa că s-au folosit două noi metode ale clasei **Curbă**, una care crează și interpolează o curbă cunoscând un set de puncte de control și o alta care șterge toate punctele dintr-o listă cu puncte. De asemenea, funcția geamă *PuneInterpolareYDir* nu a fost prezentată.

Algoritmii din această familie pot fi găsiți ca produs shareware la adresa [ftp.simtel.net/pub/msdos/cad/tmesh0.zip](ftp:simtel.net/pub/msdos/cad/tmesh0.zip) sau [ftp.simtel.net/pub/msdos/cad/tpck20lt.zip](ftp:simtel.net/pub/msdos/cad/tpck20lt.zip) și sunt descriși pe larg în [DM05..DM11].

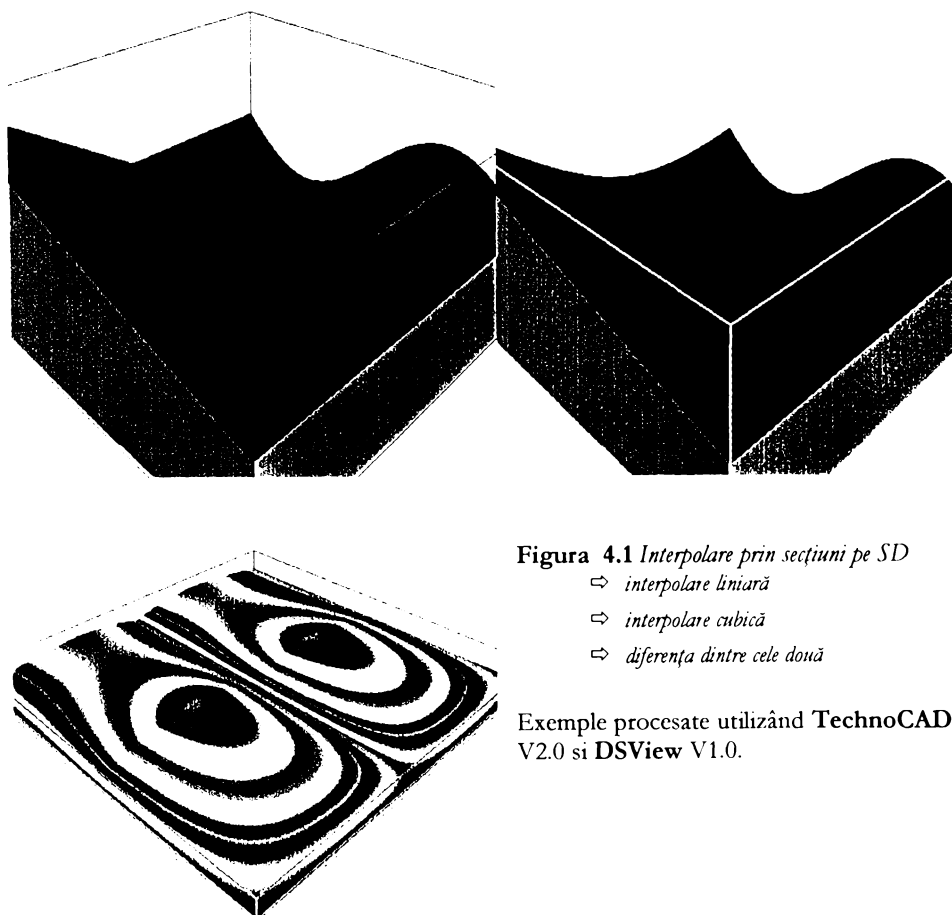


Figura 4.1 Interpolare prin secțiuni pe SD

- ⇒ interpolare liniară
- ⇒ interpolare cubică
- ⇒ diferența dintre cele două

Exemple procesate utilizând TechnoCAD V2.0 și DSView V1.0.

În figurile următoare se pot observa diferențele, pentru același set de curbe de control (o linie înclinată la -100.0 un V la 0.0 și un sinus la 100.0): două interpolări - una liniară (a), una superioară de ordinul trei (b) și diferența relativă dintre cele două (c) - nuanțele de albastru sunt utilizate pentru a figura valoarea abaterii negative, nuanțele de verde sunt înspre zero roșu înspre plus (palette de analiză standard curcubeu).

4.2.5. Combinarea cu o altă SD

Combinarea cu o altă suprafață este o metodă de modelare importantă, fiind utilizată în crearea suprafețelor superioare complexe care conțin diferite tehnici de modelare și/sau import.

Având un set bogat de combinare a solidelor (prezentat mai pe larg în figura 3.6), algoritmul devine trivial.

```

SuprafațăDiscretă.Combină( //pune o funcție Z(x, y) pe o SD
SuprafațăDiscretă sdComb, //sd utilizată la combinare
Întreg nModulDePunere = PM_NONE, //tipul de operație de combinare cu SD
Boolean bTotul = ADEVĂRAT //locul de punere peste tot sau numai în mască
)
{
  CFuncție fnFuncția; //Crează un obiect de tip funcție
  fnFuncția.Inițializează(strFuncția); //Inițializează funcția cu expresia dată
  PentruFiecare(Întreg nI = 1; nI <= nX; nI++)
    PentruFiecare(Întreg nJ = 1; nJ <= nY; nJ++)
      Dacă(bTotul SAU m[nI, nJ])
        PuneLa(nI, nJ, sdComb[nI, nJ], nModulDePunere);
} EndCombină

```

Un exemplu de combinare a peste trei sute de plase importate din EdgeCAM V3.0 se poate observa în figura 4.2 a, precum și o analiză a materialului neprelucrat la o frezare cu cap sferic de $D = 20.0$ mm, în figura 4.2 b.

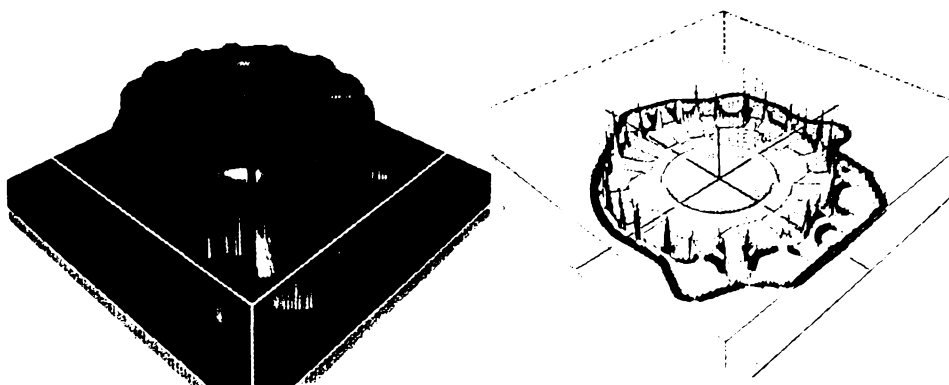


Figura 4.2 Combinarea solidelor. Exemplu de combinare a 300 SD. Zonele albastre sunt date de zonele neprelucrabile din cauza interferenței (figura b).

4.2.6. Exemple despre metodele discutate

Pentru a exemplifica câteva din metodele expuse se va scrie un program minimal și se vor genera câteva figuri, pentru exemplificarea conceptelor introduse.

```

NimicProgram()
{
  Punct p1(0.0, 0.0, 0.0); //punctul 1;
  Punct p2(1.0, 0.0, 1.0); //punctul 2;
  Punct p3(0.0, 1.0, 1.0); //punctul 3;
  SuprafațăDiscretă dsTest; //crează o SD
  //() inițializează
  dsTest.Inițializează(200, 200, (-100.0, -100.0, -100.0), (100.0, 100.0, 100.0), "Test");
  dsTest.PuneLaOrizontal(0.0); //Fig.4.1 s-a utilizat predefinit PM_NONE, ADEVĂRAT
  dsTest.Desenează("Fig. 4.3 a"); //Desenează figura 4.1
  dsTest.PuneLaPlan3p(p0, p1, p2, PM_MAX); //Fig.4.2
  dsTest.Desenează("Fig. 4.3 b"); //Desenează figura 4.2
  dsTest.PuneLaFuncție("", PM_MAX); //Fig.4.3
  dsTest.Desenează("Fig. 4.3 c"); //Desenează figura 4.3
} EndProgram

```

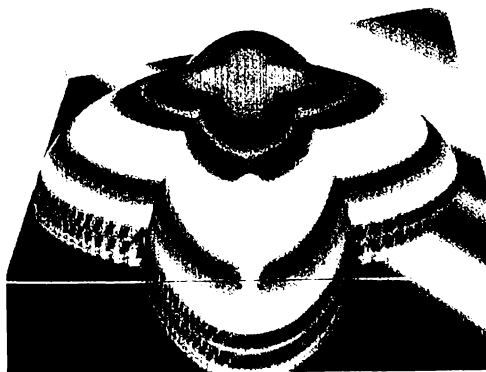
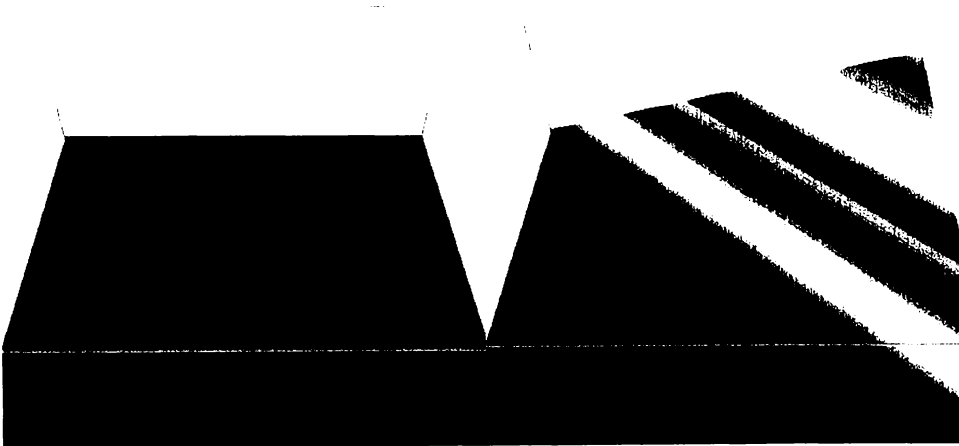


Figura 4.3 Exemple de modelare elementare

- ⇒ umplere cu un plan orizontal (PM_NONE);
- ⇒ umplere cu un plan înclinat (PM_MAX);
- ⇒ umplere cu două funcții (PM_MAX);

4.2.7. Set de puncte

Pentru acest tip de interpolare s-a dezvoltat un algoritm original, care rezolvă interpolarea unui set de date, date în spațiu după nici o regulă (adică nu sunt de-a lungul nici unei direcții de generare X, Y, Z, U, V) (eng: cloudy set of points). Acest algoritm este prezentat în premieră aici. Utilitatea lui este fără granițe, fiind deopotrivă utilizabil în proiectarea asistată, la conversia în solizi a datelor provenite de la dispozitivele de palpat sau scanat, precum și în cartografie, la conversia datelor provenite de la GPS (geographical positioning system) (implementat în **TechnoPoint V2.0**, shareware la adresa <ftp:simtel.net/pub/msdos/cad\tpnt0.zip> sau <ftp:simtel.net/pub/msdos/cad\tpck20lt.zip> și descris pe larg de către autor în [DM05...DM11]).

Algoritmul poate fi extins foarte ușor și la convertirea curbelor, discretizându-le cu un pas constant (folosind metoda **Punct Curbă.laDcLaL(Real rT)**).

De asemenea, pentru fiecare punct s-a asigurat posibilitatea setării unei ponderi, deci pentru fiecare punct poate fi modificată influența acestuia în suprafața rezultantă.

De menționat că algoritmul rezolvă **ORICE** set de puncte și/sau curbe în spațiu. În implementarea algoritmului se va presupune că punctele au o valoare a ponderii asociată într-o listă cu reali, care nu a fost discutată în capitolele precedente.

```

NimicAdunăOCurbă( //adună o curbă la lista cu p. pt conv.
  Curbă cListaCuPuncte, //Lista cu puncte pt. conversie
  FamiliaDeReali frListaCuPonderi, //Lista cu ponderi pt. fiecare p.
  Curba CurbaCurentă, //Curba care trebuie convertită
  Real rPonderea, //Ponderea pt. curba curentă
  Real rPas //pasul de parcurgere
)
{
  Întreg nMax = CurbaCurentă.laDcLaL() / rPas + 0.5; //nr de puncte
  PentruFiecare(Întreg nI = 0; nI <= nMax, nI++)
  {
    cListaCuPuncte.Adună(CurbaCurentă.GetT(nI/nMax));
    cListaCuPonderi.Adună(rPonderea);
  } //PentruFiecare
} //EndAdunăOCurbă

NimicSuprafațăDiscretă.InterpolazăPrinPuncte( //interpolază
  Curbă cListaCuPuncte, //Lista cu puncte pt. conversie
  FamiliaDeReali frListaCuPonderi, //Lista cu ponderi pt. fiecare p.
  FamiliaDeCurba fcAlteCurbe, //Alte Curbe care trebuie convertite
  FamiliaDeReali frPonderiPtCurbe, //Ponderile pt fiecare curbă
  FamiliaDeReali frPașiiPtCurbe, //Pași pt fiecare curbă
  Real rRigiditatea //Rigiditatea suprafeței rezultate {0..1}
)
{
  convertește rigiditatea într-o formă utilizată de algoritm
  Dacă(rRigiditatea<=0.5)
    rRigiditatea=2.0 * rRigiditatea;
  Altfel rRigiditatea=1.0 / (2.0 * (1.0 - rRigiditatea));

  Adună toate curbele potentiale la lista cu ponderi în funcție de
  ponderile și pași asociați lor
  PentruFiecare(Întreg nI = 0; nI <= nMax, nI++)
    AdunăOCurbă(cListaCuPuncte, frListaCuPonderi, fcAlteCurbe|nI].

```

```

frPonderiPtCurbe[nI], frPașiiPtCurbe[nI]);

interpolează SD
PentruFiecare(Întreg nI = 1; nI <= nX; nI++)
  PentruFiecare(Întreg nJ = 1; nJ <= nY; nJ++)
  {
    Punct pPunctulCurent(IndexÎnRealPtX(nI), IndexÎnRealPtY(nJ), 0.0);
    Real rDist, rDistSpecial = 0.0, rSumaDistSpecial = 0.0, rZ = 0.0;
    FamiliaDeReali frTemp;
    PentruFiecare(Întreg nPunctul = 1; nPunctul <= cListaCuPuncte.nNr; nPunctul++)
    {
      rDist = DistXY(pPunctulCurent, cListaCuPuncte[nPunctul]);
      rDistSpecial = Pow(1.0 / rDist, rRigiditatea)*
      frListaCuPonderi[nPunctul];
      rSumaDistSpecial = rSumaDistSpecial + rDistSpecial;
      frTemp.Adună(rDistSpecial);
    } //PentruFiecare

    PentruFiecare(Întreg nPunctul = 1; nPunctul <= cListaCuPuncte.nNr; nPunctul++)
    {
      rZ = rZ + cListaCuPuncte[nPunctul] * frTemp[nPunctul];
    } //PentruFiecare

    Ultima operatie
    rZ = rZ / rSumaDistSpecial;
  } //PentruFiecare
} EndInterpoleazăPrinPuncte

```


NOTĂ: Clasa **FamiliaDeReali** nu a fost discutată; utilizarea ei este exact ca și **Curbă**, doar că nu stochează puncte, ci valori reale.

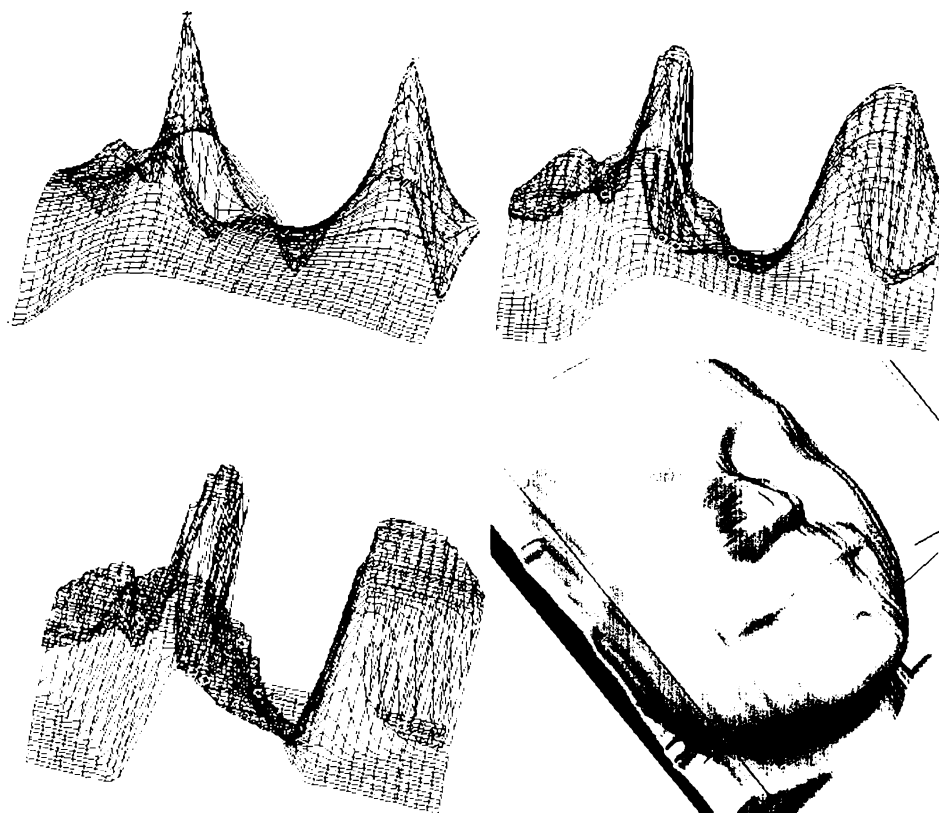


Figura 4.4 Interpolarea prin puncte:

- ⇒ a) rigiditate 0.0;
- ⇒ b) rigiditate 0.5;
- ⇒ c) rigiditate 1.0
- ⇒ d) set de date palpator, interpolare solidă prin set de puncte *TechnoPoint V2.0*

4.2.8. Interpolarea capetelor de scule

Capetele de sculă au o importanță deosebită în analizele și generările de fișiere NC din capitolele ulterioare, precum și în racordările și calculul suprafeței înfășurătoare necesare realizării suprafeței poansonului din suprafața matriței sau invers.

Din aceste considerente, s-a încercat să se cuprindă o varietate cât mai mare de capete de sculă, pentru a acoperi toate procesările uzuale.

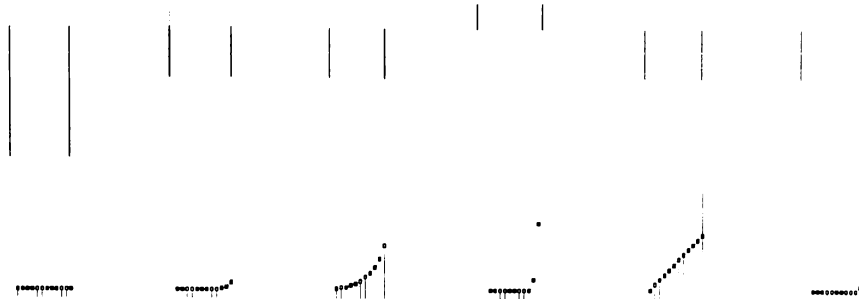


Figura 4.5 Diferite scule și valorile lor după conversia în suprafață discretă

În figura 4.5 s-au reprezentat câteva generatoare ale unor scule uzuale (o reprezentare mai completă se poate găsi în figura 3.1).

Prezentarea aceasta ajută la explicarea și exemplificarea conceptelor necesare unei implementări generice a algoritmului, care permite utilizarea oricărei geometrii injective, care nu trebuie să fie neapărat o geometrie bazată pe o suprafață de revoluție.

Pentru simplificare se va utiliza o suprafață de revoluție. Se va presupune că, curba generatoare este o curbă în planul XY, și se va folosi metoda `laDeLaX`(Real rX), care întoarce valoarea cea mai mică (spre exemplu), creând seturi de blipsuri îngroșate în figură.

De menționat că obiectul asociat capului de sculă este o SD, care are același pas cu SD care trebuie ofsetată sau racordată. Deci, în cazul SD discretizate cu diferiți pași, trebuie create diferite discretizări ale capetelor de sculă.

NimicSuprafațăDiscretă `InitCapDeSculă` (//Crează SD bazându-se pe o geom. de sculă

Curbă `cCapDeSculă`. //Curbă care descrie geometria capului

Real `rPas` //Pasul de discretizare

)

{

Real `rRazaCurentă`, `rRaza` = `cCapDeSculă.laDeLaX`();

Întreg `nNr` = `rRaza` / `rPas` + 0.5;

`Inițializează`(`nNr`, `nNr`, (-`rRaza`, -`rRaza`, 0.0), (`rRaza`, `rRaza`, 0.0), "Sculă");

`m.PuneLaAll`(FALS); //pune în toată masca fals

PentruFiecare(**Întreg** `nI` = 1; `nI` <= `nX`; `nI`++)

PentruFiecare(**Întreg** `nJ` = 1; `nJ` <= `nY`; `nJ`++)

{
`rRazaCurentă` = `Sqrt`(`IndexÎnRealPtX`(`nI`) * `IndexÎnRealPtX`(`nI`) + `IndexÎnRealPtY`(`nJ`) *
`IndexÎnRealPtY`(`nJ`));

Dacă(`rRazaCurentă` < `rRaza`)

{
`PuneLa`(`nI`, `nJ`, `cCapDeSculă.laDeLaY`(`rRazaCurentă`));

`m.PuneLa`(ADEVĂRAT);

```

    } Dacă
    } PentruFiecare
} EndInitCapDeSculă

```

Această metodă asigură crearea și generarea sculelor pentru frezare. Similar se pot crea SD care conțin electrozi, la analizarea prelucrării prin electroeroziune.

4.2.9. Calculul SD înfășurătoare și SD de racordare statice

Principalii beneficiari ai capetelor de sculă sunt algoritmi de racordare și de calcul ai înfășurătoareii.

Dorind a trata generic problema, se poate spune că algoritmul enunțat în continuare calculează SD înfășurătoare, pentru orice geometrie a SD și a sculei, deci se poate vorbi de racordări care nu sunt sferice, ci de orice altă formă. Algoritmul are abilitatea de a calcula înfășurătoarea și a face calculul total de interferență într-un singur pas.

```

NimicSuprafațăDiscretă InitInfășurătoareStatic( // înfășoară în spațiu o SD sculă
    SuprafațăDiscretă sdSuprafața, //suprafața care trebuie înfășurată
    SuprafațăDiscretă sdSculă, //geometria capului utilizat
    Boolean bDirecțiaSus = ADEVĂRAT // înfășurătoarea în sus sau în jos
    Boolean bTotal = ADEVĂRAT //toată suprafața sau în mască
)
{
    Real rtemp, rZ;

    PentruFiecare(Întreg nSDX = 1; nSDX <= nX; nSDX++)
        PentruFiecare(Întreg nSDY = 1; nSDY <= nY; nSDY++)
        {
            Dacă(bDirecțiaSus)
                rTemp = -1e100;
            Altfel
                rTemp = 1e100;
            PentruFiecare(Întreg nSCX = 1; nSCX <= nX; nSCX++)
                PentruFiecare(Întreg nSCY = 1; nSCY <= nY; nSCY++)
                    Dacă(bTotal SAU sdSuprafața.m[nSCX, nSCY]) ȘI
                        sdSculă.m[nSCX, nSCY] ȘI nSDX + nSCX < nX ȘI nSDY + nSCY < nY)
                        Dacă(bDirecțiaSus)
                        {
                            rZ=sdSuprafață(nSDX+nSCX, nSDY+nSCY)+sdSculă[nSCX, nSCY];
                            Dacă(rZ > rTemp)
                                rTemp = rZ;
                        } Dacă
                        Altfel
                        {
                            rZ=sdSuprafață(nSDX+nSCX, nSDY+nSCY)-sdSculă[nSCX, nSCY];
                            Dacă(rZ < rTemp) rTemp = rZ;
                        } Altfel
                    PunctLa(nSDX, nSDY, rTemp);
        } PentruFiecare
} EndInitCapDeSculăStatic

```

Se poate observa ușor că algoritmul este de complexitate $O(n^4)$ (patru cicluri Pentru fiecare), deci presupune calcule îndelungate. În prezent, autorul folosește o versiune mult îmbunătățită (de peste 10 ori mai rapidă), dar complexitatea acestuia depășește cadrul lucrării. Timpul necesar algoritmului prezentat este de domeniul zecilor de minute, pentru o reprezentare de 1000 x 1000 mm și o sculă de 50 x 50 mm, iar cu cel optimizat, de numai 2 minute. Aceste tipuri de optimizări ar conduce la o implementare de peste 1000 de linii de cod, ceea ce ar reduce destul de mult simplitatea algoritmului prezentat.

Calculul suprafeței de racordare se execută la fel, dar în direcția opusă, folosind pentru acesta comutatorul *bDirecțiaSus*.

Calculul înfășurătoarei utilizând o mască se poate face cu același algoritm, folosind comutatorul *bTotul*.

Calculul suprafeței de racordare este simplu. De menționat că suprafața de racordare cu o sculă statică (care nu-și modifică diametrul) este utilizată în fabricație la simularea suprafeței teoretice de contact (*backoffset*), care reprezintă suprafața teoretică absolută ce poate fi obținută, folosind o sculă de orice formă și luând în considerare calculul total de interferență. Făcând o diferență discretă între suprafața de racordare și cea normală se va obține suprafața cu materialul nefrezabil.

```

NimicSuprafațăDiscretă InitRacordareStatic( înfășoară în spațiu o SD sculă
SuprafațăDiscretă sdSupafața, suprafața care trebuie înfășurată
SuprafațăDiscretă sdScalare, geometria coeficienților de scalare
SuprafațăDiscretă sdSculă, geometria capului utilizat
Boolean bDirecțiaSus înfășurătoarea în sus sau în jos
Boolean bTotul toată suprafața sau în mască
)
{
SuprafațăDiscretă sdTemp;
sdTemp InitInfășurătoareStatic(sdSupafața, sdScalare, sdSculă, bDirecțiaSus, bTotul);
InitInfășurătoareStatic(sdTemp, sdScalare, sdSculă, !bDirecțiaSus, bTotul);
} EndInitRacordareStatic

```

4.2.10. Calculul SD înfășurătoare și SD de racordare dinamice

Algoritmul prezentat în continuare are avantajul de a combina avantajele algoritmului precedent cu facilitatea de a putea modifica raza sculei dinamic, în funcție de poziția capului de frezare în spațiu. Valorile razei sunt citite dinamic de pe o suprafață discretă care conține valoarea razei sau valoarea factorului de scalare care se aplică asupra capului. Acest tip de algoritm este utilizat în cazul în care se doresc grosimi de pereți variabile sau raze de racordare variabile.

```

NimicSuprafațăDiscretă InitInfășurătoareDinamic( înfășoară în spațiu o SD sculă
SuprafațăDiscretă sdSupafața, suprafața care trebuie înfășurată
SuprafațăDiscretă sdScalare, geometria coeficienților de scalare
SuprafațăDiscretă sdSculă, geometria capului utilizat
Boolean bDirecțiaSus înfășurătoarea în sus sau în jos
Boolean bTotul toată suprafața sau în mască
)
{
Real rtemp, rZ;

```

```

PentruFiecare(Întreg nSDX = 1; nSDX <= nX; nSDX++)
  PentruFiecare(Întreg nSDY = 1; nSDY <= nY; nSDY++)
  {
    Dacă(bDirecțiaSus)
      rTemp = -1e100;
    Altfel
      rTemp = 1e100;

    rScala = sdScalare[nSDX, nSDY];
    sdSculă.Scalază(rScala); // !! Aici scalarea se face cu recrearea SD !!

    PentruFiecare(Întreg nSCX = 1; nSCX <= nX; nSCX++)
      PentruFiecare(Întreg nSCY = 1; nSCY <= nY; nSCY++)
        Dacă(bTotal SAU sdSuprafața.m[nSCX, nSCY]) ȘI
          sdSculă.m[nSCX, nSCY] ȘI nSDX + nSCX < nX ȘI nSDY + nSCY < nY)
          Dacă(bDirecțiaSus)
            {
              rZ = sdSuprafață[nSDX + nSCX, nSDY + nSCY] + sdSculă[nSCX, nSCY];
              Dacă(rZ > rTemp) rTemp = rZ;
            } // Dacă
          Altfel
            {
              rZ = sdSuprafață[nSDX + nSCX, nSDY + nSCY] - sdSculă[nSCX, nSCY];
              Dacă(rZ < rTemp) rTemp = rZ;
            } // Altfel
          PuneLa(nSDX, nSDY, rTemp);
        } // PentruFiecare
    } // EndMitCapDeSculăDinamic

```

Această metodă este foarte simplă și asigură o varietate de echidistanțări și racordări, autorul considerând-o unică la ora actuală și aproape imposibil de realizat folosind alte tehnici de stocare a suprafeței. În fabricație, algoritmi de racordare și echidistanțare cu calculul total de interferență sculă-semifabricat sunt, pe departe, cei mai complecși. Cea mai importantă utilizare a lor este aceea de a converti SD în trasee de sculă, care se poate observa că devine foarte simplă după aplicarea acestei corecții de echidistanțare.

Având suprafața echidistantă, problema racordărilor globale sau locale, dinamice, cu orice geometrie, devine un algoritm banal. Racordările în sus se execută echidistanțând prima oară în sus, apoi suprafața echidistantă se echidistanțează în jos, rezultând SD de pornire, care este racordată cu geometria dorită. Racordările în direcție contrară se execută pornind echidistanțarea în jos, urmată de cea în sus.

```

NimicSuprafațăDiscretă.InitRacordareDinamic( înfășoară în spațiu o SD sculă
  SuprafațăDiscretă sdSuprafața. suprafața care trebuie înfășurată
  SuprafațăDiscretă sdScalare. geometria coeficienților de scalare
  SuprafațăDiscretă sdSculă. geometria capului utilizat
  Boolean bDirecțiaSus, înfășurătoarea în sus sau în jos
  Boolean bTotal toată suprafața sau în mască
)
{
  SuprafațăDiscretă sdTemp;
  sdTemp.InitInfășurătoareDinamic(sdSuprafața, sdScalare, sdSculă, bDirecțiaSus, bTotal);
  InitInfășurătoareDinamic(sdTemp, sdScalare, sdSculă, !bDirecțiaSus, bTotal);
} EndMitRacordareDinamic

```

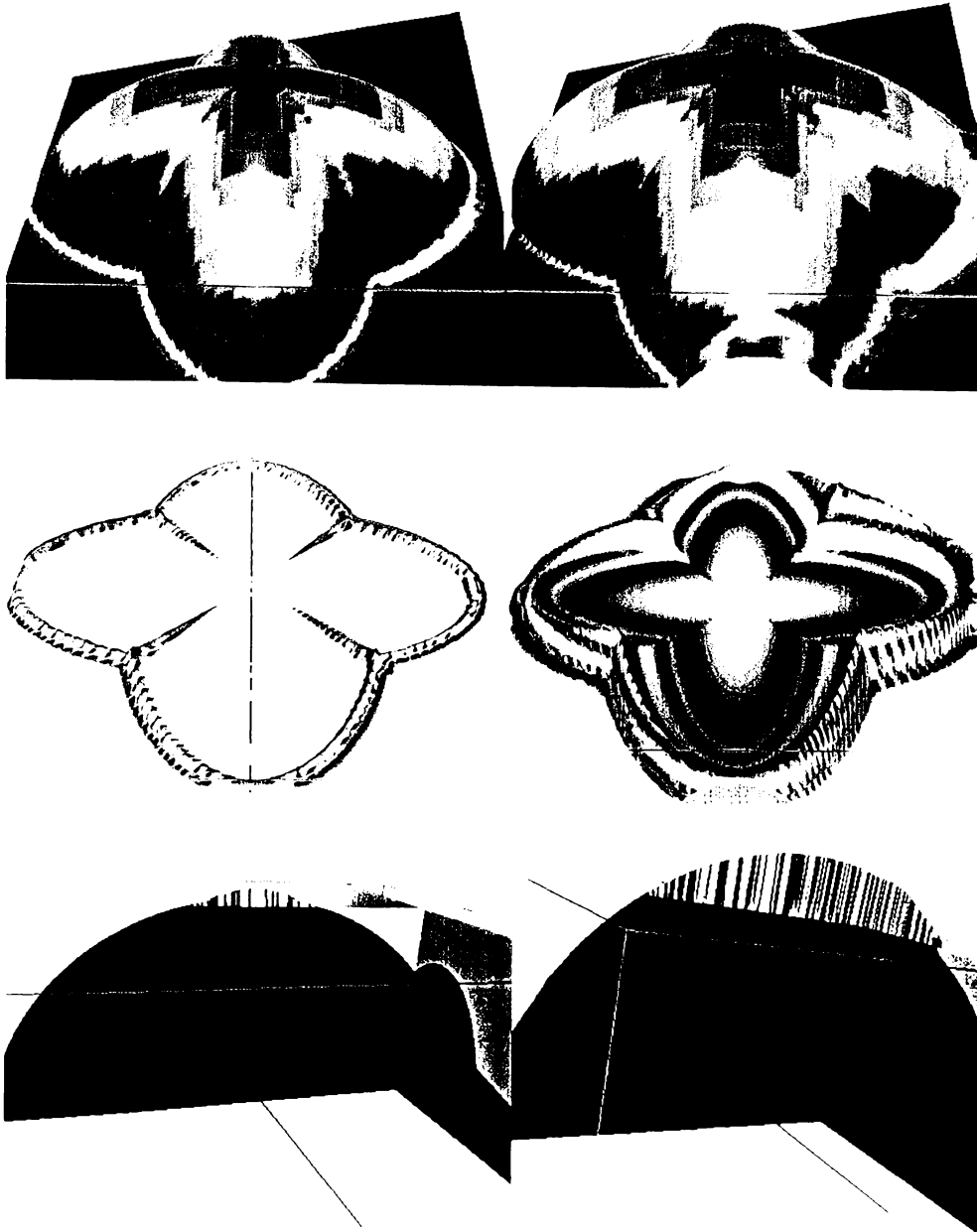


Figura 4.6 Exemple de înfășurători și racordări statice (coloana 1) și dinamice (coloana 2)
S-au prezentat suprafețele după racordare, cu culoarea în funcție de valoarea normalei, plus materialul adăugat în valoare absolută, și câteva secțiuni solide.

4.3. Filtre

Filtrele sunt metode auxiliare, care au scopul principal de a curăța SD de eventualele zgomote create în diferite procese de conversie sau interpolare, sau sunt folosite în algoritmi de export, pentru a asigura exportul unor curbe continue lipsite de zgomot.

Acest tipuri de filtre sunt în general folosite de algoritmi de conversie vectorială, în cazul în care nu sunt descrise pe suprafețele stocate vectorial funcții de proiecție real GetZ(real rX, real rY).

4.3.1. Filtre de creare

Aceste filtre creează un punct ca medie a vecinilor, în cazul în care el este sub o valoare, iar vecinii lui într-o direcție sunt mai mari decât acea valoare. Se poate observa că toți algoritmi de filtrare returnează numărul de puncte corectate.

```

Întreg SuprafațăDiscretă.CreazăMască2()
{
    Întreg nIndex = 0;
    PentruFiccare(Întreg nSDX = 2; nSDX < nX; nSDX++)
        PentruFiccare(Întreg nSDY = 2; nSDY < nY; nSDY++)
            {
                Dacă(m[nSDX - 1, nSDY] ȘI m[nSDX + 1, nSDY])
                {
                    PuncLa(nSDX, nSDY, ([nSDX - 1, nSDY] + [nSDX + 1, nSDY])/2);
                    m.PuncLa(nSDX, nSDY, ADEVĂRAT);
                    nIndex++;
                }
                Dacă(m[nSDX, nSDY - 1] ȘI m[nSDX, nSDY + 1])
                {
                    PuncLa(nSDX, nSDY, ([nSDX, nSDY - 1] + [nSDX, nSDY + 1])/2);
                    m.PuncLa(nSDX, nSDY, ADEVĂRAT);
                    nIndex++;
                }
            }
    Întoarce(nIndex);
}

```

Un algoritm geamăn este acela care utilizează o analiză suplimentară a unui vecin de pe direcția perpendiculară, pentru a-l face mai constrictiv, dar și mai realist.

```

Întreg SuprafațăDiscretă.CreazăMască3()
{
    Întreg nIndex = 0;
    PentruFiccare(Întreg nSDX = 2; nSDX < nX; nSDX++)
        PentruFiccare(Întreg nSDY = 2; nSDY < nY; nSDY++)
            {
                Dacă(m[nSDX - 1, nSDY] ȘI m[nSDX + 1, nSDY] ȘI m[nSDX, nSDY + 1])
                {
                    PuncLa(nSDX, nSDY, ([nSDX-1, nSDY] + [nSDX + 1, nSDY] + [nSDX, nSDY - 1]) / 3.0);
                    m.PuncLa(nSDX, nSDY, ADEVĂRAT);
                    nIndex++;
                }
                Dacă(m[nSDX - 1, nSDY] ȘI m[nSDX + 1, nSDY] ȘI m[nSDX, nSDY - 1])
            }
}

```

```

{
    PuneLa(nSDX, nSDY, ((nSDX-1, nSDY) + [nSDX+1, nSDY] + [nSDX, nSDY-1]) / 3.0);
    m.PuneLa(nSDX, nSDY, ADEVĂRAT);
    nIndex++;
} Dacă

Dacă(m[nSDX, nSDY - 1] ȘI m[nSDX, nSDY + 1] ȘI m[nSDX + 1, nSDY])
{
    PuneLa(nSDX, nSDY, ((nSDX, nSDY-1) + [nSDX, nSDY + 1] + [nSDX+1, nSDY])/3.0);
    m.PuneLa(nSDX, nSDY, ADEVĂRAT);
    nIndex++;
} Dacă
Dacă(m[nSDX, nSDY - 1] ȘI m[nSDX, nSDY + 1] ȘI m[nSDX - 1, nSDY])
{
    PuneLa(nSDX, nSDY, ((nSDX, nSDY-1) + [nSDX, nSDY+1] + [nSDX-1, nSDY]) / 3.0);
    m.PuneLa(nSDX, nSDY, ADEVĂRAT);
    nIndex++;
} Dacă
} PentruFiecare
Întoarce(nIndex);
; EndCreazăMască3

```

Se va opri aici generarea listingului, încercându-se în continuare să se expună doar numele și destinația filtrului respectiv, și considerându-se implementarea trivială.

Filtrul Întreg CreazăMască4(), folosit la eliminarea punctelor singulare, este cel mai nedistructiv și foarte utilizat.

Similar cu cele trei filtre expuse aici se definesc trei filtre utilizate pentru asigurarea continuității și crearea curbelor care nu conțin zgomot în algoritmi de export a curbelor echipotențiale. S-au imaginat trei metode, care au același nume, dar conțin un parametru de tip real. Se listează în continuare doar Întreg CreazăValoare2(Real rZ).

```

Întreg SuprafațăDiscretă_CreazăValoare2(Real rZ)
{
    Întreg nIndex = 0;
    PentruFiecare(Întreg nSDX = 2; nSDX < nX; nSDX++)
        PentruFiecare(Întreg nSDY = 2; nSDY < nY; nSDY++)
        {
            Dacă((nSDX - 1, nSDY) > rZ ȘI [nSDX + 1, nSDY] > rZ ȘI [nSDX, nSDY] < rZ)
            {
                PuneLa(nSDX, nSDY, ((nSDX - 1, nSDY) + [nSDX + 1, nSDY]) / 2.0);
                m.PuneLa(nSDX, nSDY, ADEVĂRAT);
                nIndex++;
            } Dacă

            Dacă([nSDX, nSDY - 1] > rZ ȘI [nSDX, nSDY + 1] > rZ ȘI [nSDX, nSDY] < rZ)
            {
                PuneLa(nSDX, nSDY, ((nSDX, nSDY - 1) + [nSDX, nSDY + 1]) / 2.0);
                m.PuneLa(nSDX, nSDY, ADEVĂRAT);
                nIndex++;
            } Dacă
        } PentruFiecare
    Întoarce(nIndex);
; EndCreazăValoare2

```


Un filtru mai evoluat este acela care umple cu o valoare (și implicit masca), eliminând zgomote de formă mai rebelă, numărând nodurile adiacente mai mici de o valoare dată și umplând suprafața unde acest număr este mai mic decât o valoare admisibilă. Acest algoritm este utilizat și în jocul de Go, la numărarea pieselor componente ale unui grup. Este lesne de înțeles că, complexitatea acestui filtru nu este mică, necesitând chemări recursive și marcări într-o mască auxiliară; din aceste considerente nu va fi exemplificat în cod sursă.

Întreg SuprafațăDiscretă.CreazăMască(Întreg nMaxPuncte);
 Întreg SuprafațăDiscretă.CreazăValoare(Întreg nMaxPuncte, Real rZ);

4.3.2. Filtre de distrugere

Inversând logica din filtrele de creare se pot genera filtrele de distrugere, obținându-se astfel familia de filtre.

Întreg SuprafațăDiscretă.DistrugeMască2();
 Întreg SuprafațăDiscretă.DistrugeMască3();
 Întreg SuprafațăDiscretă.DistrugeMască4();
 Întreg SuprafațăDiscretă.DistrugeMască(Întreg nMaxPuncte);

Întreg SuprafațăDiscretă.DistrugeValoare2(Real rZ);
 Întreg SuprafațăDiscretă.DistrugeValoare3(Real rZ);
 Întreg SuprafațăDiscretă.DistrugeValoare4(Real rZ);
 Întreg SuprafațăDiscretă.DistrugeValoare(Întreg nMaxPuncte, Real rZ);

Câteva exemple despre Filtre se dau în figura următoare, unde s-au prezentat câteva conversii în curbe a unor SD, cu și fără filtrare.



Figura 4.7 Exemple de export a unor zone critice de detecție a zonelor plane pe solide, importate din MasterCAM și MicroStation (aceeași analiză, cu și fără filtrări)

4.4. Metode de generare vectorială

Metodele de generare vectorială sunt foarte importante în conversia datelor din alte modelatoare, care, în general, se bazează pe această metodă de modelare.

În general, suprafețele provenite sunt de tip plasă (format DXF) sau format listă cu triunghiuri (format STL). Acestea sunt cele mai simple formate posibile și au marele avantaj că sunt foarte ușor de generat metode de *import* - *export* care să le suporte.

Un alt mare avantaj al reprezentărilor de nivel scăzut este acela că se pot defini un set destul de decent (din punct de vedere al performanței) de metode de rezolvare neiterative a proiecțiilor și secțiunilor.

Marele lor dezavantaj este acela că distrug orice informație logică despre modul de generare al unui solid, distrug eventualele informații parametrice, care în prezent sunt suportate numai de formatele STEP și SAT (ACIS).

În concluzie, pentru acest tip de date de intrare elementare se pot defini, fără nici o problemă, metode de conversie relativ simple și viabile din punct de vedere al performanței.

```

NimicSuprafațăDiscretă.InitPlasă( //convertește o plasă
  CPlasa IIn //lista cu plasele de intrare
)
{
  PentruFiecare(Întreg nI = 1; nI <= nX; nI++)
    PentruFiecare(Întreg nJ = 1; nJ <= nY; nJ++)
      if (IIn.ArcOProiecție(IndexÎnRealPtX(nI), IndexÎnRealPtY(nJ))
        PuncLa(nI, nJ, IIn.laDeLaZ(IndexÎnRealPtX(nI), IndexÎnRealPtY(nJ)). PM_MAX);
} //InitPlasă

NimicSuprafațăDiscretă.InitPlase( //convertește o familie de plase
  FamiliaDePlase fIn //lista cu familia de plasele de intrare
)
{
  PentruFiecare(Întreg nI = 1; nI <= fIn.nNr; nI++)
    InitPlasă(fIn[nI]);
} //InitPlase

```

Nu s-au discutat listele cu date de tip triunghi, deoarece acestea se pot trata într-un mod similar.

Metodele de conversie discutate asigură un set decent de conversii, dar nu și eficient, în cazul în care pentru suprafețele care trebuiesc convertite solidul nu poate sau încă nu sunt generate metode de conversie eficiente în format triunghiular sau patrulater, ci doar foarte lente metode de proiecție iterative. Aceste condiții duc la timpuri de conversie care sunt de domeniul orelor, în locul celor prezentate, care sunt de domeniul secundelor.

Deci, din punct de vedere al eficienței se consideră ca fiind inacceptabil. Pentru acest tip de date a fost imaginat un algoritm inspirat din **rețele neuronale**, care privesc SD ca pe o rețea care se dorește a fi antrenată cu datele provenite dintr-o reprezentare de curbe B-Spline (spre exemplu) limitată de curbe (trimmed B-Spline). Acest algoritm este larg utilizat de autor în conversia din toate formatele de nivel superior, fiind prezentat în continuare, în premieră.

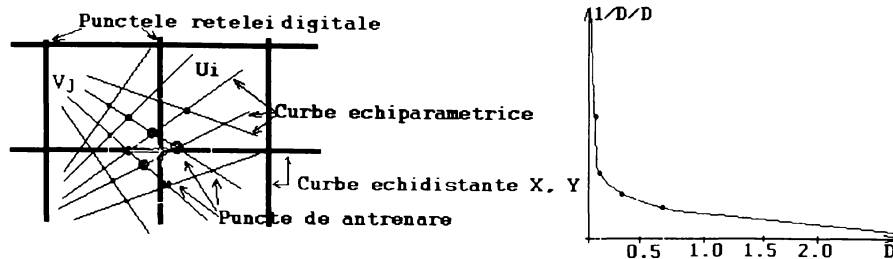


Figura 4.8 Exemplificarea metodei de antrenare a rețelei neuronale asociată suprafeței discrete, reprezentarea curbelor echiparametrice U, V , a punctelor de intersecție

Algoritmul, utilizează analiza punctelor care sunt în vecinătatea unui punct.

Algoritmul este într-un fel asemănător cu cel al interpolării prin puncte. Diferența de bază este că algoritmul de interpolare prin set de puncte operează foarte bine când sunt relativ puține puncte, timpii de rulare crescând linear cu numărul de puncte. Algoritmul prezentat în prezent este utilizat pentru antrenarea unui punct din 2..10 puncte de intrare.

Acest algoritm este destul de precis, asigurând pentru o medie de trei puncte de antrenare pe punct al SD o precizie medie de 0,001 mm, ceea ce se consideră satisfăcător.

Importanța acestui algoritm este imensă d.p.d.v. al consumului de timp, deoarece, în realitate, calcularea unui punct echiparametric (U, V) de pe suprafață este, în general, de peste 100 de ori mai rapidă decât calcularea iterativă a unui punct la o coordonată (X, Y), deci pentru un set decent de antrenare (de 3 puncte pe punct al SD) se asigură timpi de peste 30 de ori mai mici. În realitate, după ce s-a cronometrat pe un set de 10 repere de complexități diferite, se poate spune că s-au obținut timpi mai mici de 20..100 ori.

Algoritmul asigură o rezolvare destul de simplă și elegantă a problemei. Metoda constă din:

- ⇒ pentru fiecare punct $P(U, V)$ se calculează cei patru vecini discreți;
- ⇒ se calculează distanța pătratică, cu relația $D^2 = DX^2 + DY^2$;
- ⇒ aceasta este utilizată pentru a antrena cei patru vecini ai unui punct $P(u, v)$ după legea $1/D^2$ (variația acestei funcții se găsește în figura 4.8 b);
- ⇒ la sfârșitul algoritmului, pentru a întoarce valoarea reală, se divide cu suma ponderilor.

Matematic:

$$\Sigma(P(U, V) / D^2) / \Sigma D^2$$

SuprafațăDiscretă sdSumaPD. sdSumaD.

```

NimicSuprafațăDiscretă .InitPuncLaR()
{
  sdSumaPD = sdAceasta; //inițializează SumaPD)
  sdSumaPD .PuncLaAll(0.0); // o inițializează pe 0.0
  sdSumaD = sdAceasta; //inițializează SumaD)
  sdSumaD .PuncLaAll(0.0); // o inițializează pe 0.0
} //EndInitPutR

SuprafațăDiscretă .DonePuncLaR()
{
  sdSumaPD /= sdSumaD; //împarte sd SumaPD/SumaD)
  PânăCând(sdSumaPD .Crează2()); //filtrează sd pentru eventualitatea pt. puncte necreate
  PânăCând(sdSumaPD .Distruge2()); //filtrează sd pentru eventualitatea pt. puncte necreate
  Combină(sdSumaPD, PM_MAX, FALS); //combină sd actual cu sd, SumaPD) luând numai masca
} //EndDonePutR

NimicSuprafațăDiscretă .PuncLaR(PunctpP, Real rTaieSus = 2.0) //antrenează vecinii
{
  Real rX = RealInIndexPtXR(pP.iX); //convertește valoarea reală dar din spațiul întreg
  Real rY = RealInIndexPtYR(pP.iY); //convertește valoarea reală dar din spațiul întreg
  Real rD2;
  //P00
  rD2 = (rX - int(rX))*(rX - int(rX)) + (rY - int(rY))*(rY - int(rY));
  Dacă (rD2 < rTaieSus)
  {
    sdSumaPD .PuncLa(int(rX) + 0, int(rY) + 0, pP.Z/rD2); //adună pe PD
    sdSumaD .PuncLa(int(rX) + 0, int(rY) + 0, 1/rD2); //adună pe PD
  } //Dacă

  //P01
  rD2 = (rX - int(rX))*(rX - int(rX)) + (rY + 1 - int(rY))*(rY + 1 - int(rY));
  Dacă (rD2 < rTaieSus)
  {
    sdSumaPD .PuncLa(int(rX) + 0, int(rY) + 1, pP.Z/rD2); //adună pe PD
    sdSumaD .PuncLa(int(rX) + 0, int(rY) + 1, 1/rD2); //adună pe PD
  } //Dacă

  //P10
  rD2 = (rX + 1 - int(rX))*(rX + 1 - int(rX)) + (rY - int(rY))*(rY - int(rY));
  Dacă (rD2 < rTaieSus)
  {
    sdSumaPD .PuncLa(int(rX) + 1, int(rY) + 0, pP.Z/rD2); //adună pe PD
    sdSumaD .PuncLa(int(rX) + 1, int(rY) + 0, 1/rD2); //adună pe PD
  } //Dacă

  //P11
  rD2 = (rX + 1 - int(rX))*(rX + 1 - int(rX)) + (rY + 1 - int(rY))*(rY + 1 - int(rY));
  Dacă (rD2 < rTaieSus)
  {
    sdSumaPD .PuncLa(int(rX) + 1, int(rY) + 1, pP.Z/rD2); //adună pe PD
    sdSumaD .PuncLa(int(rX) + 1, int(rY) + 1, 1/rD2); //adună pe PD
  } //Dacă
} //EndPutR

NimicSuprafațăDiscretă .PuncLaSuprafațaSuperioară(SuprafațăSuperioară sS, Real rUStep, rVStep)
{
  InitPuncLaR();
  PentruFiccare(Real rU = 0.0; rU <= 1.0 rU += rUStep)
    PentruFiccare(Real rV = 0.0; rV <= 1.0 rV += rVStep)
      PuncLaR(sS|rU, rV);
  EndPuncLaR();
}

```

↳ EndPutSuprafataSuperioară

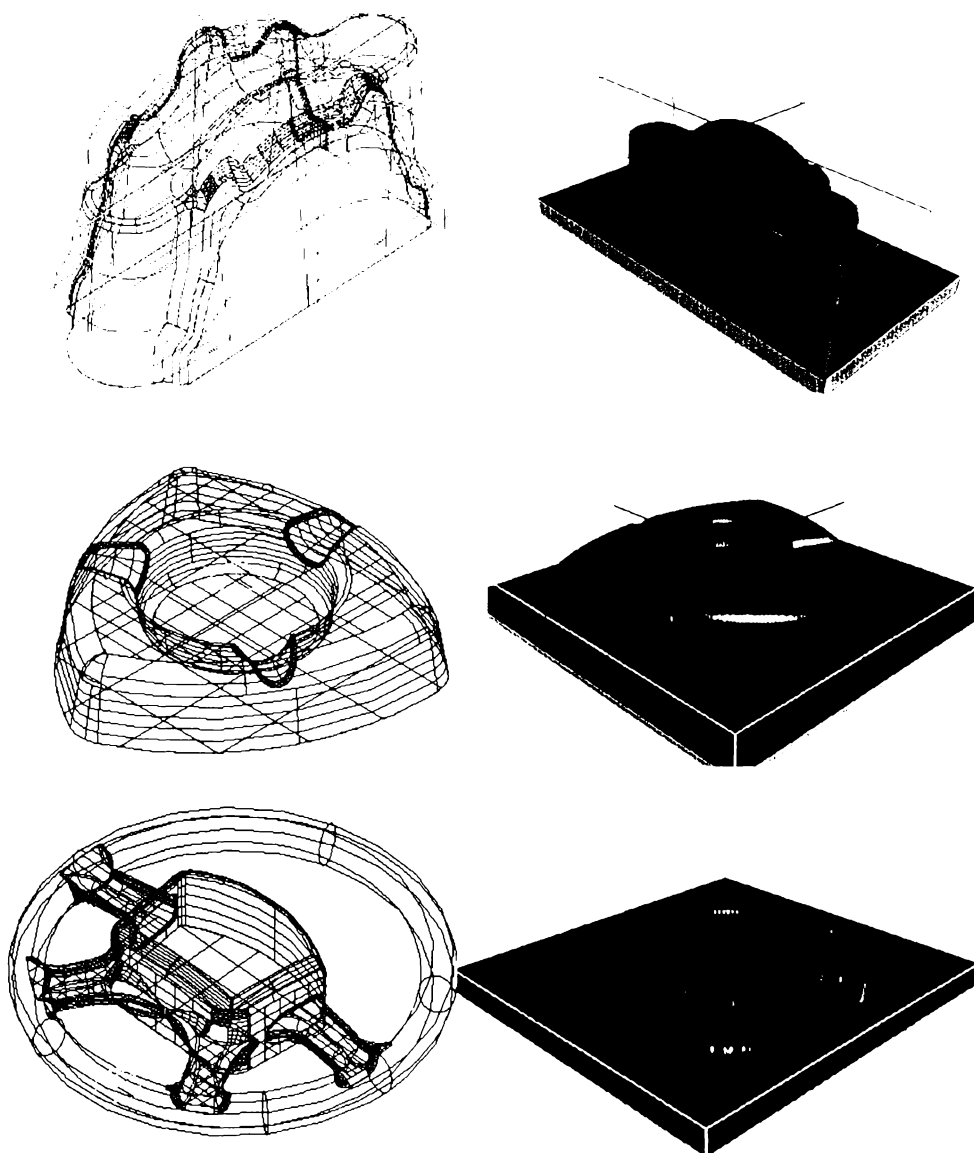


Figura 4.9 Importul a trei repere exportate ca suprafațe B-Spline sau solide BRep din EdgeCAM, AutoCAD și Microstation (Solid Edge).

Exemple în care s-a folosit rețeaua neuronală pentru antrenarea SD. Timpuri de import 1..3 minute. Reprezentarea solidă utilizează nuanțele de albastru pentru marcarea zonelor nefrezabile cu o sculă dată de $r=20$ mm.

4.5. Concepte introduse

```

Clasa SuprafațăDiscretă DerivatăDin BazăDiscretă
{
  //.. metodele din capitolele precedente !
  Nimic Combină(SuprafațăDiscretă sdComb, Întreg nModulDePunere = PM_NONE, Boolean bTotal = ADEVĂRAT);
  Nimic PuneLaOrizontal(Real rValoare, Întreg nModulDePunere = PM_NONE, Boolean bTotal = ADEVĂRAT);
  Nimic PuneLaPlan3P(Punctp1, p2, p3, Întreg nModulDePunere = PM_NONE, Boolean bTotal = ADEVĂRAT);
  Nimic PuneLaFuncție(SetDeCaractere strFuncția, Întreg nModulDePunere = PM_NONE, Boolean bTotal = ADEVĂRAT);

  Nimic PuneLaInterpolareXDir(SuprafațăDiscretă sdSecțiuni, Întreg nOrdinCurbei= 1, Întreg nModulDePunere = PM_NONE, Boolean bTotal = ADEVĂRAT);
  Nimic PuneLaInterpolareYDir(SuprafațăDiscretă sdSecțiuni, Întreg nOrdinCurbei= 1, Întreg nModulDePunere = PM_NONE, Boolean bTotal = ADEVĂRAT);

  Nimic InterpoleazăPrinPuncte(Curbă cListaCuPuncte, FamiliaDeReali lrListaCuPonderi, FamiliaDeCurbe fcAlteCurbe, FamiliaDeReali lrPonderiPtCurbe, FamiliaDeReali lrPașiiPtCurbe, Real rRigiditatea);

  Nimic InitCapDeSculă(Curbă cCapDeSculă, Real rPas);
  Nimic InitÎnfășurătoareStatic(SuprafațăDiscretă sdSupafața, sdSculă, Boolean bDirecțiaSus, Boolean bTotal);
  Nimic InitRacordareStatic(SuprafațăDiscretă sdSupafața, sdSculă, Boolean bDirecțiaSus, Boolean bTotal);
  Nimic InitÎnfășurătoareDinamic(SuprafațăDiscretă sdSupafața, sdScalare, sdSculă, Boolean bDirecțiaSus, Boolean bTotal);
  Nimic InitRacordareDinamic(SuprafațăDiscretă sdSupafața, sdScalare, sdSculă, Boolean bDirecțiaSus, Boolean bTotal);

  Nimic InitPlasă(CPLasa lIn);
  Nimic InitPlase(FamiliaDePlase flIn);
  Nimic PuneLaSuprafațaSuperioară(SuprafațăSuperioară sS; Real rUStep, rVStep);
  Nimic PuneLaSuprafețeSuperioare(FamiliaDeSuprafețeSuperioare fsFS);

  //câteva filtre
  Întreg CreazăMască2();
  Întreg CreazăMască3();
  Întreg CreazăMască4();
  Întreg CreazăMască(Întreg nMaxPuncte);
  Întreg CreazăValoare2(Real rZ);
  Întreg CreazăValoare3(Real rZ);
  Întreg CreazăValoare4(Real rZ);
  Întreg CreazăValoare(Întreg nMaxPuncte, Real rZ);
  Întreg DistrugeMască2();
  Întreg DistrugeMască3();
  Întreg DistrugeMască4();
  Întreg DistrugeMască(Întreg nMaxPuncte);
  Întreg DistrugeValoare2(Real rZ);
  Întreg DistrugeValoare3(Real rZ);
  Întreg DistrugeValoare4(Real rZ);
  Întreg DistrugeValoare(Întreg nMaxPuncte, Real rZ);

  Metode utilizate de automatul neuronal la importul famililor de Supr. sup
  Nimic InitPuneLaR();
  Nimic DonePuneLaR();
  Nimic PuneLaR(PunctpP, Real rTaeSus = 2.0); // antrenează cei patru vecini
} EndSuprafațăDiscretă

```

4.6. Concluzii

În acest capitol au fost descrise tehnici și metode de *creare, modelare, conversie, import și filtrare* a SD.

Scopul acestuia este ca, utilizând metodele descrise, un număr cât mai mare de repere provenite din diferite sisteme de proiectare, fabricație sau modelate direct, să poată beneficia de soluțiile sofisticate de analiză și generare a codului NC care vor fi discutate în viitor.

De asemenea, s-au prezentat în premieră trei algoritmi noi, concepuți de către autor:

- ⇒ *algoritmul de import și conversie a seturilor de puncte și curbe furnizate fără nici o regulă;*
- ⇒ *algoritmul de calculare a înfășurătoarei și racordărilor cu forme de orice geometrie (un caz particular al acestora sunt capetele de sculă suprafețe de revoluție, utilizate în frezare);*
- ⇒ *rețeaua neuronală pentru antrenarea cu date care nu cad în punctele rețelei utilizabile, ca o metodă generică de import a tuturor datelor parametrice.*

A fost prezentată o familie de metode auxiliare (filtrele) utilizate pentru reducerea zgomotului introdus de diferite metode de conversie și analiză. S-a exemplificat acest concept.

5. Metode de conversie și formate de import – export

5.1. Introducere

În acest capitol se vor sintetiza și prezenta câteva conversii ale SD în reprezentările vectoriale uzuale altor sisteme de proiectare și/sau fabricație, pentru a da nu numai o consistență vizuală analizelor și generărilor, ci și o finalitate și utilizabilitate în alte sisteme de proiectare - fabricare.

În prima parte a capitolului se vor prezenta metode de culegere a datelor și de conversie a lor în formate de tip **plasă**, solide discrete fațetate reprezentate ca **triunghiuri**, reprezentări de tip **familie de curbe**, specifice generării fișierului NC via CL.

Se vor introduce metode de creare de *curbe, proiecție, offset inteligent și export* în formatele simple ASCII, ca: **DXF, STL, CL, NC**. Nu se vor discuta, pentru a nu încălca expunerea, formatele evoluate, ca **IGES, STEP, VDA**, având în vedere și utilizarea lor destul de restrânsă, deocamdată. Expunerea fiecărui format superior ar necesita un minim de 20 pagini, ceea ce nu asigură cadrul lucrării de față.

Metodele de conversie și export sunt de o mare importanță în utilizarea suprafețelor discrete demulabile, virtual, în orice sistem de proiectare și fabricație. Ideea prezentării fiecărui format constă în a îmbina prezentarea acestuia, însoțită de expunerea algoritmilor în pseudocod, cu exemplificarea fiecărui concept introdus, cu ajutorul exemplelor și a listingului potențial, realizat de către clasa expusă.

Se va crea un set nou de clase, specifice exportului fiecărui tip în parte: **Fișier, CDXFOut, CSTLOut, CLOut, CNCOut**. Aceste clase vor fi implementate folosind o metodă unificată de prezentare, încercând să se ascundă detaliile fiecărui format în parte.

Se vor expune metode noi, destinate conversiei și exportului, metode care dau o utilizabilitate SD, legându-le de alte sisteme de proiectare, ca aparate matematice auxiliare de analiză sau conversie în format NC.

Se va prezenta, în premieră, un algoritm de conversie în curbe de nivel foarte fin (comparativ cu pasul suprafeței discrete), care permite conversia SD corecție de sculă în format NC, asigurând erori de ordinul micrometrilor.

Un subcapitol aparte va fi rezervat expunerii problemei unui postprocesor generic de control numeric, **GNCPP (generic numeric control post processor)**, o librărie dinamică complexă, care are scopul de a genera fișier NC specific, virtual, pe orice echipament, optimizat pentru lungime și timp de rulare.

Se vor trasa câteva statistici despre frecvența utilizării diferitelor formate în Marea Britanie și SUA, în funcție de numărul de mașini unelte și numărul de angajați.

În finalul capitolului se vor rezuma, în pseudocod, toate metodele și obiectele noi, și se va concluziona asupra problemelor expuse pe parcursul capitolului.

5.2. Metode de conversie

Datorită modului oarecum neuzual de stocare a informațiilor în suprafețele discrete, pentru ca acestea să fie utilizabile în cât mai multe sisteme de proiectare și fabricație, s-au creat tehnici și metode de conversie și export a SD în diferite reprezentări geometrice. Acestea sunt: *curbele, plasele patrulatere și cele triunghiulare.*

5.2.1. Conversia în curbe

Conversiile SD și proiecțiile unor curbe aplicate pe SD au un rol important în generarea fișierelor NC, sau în crearea unor extensii a unor zone critice.

Unicul caz de conversie a SD în curbe discutat în această lucrare va fi acela de conversie a unei SD în curbe de nivel.

Acest algoritm are utilitate nu numai în generarea fișierelor NC cu $Z = ct$, cum s-ar putea crede la o analiză superficială, ci aplicațiile lui se pot extinde în orice generare de curbă de pe SD ! În capitolul următor, destinat analizei și optimizării, se vor prezenta o multitudine de transformări particulare (manipulatori) specifice **analizelor SD**, în vederea utilizării acestui algoritm foarte puternic și GENERIC, de export.

Problematica acestui algoritm este aceea că trebuie creată o familie de curbe care să despartă SD în două regiuni, una cu valori mai mari decât cea analizată, iar alta cu valori mai mici decât aceasta. În general, această problemă nu este nouă, și se regăsește într-o mulțime de programe [LWRK], [CTR]. Soluțiile propuse până acum sunt, în general, precare din punct de vedere al **calității** curbelor exportate, total improprii folosirii direct ca și trasee de sculă, fără o rafinare uzual manuală, care încetinește procesul și duce la distrugerea generării și regenerării automate.

În general, acest algoritm își găsește utilitatea în toate locurile unde trebuie recunoscută o formă, făcând analogia cotei Z cu o culoare sau intensitate luminoasă, în cazul utilizării imaginilor monocrome, sau a trei componente (*roșu, verde, albastru*), în cazul analizării imaginilor color. Alte posibile utilizări ale algoritmului ar putea fi: *creșterea rezoluțiilor analogice ale fotografiilor, recunoașterea formelor, convertirea imaginilor în format vectorial etc.*

Se consideră că algoritmul descris în continuare este unicul algoritm, cunoscut de autor, care utilizează proprietatea remarcabilă a unei secțiuni (sau proiecții) *de a fi o curbă discretă continuă*. Deci, folosind teorema lui Cauchy între 2 puncte, unul mai mic și unul mai mare decât o valoare dată, se găsește cel puțin un punct care intersectează nivelul de analiză.

Imaginea de mai jos își propune prezentarea problematicii acestui algoritm.

Algoritmul se bazează pe proprietatea **remarcabilă** a fiecărui pătrat elementar (format din patru segmente de dreaptă, și care formează întotdeauna un patrulater închis) de a avea un număr par de intersecții cu un plan orizontal [0, 2, 4]. Deci, orice curbă care intră **trebuie** să și iasă din pătrat, curbele neputând fi deschise (sau închise) decât în cazul în care încep și se termină pe marginea SD.

Precizia curbelor create de acest algoritm (negru + roșu, punctele de control) este de ordinul $1/1000 * \text{pasul}$, iar a celui bazat pe culegerea pasului, de ordinul pasului (verde + albastru, punctele de control).

În urma analizelor făcute, acest algoritm, combinat cu cel de detecție a muchiilor vii, a produs, în toate cazurile analizate, rezultate similare: până la trei zecimale exacte, comparat cu algoritmi care folosesc tehnici pur vectoriale.

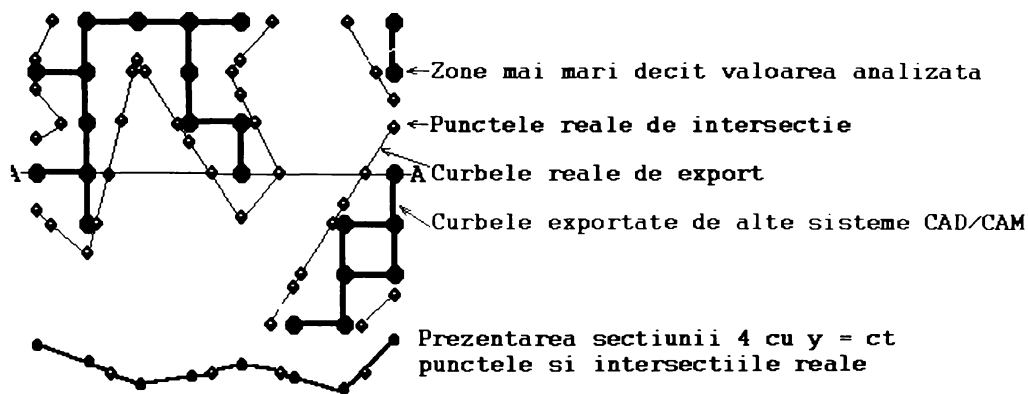


Figura 5.1 Prezentarea algoritmului de conversie a SD în curbe echipotențiale, folosind metoda clasică a punctelor de control și cea nouă, care folosește continuitatea secțiunilor.

Din păcate, erorile nu sunt liniare, ci sunt o funcție de înclinare a suprafeței. Astfel, la 90° , eroarea de detecție a unui zid poate deveni comparabilă cu pasul, ceea ce duce la erori de domeniu $0.1..1.0 * \text{pasul}$, de multe ori netolerabile ! Din această cauză, în sistemele evoluate destinate fabricației, *TechoPack* și *EdgeCAM*, la ora actuală se folosește o tehnologie mixtă de generare a fișierului NC: în proporție de 90% din suprafață de pe SD, iar în zonele care au înclinații mari sunt folosite suprafețele vectoriale, care sunt insensibile la schimbarea înclinației, dar sunt de peste 500 de ori mai lente !

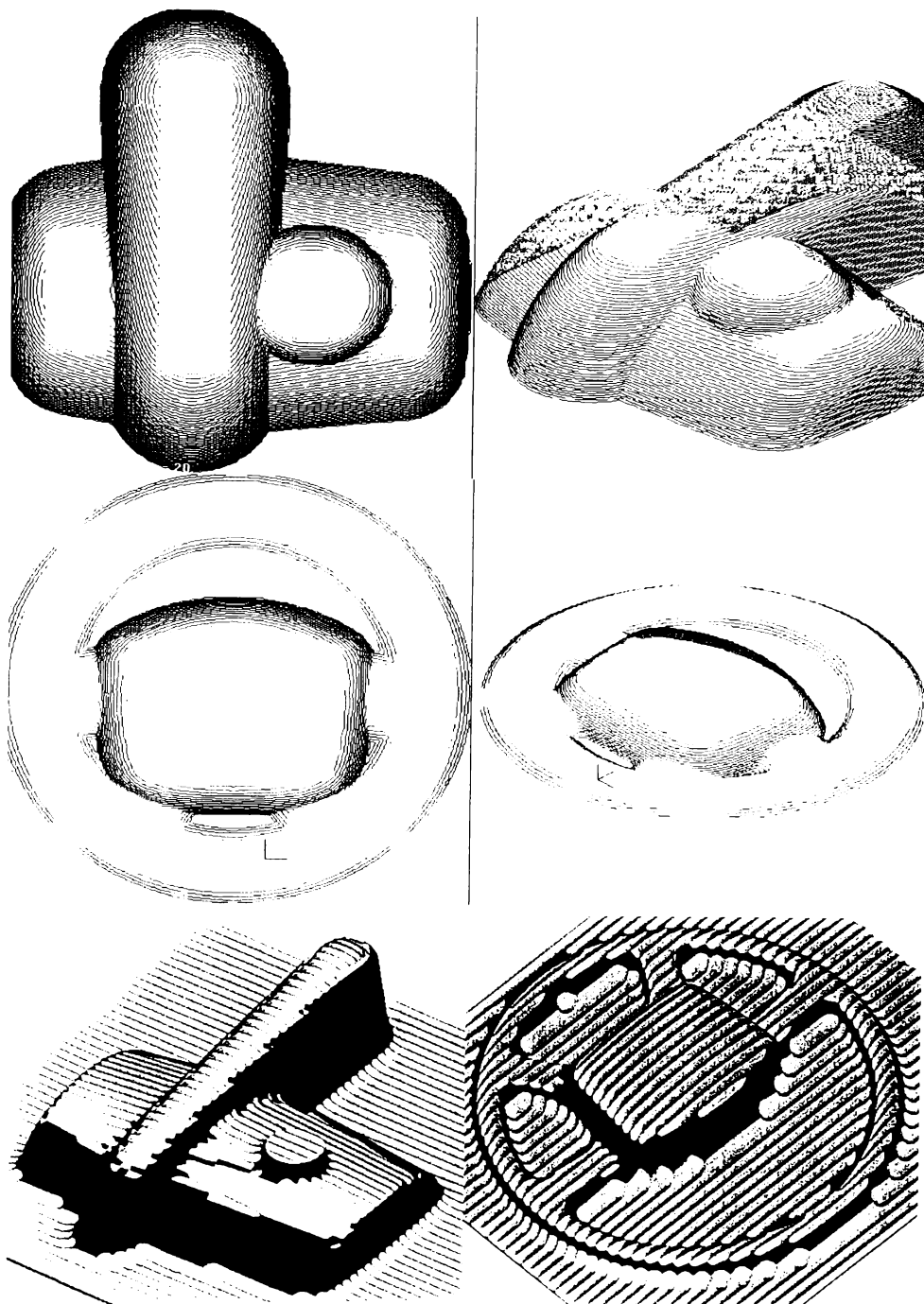


Figura 5.2 Conversii din SD. Reprezentare de tehnologie mixtă, de combinare a ciclurilor de frezare curbe nivel și secțiuni echidistante.

Toate analizele și fișierele NC au fost generate folosind reprezentarea discretă, cu algoritmul prezentat. Simularea și verificarea este făcută cu DSVIEW.

Algoritmul poate fi descris în pseudocod astfel:

```

NimicCDiscretSurface.AdunăCurbă(FamiliaDeCurbe fcOut, int nX, nY)
{
    //prea laborioasă pentru a fi descrisă.
} EndAdunăCurbă

NimicCDiscretSurface.CreazăCurbe(FamiliaDeCurbe fcOut, Real rPentruZ)
{
    //y0
    PentruFicare(Întreg nI = 1; nI < nX; nI++)
        Dacă ([nI, 0] > rPentruZ ȘI [nI + 1, 0] < rPentruZ SAU
            [nI, 0] < rPentruZ ȘI [nI + 1, 0] > rPentruZ)
            AdunăCurbă(fcOut, nI, 0);

    //y max
    PentruFicare(Întreg nI = 1; nI < nX; nI++)
        Dacă ([nI, nNrY] > rPentruZ ȘI [nI + 1, nNrY] < rPentruZ SAU
            [nI, nNrY] < rPentruZ ȘI [nI + 1, nNrY] > rPentruZ)
            AdunăCurbă(fcOut, nI, nNrY);

    //x 0
    PentruFicare(Întreg nJ = 1; nJ < nY; nJ++)
        Dacă ([0, nJ] > rPentruZ ȘI [0, nJ] < rPentruZ SAU
            [0, nJ] < rPentruZ ȘI [0, nJ] > rPentruZ)
            AdunăCurbă(fcOut, 0, nJ);

    //x max
    PentruFicare(Întreg nJ = 1; nJ < nY; nJ++)
        Dacă ([nNrX, nJ] > rPentruZ ȘI [nNrX, nJ] < rPentruZ SAU
            [nNrX, nJ] < rPentruZ ȘI [nNrX, nJ] > rPentruZ)
            AdunăCurbă(fcOut, nNrX, nJ);

    //curbele închise interioare
    PentruFicare(Întreg nI = 2; nI < nX-1; nI++)
        PentruFicare(Întreg nJ = 2; nJ < nY-1; nJ++)
            AdunăCurbă(fcOut, nI, nJ);
} EndCreazăCurbe

NimicCDiscretSurface.CreazăToateCurbele( //crează toate curbele
    FamiliaDeCurbe fcOut, //locul unde sunt stocate curbele
    Real rZStep = 1.0, //pasul
    Boolean bAuto = ADEVĂRAT, //dacă calculează automat cotele de start și sfârșit
    Real rZStart = 0.0, //cota de pornire
    Real rZEnd = 10.0) //cota de oprire
{
    Dacă(bAuto)
    {
        rZStart = pMax.rZ; //atribue automat Z maxim
        rZEnd = pMin.rZ; //atribue automat Z minim
    }
    PentruFicare(Real rZ = rZStart; rZ < rZEnd; rZ += rZStep)
        CreazăCurbe(fcOut, rZ);
} EndCreazăToateCurbele

```

NOTĂ: Detaliile de implementare a metodei `AdunăCurbă()` nu au fost expuse, deoarece metoda este destul de simplă, dar lungă; ea se bazează pe conceptele expuse la începutul capitolului.

5.2.2. Proiectarea unei familii de curbe pe suprafața discretă

Această metodă dă consistență și generalitate algoritmului de conversie în curbe echipotențiale și deschide posibilități nelimitate pentru toți algoritmi de generare a fișierului NC prin tehnici proiective (*spirale, radiale, offset, morf* etc).

Tehnica este destul de simplă și este expusă în continuare:

```

NimicCDiscretSurface.ProiecteazăCurbă(Curbă cProiectează)
{
  PentruFiecare(Întreg nI = 1; nI < c.nNr; nI++)
  {
    Punctp = cProiectează[nI];
    p.rZ = laDeLaR(p.rX, p.rY);
    cProiectează.PunctLa(nI, p);
  } //PentruFiecare
} //EndProiecteazăCurbă

NimicCDiscretSurface.ProiecteazăCurbe(FamiliaDeCurbe fcProiectează)
{
  PentruFiecare(Întreg nI = 1; nI < c.nNr; nI++)
  ProiecteazăCurbă(fcProiectează[nI])
} //EndProiecteazăCurbe

```

Notă: algoritmul expus proiectează doar noduri; în mod similar se poate descrie un algoritm care proiectează toate liniile, cu un anumit pas dat; un exemplu despre cele două familii de algoritmi, cel de conversie în curbe echipotențiale a unei SD, după care proiectarea pe o altă SD, se prezintă în figura 5.3.

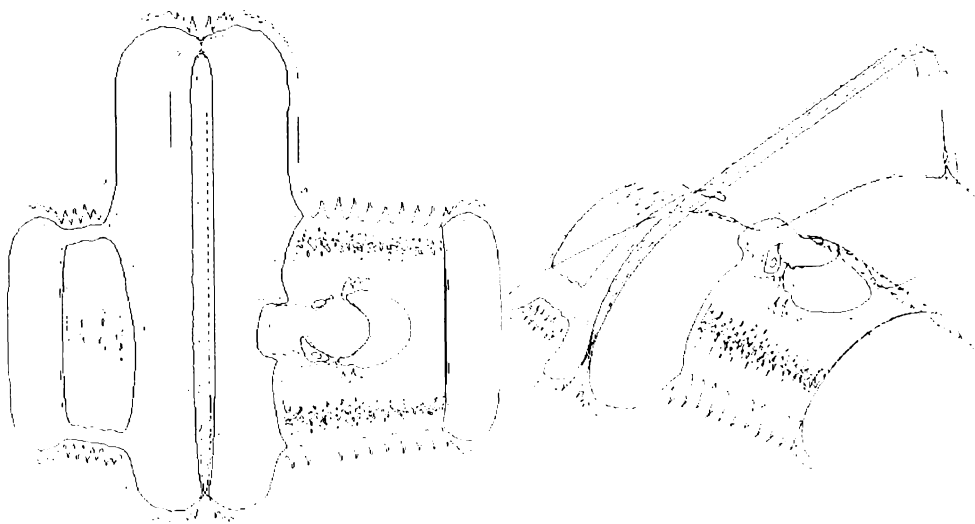


Figura 5.3 Exemplu de conversie echipotențială și proiecție pe SD, cu EdgeCAM V3.0

5.2.3. Offset pe SD

Offsetul sau echidistanțarea unei curbe pe o SD este deosebit de utilă pentru generarea fișierelor NC de frezare cu rugozitate constantă (cea mai eficientă metodă de frezare). Algoritmul va fi prezentat în detaliu în subcapitolul “Calculul curbelor echirugozitate”. Câteva exemple ale conceptului se pot observa în următoarea figură, unde se prezintă, în nuanțe diferite, offsetarea pe SD a unui dreptunghi sau a două drepte paralele.

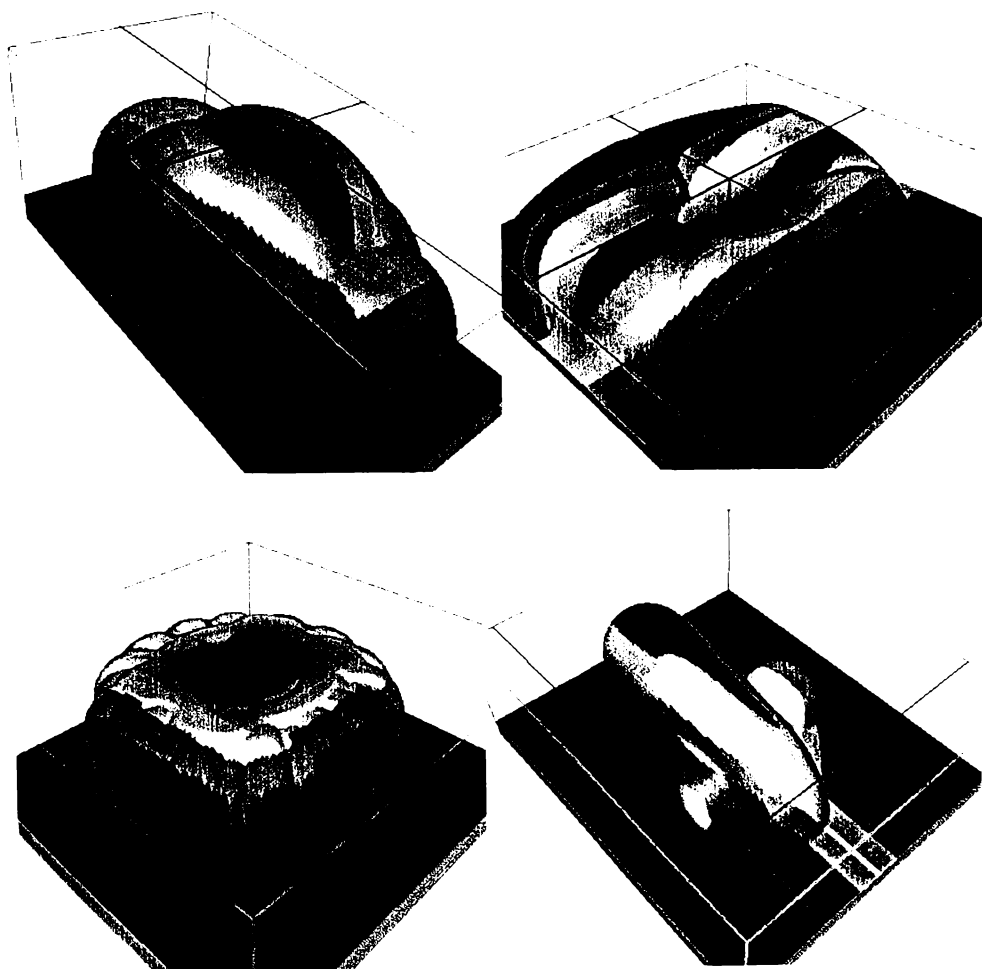


Figura 5.4 Exemplificarea algoritmului de offset inteligent pe suprafața discretă. Procesări făcute pe repere importate din diferite sisteme CAD/CAM, pornind de la dreptunghi sau de la drepte paralele

5.2.4. Convertirea în plase patrulate

Această conversie este utilizată în cazul în care se dorește exportul întregii pânze, din suprafața discretă într-un alt produs, via un format extern de export.

Cel mai simplu format care suportă plasele, ca entitate, este formatul DXF.

Se va exemplifica, în continuare, în pseudocod, algoritmul necesar creerii unei plase dintr-o SD:

```
NimicCDiscretSurface.ExportPlasă(SetDeCaractere strNumDXF)
{
  Întreg nCuloare = 15
  SetDeCaractere strLayer = "Plasă";
  CDXFExport dxfout;

  dxfout.Inițializează(strNumDXF);
  dxfout.InitPlasă(nX, nY, nCuloare, strLayer);
  PentruFiecare(Întreg nI = 1; nI <= nX; nI++)
    PentruFiecare(Întreg nJ = 1; nJ <= nY; nJ++)
      {
        Punctp(IndexÎnRealPtX(nI), IndexÎnRealPtY(nJ), [nI, nJ]);
        dxfout.PuneVertex(p);
      } //PentruFiecare
  dxfout.DonePlasă();
  dxfout.Sfârșește();
} //EndExportPlasă
```

Se poate observa că, conversia și exportul într-o plasă uniform riglată este relativ simplă, atâta vreme cât este definită o clasă **CDXFOut**, care va fi prezentată pe parcursul capitolului.

Se prezintă, în continuare, două plase exportate din TechnoCAD V2.0 [DM04..06] și vizualizate cu **DSView**.

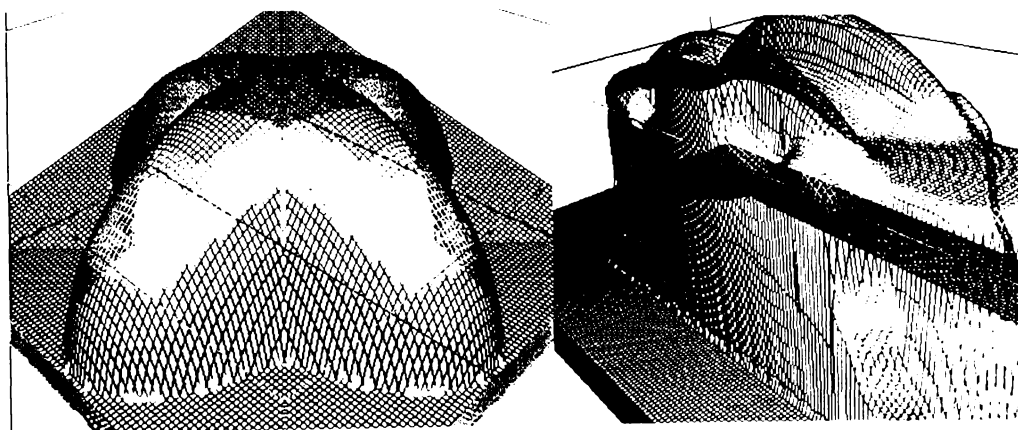


Figura 5.5 Plase exportate și convertite din suprafețe discrete

5.2.5. Convertirea în reprezentare triunghiulară

Reprezentarea triunghiulară, stocată în formatul STL (stereolithography format), este cea mai simplă reprezentare posibilă pentru exportul și importul solidelor. În prezent, STL este exportat de către toate sistemele de proiectare orientate pe solide (*Solid Edge, Solid Works, ProEngineering, Autodesk Mechanical Desktop*), ca export generic în sistemele de analiză cu elemente finite (FEA), în cele de fabricație (CAM) sau de verificare.

Teoria triangularizării, folosită pentru convertirea în acest format, este foarte vastă având aplicații într-o multitudine de domenii, ca: *analiză cu elemente finite, trasări de hărți, stocări optimizate a zonelor plane*.

Primele încercări, cu adevărat remarcabile, de rezovare a triangularizării suprafețelor și tetradrizării volumelor au fost făcute de Delaunay, bazându-se pe polinoamele convexe Voronoi [TRI].

Se va prezenta, în continuare, un algoritm minimal de conversie a SD în reprezentare solidă triunghiulară neoptimizată.

```
NimicCDiscretSurface.ExportPlasă(SetDeCaractere strNumDXF)
{
    CSTLExport stlout;
    Punctp1, p2, p3, p4;

    stlout.Inițializează(strNumDXF);
    PentruFiecare(Întreg nI = 1; nI < nX; nI++)
        PentruFiecare(Întreg nJ = 1; nJ < nY; nJ++)
        {
            p1(ÎndexÎnRealPtX(nI + 0), ÎndexÎnRealPtY(nJ + 0), [nI + 0, nJ + 0]);
            p2(ÎndexÎnRealPtX(nI + 0), ÎndexÎnRealPtY(nJ + 1), [nI + 0, nJ + 1]);
            p3(ÎndexÎnRealPtX(nI + 1), ÎndexÎnRealPtY(nJ + 0), [nI + 1, nJ + 0]);
            p4(ÎndexÎnRealPtX(nI + 1), ÎndexÎnRealPtY(nJ + 1), [nI + 1, nJ + 1]);
            stlout.PuncLa(p1, p2, p3);
            •
            stlout.PuncLa(p2, p3, p4);
        } ~PentruFiecare
    stlout.Sfârșeste();
} ~EndExportPlasă
```

Notă: algoritmul prezentat este cel mai simplu posibil; în realitate, autorul utilizează unul mult mai sofisticat, care reduce mărimea fișierelor STL de peste 4 ori; acest algoritm încearcă, prin diferite metode, să găsească și să elimine punctele coplanare (fig. 2.1), după care trece la optimizarea setului de puncte. Lungimea acestui algoritm, în limbaj C++, este de peste 8000 linii cod, în comparație cu cel listat, de sub 20 !

Exemple de solizi, în formatul solid triunghiular STL, se prezintă în figurile 2.5 și 2.6.

5.3. Formate de import - export

Formatele de import - export au o mare importanță în automatizarea circulației informației într-o întreprindere. Din păcate, la ora actuală, se pare că sunt încă preferate formatele standard de nivel jos, ca *STL*, *CL*, *NC*, *PLT*, pentru singurul motiv că sunt ușor de implementat, ceea ce duce la transferul așteptat, fără prea multe dificultăți.

Formatele de nivel mai ridicat des utilizate sunt cele proprietare sistemelor de proiectare (CAD), ca *DXF (AutoCAD)*, *DWG (AutoCAD)*, *SAT (ACIS)*, *VDA (Microstation)*, deoarece rutinele de import - export sunt furnizate de către o singură companie (cea proprietară), care se ocupă de dezvoltarea și implementarea importului și exportului în formatul respectiv.

Formatele standard de nivel înalt, ca *IGES*, *STEP*, sunt mult mai bogate în forma de reprezentare, dar și mult mai complicate, existând dificultăți de a scrie rutine de import - export și probabil, din această cauză, sunt și mai puțin utilizate. Se pare, însă, că următorii ani vor aparține acestor formate, impuse de ingineria concurentă.

În tabelele următoare se vor prezenta formatele cele mai utilizate în anul 1997, în două țări industrializate - Marea Britanie și SUA, pentru comunicarea între sistemele CAD și CAM. Datele au fost procesate și puse la dispoziția autorului de către domnul Geoffrey Taylor, director de marketing la *Pathtrace Ltd*. Eșantionul analizat a fost de peste 100 de întreprinderi, în fiecare țară. Datele obținute sunt folosite pentru definirea ordinii de dezvoltare a convertoarelor, încercând să se tragă concluzii practice pertinente despre adevăratul stadiu actual al comunicației între sistemele de proiectare și fabricație. În special în întreprinderile mici și mijlocii se pare că cele mai folosite metode de comunicație sunt încă desenele imprimare și formatele proprietare Autodesk (*DXF* și *DWG*). Formatul standard *IGES* are o pondere scăzută (sub 10 %), iar formatul *STEP* aproape că nu există. Într-o evoluție ascendentă spectaculoasă este formatul *SAT* (format proprietar de descriere a solidelor ASCII), care are o creștere continuă de utilizare, de peste 4 % pe an.

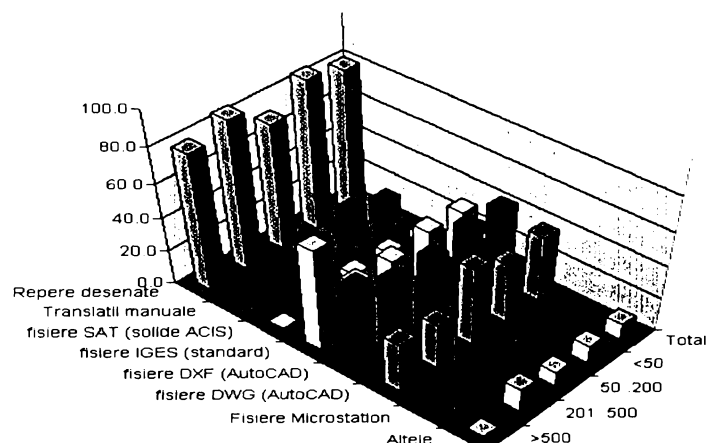
Sintetizând tendințele de utilizare pe 1997, acestea sunt:

Metoda de transfer	Proporția de utilizare, în [%]	Tendința de creștere în 1997, [%/ an]
Repere desenate	75	- 5
Translații manuale	13	0
Fișiere SAT (solide ACIS)	14	+4
Fișiere IGES (standard)	25	+1
Fișiere STEP (standard)	5	+1
Fișiere DXF (AutoCAD)	35	+1
Fișiere DWG (AutoCAD)	40	+2
Fișiere VDA (Microstation)	5	+1
Fișiere STL (solide fațetate)	2	+3

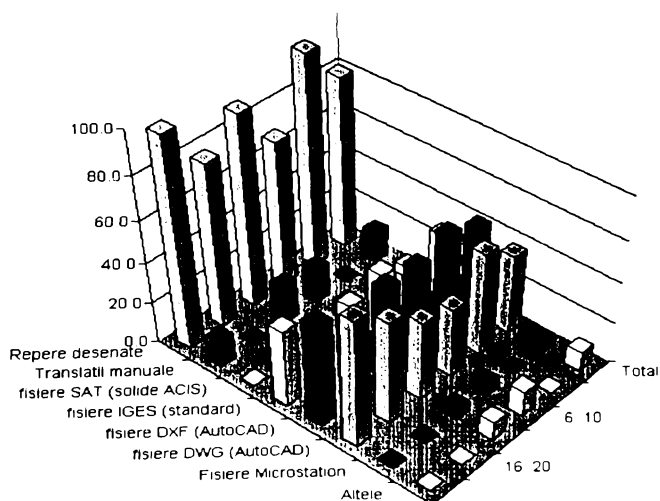
Se poate observa că, însumând coloana a doua, rezultă o valoare mai mare de 100 %, din cauză că majoritatea întreprinderilor utilizează mai mult de un format de transfer. Cu cât o întreprindere este mai mare, cu atât va avea tendința de a folosi schimbul electronic de date, în timp ce întreprinderile mici, care sunt reprezentate de subcontractori, schimbă încă datele în format desenat.

Marca Britanic		Număr angajați				Număr mașini unelte				
Despre întreprindere	Total	<50	50..200	201..500	>500	1..5	6..10	10..15	16..20	>20
Repere desenate	81.5	86.7	73.3	86.7	80.0	100.0	69.6	90.9	78.6	100.0
Translații manuale	14.6	21.7	13.3	0.0	0.0	0.0	16.1	18.2	0.0	12.5
Fișiere SAT (solide ACIS)	5.4	6.7	6.7	0.0	0.0	0.0	7.1	6.8	0.0	0.0
Fișiere IGES (standard)	30.8	31.7	26.7	26.7	60.0	0.0	32.1	27.3	28.6	37.5
Fișiere DXF (AutoCAD)	43.1	45.0	40.0	40.0	50.0	50.0	44.6	45.5	35.7	50.0
Fișiere DWG (AutoCAD)	38.5	35.0	46.7	26.7	30.0	50.0	33.9	38.6	50.0	62.5
Fișiere VDA Microstation	3.8	5.0	4.4	0.0	0.0	0.0	5.4	4.5	0.0	0.0
Altele	9.2	10.0	8.9	13.3	0.0	0.0	12.5	9.1	0.0	0.0

Formate utilizate în GB funcție de numărul de angajați

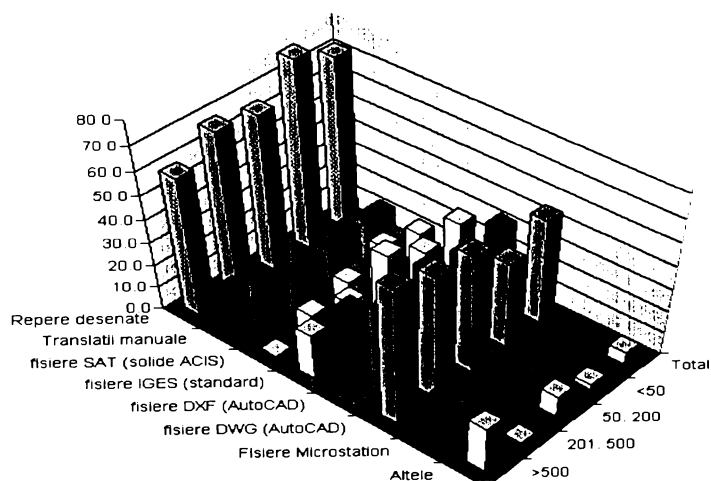


Formate utilizate în GB funcție de numărul de MU

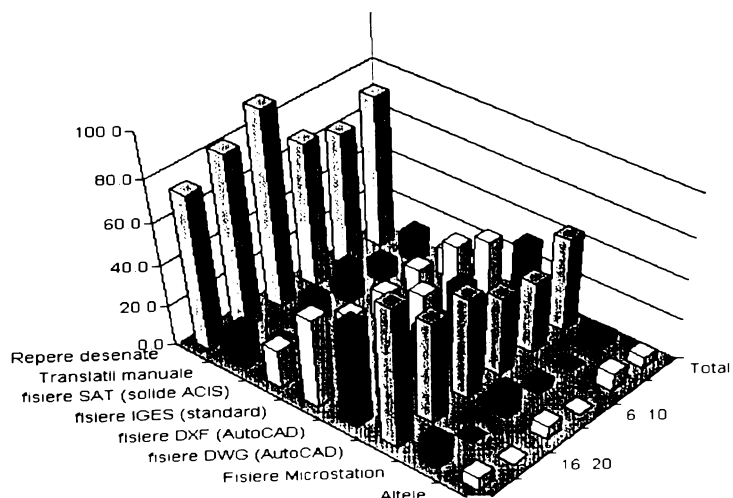


SUA	Despre intreprindere	Număr angajați				Număr mașini unelte				
		Total	<50	50..200	201..500	>500	1..5	6..10	10..15	16..20
Repere desenate	72.9	80.0	66.7	69.2	60.0	64.7	69.6	93.8	83.3	75.0
Translații manuale	13.5	15.6	12.1	7.7	20.0	8.8	17.4	12.5	0.0	18.8
Fișiere SAT (solide ACIS)	13.5	17.8	12.1	7.7	0.0	14.7	13.0	12.5	0.0	18.8
Fișiere IGES (standard)	27.1	24.4	33.3	23.1	20.0	35.3	21.7	6.3	0.0	43.8
Fișiere DXF (AutoCAD)	33.3	31.1	36.4	30.8	40.0	2.9	34.8	25.0	16.7	50.0
Fișiere DWG (AutoCAD)	45.8	37.8	51.5	53.8	60.0	35.3	39.1	50.0	50.0	68.8
Fișiere VDA Microstation	5.2	2.2	9.1	0.0	20.0	0.0	4.3	12.5	0.0	12.5
Altele	5.2	2.2	9.1	0.0	20.0	8.8	0.0	6.3	0.0	6.3

Formate utilizate în SUA funcție de numărul de angajați



Formate utilizate în SUA funcție de numărul de MU



5.3.1. Formatul DXF

Este unul dintre cele mai utilizate formate de nivel jos. A fost creat de firma Autodesk în anii '80 și este larg utilizat pentru schimbarea datelor de tip curbe sau plase, cu celulă elementară patrulateră, având în 1997 o pondere de peste 20% în schimbul de informații dintre sistemele de proiectare și fabricație. Este continuu dezvoltat de firma Autodesk și, împreună cu formatul binar DWG, tot al firmei Autodesk, deține jumătate din transferurile dintre sistemele CAD și CAM.

În această lucrare se va prezenta doar partea de export a formatului, deoarece în lucrare este folosit ca export a curbelor de analiză sau a suprafețelor discrete, în vederea vizualizărilor.

Ca o curiozitate, aproape toate reprezentările în care se utilizează librăria profesională de randare în timp real OpenGL (c)SGI au fost transferate utilizând formatul DXF. Produsul care a fost proiectat și realizat special pentru această lucrare, în vederea vizualizării de calitate a SD, se numește DSView.

De-a lungul vremii, autorul a încercat să sintetizeze o formă cât mai simplă de export în acest format, prezentat mai pe larg în [HCF] și [DXF].

```
NimicCDXFExport.Inițializează(SetDeCaractere strNum)  inițializarea obiectului
{
    fișier.Crează(strNum);
    fișier.Scrie("SECTION 1: QUANTITIES:"); scrie antetul DXF
} EndInit

NimicCDXFExport.Sfârșește()  terminarea sesiunii de export
{
    fișier.Scrie("APPENDSECT 1: GEOMETRY:"); scrie sfârșitul DXF
    fișier.Inchide();
} Sfârșește

NimicCDXFExport.InitCurbă(Întreg nCuloare = 15, SetDeCaractere strLayer = "0")
{
    inițializează exportul unei curbe
    fișier.Scrie("PPELLINE", 1, 1, 1, strLayer, nCuloare);
    fișier.Scrie("PLINETYPE", 1, 1, 1, strLayer, nCuloare);
} EndInitCurbă

NimicCDXFExport.DoneCurbă()  terminarea sesiunii de export curbă
{
    fișier.Scrie("PLINETYPE", 1, 1, 1, strLayer, nCuloare); scrie sfârșitul curbă
} EndDoneCurbă

NimicCDXFExport.InitPlasă(Întreg nU, nV, nCuloare = 15, SetDeCaractere strLayer = "0")
{
    inițializează exportul unei plase
    fișier.Scrie("PLSURFACE", 1, 1, 1, strLayer, nCuloare);
    fișier.Scrie("PLSURFTYPE", 1, 1, 1, strLayer, nCuloare);
    fișier.Scrie("PLSURF", 1, 1, 1, strLayer, nU, nV);
} EndInitPlasă

NimicCDXFExport.DonePlasă()  terminarea sesiunii de export plasă
{
    fișier.Scrie("PLSURFTYPE", 1, 1, 1, strLayer, nCuloare); scrie sfârșitul plasă
} EndDonePlasă
```

```
NimicCDXFExport.Exportă(Punct pln) exportă un vertex
{
    fișier.Scrie("0 nXVERTX nS n0 n10 n"pln.rX n"pln.rY n"pln.rZ);
} EndExportă
```

Acesta este un obiect minimal, care asigură în totalitate exportul plaselor și curbilor 3D, via formatul DXF.

Într-o prezentare simplificată, filozofia formatului DXF este următoarea:

```
dxfin.Inițializează("Test DXF"); inițializarea obiectului
dxfin.InitCurbă(); pot fi specificate eventual culoarea sau layerul
PentruFiecare(Întreg nl = 1; nl < 10, nl++)
    dxfin.Exportă(pPunct);
dxfin.DoneCurbă(); termină o curbă

dxfin.InitPlasă(10, 20); pot fi specificate eventual culoarea sau layerul
PentruFiecare(Întreg nl = 1; nl < 10, nl++)
    PentruFiecare(Întreg nj = 1; nj < 20, nj++)
        dxfin.Exportă(pPunct);
dxfin.DonePlasă(); termină o plasă

dxfin.Sfârșește(); include fișierul;
```

Deci, fișierul, ca și orice altă entitate care se exportă, trebuie inițializat și închis prin secvența `Init()` ... `Done()`.

De menționat că formatul DXF suportă și o versiune binară, cu extensia “.DXB”, care nu face însă obiectul acestei prezentări, fiind prea criptică.

În continuare se pot observa două exemple de export DXF care folosesc acest obiect.

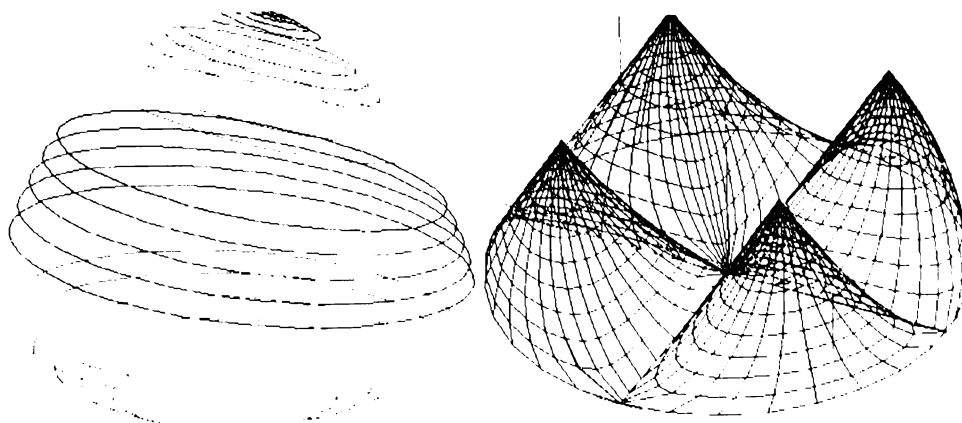


Figura 5.6 Exemple de export și listing în format DXF, create cu TechnoFunction V1.0 (două funcții excentrice Șelariu)

0	0	62	20	70
SECTION	POLYLINE	13	10.000000	16
2	8	10	30	66
ENTITIES	0	270.000000	450.000000	1

71	VERTEX	20	SEQEND	0
19	8	0.000000	8	EOF
72	0	30	0	
91	10	0.000000	0	
0	2.000000	0	ENDSEC	

5.3.2. Formatul STL

Formatul STL s-a născut cu mai mult de 10 ani în urmă, ca un format de import, fiind folosit pentru mașinile speciale de prototipizare rapidă, prin polimerizare cu ajutorul laserului.

De-a lungul vremii, acesta a fost utilizat destul de rar, deoarece este total impropriu și distructiv reprezentărilor nesolide **B-Spline**, condiția de bază a descrierii unui solid fiind aceea că o latură a unui triunghi trebuie să corespundă la numai două triunghiuri, condiție destul de restrictivă în conversia altor tipuri de dată.

Odată cu impunerea modelatoarelor solide, formatul STL a renăscut, fiind unicul format de nivel jos comun tuturor sistemelor de proiectare, pentru transferul **solidelor**. Astfel, el este folosit la ora actuală de următoarele tipuri de aplicații:

- sisteme de proiectare (în general *import - export*);
- sisteme de fabricație (*import - export* și procesarea suprafețelor corecție de sculă);
- sisteme de analiză cu elemente finite (*import* și utilizare directă a reprezentării);
- vizualizatoare realiste și cadru de sârmă (*import*);
- sisteme de verificare a corectitudinii fișierului NC (*import*);

Concluzia este că a început să reprezinte un limbaj comun și simplu de comunicare.

Se va prezenta, în continuare, forma de fișier ASCII încapsulată într-o clasă numită **CSTLOut**.

NimicCSTLExport Inițializează(SetDeCaractere strNume) - inițializarea obiectului

```
{
    fișier.Crează(strNume);
    fișier.Scrie("solid STL Export");
} Inițializează
```

NimicCSTLExport Sfârșește() - terminarea sesiunii de export

```
{
    fișier.Scrie(" ");
    fișier.Inchide();
} Sfârșește
```

NimicCSTLExport Exportă(Punct p1, p2, p3)

```
{
    fișier.Scrie(" ");
    fișier.Scrie(" ");
    fișier.Scrie(" : : : : p1 rX, p1 rY, p1 rZ);
    fișier.Scrie(" : : : : p2 rX, p2 rY, p2 rZ);
    fișier.Scrie(" : : : : p3 rX, p3 rY, p3 rZ);
    fișier.Scrie(" ");
    fișier.Scrie(" ");
} Exportă
```

Metoda de utilizare a formatului STL este următoarea:

```
CSTLExport stlout;
stlout Inițializează("Test STL");
for (Întreg n1 = 1; n1<= nNrTriunghiuri; n1++)
    stlout.Export(p1, p2, p3);
stlout.Sfârșește();
```

Se poate observa că exportul este ceva mai simplu, comparabil cu cel de la formatul DXF, deoarece STL nu suportă decât o singură entitate, cea de fațetă triunghiulară.

De menționat că formatul STL suportă și o versiune binară, cu aceeași extensie, care nu face însă obiectul acestei prezentări.

În continuare se arată două imagini în format STL, una în reprezentare cadru de sârmă, alta render plan, și un listing de fișier STL.

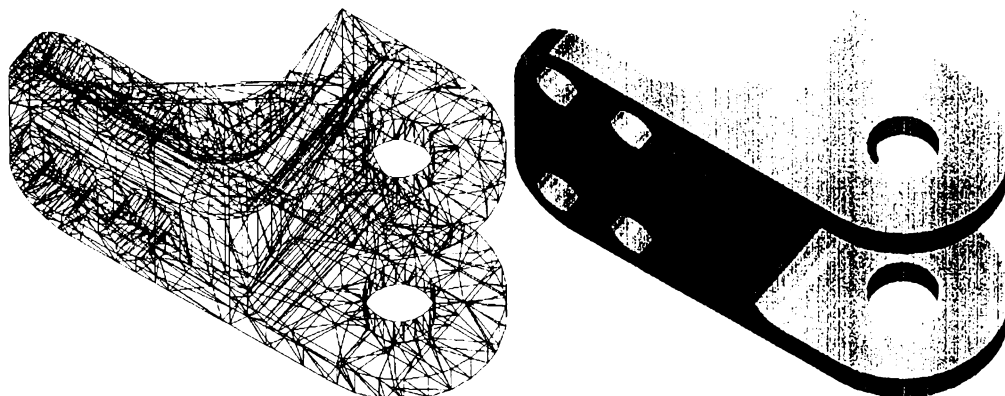


Figura 5.7 Reprezentare cadru de sârmă și solidă, importată ca fișier STL, pentru verificare solidă a frezării capturate din NCVerify.

```
solid SD Export
facet normal 0.0 0.0 0.0
  outer loop
    vertex 0.038 0.038 0.045
    vertex -0.007 0.0384 0.045
    vertex -0.007 -0.03 0.045000
  endloop
endfacet

facet normal 0.0 0.0 0.0
  outer loop
    vertex -0.00 -0.036 0.040
    vertex -0.007 -0.03 0.045
    vertex -0.007 0.038 0.045
  endloop
endfacet
endsolid
```

5.3.3. Formatul CL

Formatul CL este un format vectorial, deosebit de important în transferurile de trasee de sculă, deoarece în el pot fi înmagazinate date despre sculă, compensații, informații geometrice de mișcare și informații tehnologice despre avansuri și turație.

Marele avantaj al acestui format este acela că este **generic**, înmagazinând toate informațiile necesare generării fișierului **NC**, pentru un anumit reper, independent de echipament. Deci, **CL** este ieșirea comună a tuturor sistemelor destinate fabricației, fiind un dialect al limbajului **APT**.

Fiind un format relativ complex, în această lucrare nu va fi folosit. Vor fi generate direct fișiere **NC**, care sunt destul de asemănătoare ca sintaxă.

Pentru exemplificare se vor prezenta câteva figuri și o porțiune de listing în format **CL**.

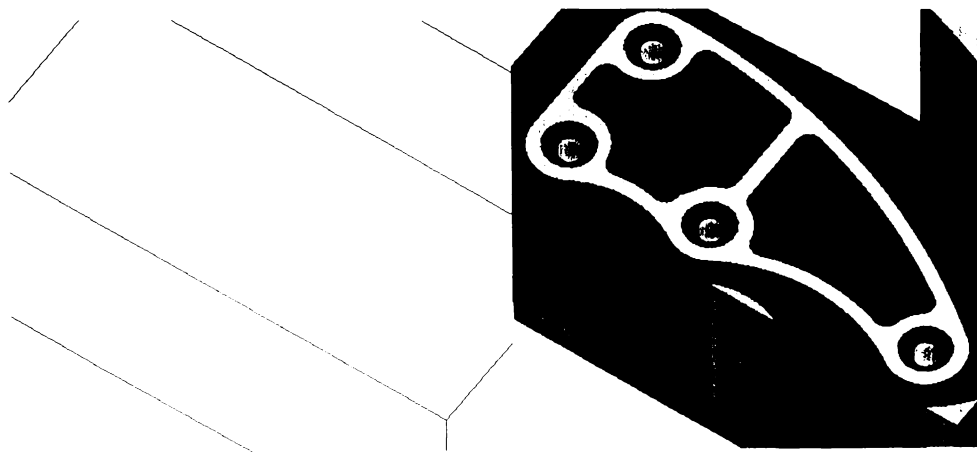


Figura 5.8 Exemple de fișier **CL** importat și simulat cu **NCVerify**.

```

1 CBOX -1.8744 -3.3565 -0.1330 9.4887 4.1458 1.0000
2 NSIDES 16
3 UNITS/ INCHES
4 PARTNO shador
5 PPRINT PROGRAM FOR PART NAME shado3Wr
6 PPRINT PROGRAM FOR MFG PLAN NAME shado3Wr
7 PPRINT PROGRAM TIME OF CREATION Apr 23 1994 15:05:40
9 MULTAX/ON
9 PPRINT SETUP: Setup10
11 PPRINT Drill.CBHoleGroup.1 TOOLPATH
12 CUTTER/ 0.500000, 0.000000, 0.250000, 0.000000, 31.000000, 0.000000, 2.0000
13 LOADTL/ 1
14 SPINDL/ 474, RPM, CLW
15 RAPID
.....
862 GOTO/ 0.0, 2.5, 1.1, 0.0, 0.0, 1.0
863 COOLNT/OFF
864 FINI

```

5.3.4. Formatul NC

Prin convertirea formatul generic CL, pentru un echipament specific, acesta își pierde generalitatea și devine un fișier NC specific pentru un echipament NC dat. Teoretic, limbajul NC este un dialect simplificat de BASIC, standardizat. Din păcate, fiecare echipament respectă, mai mult sau mai puțin, acest standard.

În general, mișcările $G0$, $G1$, $G2$, $G3$ și regiștrii X , Y , Z , I , J , K , M , F , S se respectă de toate echipamentele.

În această lucrare vor fi generate fișiere NC direct din familii de curbe. Pentru acest deziderat a fost creată o clasă minimală care exportă fișier standard NC într-un fișier, utilizând doar N , $G0$, $G1$, X , Y , Z pentru a asigura o implementare simplă și o portabilitate cvasitotală.

NimicCNCExport.Inițializează(SetDeCaractere strNum) //crează un fișier NC

```
{
  nLinie = 1;
  fișier.Deschide(strNum);
  fișier.Scrie("SD generare cod NC");
  fișier.Scrie("\n");
} - Init
```

NimicCNCExport.Sfârșeste() //închide fișierul NC

```
{
  pLast.Z += 10.0;
  Exportă(pLastZ);
  fișier.Scrie("\n");
  fișier.Inchide();
} //Sfârșeste
```

NimicCNCExport.Exportă(Punct p, Boolean bRapid = FALS)

```
{
  pLast = p;
  Dacă (bRapid)
    fișier.Scrie("N^nG0N5dY^n dZ^n d n", nLinie++, p.rX, p.rY, p.rZ);
  Altfel fișier.Scrie("N^nG1X5dY^n dZ^n d n", nLinie++, p.rX, p.rY, p.rZ);
} - Exportă
```

Această clasă este utilizată astfel:

CNCExport ncout;

```
ncout.Inițializează("1-SD-NC");
PentruFiecare(nI = 1; nI <= cExportă.nNr; nI++)
  ncout.Exportă(cExportă[nI])
ncout.Sfârșeste();
```

Notă: În realitate, autorul utilizează la generarea fișierului NC o librărie creată special pentru toate produsele din seria **Techno***; aceasta a fost numită **Generic Numeric Control Post Procesor V2.0 (GNCPP)** și a fost dezvoltată pe parcurs, pentru a rezolva problema generării.

Librăria **GNCPP** este un produs *freeware*, care poate fi găsită în multe website-uri cu produse *shareware* și *freeware*, având până în prezent peste o sută de utilizatori cunoscuți.

Se vor prezenta câteva tehnologii care sunt utilizate în **GNCPP V2.0** (prezentarea în pseudocod depășește spațiul lucrării, lungimea lui fiind de peste 20.000 linii cod):

Postprocesorul este un modul unitar, și se ocupă de un singur lucru: *modul în care se generează fișierul NC*. Este realizat pentru a genera fișiere standard **ANSI-DIN** sau are posibilitatea programării lui pentru diferite dialecte nestandardizate.

Are peste 200 de variabile de configurare, care sunt foarte bine documentate și ușor de configurat, creându-se astfel familii de postprocesoare nestandardizate, reale sau virtuale (pentru diferite analize, sau vizualizări).

Este folosit în mod unitar de toate modulele care generează fișiere **NC** (**TehnoCAM**, **TehnoBulge**, **Tehno2D**, **TehnoMesh**). În România, fișierele generate de el rulează pe ECN foarte variate, ca: **CNC600**, **Fanuc**, **Sinumeric**, **Heidenheim**, **NUM**, **NUMEROM**, **Elerofil**, **DEM** etc.

Poate genera (la cerere) fișiere **DXF**, în paralel cu cele **CNC**, pentru verificări pe alte sisteme de proiectare. Calculează automat lungimea pe care o execută capul în timpul frezării, în mișcare de lucru și în mișcare rapidă, și timpul necesar frezării unei suprafețe, creând automat și un fișier cu datele tehnologice.

Programele **NC** pot fi fragmentate automat, în funcție de memoria **MUCN** sau numărul de linii suportate de aceasta.

Convertește datele geometrice, din 3 în 2,5 axe, punând astfel în valoare parcul de mașini unelte din țară și scurtând cu **30 %** fișierele **NC**.

Posedă un mod **euristic** de rezolvare a *problemei comis voiajorului* (TSP), foarte rapid și performant, eliminând peste **90 %** din mișcările de avans rapid, scurtând semnificativ unele tipuri de fișiere **NC**. Acest algoritm este prezent doar în seria **TechnoPack**, fiind creat în premieră la **BillaSoft [DM01..DM11]**.

Conține modul **Adaptiv**, care analizează frezarea și (în urma analizei) schimbă valoarea avansului automat în timpul rulării fișierului **NC**, încercând uniform cu solicitări freza și scula; în funcție de geometria acesteia și modul de frezare (longitudinal, radial, mixt) încetinește mișcarea de avans și corectează spațial mișcarea capului, în raport cu uzura sculei (optimizare pt. timp).

Modul **Stealth** (ascuns) stă tot timpul în acțiune (cât postprocesorul este în funcțiune) și analizează scrierea fișierelor **NC**, hotărând dacă informațiile care se doresc a fi scrise în fișierul **NC** sunt importante sau dacă se pot deduce din alte linii de informații, creând astfel fișiere **NC** cât mai scurte. Fișierele generate cu **Stealth** activ sunt cu **60...90 %** mai scurte decât cele normale, nepierzându-se informații geometrice utile (optimizare pentru lungime).

Se prezintă un listing parțial al variabilelor care stau la baza configurării postprocesorului:

```
[GenericNCPostProcessor V2.0 ACTIVE variables ]
[WARNING: IF YOU PERFORM MODIFICATIONS DO NOT KILL INDENTATION ! ]
[Variable = Current: [Possible ]<Def> Comment ]
[=====]
```

[CNC.Process]

CNCExport = Y ;C[Y_]< Y> Process CNCFile else not
DXFExport = N ;C[Y_]< N> Process DXFFile else not
RepExport = Y ;C[Y_]< Y> Process Reportfile else not
NameDigitNr = 3 ;I[0..5]< 3> Nr. of digits in CNC Name
LongName = Y ;C[Y_]< Y> If N cut in name CNC type inf.
Extension =CNC ;S[Y_]< CNC> Name of extension of CNCFile

[CNC.Constrăntregs]

OptFilter = 0.200;R[0.01..0.5]< 0.2> Value of optimizing filter
BreakKilo = Y ;C[Y_]< Y> Break CNCFile after MaxKilo or MaxLine
MaxKilo = 320.000;R[1..1000]< 32> Number of Kilos in each CNC file
MaxLine = 990 ;I[10..10000]< 990> Number of Lines in each CNC file
ExportValue = 2.000;R[0..1000]< 2> ExportValue of z in case of break CNCFile
AutoBreak = 10.000;R[0..10]< 10> Break value in CNC file < ExportValue
CondensedExport= Y ;C[Y_]< Y> Y purge trivial data in CNC File
IndentedExport = N ;C[Y_]< N> Y indent for good visibility
Enable2Half = Y ;C[Y_]< Y> Enable 2.5 axis generation
Frontal = Y ;C[Y_]< Y> Enable frontal milling
Relative = N ;C[Y_]< N> Enable relative coordinate
RelativeG2G3= N ;C[Y_]< N> Enable relative coordinate for I, J, K
DecimalNr = 3 ;I[0..4]< 3> Nr. of decimals in CNC File
ForceDecimal= N ;C[Y_]< N> Force decimal in all real variables
G2G3 = Y ;C[Y_]< Y> Enable arc interpolation
G2G3Radius = 2.000;R[-1e3..1e3]< 2> If G2G3 N then value to discreet arc

Un exemplu de fișier NC generat prin GNCPP de către un client (TechnoCAM V2.0):

-Generic NC V2.00 (c)1990-96 Dan MICSА—

```

=====
- Tool : CF10-10;
- Name : QQ [1];
- ProcessBy : Select.RECTANGLE.CNCExport;
- RegUser : Dan MICSА;
- RegCompany : ?=>! BillaSoft;
- SerialNr : ROTM0001;
- ProcessDate : 13/01/97;
- ProcessHour : 10:28:46;
- Processor : TechnoCAD V2.0;
- Cfg.Name20N : X:\WEXE\CNC.20N;

```

```

-----
- Bounds.XMin : 5.0;XMax : 21.0 [mm];
- Bounds.YMin : -7.3;YMax : 7.5 [mm];
- Bounds.ZMin : -5.0;ZMax : 45.0 [mm];
- SpeedLength : 10.000[ mm]; 5.934[%];
- Work Length : 158.523[ mm]; 94.066[%];
- TotalLength : 168.523[ mm];
- SpeedTime : 0[h] 0.010[mm]; 0.627[%];
- Work Time : 0[h] 1.585[mm]; 99.373[%];
- TotalTime : 0[h] 1.595[mm];
- SpeedCost : 0.001[ S]; 0.314[%];
- Work Cost : 0.264[ S]; 99.686[%];
- TotalCost : 0.265[ S];
- Nr.of Lines : 66
- Nr.of Bytes : 1342
- Optimizing : -2[%];

```

```

%1G71N5P0.100.000
N6S100F=P0
N7G0X21Y7.5Z45

```

N8G1Z-5
 N9X20
 N10X19Z-2.2
 N11X18Z2.6
 N12X17Z4.8
 N13X16Z5.9
 N14X15
 ...
 N70X20.5Y7.5
 N71Z5
 N72G0Z15
 N73G0Z17
 N9999%1G71

Câteva figuri în care s-a folosit GNCPP ca generator și analizor de tehnologie.

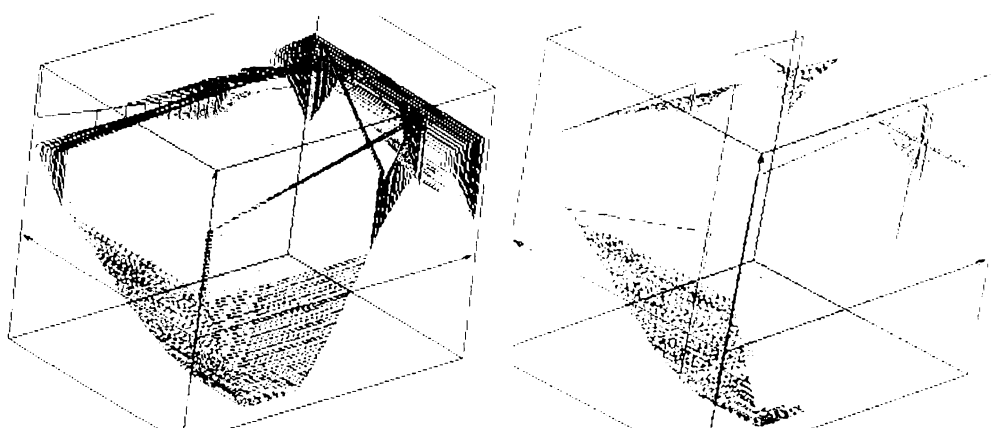


Figura 5.10 Export fișier NC cu modul FHTSP activat, exemplificarea reducerii mișcărilor în avans rapid cu peste 95%.

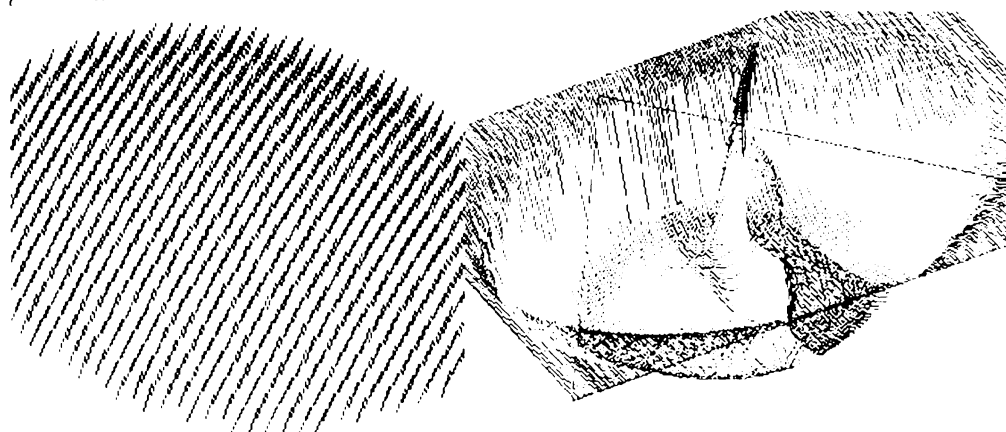


Figura 5.10 Alte exemplificări ale utilizării TechnoCAM și GNCPP

a) rețea de difracție, b) reper complex cu pas variabil, pentru frezare la rugozitate constantă

5.4. Concepte introduse

```

Clasa SuprafațăDiscretă DerivatăDin BazăDiscretă
{
  //Concepte introduse în celelalte capitole
  Nimic CreazăCurbe(FamiliaDeCurbe fcOut, Real rPentruZ);
  Nimic CreazăToateCurbele(FamiliaDeCurbe fcOut, Real rZStep = 1.0, Boolean bAuto = ADEVĂRAT, Real rZStart, rZEnd);
  Nimic ProiecteazăCurbă(Curbă cProiectează);
  Nimic ProiecteazăCurbe(FamiliaDeCurbe fcProiectează);
  Nimic ProiecteazăCurbă(Curbă cProiectează, Real rPas = 0.1); //cu pas constant
  Nimic ProiecteazăCurbe(FamiliaDeCurbe fcProiectează, Real rPas = 0.1); //pas ct.
  Nimic ExportDXF(Întreg nCuloare = 15, SetDeCaractere strLayer = "SD ieșire")
} //SuprafațăDiscretă

Clasa Fișier //obiect necesar fisierelor de export - import
{
  Nimic Deschide(SetDeCaractere strNum); //deschide sau creează un fișier
  Nimic Închide(); //închide un fișier
  Nimic Scrie(SetDeCaractere strOut); //scrie un SetDeCaractere în fișier
  Nimic Citește(SetDeCaractere strIn); //citește un SetDeCaractere din fișier
} //Fișier

Clasa DXFExport //o rudimentare a formatului de export DXF care suportă curbe și plase
{
  Fișier fișier; //fișierul de export

  Nimic Inițializează(SetDeCaractere strNum);
  Nimic Sfârșește();

  Nimic InițCurbă(Întreg nCuloare = 15, SetDeCaractere strLayer = "SD ieșire");
  Nimic DoneCurbă();

  Nimic InițPlasă(Întreg nU, nV, nCuloare = 15, SetDeCaractere strLayer = "SD ieșire");
  Nimic DonePlasă();

  Nimic Exportă(Punct pIn);
} //DXFExport

Clasa STLExport //o rudimentare a formatului de export STL care suportă doar ASCII Export
{
  Fișier fișier; //fișierul de export

  Nimic Inițializează(SetDeCaractere strNum);
  Nimic Sfârșește();

  Nimic Exportă(Punct p1, p2, p3);
} //STLExport

Clasa NCEExport //o rudimentare a formatului de export NC ce suportă numai informații geometrice de tip segment
{
  Fișier fișier; //fișierul de export

  Nimic Inițializează(SetDeCaractere strNum);
  Nimic Sfârșește();

  Nimic Exportă(Punct p, Boolean bRapid);
} //NCEExport

```

5.5. Concluzii

În acest capitol au fost introduse metode de creare de curbe, proiecție, offset inteligent și export în formate simple ASCII, ca: ***DXF, STL, NC***.

Acest capitol, al **metodelor de conversie și export**, este de mare importanță în utilizarea suprafețelor discrete, virtual, în orice sistem de proiectare și fabricație. Ideea prezentării lui a fost aceea de a îmbina prezentarea riguroasă, însoțită de expunerea algoritmilor în pseudocod, cu exemplificarea fiecărui concept introdus, cu ajutorul exemplelor și a listingului potențial, realizat de către clasele expuse.

A fost creat un set nou de clase specifice fiecărui tip de export în parte: ***Fișier, CDXFOut, CSTLOut, CNCOut***. Aceste clase au fost implementate folosind o metodă unificată de prezentare, încercând să se ascundă detaliile fiecărui format în parte.

Au fost create **metode noi**, destinate conversiei și exportului, metode care dau o utilizabilitate SD, legându-le de alte sisteme de proiectare, ca aparate matematice auxiliare de analiză sau conversie în format NC.

S-a prezentat, în premieră, un algoritm de conversie în curbe de nivel foarte fin, care permite conversia SD corecție de sculă în format NC, și s-au prezentat aplicațiile lui, potențial nelimitate, în detectarea formelor de analiză și vectorizarea fotografiilor.

S-a expus și exemplificat **GNCPP**, un postprocesor generic de format NC, probabil unul dintre cele mai elaborate postprocesoare la ora actuală, realizat ca o librărie dinamică, foarte complexă, care are scopul de a genera fișier **NC** specific, și virtual, pentru orice echipament, optimizat pentru lungime și timp de rulare.

6. Metode de analiză și optimizare

6.1. Introducere

În acest capitol, generic intitulat “Metode de analiză și optimizare”, se vor cuprinde câteva dintre cele mai importante aspecte legate de analiza SD și generarea optimizată a codului NC pentru fabricarea suprafețelor discrete pe MUCN, precum și câteva tehnici de *verificare, simulare și vizualizare*. Cum toate acestea sunt tehnici și metode de *analiză*, ele își vor găsi locul în acest capitol.

Principalul scop al capitolelor prezentate până în prezent a fost acela de a proiecta și expune un set consistent de obiecte, (relativ) bogat în metode de *modelare, import, export, conversii și proiecții de curbe*, în vederea analizării și a generării optimizate de cod NC.

Metodele expuse vor fi grupate în funcție de similitudinea algoritmilor în:

- ⇒ metode de analiză a SD;
- ⇒ metode de analiză a curbelor;
- ⇒ metode de analiză mixte;
- ⇒ optimizări posibile ale traseelor de scule;
- ⇒ calculul rețelei de difracție pentru elementele optice;
- ⇒ metode de vizualizare a curbelor;

Se vor prezenta, în premieră, metode noi de analiză: *calculul zonelor plane, calculul zonelor critice la frezarea de secțiuni paralele în planul XY, calculul materialului nefrezabil, calculul curbelor de egală rugozitate, metode pseudoadaptive de variere a avansului și corecției de uzură în timp real, minimizarea mișcărilor în avans rapid, spiralele lui Billator, optimizarea traseelor echidistante prin dublarea sau triplarea locală, rezolvarea rețelelor de difracție*.

Pe lângă prezentarea contribuțiilor autorul, se vor expune și câteva metode clasice de generare de cod, considerându-se ca elemente de noutate metodele de generare ale acestuia (*curbe echidistante în XY și Z*), utilizând SD în acest domeniu.

Vor fi exemplificate și alte concepte, cum ar fi *interpolările superioare, eliminarea punctelor de inflexiune, eliminarea punctelor coliniare*, doar cu scopul secundar de a da consistență și calitate unei eventuale generări de cod NC.

6.2. Concepte introductive

Metodele de analiză și optimizare expuse în acest capitol se împart în trei mari categorii, care au, la rândul lor, alte subsecțiuni. Acestea sunt:

- ❖ *metode care operează pe suprafața discretă. Utilizează o SD intermediară numită SDCST (suprafață discretă corecție de sculă transformată), creată, în general, din SDCS (suprafață discretă corecție de sculă), care este secționată, convertită în curbe echipotențiale, care sunt proiectate înapoi pe SDCS. Aceste transformări intermediare sunt cele necesare pentru:*
 - ❖
 - ⇒ calculul secțiunilor paralele cu Z constant;
 - ⇒ calculul secțiunilor paralele în planul XY;
 - ⇒ calculul de detecție a zonelor plane (flat land detection);
 - ⇒ calculul zonelor critice la frezarea planului XY (steep walls detection);
 - ⇒ calculul curbelor de egală rugozitate;
 - ⇒ calculul materialului nefrezabil;
 - ❖ *metode care sunt efectuate după crearea, conversia și proiectarea curbelor pe SDCS, analizând și optimizând setul de curbe creat prin acest proces, în vederea convertirii lor în fișier NC optimizat (acestea, în general, au fost realizate într-un produs separat, GNCPP, care nu are nimic comun cu SD). Acestea sunt:*
 - ⇒ *rejecția punctelor coliniare;*
 - ⇒ *minimizarea mișcărilor în avans rapid;*
 - ⇒ *modul pseudoadaptiv fără DS;*
 - ⇒ *eliminarea punctelor de inflexiune;*
 - ❖ *metode mixte, care implică modificarea curbelor în acord cu SD, care stochează stadiul actual de frezare al semifabricatului:*
 - ⇒ *spiralele lui Billator;*
 - ⇒ *cota Z de securitate minimă;*
 - ⇒ *modul pseudoadaptiv cu DS;*
 - ⇒ *detecția interferențelor.*

6.3. Metode de analiză a SD

Metodele de transformare a suprafețelor discrete sunt de o mare importanță în metodele de analiză, optimizare, conversie în curbe și apoi în generarea fișierului NC.

Se menționează, încă o dată, că *toate* metodele care **optimizează** generarea codului NC, bazându-se pe **transformarea** suprafețelor discrete, analizează **SDCS** și nu suprafața reală (**SDR**). Toate metodele expuse au, în general, aceeași derulare, care poate fi sintetizată astfel:

- ⇒ se creează **SD** (import, modelare, combinări etc);
- ⇒ se alege o sculă ISO (librărie electronică, magazia întreprinderii);
- ⇒ se calculează **SD** înfășurătoarea statică **SDCS** (pag. 65);
- ⇒ se calculează și se creează transformarea acesteia în **SDCST**,
- ⇒ se secționează cu algoritmul de conversie în curbe de nivel **SDCST** (pag. 80);
- ⇒ Apar două căi posibile de utilizare a curbelor:
 - ⇒ Utilizarea ca și curbe care restricționează generarea fișierului (fig. 5.2)
 - ⇒ Utilizarea ca și fișier NC (fig. 5.8, 5.9)
 - ⇒ se proiectează înapoi pe **SDCS** (pag. 81);
 - ⇒ se optimizează curbele generate;
 - ⇒ se exportă curbele proiectate (pag. 90);

În continuare sunt prezentate câteva transformări intermediare ale **SD**. Ele reprezintă stadiul actual de studiu și analiză în domeniul optimizării fabricației suprafețelor discrete, și sunt doar un modest început, căruia autorul i-a dedicat ultimii șapte ani. Se consideră că potențialul acestei metodologii de generare a fișierelor NC, sau a altor analize, utilizând transformările intermediare, este nelimitat și se redau, în cele ce urmează, doar câteva, utilizate și testate de autor, lăsând spațiu de cercetare în acest domeniu.

Prezentarea se va face într-o ordine graduală a complexității algoritmului de transformare.

6.3.1. Calculul secțiunilor paralele cu Z constant

Calculul secțiunilor paralele cu Z constant reprezintă cea mai simplă transformare a **SDCS** în vederea convertirii ei în fișier NC. Aceasta este transformarea vidă, deoarece algoritmul de conversie asigură convertirea în curbe de nivel direct, deci **SDCST** = **SDCS** !

Rezumând în pseudocod, se poate scrie:

```
NimicSuprafațăDiscretă.TransfDetectPtZ(SuprafațăDiscretă sdAnaliză)
{
  sdAceasta = sdAnaliză;
} TransfDetectPtZ
```

```
NimicSuprafațăDiscretă.DetectăCurbeleZ(
  FamiliaDeCurbe fcOut. Real rStep = 1.0)
{
```

```

SuprafațăDiscretă sdTransformare; pregătește suprafața Discretă a transformării
sdTransformare = sdAceasta; o initializează
sdTransformare.TransfDetectPtZ(sdAceasta); o calculează
CreazăToateCurbele(fcOut); exportă curbele
} DetectăCurbeleZ

```

Exemplificarea conceptelor introduse, în figura următoare (cu roșu sunt reprezentate secțiunile echipotențiale).

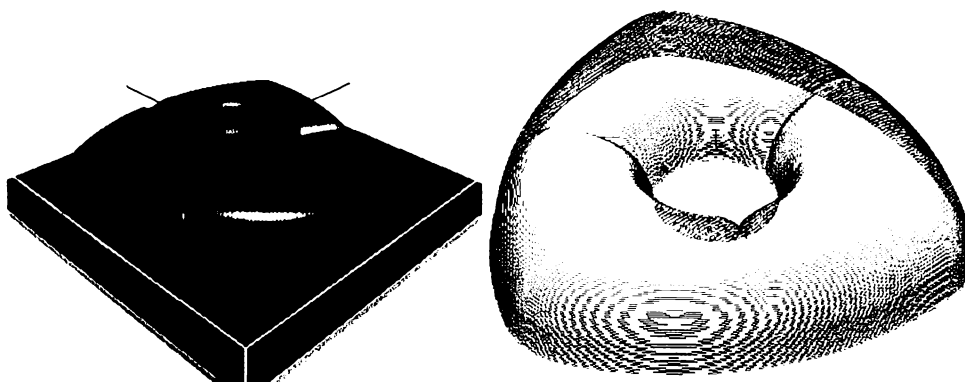


Figura 6.1 Convertirea în curbe de nivel. Curbele echipotențiale (în b) sunt mai bombate, din cauza aplicării algoritmilor pe SDCS. Curbele de nivel sunt cele cu culoare închisă (roșu)

6.3.2. Calculul secțiunilor paralele în planul XY

O altă transformare simplă este cea a calculului secțiunilor paralele în planul XY. Aceasta este probabil cea mai neuzuală transformare posibilă. Ea este prezentată doar pentru a arăta gradul de generalitate al algoritmului de conversie în curbe echipotențiale (ACCE).

Scopul este de a demonstra că pentru orice problemă în care trebuie calculată o familie de curbe care sunt caracterizate printr-un parametru constant (în acest caz o secționare cu curbe paralele în planul XY), se poate găsi o tehnică de transformare care reduce problema la conversie, utilizând ACCE.

Se va prezenta în continuare o metodă care încapsulează această transformare:

```

NimicSuprafațăDiscretă.TransfDetecteazăPentruPlanulXY(
    SuprafațăDiscretă sdAnaliză. Real rUnghi = 45.0)
{
    PentruFiecare(Întreg nI = 1; nI <= nX; nI++)
        PentruFiecare(Întreg nJ = 1; nJ <= nY; nJ++)
            PuneLa(nI, nJ, IndexÎnRealPtX(nI)*cos(rUnghi) + IndexÎnRealPtY(nJ)*sin(rUnghi)); //initializare cu dist
} TransfDetecteazăPentruPlanulXY

NimicSuprafațăDiscretă.DetecteazăCurbeleÎnXY(

```

```

FamiliaDeCurbe fcOut, Real rStep = 1.0, rUnghi = 45.0)
{
  SuprafațăDiscretă sdTransformare; pregătește suprafața Discretă a transformării
  sdTransformare = sdAceasta; o inițializează
  sdTransformare.TransfDetecteazăPentruPlanulXY(sdAceasta, rUnghi); o calculează
  CreazăToateCurbele(fcOut, rZStep);
} DetecteazăCurbeleInXY

```

Cele expuse pot fi cuprinse în figurile următoare.

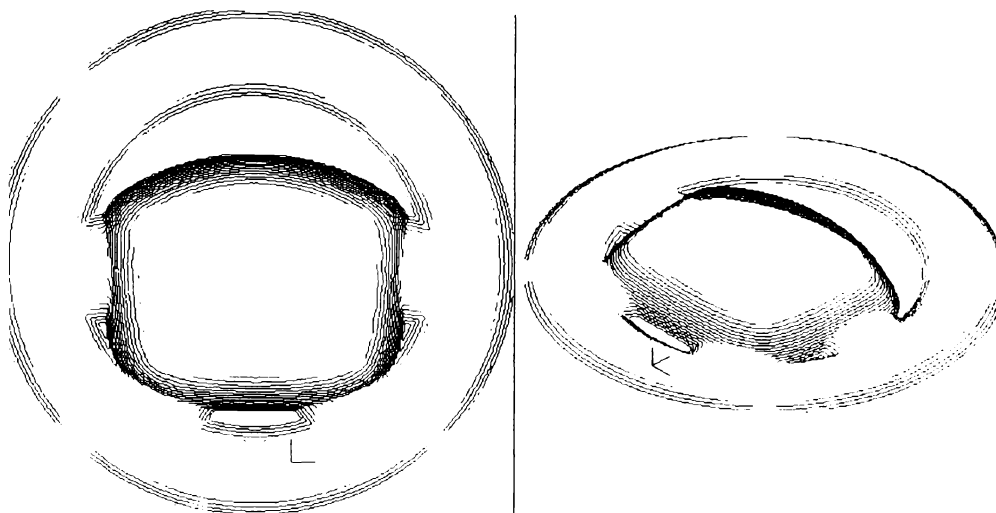


Figura 6.2 Convertirea în curbe paralele în planul XY (zonele deschise la culoare - crem)

6.3.3. Calculul de detecție a zonelor plane

Detecția zonelor plane este de o deosebită importanță în împărțirea SD în două porțiuni, una specifică frezării cu Z constant și alta (cea a zonelor plane) cu cicluri specifice frezării cu drepte paralele în planul XY.

Cele două tipuri de frezare sunt, la ora actuală, cele mai utilizate metode de frezare. Avantajele constau în faptul că:

- ⇒ *traseele sculei pot fi găsite relativ ușor, condițiile de intersecție a SDCS cu plane paralele sunt mai ușoare, comparativ cu alte metode (Notă: cea mai simplă și naturală metodă este cea echiparametrică, în lungul parametrului U sau V al suprafeței);*
- ⇒ *fișierele NC sunt mai scurte cu 30%, deoarece nu conțin decât mișcări în două axe, în fiecare moment;*
- ⇒ *se pot folosi interpolările circulare ale ECN, rezultă calitate foarte bună a suprafeței și fișier NC mai scurt.*

- ⇒ pot fi folosite de toate echipamentele care sunt limitate de 2.5 axe; la ora actuală, peste 90% din echipamentele din țară nu suportă simultan mai mult de 2 axe (considerente strategice de realizare de suprafețe complexe, din perioada războiului rece).

Transformarea aplicată SDCS este aceea de a o converti în valoarea absolută a unghiului de înclinare a normalei față de planul XY.

Rezumarea în pseudocod este :

```
NimicSuprafațăDiscretă.TransfDetecteazăSuprafațaPlană(SuprafațăDiscretă sdAnaliză)
{
  PentruFiecare(Întreg nI = 1; nI <= nX; nI++)
    PentruFiecare(Întreg nJ = 1; nJ <= nY; nJ++)
      PuncLa(nI, nJ, sdAnaliză.laDeLaNormală(nI, nJ));
} //TransfDetecteazăSuprafațaPlană
```

```
NimicSuprafațăDiscretă.DetecteazăSuprafațaPlană(
  FamiliaDeCurbe fcOut, Real rPentruZ = 45.0)
{
  SuprafațăDiscretă sdTransformare; //pregătește suprafața discretă a transformării
  sdTransformare = sdAceasta; //o inițializează
  sdTransformare.TransfDetecteazăSuprafațaPlană(sdAceasta); //o calculează
  CreazăCurbe(fcOut, rPentruZ);
} //DetecteazăSuprafațaPlană
```

Notă: metoda `laDeLaNormală()` nu a fost discutată. Ea returnează înclinarea normalei față de orizontală, în punctul respectiv.

Figurile 6.1 și 6.2 reprezintă două exemple de cicluri combinate echipotențiale echidistante în planul XY.

În figurile următoare sunt prezentate, pentru două repere, cum arată SDCST care stochează variația normalei și evoluția în spațiu a acestor curbe echinormale, după ce au fost proiectate pe SDCS.

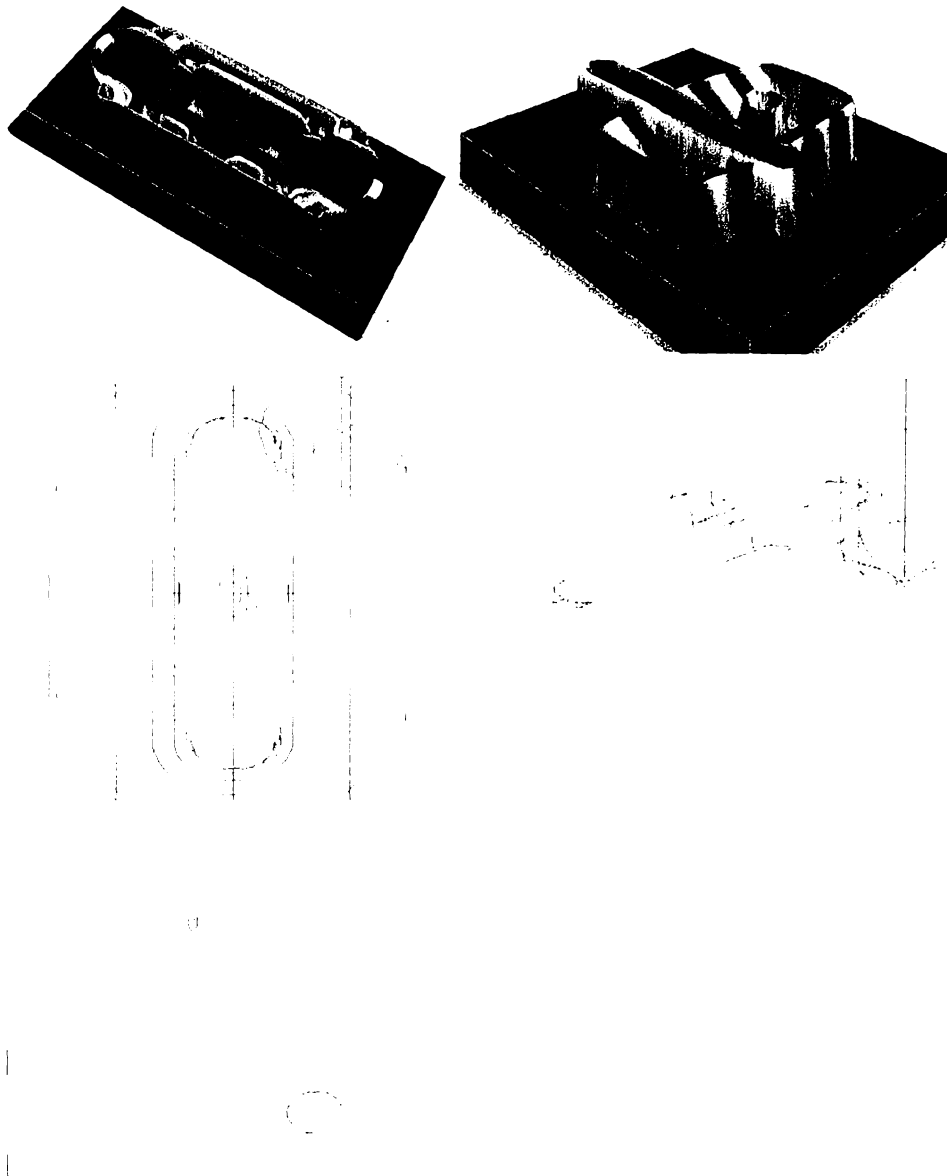


Figura 6.3 SD care stochează evoluția (în mărime absolută) a unghiului normalei cu planul orizontal, pentru două SD, și familii de curbe echinormale proiectate pe SDCS, procesate din 10 în 10 grade.

Deoarece acest gen de transformare reprezintă una dintre cele mai importante contribuții în domeniul îmbunătățirii ciclurilor clasice de frezare a suprafețelor, se va prezenta, pe un reper dat, evoluția rugozității în funcție de unghiul de detecție a zonelor plane.

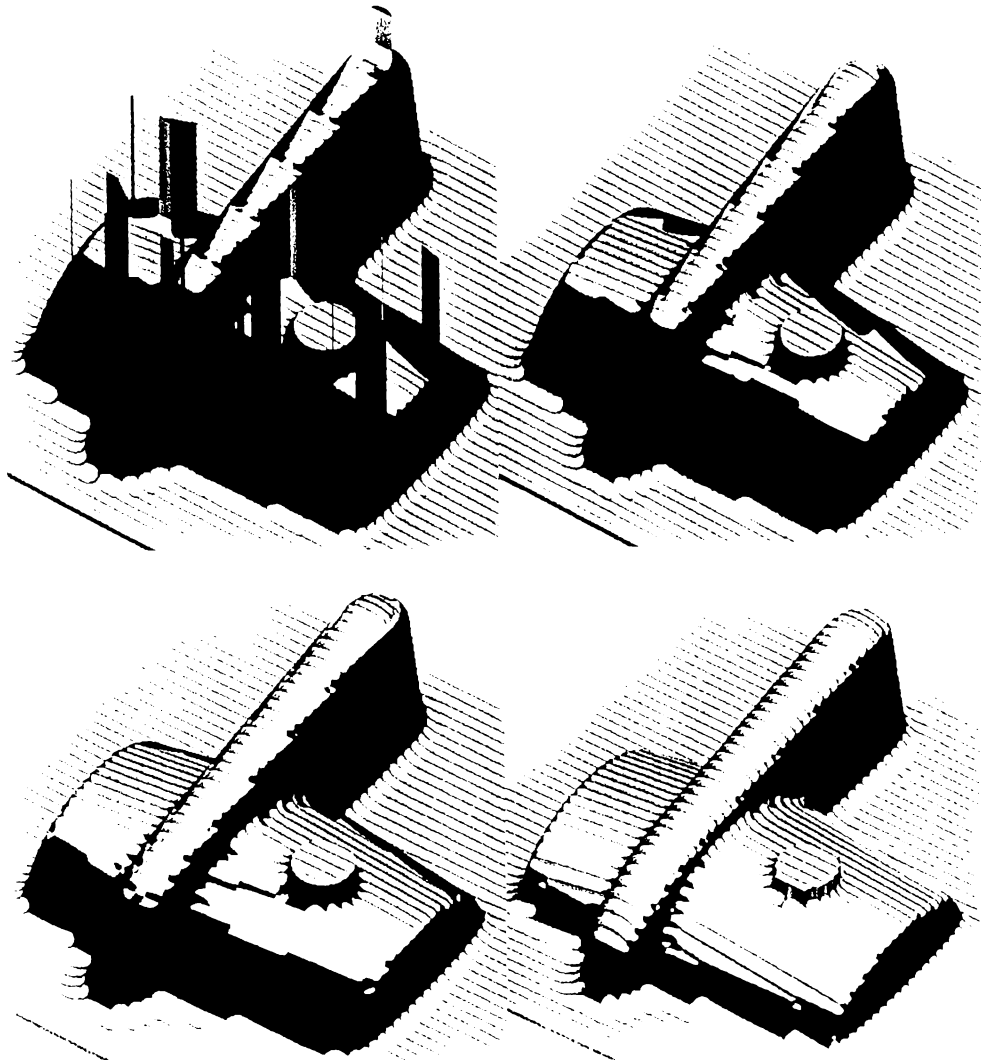


Figura 6.4 Evoluția rugozității în funcție de unghiul de detecție a zonelor plane, pentru valori ale acestuia de 30° , 45° , 60° , 75° . Pasul pe Z și în planul XY este constant. (EdgeCAM V3.0)

Analizând aceste patru repere se poate observa că, în cazul frezelor sferice, unghiul optim de detecție a zonelor plane se situează la 45° .

6.3.4. Calculul zonelor critice la frezarea secțiunilor paralele în planul XY

O problemă similară cu cea precedentă este aceea de a descoperi zonele critice, când se frezează într-o anumită direcție în planul XY, adică locurile unde înclinația suprafeței în direcție perpendiculară este mare, și de a compensa acest neajuns cu frezări în direcții perpendiculare.

Problema fiind geamănă cu cea precedentă, se va încerca prezentarea în mod analog.

Se menționează că, pentru stadiul actual al evoluției mașinilor unelte cu comenzi numerice (MUCN) și a echipamentelor (ECN) din țara noastră, precum și pentru a obține lungimea fișierului generat cât mai scurtă, cazul particular al frezării cu unghiuri de înclinație de 0° sau 90° (în planul XY) joacă un rol foarte important.

În pseudocod, algoritmul are următoarea înfățișare:

```
NimicSuprafațăDiscretă.TransfDetecteazăPerpendicular(SuprafațăDiscretă sdAnaliză, Real rPentruUnghiu = 45.0)
{
  PentruFiccare(Întreg nI = 1; nI <= nX; nI++)
    PentruFiccare(Întreg nJ = 1; nJ <= nY; nJ++)
      PuneLa(nI, nJ, sdAnaliză laDeLaPerpendicular(nI, nJ, rPentruUnghiu));
} //TransfDetecteazăPerpendicular
```

```
NimicSuprafațăDiscretă.DetecteazăPerpendicular(
  FamiliaDeCurbe fcOut, Real rPentruUnghiu = 45.0)
{
  SuprafațăDiscretă sdTransformare; //pregătește suprafața Discretă a transformării
  sdTransformare = sdAceasta; //o inițializează
  sdTransformare.TransfDetecteazăPerpendicular(sdAceasta); //o calculează
  CreeazăCurbe(fcOut, rPentruUnghiu);
} //DetecteazăPerpendicular
```

Notă: metoda `laDeLaPerpendicular()` nu a fost discutată. Ea nu returnează altceva decât valoarea înclinației curbei în direcție perpendiculară, în punctul respectiv, față de orizontală.

Se prezintă, în continuare, câteva figuri în care se pot observa SD transformate, pentru a analiza locurile critice în direcția de frezare.

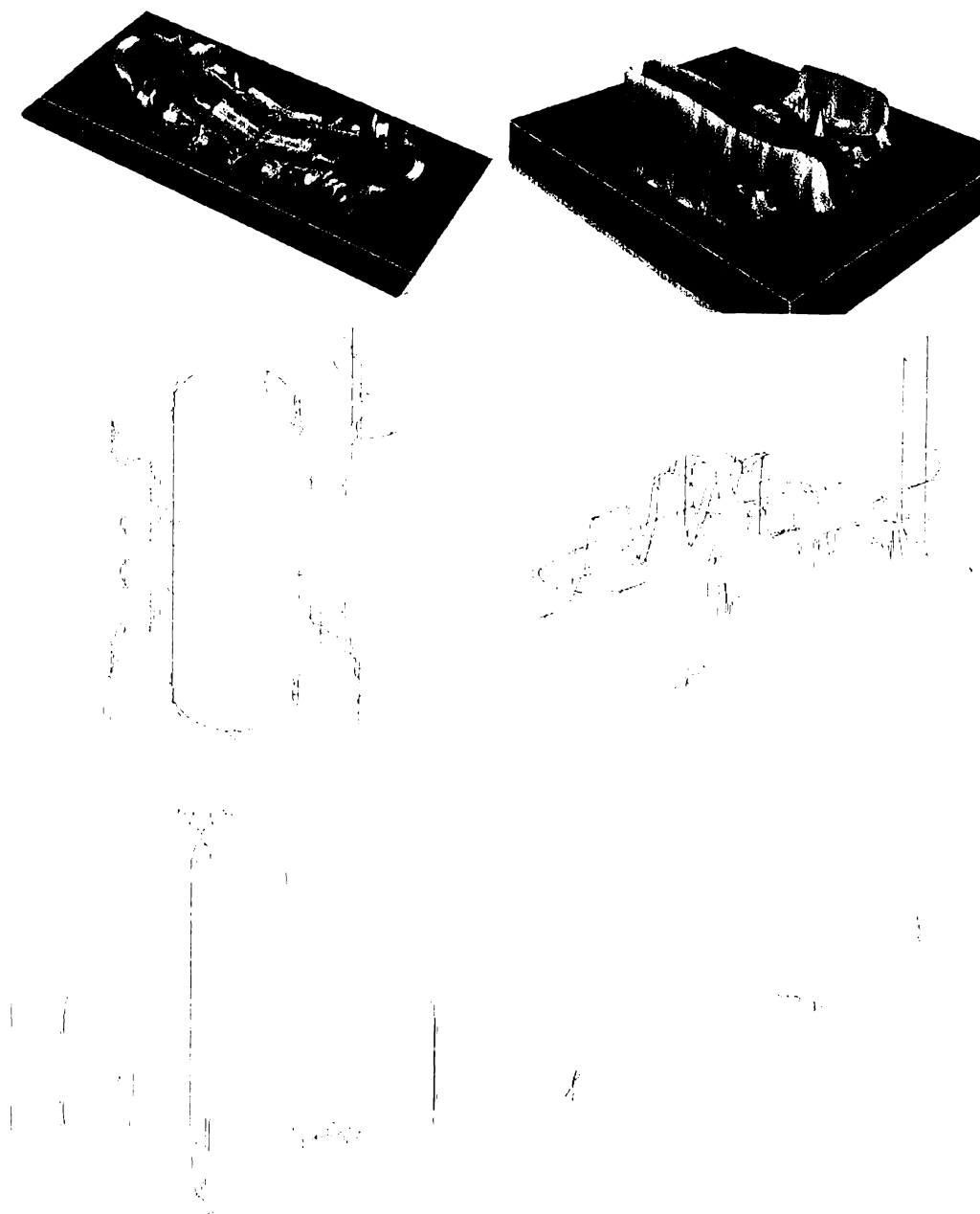


Figura 6.5 Evoluția SID care stochează variația (în mărime absolută) unghiului în direcție perpendiculară, pentru două SID, și familii de curbe echinormale proiectate pe SIDCS, procesate din 10 în 10 grade.

Familia de curbe procesate cu aceste tipuri de detecție a zonelor critice (care reprezintă ropunerea de a freza SD numai cu cicluri paralele în planul XY) arată ca în figura următoare.

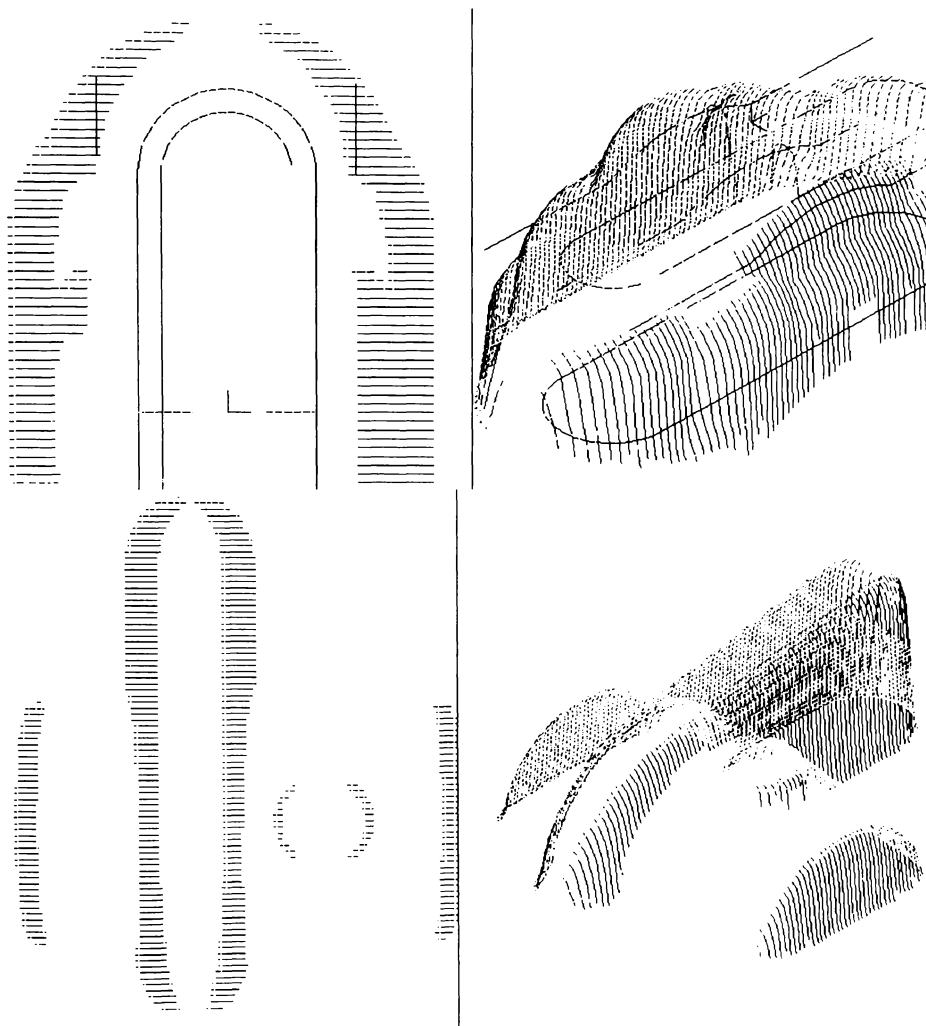


Figura 6.6 Zonele critice și umplerea lor cu curbe paralele echidistante, care vor fi convertite în fișier NC.

Deoarece acest gen de transformare reprezintă una dintre cele mai importante contribuții în domeniul îmbunătățirii ciclurilor clasice de frezare a suprafețelor, se va prezenta, pe un reper dat, evoluția rugozității în funcție de unghiul de detecție a zonelor plane.

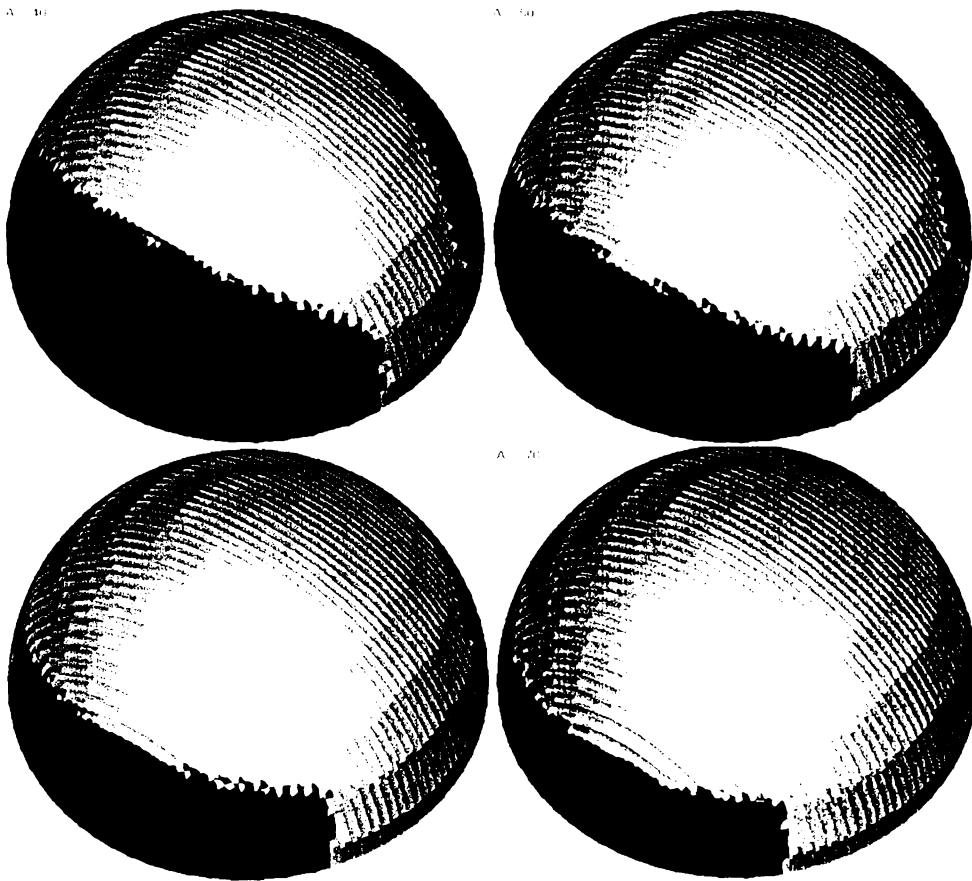


Figura 6.7 Evoluția rugozității și a petei critice (neatingerea rugozității impuse), în funcție de unghiul critic. În aceste zone, pentru atingerea rugozității impuse, este utilizat un ciclu echidistant în direcție perpendiculară. Unghiurile analizate sunt 40°, 50°, 60°, 70°. Se poate observa că cele mai bune rezultate se obțin la 45°.

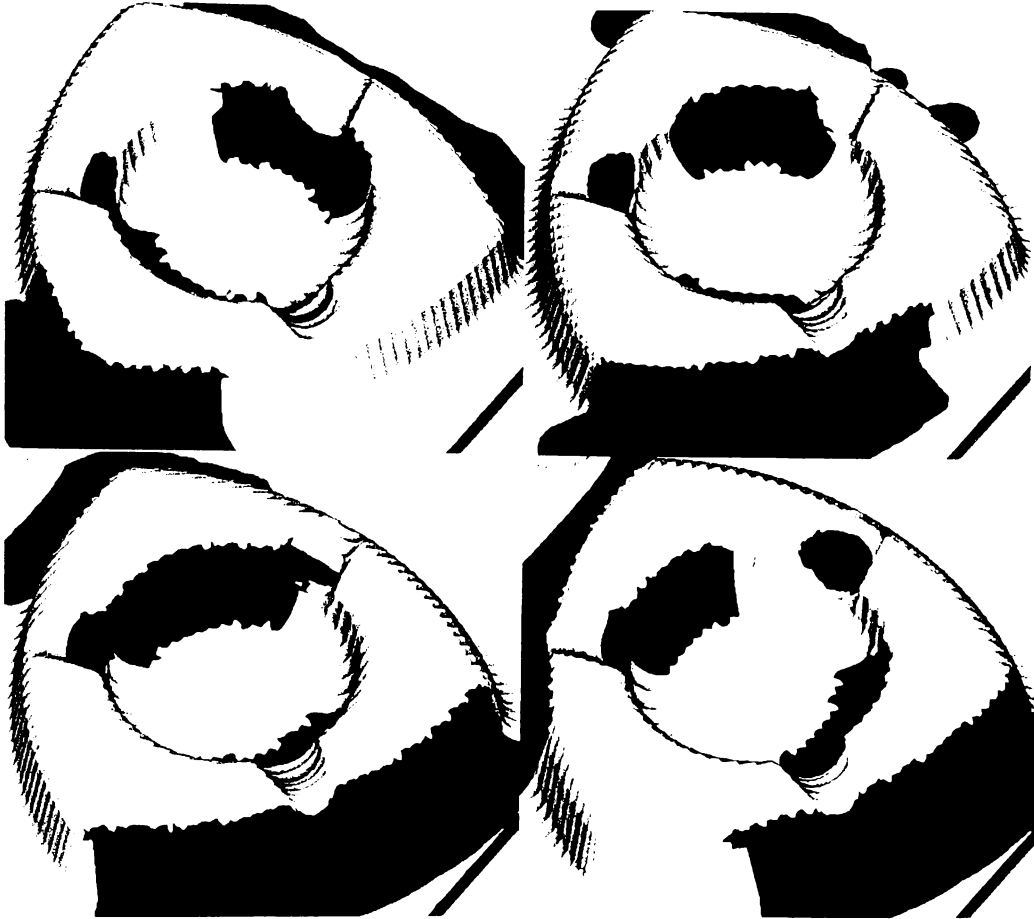


Figura 6.8 Evoluția rugozității și a petei critice (neatingerea rugozității impuse) în funcție de unghiul principal de frezare în planul XY. În aceste zone, pentru atingerea rugozității impuse este utilizat un ciclu echidistant în direcție perpendiculară.

Unghiurile analizate în planul XY sunt 0°, 30°, 60°, 90°. Toate comutările dintre cicluri au fost făcute când normala a avut un unghi mai mare de 45°.

6.3.5. Suprapunerea familiilor de curbe

Pentru a reduce zonele "martor", acelea care rămân la marginea dintre două tipuri de frezări (diferite din cauza detecției zonelor critice), se aplică o metodă de offsetare (echidistantare) a curbelor alese, pentru conversia în sistem NC.

Acest tip de echidistantare poate fi executat prin trei metode:

- a) în 2D – nerecomandabil, deoarece acest tip de offset nu analizează în arcuri suprafețele și a se face orizontal, ar putea, în unele cazuri, să propună spre frezare întregi peteți, apropiindu-se de figura 6.8.10.10.10.10.

- b) *offset intelligent* - este exact ca și cel în 2D, numai că după ce s-a terminat de offsetat, curbele acestea sunt culcate (mulate) pe suprafețe și rezultă un nou set de curbe, care sunt în concordanță cu curvatura suprafeței de dedesubt (figura următoare);
- c) *offset în planul unghiular de tăiere* – acest tip de offset este mult mai simplu de calculat decât cel precedent, deoarece el creează două tipuri de curbe echiunghiulare de tăiere, “offsetate” cu 1...2 grade. Curbe echiunghiulare de la 10° la 80° se află în figurile 6.3 c, d și 6.5 c, d.

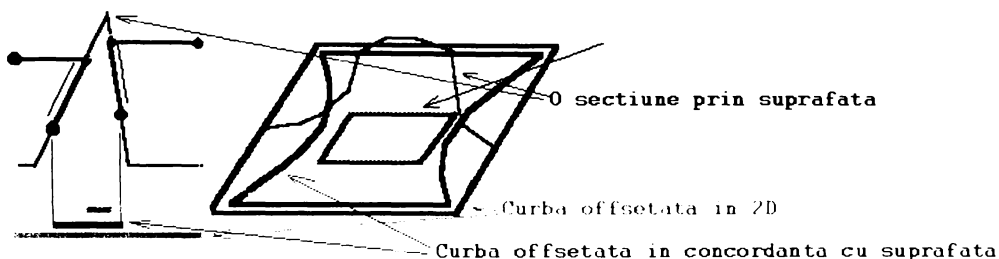


Figura 6.9 Comparatie între două metode de offset: cea în 2D (portocaliu) și cea culcată pe suprafață.

Autorul folosește în prezent numai offsetări de la punctele b și c, pentru a preîntâmpina frezarea de două ori în vecinătatea pereților verticali.

6.3.6. Calculul curbelor echirugozitate

Curbele echirugozitate sunt cele mai interesante curbe d.p.d.v. al frezării optimizate. Ele reprezintă locul geometric al curbelor care au proprietatea că: dacă se frezează cu o anumită sculă se va ajunge la o rugozitate constantă pe toată suprafața, atunci înseamnă că nu se vor suprafreza anumite zone (vor fi lustruite) pentru a se asigura rugozitatea stabilită în alte zone (fig. 6.10). Deci, în concluzie, timpul de frezare este minim (deoarece asigură rugozitatea maximă admisă, constant, pe toată suprafața).

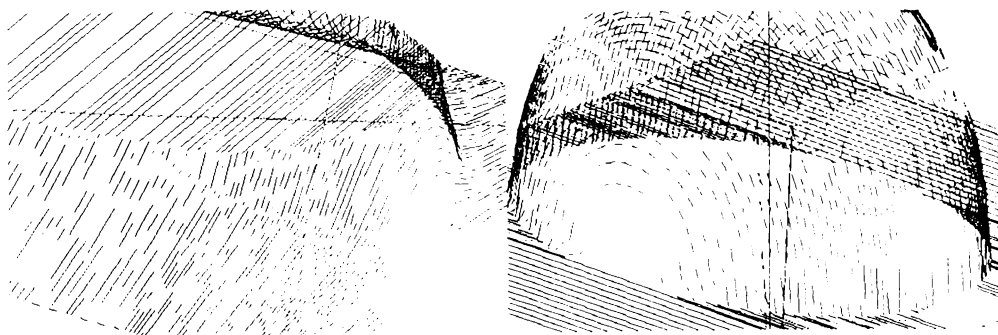


Figura 6.10 Varierea pasului la frezarea cu curbe paralele în planul XY, pentru asigurarea rugozității constante. Se poate observa suprafrezarea în zonele orizontale (TechnoCAM V2.0)

În urma analizelor făcute de autor pe 10 repere diferite, pentru aceeași rugozitate sau obținut fișiere NC mai scurte, în general cu 20..50%.

Acest gen de curbe pot fi create printr-o metodă asemănătoare, ca și celelalte curbe de parametru constant, deci vor fi numite curbe echirugozitate (Eng. Equicusp).

În pseudocod, aceste transformări se pot rezuma astfel:

```

NimicSuprafațăDiscretă.TransfEchirugozitate(SuprafațăDiscretă sdAnaliză, Întreg nMetoda)
{
  PutAll(0.0); //setează toată pe 0.0
  SuprafațăDiscretă sdTempX, sdTempY, sdTemp;

  sdTempX = sdAceasta; //crează ca aceasta
  sdTempY = sdAceasta; //crează ca aceasta

  Dacă(nMetoda = ct_nEchirugozitateX SAU nMetoda = ct_nEchirugozitateXY)
  {
    sdTemp = sdAceasta; //crează ca aceasta
    PentruFiecare(Întreg nI = 1; nI <= nX; nI++)
      PentruFiecare(Întreg nJ = 2; nJ < nY; nJ++)
      {
        PuncLa(nI, nJ, DistXZY(IndexÎnRealPtX(nI-1), IndexÎnRealPtY(nJ), [nI-1, nJ], IndexÎnRealPtX(nI),
          IndexÎnRealPtY(nJ), [nI, nJ]));
        sdtemp.PuncLa(nX - nI, nY - nJ, DistXZY(IndexÎnRealPtX(nX-nI+1),
          IndexÎnRealPtY(nJ), [nX-nI+1, nJ],
          IndexÎnRealPtX(nX - nI), IndexÎnRealPtY(nJ), [nX - nI, nJ]));
      } //PentruFiecare
    Combina(sdTemp, PM_MIN); //combină și lasă minimumul
    sdTempX = sdAceasta; //crează ca aceasta
  } //Dacă

  Dacă(nMetoda = ct_nEchirugozitateY SAU nMetoda = ct_nEchirugozitateXY)
  {
    sdTemp = sdAceasta; //crează ca aceasta
    PentruFiecare(Întreg nI = 2; nI < nX; nI++)
      PentruFiecare(Întreg nJ = 1; nJ <= nY; nJ++)
      {
        PuncLa(nI, nJ, DistXZY(
          IndexÎnRealPtX(nI), IndexÎnRealPtY(nJ-1), [nI, nJ-1], IndexÎnRealPtX(nI),
          IndexÎnRealPtY(nJ), [nI, nJ]));
        sdtemp.PuncLa(nX - nI, nY - nJ, DistXZY(IndexÎnRealPtX(nI),
          IndexÎnRealPtY(nJ), [nX-nI+1,
          nJ], IndexÎnRealPtX(nX - nI), IndexÎnRealPtY(nJ), [nX - nI, nJ]));
      } //PentruFiecare
    Combina(sdTemp, PM_MIN); //combină și lasă minimumul
    sdTempY = sdAceasta; //crează ca aceasta
  } //Dacă

  Dacă(nMetoda = ct_nEchirugozitateXY)
    Combina(sdTempX, PM_MIN); //combină și lasă minimumul

  } //TransfEchirugozitate

NimicSuprafațăDiscretă.DetectăEchirugozitate(FamiliaDeCurbe fcOut, Întreg nMetoda =ct_nEchirugozitateXY,
  Real rPasul = 1.0)
{
  SuprafațăDiscretă sdTransformare; //pregătește suprafața discretă a transformării
  sdTransformare = sdAceasta; //o initializează
  sdTransformare.TransfEchirugozitate(sdAceasta, nMetoda); //o calculează
}

```

```

CreațiCurbe(fcOut, rPentruZ);
} Detectă:chirugozitate

```

Algoritmul nu face altceva decât să adune distanța dintre două puncte, suprafețele rezultante arătând ca în figura 6.11.

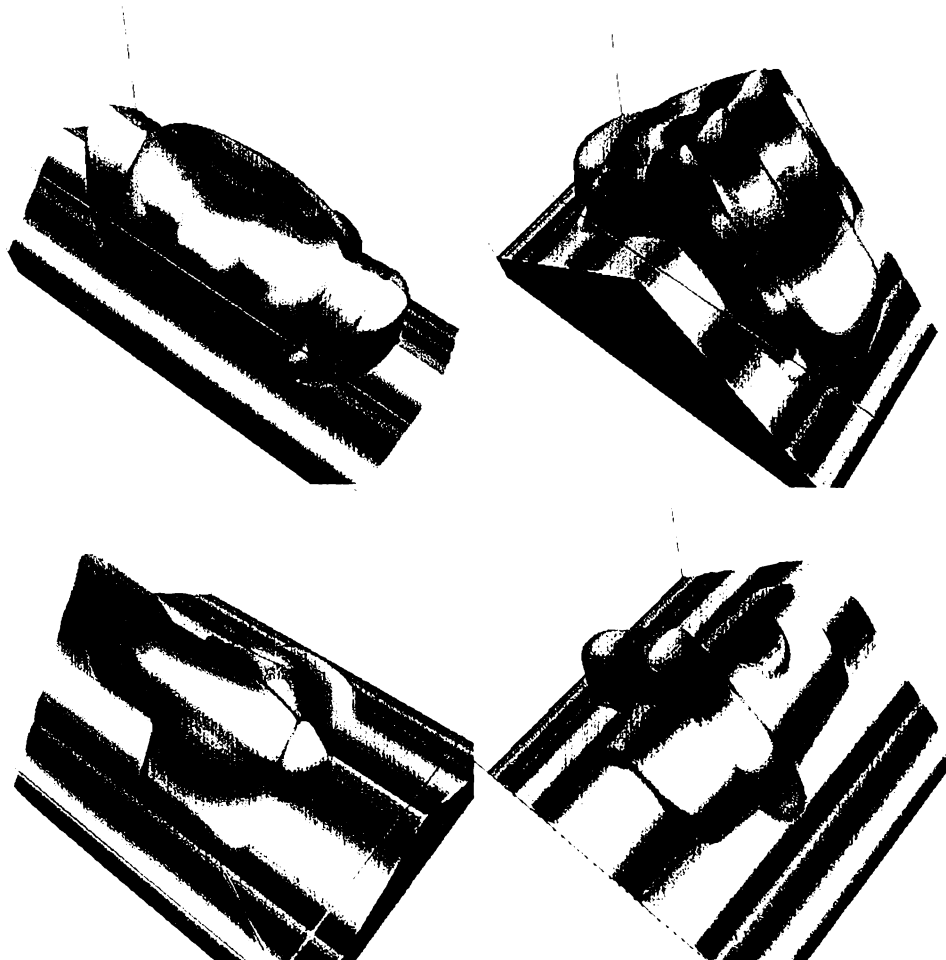


Figura 6.11 Suprafețe discrete care stocază transformarea e chirugozitate. (SDER)

Algoritmul poate avea mai multe realizări, în funcție de câte începuturi are de pe marginile dreptunghiului care conține piesa.

Aceste transformări au fost făcute cu condiția de a se putea asigura o transformare intermediară, deci ele nu conțin alte informații auxiliare despre curbe care taie curbele, destinate fișierului NC. Suplimentar, se poate vorbi despre aceste tipuri de fișiere, care conțin curbe înconjurătoare, și se pot construi SDER care conțin distanțele proiectate pe SDCS ale curbelor care se intenționează să fie folosite ca și curbe de tăiere a fișierului NC.

Folosind variația culorii și desenând SDCS în aceste culori, se obțin reprezentările din figura 5.3, algoritmul nefiind altceva decât cazul particular al offsetului pe suprafață a unui dreptunghi sau a unor drepte paralele.

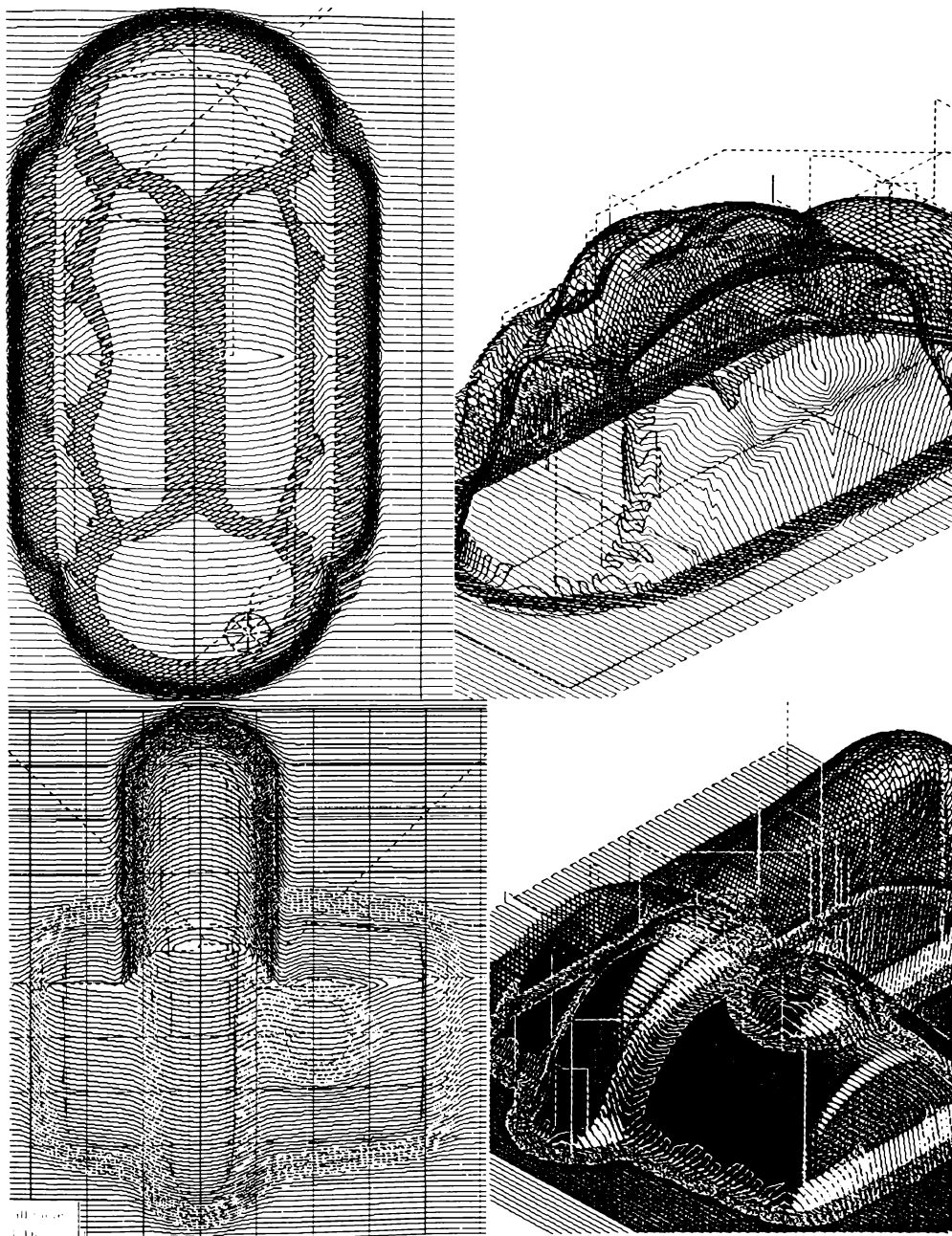


Figura 6.12 Cicluri echirugozitate și detecția materialului neprelucrat

6.3.7. Calculul materialului nefrezabil

Materialul nefrezabil este totalitatea materialului care rămâne neprelucrat, din cauza apariției interferenței sculă - semifabricat. Deci, el nu este o variabilă de pasul sau tipul fișierului NC (a cărui analiză generează calculul materialului nefrezat), fiind doar o variabilă de geometria semifabricatului și a sculei, și se calculează foarte simplu, făcând diferența dintre SD de contact (SDC) (Eng.: *backoffset*) și SDR.

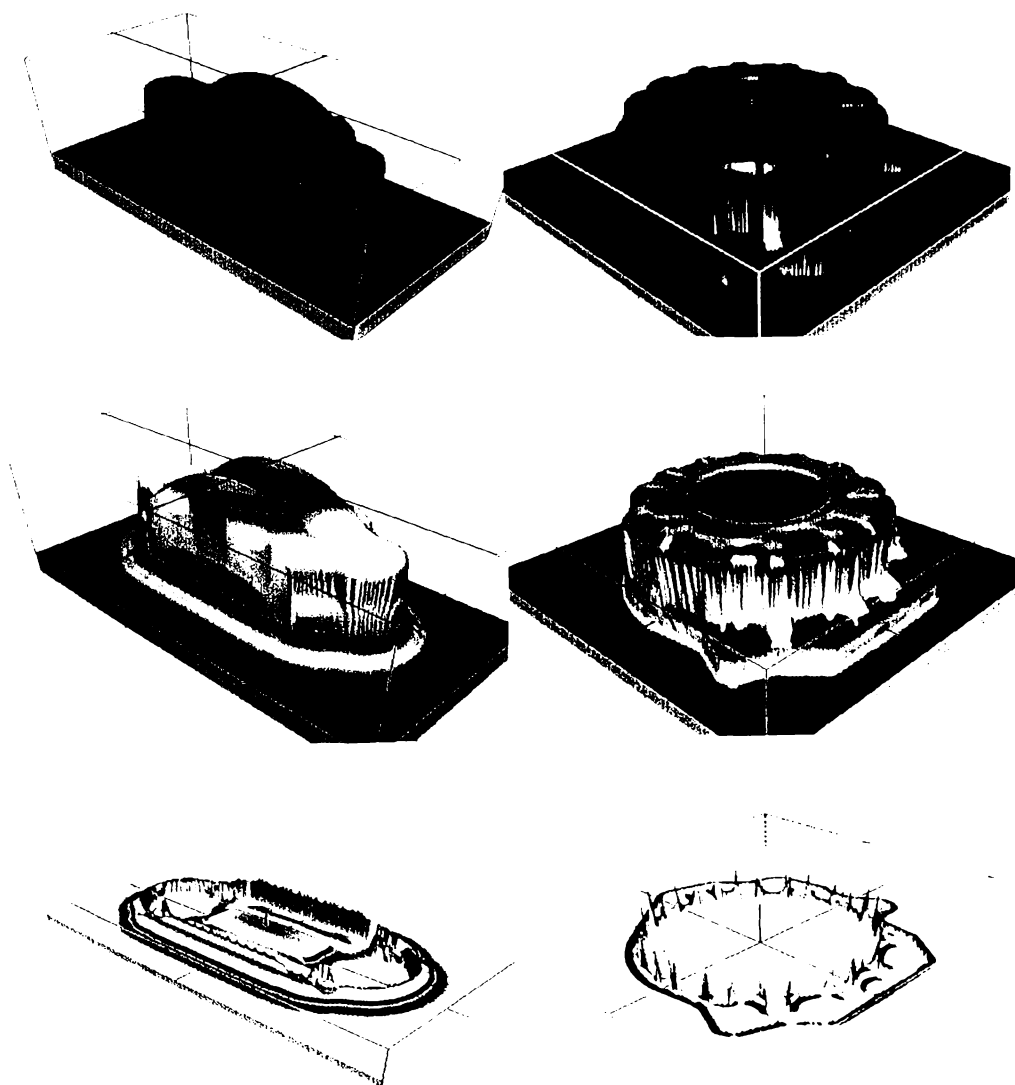


Figura 6.13 Suprafețele discrete ale reperului (SDR) a, b, ale suprafeței de contact (SDC) c, d, și ale materialului nefrezabil (SDN) e, f, pentru două repere complexe importate.

În figura precedentă s-au prezentat pentru două repere, SD reper, SD contact și SD nefrezabil, pentru clarificarea conceptelor.

Deci, aplicând pe SDN o conversie echipotentială în curbe de nivel cu o valoare Z puțin mai mare ca 0 (actual autorul folosește valori între 0.01 și 0.2), se obțin curbele căutate ale detecției materialului neprelucrat din cauza interferenței scule - semifabricat.

De menționat că aceste curbe mai trebuie offsetate pe direcția normalei la SDR, cu o distanță egală cu raza sculei următoare, pentru a preîntâmpina urcarea pe pereți (*antiskating*), propusă pentru eliminarea SDN. În următoarea figură se exemplifică cele expuse în acest subcapitol, într-o secțiune 2D.

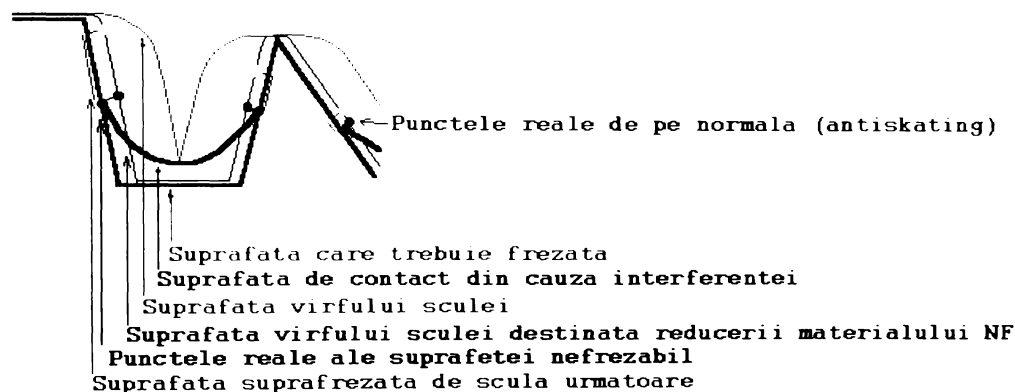


Figura 6.14 Exemplificarea algoritmului de detectare a materialului nefrezabil și a necesității calculului unui offset pe normală, pentru prevenirea fenomenului de antiskating

În pseudocod, algoritmul are următoarea înfățișare:

```

NimicSuprafațăDiscretă, DetectăNefrezabil(FamiliaDeCurbe fcNefrezabil,
  SuprafațăDiscretă sdReper, sdSculaAnal, sdSculaMică, Boolean bDetectPlan = FALS)
{
  SuprafațăDiscretă sdVârfSAculă, sdContact, sdNefrezabil;
  sdVârfSAculă, InițInfișurătoareStatic(sdReper, sdSculaAnal);
  sdContact, InițInfișurătoareStatic(sdVârfSAculă, sdSculaAnal, FALS);
  sdNefrezabil = sdContact - sdReper;
  Dacă(bDetectPlan) în cazul în care se dorește frezarea cu o freză cilindrică
  PentruFiecare(Întreg nI = 1; nI <= nX; nI++)
    PentruFiecare(Întreg nJ = 1; nJ <= nY; nJ++)
      Dacă(sdReper[nI, nJ] = sdReper[0, 0]) sdNefrezabil.PunctLa(nI, nJ, 0.0);
  sdNefrezabil, CreațăCurbe(fcNefrezabil, 0.05); crează curbele de pe sdNefrezabil
  sdReper, OffseteazăCurbe(); offsetează cu raza umătoarei scule ''
} TransfEchirugozitate
  
```

Câteva repere analizate cu acest algoritm se pot observa în figurile ce urmează. Suplimentar s-au trasat curbele cu cele două scule: cele roșii corespund sculei mari, iar cele negre pentru scula mică, în cazul în care $bDetectPlan = 1$: A.S.

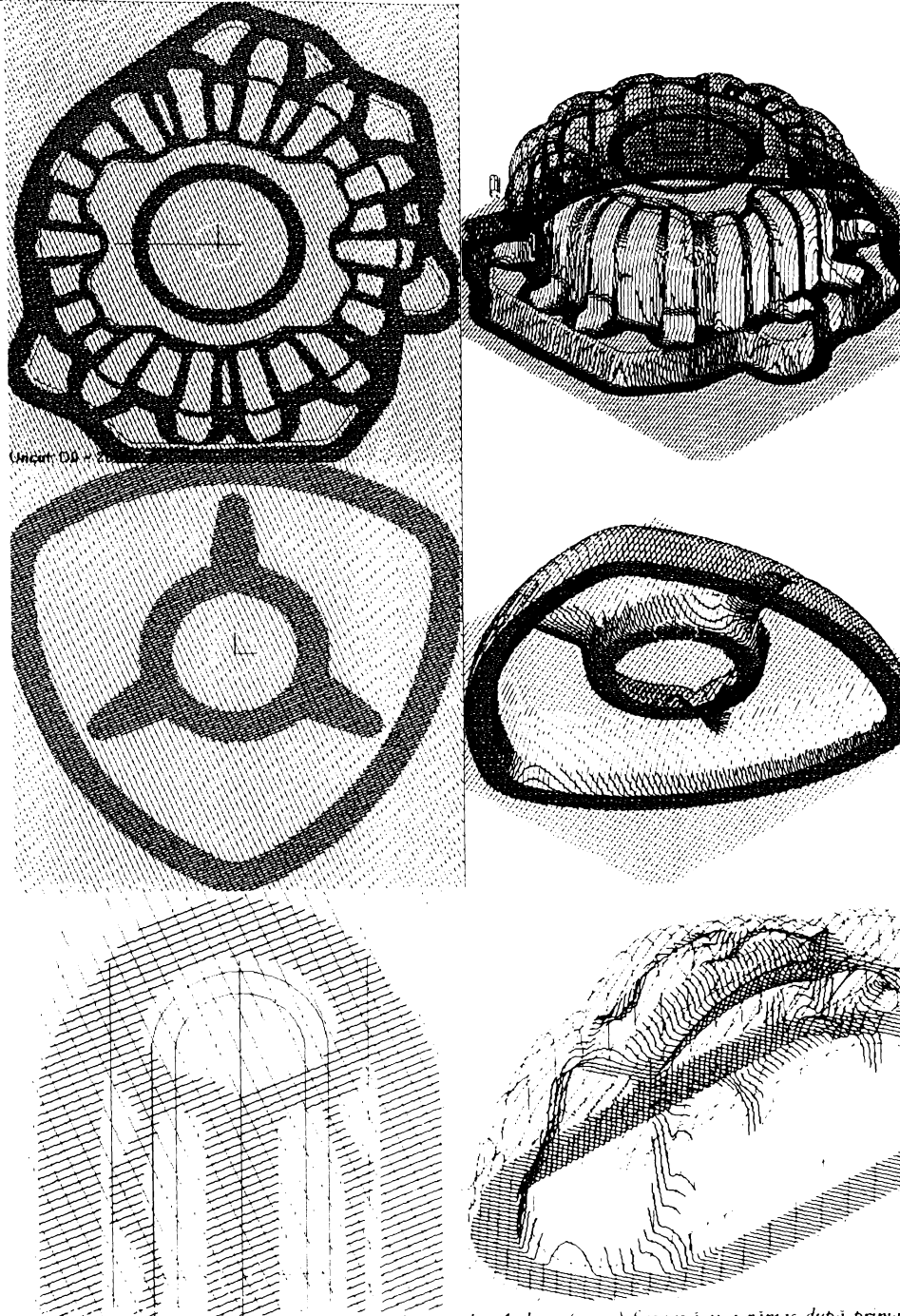


Figura 6.15 Curbele necesare frezării cu două scule. A doua (negri) frezează ce a rămas după prima. Detectarea materialului nefrezat, fără detectarea zonelor plane.

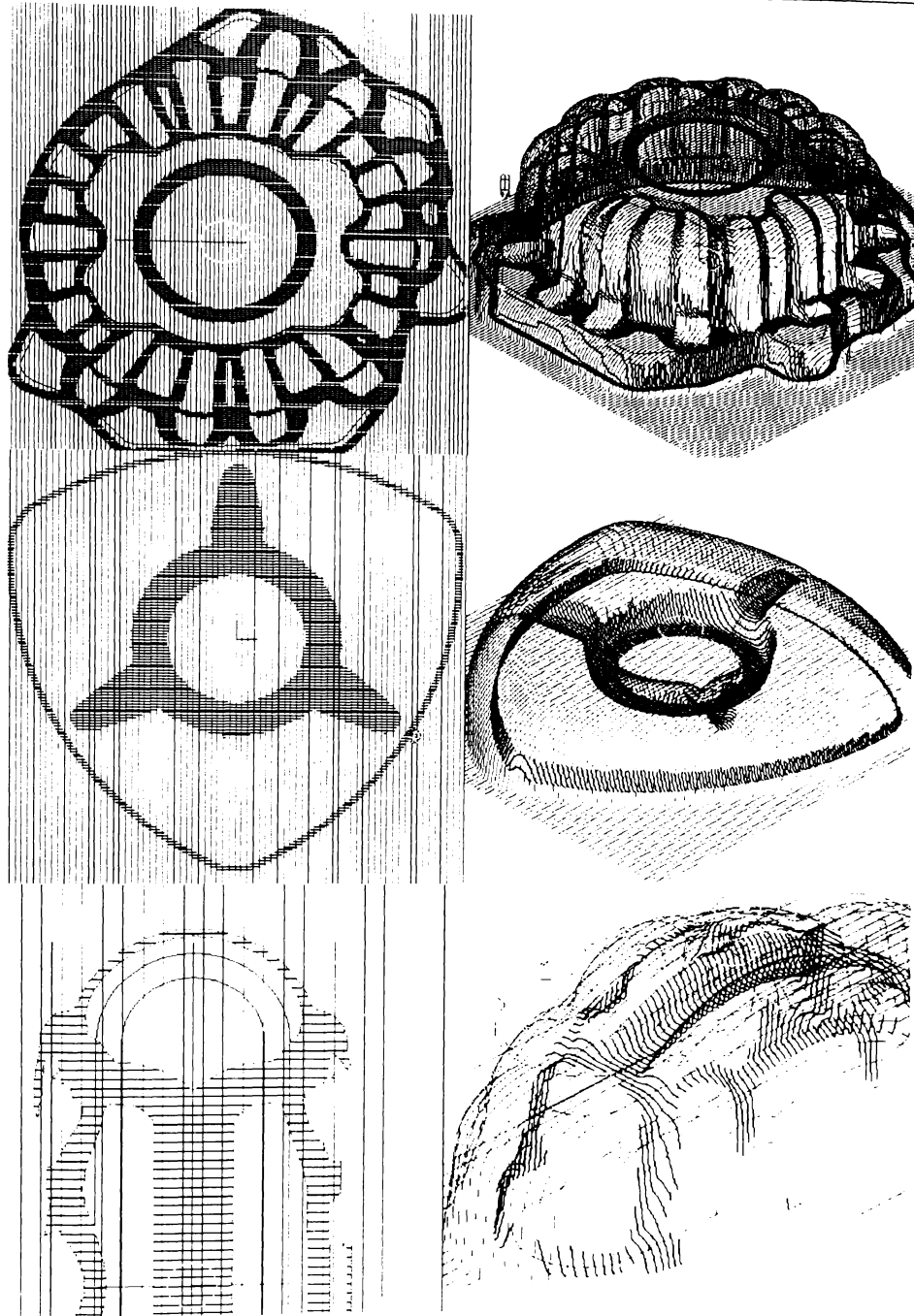


Figura 6.16 Curbele necesare frezării cu două scule. A doua (negru) frezează ce a rămas după prima. Detectarea materialului nefrezat, cu detectarea zonelor plane.

În figurile 6.15 și 6.16 au fost prezentate, pentru trei repere, detectarea materialului neprelucrat, *cu și fără* detectarea zonelor plane.

Se poate observa că în cazul în care se folosește o strategie mixtă pentru eliminarea materialului neprelucrat (frezare 3D, sculă sferică, zone curbe + frezare 2D, sculă plană, zone plane) scurtarea timpului de frezare cu a doua sculă este în intervalul procentual de 10% - 50%. Se consideră ca fiind o optimizare semnificativă, deoarece pentru repere de complexitate mare, timpul necesar eliminării materialului nefrezabil este comparabil cu cel al ciclului de finisare.

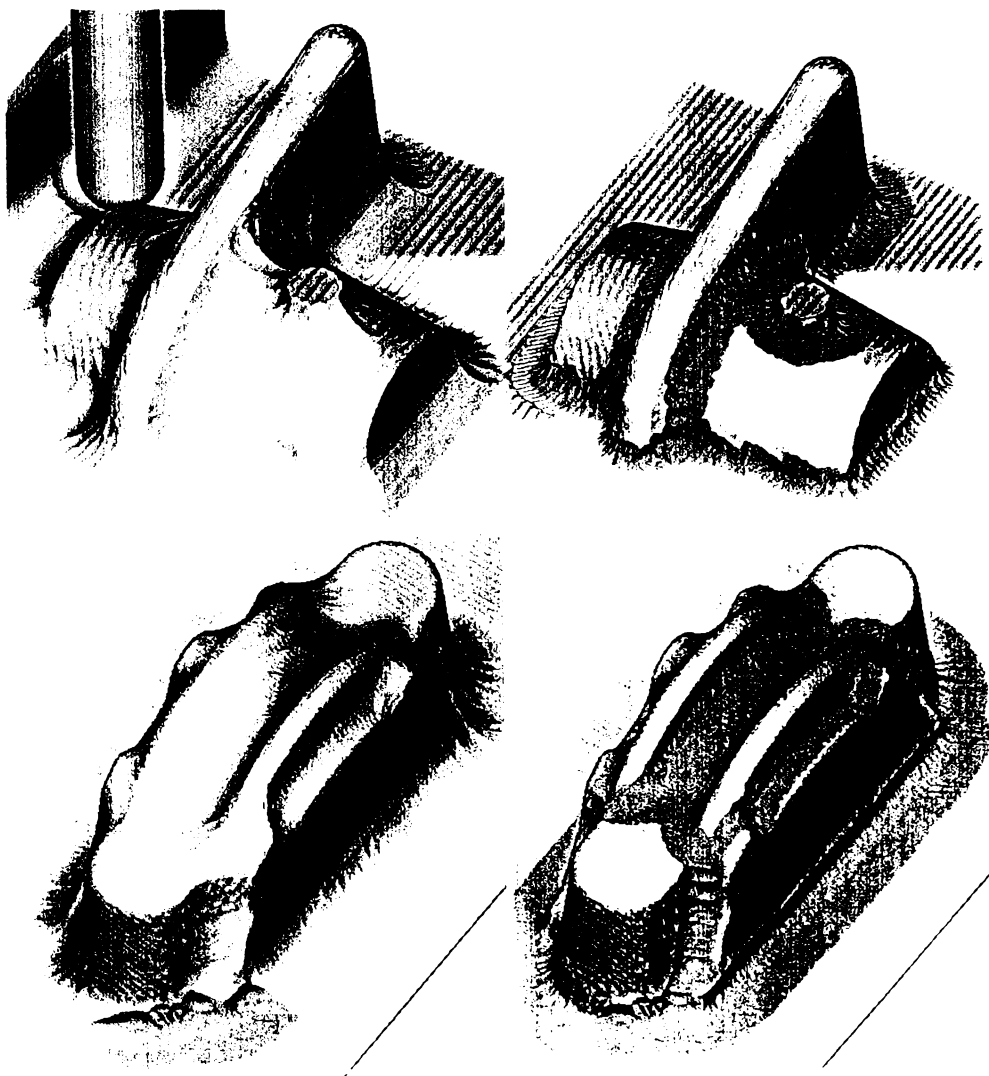


Figura 6.17 Simularea frezării pe două repere. Ciclul de finisare, cu cap sferic $R=10,0$ mm, frezare echirugozitate, urmat de eliminarea zonelor de interferență, cu cap sferic $R = 2,5$ mm

De menționat că cele mai bune rezultate (puține inflexiuni și mișcări în avans rapid) au fost obținute folosind colapsarea echirugozitate a curbelor care definesc materialul nefrezat. Câteva exemple sunt date în figurile următoare.

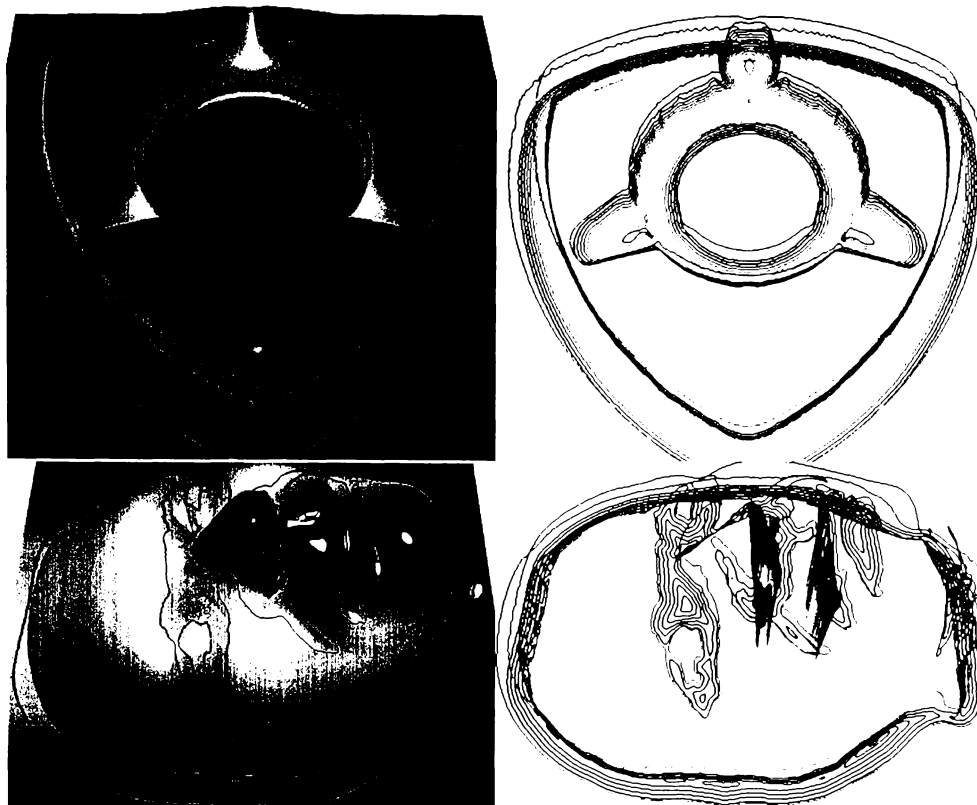


Figura 6.18 Exemple de colapsare echirugozitate a curbelor ce reprezintă materialul nefrezat.

În coloana întâi sunt reprezentate suprafețele și curbele care delimitează materialul nefrezabil. În coloana a doua, curbele sunt colapsate în 3D, pentru a genera un ciclu de frezare cu condiția de rugozitate constantă.

Acestea au fost contribuțiile autorului în domeniul frezării optimizate a suprafețelor discrete, care utilizează algoritmi bazați pe transformările discrete ale acestora.

În continuare se va trece la tehnici de optimizare care se aplică pe familia de curbe, sau folosesc tehnici mixte de analiză și optimizare.

6.4. Metode de analiză a curbelor

O parte din acest gen de optimizări sunt prezente, într-o proporție mai mică sau mare, în sistemele de fabricație. În general, aceste optimizări nu au nimic comun cu geometria suprafeței, ele legându-se numai de forma și poziția curbelor care alcătuiesc traseul vârfului sculei.

6.4.1. Rejecția punctelor coliniare

Una din cele mai des utilizate metode de optimizare pentru lungimea fișierului NC este aceea de a rejecța punctele intermediare care sunt la o distanță mai mică decât toleranța impusă.

Nu se va exemplifica în pseudocod implementarea, fiind lungă și simplă. Oricum, în Clasa **Curbă** a fost prevăzută o astfel de metodă.

În general, acest tip de rejecție aduce reduceri ale fișierului NC de 30..90%.

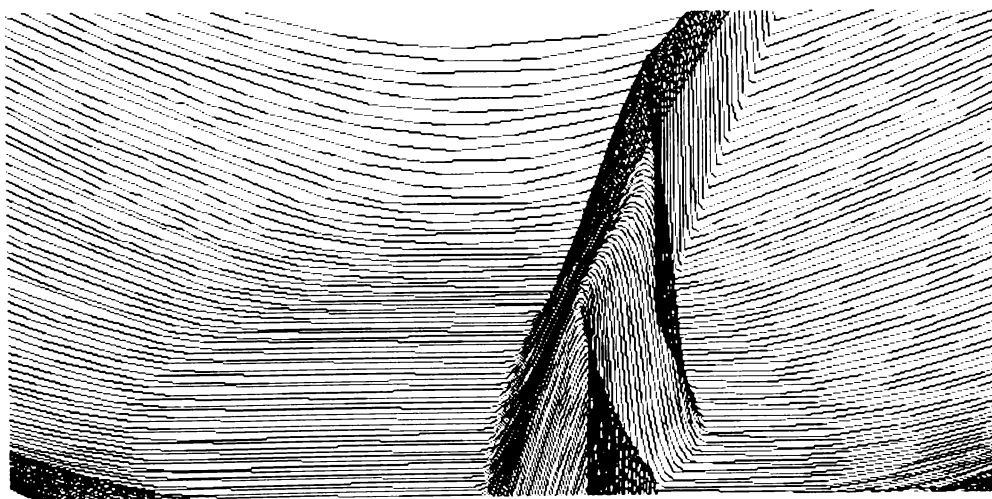


Figura 6.19 Exemplificarea rejecției punctelor intermediare pe un fișier NC exportat cu pas constant de pe o suprafață discretă (SD)

6.4.2. Interpolări superioare

La ora actuală, interpolarea circulară pentru mișcări simple în planele XY, XZ, YZ este prezentă în toate ECN, fiind standardizată de foarte multă vreme. Unele dintre ECN au început să suporte arce de cerc în spațiu și curbe spline (*Fanuc, Heidenheim*). Din aceste motive, în sistemele de fabricație actuale și-au făcut apariția aceste tipuri de interpolări speciale, care asigură o calitate îmbunătățită a suprafeței și, în general, o lungime mai scăzută a fișierului NC. După unele studii efectuate de autor, lungimea fișierului NC cu acest gen de interpolări superioare activat este de 50%...125%, deci nu în toate cazurile se asigură o scurtare a fișierului NC, dar se asigură o calitate mai bună a suprafeței frezate. O altă rațiune de a implementa interpolările superioare este moda: în general utilizatori care au MUCN care suportă aceste interpolări doresc să-și folosească cât mai multe din facilitățile acesteia.

6.4.3. Minimizarea mișcărilor în avans rapid

Acest tip de optimizare este unul dintre cele mai importante, reducând lungimea mișcărilor în avans rapid cu peste 95% pentru unele frezări particulare și deschizând premisele unor generări foarte eficiente de fișiere NC pentru MUCN de viteză mare.

Această problemă își găsește o paralelă în optimizarea *drumului dintre n localități* (problema comis voiajorului), materializat aici prin trasee de sculă.

Rezolvarea completă a problemei comportă o dificultate polinomială de $O(n!)$, cu n trasee. Dacă se ia în considerare și posibilitatea că fiecare traseu poate fi reversibil, complexitatea problemei crește la $O(n!*2^n)$, ceea ce, din punct de vedere al timpilor de rezolvare, duce la un dezastru, în cazul în care numărul de trasee depășește 50. Spre exemplu, pentru rezolvarea unei probleme de 100 trasee, un calculator cu procesor Pentium Pro 200Mz a lucrat mai mult de o zi.

În realitate, fișierele NC conțin uzual 200...5000 de curbe individuale, ceea ce constituie o complexitate imposibil de rezolvat la ora actuală. Din această cauză, soluționarea problemei comis voiajorului TSP (*Traveling Salesman Problem*) prin alte metode este una dintre cele mai importante probleme de optimizare, pentru care, în literatura de specialitate încearcă timid să-și facă apariția algoritmi din familia celor bazați pe automate neuronale sau celulare, sau triangularizările Delaunay.

În cazul frezării, sistemele de fabricație folosesc metoda de frezare în zig-zig, optimizarea oprindu-se atunci când se depășesc cazurile particulare cunoscute.

Având în vedere importanța pe care o are pentru generarea optimizată a fișierului NC, s-a încercat să se creeze un algoritm care să rezolve această problemă cât mai rapid și cât mai aproape de situația teoretică. Acest algoritm poartă numele "Metodă euristică rapidă de rezolvare a problemei comis voiajorului" - FHTSP (*Fast Heuristically Traveling Salesman Problem*).

Complexitatea a scăzut de la Πn la Σn , ceea ce face ca timpul de rezolvare a unor probleme de 500 trasee să fie de numai 0.5 secunde, iar pentru 2000 trasee, de 10 secunde.

Soluția găsită este ideală în proporție de peste 90%, iar timpul de calcul nu există practic. Acest algoritm generic este implementat de către autor în GNCPP și EdgeCAM, iar comportarea lui în practică este ireproșabilă.

Algoritmul se poate rezuma în pseudocod astfel (o versiune unidirecțională):

```

FamiliaDeCurbe.OptimizeazăFHTSP(Întreg nRezolvăComplet = 40)
{
    FamiliaDeCurbe fcTemp;
    Curbă cStart, cCurent;
    Punct pCurent, pStart;

    //dacă sunt puține curbe rezolvă complet problema
    Dacă(nNr <= nRezolvăComplet)
        OptimizeazăTSP();
    Altfel
    {
        cStart = [1];
        fcTemp.PunctLa(cCurent); //adună curba l
        pStart = cStart[cStart.nNr]; //capătul de sfârșit

        Sterge(1); //și o șterge
        PentruFiecare(Întreg nI = 2; nI <= nNr; nI++)
        {
            Real rDist = 1e100;
            Întreg nDist = 0;
            PentruFiecare(Întreg nJ = 1; nJ <= nNr; nJ++)
            {
                cCurent = [nI];
                pCurent = cCurent[1]; //capătul de start
                Dacă(DistXYZ(pCurent, pStart) < rDist)
                {
                    rDist = DistXYZ(pCurent, pStart);
                    nDist = nI;
                } //Dacă
            } //PentruFiecare
            cStart = [nDist];
            pStart = cStart[cStart.nNr]; //capătul de sfârșit
            Sterge(nDist);
        } //PentruFiecare
    } //Altfel
    sdAceasta = fcTemp; // actualizează familia de curbe
} //OptimizeazăFHTSP

```

Algoritmul nu face altceva decât să sorteze curbele, în funcție de distanța minimă dintre capetele de sfârșit și start, pornind cu prima curbă. Algoritmul care analizează distanța dintre ambele capete, și în cazul în care este parcursă în ordine inversă o inversează, este prea complicat pentru a fi expus.

Acest algoritm este însoțit de altul, care leagă capetele mai multor curbe, mai mici decât o distanță (uzual $3.6 \cdot$ pasul de procesare), și astfel, necesarul de ieșiri și intrări în material se reduce drastic (în exemplul ilustrat, de la circa 500 de intrări și ieșiri au mai rămas 10, deci o optimizare de circa 98 %, iar timpul necesar acestei optimizări a fost de 2 secunde !).

Se prezintă, spre exemplificare, un caz de fișier NC echipotențial, cu și fără acest tip de optimizare, procesat cu aceleași condiții inițiale.

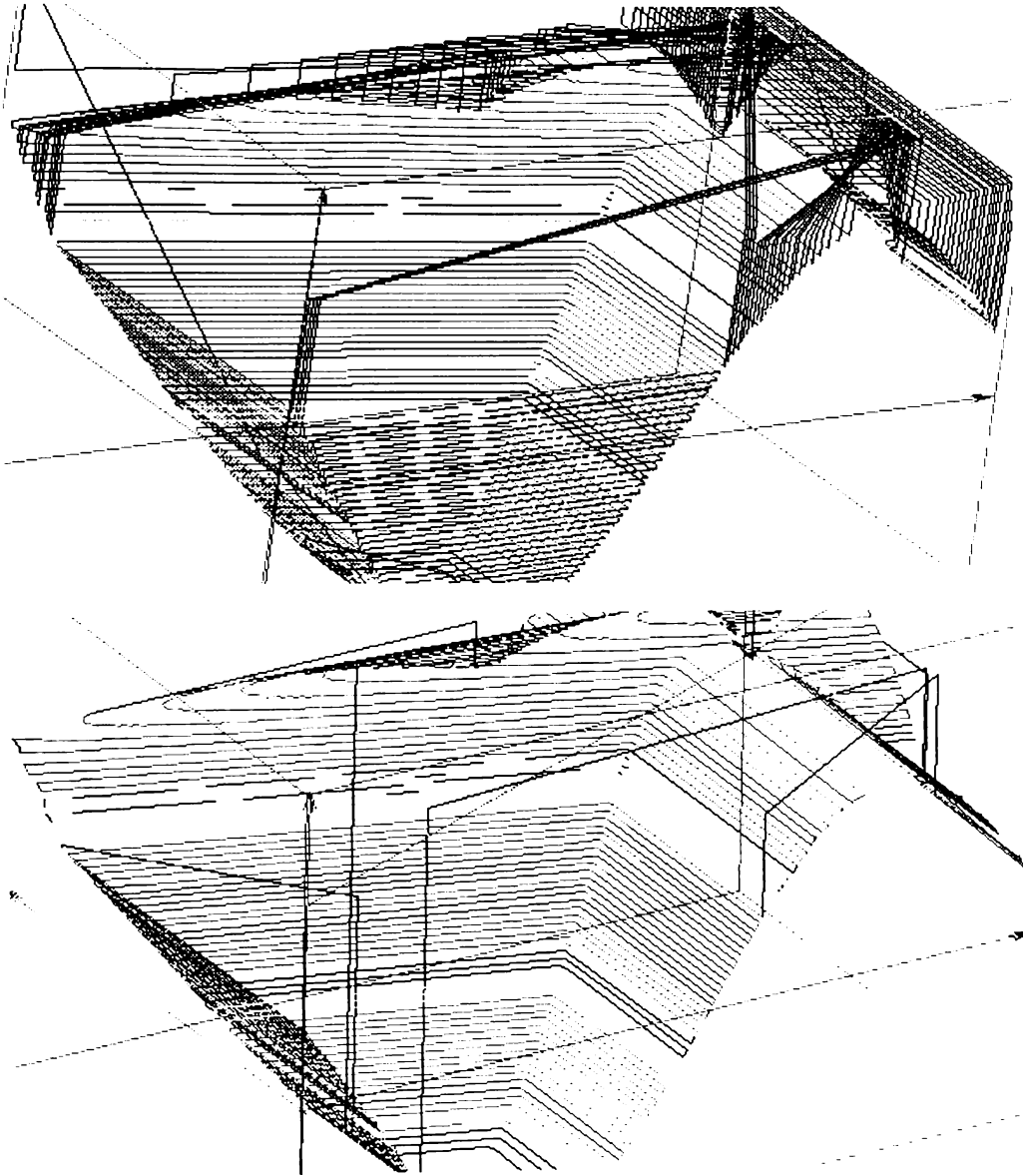


Figura 6.20 Optimizarea FHTSP pentru reducerea mișcărilor în avans rapid

- ⇒ fără FHTSP
- ⇒ cu FHTSP

6.4.4. Modul pseudoadaptiv fără DS

La ora actuală, un sistem adaptiv de variere a avansului în funcție de cantitatea de material prelevată este foarte costisitor.

Se va prezenta, în două subcapitole separate, două metode (una care utilizează SD și alta care nu utilizează SD) de a analiza fișierul NC și de a varia în timp diferiți parametri, ca avansul sau offsetul, pentru a lua în considerare geometria sculei, a compensa uzurile și variațiile termice.

Cea mai simplă metodă de analiză este cea prezentată în continuare, care nu ia în considerare SD, ci numai curbele care alcătuiesc fișierul NC, încercând ca, în urma analizării geometriei acestora, să varieze avansul și cota pe Z.

În funcție de rigiditatea sa, dictată de numărul de tășuri, lungime și diametru, scula are tendința de a freza mai bine radial sau axial. Astfel, un burghiu, care are numai 2 tășuri, și deci este puțin rigid, poate fi folosit pentru a freza axial, dar este aproape imposibil de a freza radial cu el, pe când cu o freză care are mai multe tășuri, este invers.

O primă optimizare este aceea de a varia avansul în funcție de unghiul de înclinare față de planul orizontal și de numărul de dinți pe care îi are scula.

De menționat că acest tip de optimizare își găsește rațiunea doar în ciclurile care sunt destinate degroșării, când mașina unealtă și scula sunt supuse unor regimuri care depind de rigiditatea lor. Acest tip de optimizare duce la reduceri semnificative de timp, de 50..500%, deoarece în ciclurile de degroșare se folosesc scule foarte rigide, care favorizează frezările radiale, în detrimentul celor axiale, cu un factor de 3:1 ... 5:1. Deci, folosind un avans diferit (mai mare) la frezarea radială față de cea axială, scula și MU pot fi încărcate eficient. Cum la reperatele uzuale frezările axiale ocupă un timp de cca 20%, rezultă că, folosindu-se același avans, impus de frezarea axială, MU lucrează 80% din timp cu un avans de 3..5 ori mai mic, fiind deci posibilă o optimizare de 240% ... 400% !

Compensarea uzurii se poate face analizând câtă cantitate de fișier NC a fost frezată în fiecare moment, definind un coeficient procentual care reduce avansul după fiecare (spre exemplu) metru de material prelucrat.

Autorul utilizează valori de 0.98...0.999 ale coeficientului de micșorare care se aplică multiplicativ valorii avansului pe metru de material frezat.

La compensarea uzurii se poate vorbi și de o compensare posibilă în direcția Z, de circa 0.001...0.01 mm/m. Este posibilă doar pe direcția Z, deoarece în momentul generării fișierului NC, compensări spațiale de uzură nu se mai pot face, din cauza complexității calculelor implicate.

Se consideră discuția despre compensarea dilatațiilor termice doar una pur academică, ea nefiind practic operabilă, din cauza mult prea multor factori de care depinde. Acești parametri, ca *starea termică a mașinii, sculei, lichidului, mediului, variațiile în timp ale acestor parametri*, duc la necunoscute și complexități mult prea mari pentru a fi analizate și compensate cu precizie.

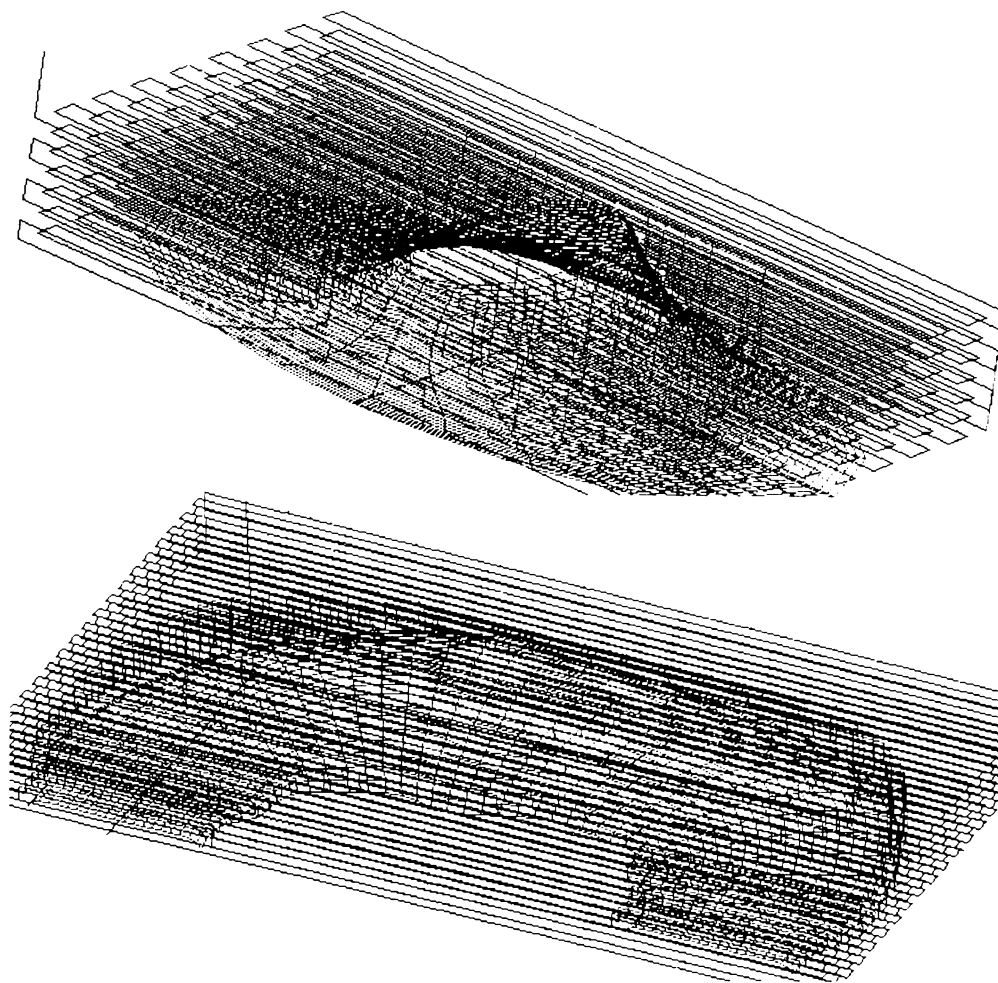


Figura 6.21 Fișiere de degroșare cu pilotarea inteligentă a avansului, în funcție de de tipul mișcării axiale sau radială (roșu mișcării axiale) (TechnoCAM V'2.0)

În figura 6.21 se pot observa câteva aspecte discutate în acest subcapitol și cantitatea relativ scăzută a mișcărilor axiale în comparație cu cele radiale.

6.4.5. Eliminarea punctelor de inflexiune

Eliminarea punctelor de inflexiune în fișierele NC duce la:

- ⇒ lungirea vieții MU, prin nesupunerea lanțurilor cinematice la șocuri de oprire și pornire;
- ⇒ scăderea semnificativă a timpului de frezare la ciclurile de mare viteză;
- ⇒ calitate îmbunătățită a suprafeței (vibrațiile fiind scăzute).

De-a lungul vremii s-a încercat transformarea ciclurilor clasice echipotențiale și echidistante în XY, în vederea satisfacerii acestui deziderat. Metoda cea mai simplă de transformare este aceea a adunării unui arc de cerc, pentru a asigura continuitatea derivatei întâi pe două curbe echidistante. Arcul se trasează tangent la trei curbe, două fiind traseele, iar a treia fiind dreapta care unește cele două capete (fig. 6.22 a, b). Această transformare înmoaie discontinuitatea din punctele de inflexiune.

O altă metodă este de a adăuga o cubică, care este constrânsă de capetele curbei și direcțiile acestora (fig. 6.22 c).

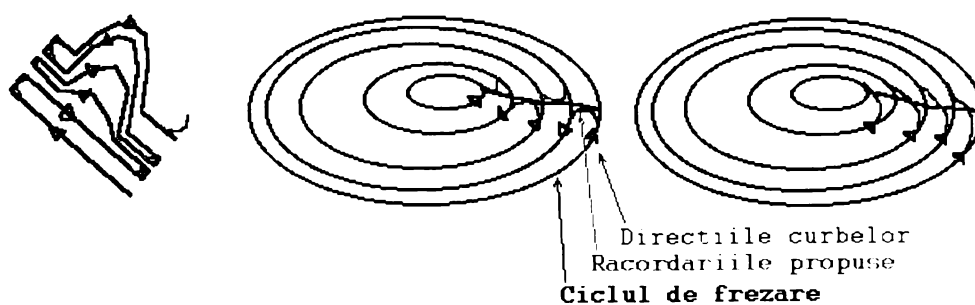


Figura 6.22 Diferite metode de transformare a ciclurilor clasice în vederea reutilizării lor la frezarea de viteză mare.

De menționat că transformările propuse sunt în general destul de bune și satisfac, în general, dorințele utilizatorilor. Dezavantajul lor este acela că sunt destul de greu de implementat.

6.5. Metode de analiză mixtă

Metodele de analiză și optimizare mixtă sunt foarte utile și eficiente, ele permițând analize și generări de fișiere NC sofisticate, foarte rapide, ca: analiza curvaturii, analiza zonelor de securitate minime pentru mișcări rapide, detecții de interferențe cu luarea în considerare a elementelor de fixare sculă și semifabricat, cota minimă Z de securitate la mișcări în avans rapid etc.

Ele nu sunt așa de generale ca și cele care nu utilizează SD, din cauză că trebuie create SD, dar odată create SD asociate, se pot folosi metodele acestora, care permit analizele enumerate.

6.5.1. Spiralele lui Billator

Contribuțiile autorului în domeniul fabricației cu viteză mare sunt transformările curbelor închise echirugozitate în spirale. Acestea au fost denumite "**Spiralele lui Billator**", după cyberporecla autorului, și sunt o familie specială de spirale, care se calculează printr-un morf continuu pe familia de curbe care se conțin una pe alta. În cazul în care există ramificații în arborele de curbe, se procedează recursiv la calcularea spiralelor lui Billator, pentru fiecare ramificație în parte. Acest tip special de frezare va fi conținut în exclusivitate în produsul EdgeCAM V4.0 și sunt în întregime generate de autor.

Ordinea operațiilor necesare pentru a transforma orice suprafață demulabilă în spirale continue, fără puncte de inflexiune, care sunt generate pentru a lăsa o rugozitate constantă (deci timpul de fabricație este minim, nu există suprafrezare, ca în cazul altor tipuri de frezări) este următoarea:

- ⇒ *se modelează reperul SDR;* (import, modelare etc);
- ⇒ *se calculează corecția de sculă SDC;*
- ⇒ *se transformă SDC în SDER* (echirugozitate);
- ⇒ *se filtrează,* pentru a înmuia colțurile și a rotunji curba de 3..10 ori;
- ⇒ *se secționează echipotențial* (se obține un set de curbe închise, în 90% din cazuri cu un singur maxim local - punct de colapsare);
- ⇒ *se ordonează toate curbele în același sens;*
- ⇒ *se rotește curbele până în punctul de start cel mai apropiat;*
- ⇒ *se aplică un morf continuu pe curbe*
- ⇒ *se proiectează curba rezultată pe SDC;*
- ⇒ *se exportă ca fișier NC curbele rezultante;*

De menționat că, pe parcursul lucrării, au fost atinse toate aceste metode, cu excepția celor de ordonare și rotire a curbelor pentru a avea punctul de start cât mai apropiat.

Se vor prezenta pentru prima oară, în pseudocod, aceste două metode:

```
NimicCurbă Rotește(Întreg nDeCâteOri)  rotește o curbă cu nDeCâteOri pași
{
  PentruFiecare(Întreg nI = 1; nI < nNr. nI++)
```

```

{
    PunctLa(nNr, 11);
    Șterge(1);
} PentruFiecare
} Rotește

```

Real Curbă.AriaCuSemn() *returnează aria cu semn pentru a detecta direcția*

```

{
    Real rAria = 0.0;
    Punct pStart = [1], pEnd;
    PentruFiecare(Întreg nI = 2; nI < nNr; nI++)
    {
        pEnd = [nI];
        rAria = rAria + (pEnd.rX - pStart.rX) * (pEnd.rY + pStart.rY);
    } //PentruFiecare
    return(rAria / 2.0);
} //AriaCuSemn

```

NimicCurbă.FăTrigonometric() *transformă o curbă în sens trigonometric*

```

{
    Dacă(AriaCuSemn > 0.0)
        SchimbăSensul();
} //FăTrigonometric

```

NimicCurbă.FăOrar() *transformă o curbă în sens orar*

```

{
    Dacă(AriaCuSemn < 0.0)
        SchimbăSensul();
} //FăOrar

```

NimicFamiliaDeCurbe.FăTrigonometric() *transformă curbele în sens trigonometric*

```

{
    Curbă c;
    PentruFiecare(Întreg nI = 1; nI < nNr; nI++)
    {
        c = [nI];
        c.FăTrigonometric();
    } //PentruFiecare
} //FăTrigonometric

```

NimicFamiliaDeCurbe.FăOrar() *transformă curbele în sens orar*

```

{
    Curbă c;
    PentruFiecare(Întreg nI = 1; nI < nNr; nI++)
    {
        c = [nI];
        c.FăOrar();
    } //PentruFiecare
} //FăOrar

```

NimicFamiliaDeCurbe.Rotește() *rotește curbele până au punctul de start minim*

```

{
    Curbă cStart, cEnd;
    cStart = [1];

    PentruFiecare(Întreg nI = 2; nI < nNr; nI++)

```



```

{
  cEnd = |nI|;
  pStart = cStart[1];
  Întreg nRotește = 0;
  Real rDist = 1e100;
  PentruFicare(Întreg nCurbă = 1; nCurbă < cEnd.nNr; nCurbă++)
  {
    pEnd = cEnd[nCurbă];
    if (DistXYZ(pStart, pEnd) < rDist)
    {
      rDist = DistXYZ(pStart, pEnd);
      nRotește = nCurbă;
    } //Dacă
  } //PentruFicare
  Rotește(nRotește);
  cStart = cEnd;
} //PentruFicare
} //Rotește

NimicFamiliaDeCurbe_Spirală(Întreg nPuncte = 100) //transformă curbele în spirale
{
  Curbă cStart, cEnd;
  cStart = [1];

  PentruFicare(Întreg nI = 2; nI < nNr; nI++)
  {
    cEnd = |nI|;
    PentruFicare(Întreg nT = 2; nT < nPuncte; nT++)
    {
      pStart = cStart.laDeLaT(nT/nPuncte);
      pEnd = cEnd.laDeLaT(nT/nPuncte);
      Add(pStart + (pEnd - pStart) * nT / nPuncte);
    } //PentruFicare
    cStart = cEnd;
  } //PentruFicare
} //Spirală

//transformă SDC în spirale
NimicSuprafațăDiscretă_SpiraleleLuiBillator(FamiliaDeCurbe fcOut, Real rStep = 1.0)
{
  SuprafațăDiscretă sdTemp;
  sdTemp.TransfEchirugozitate(sdAceasta, 255);
  sdTemp.Înmoaie(5); //face media celor patru vecini de 5 ori crește continuitatea
  sdTemp.CreazăToateCurbcele(fcOut, rStep);
  fcOut.FăOrar();
  fcOut.Rotește();
  fcOut.Spirală();
  ProiecteazăToateCurbcele(fcOut); //citește cota Z!
} //SpiraleleLuiBillator

```

Așa arată, în pseudocod, o versiune simplificată a calculului “Spiralelor lui Billator” (SLB), care suportă doar un singur maxim local pe SDER. De menționat că, rezolvarea cazurilor cu multiple maxime locale este o problemă destul de complicată, care necesită liste de incluziune locală și tehnici de “scanline”. Implementarea algoritmului care rezolvă toate cazurile necesită mai mult de 40 pagini de pseudocod.

Câteva repere transformate în SLB și frezate se pot observa în figurile următoare.

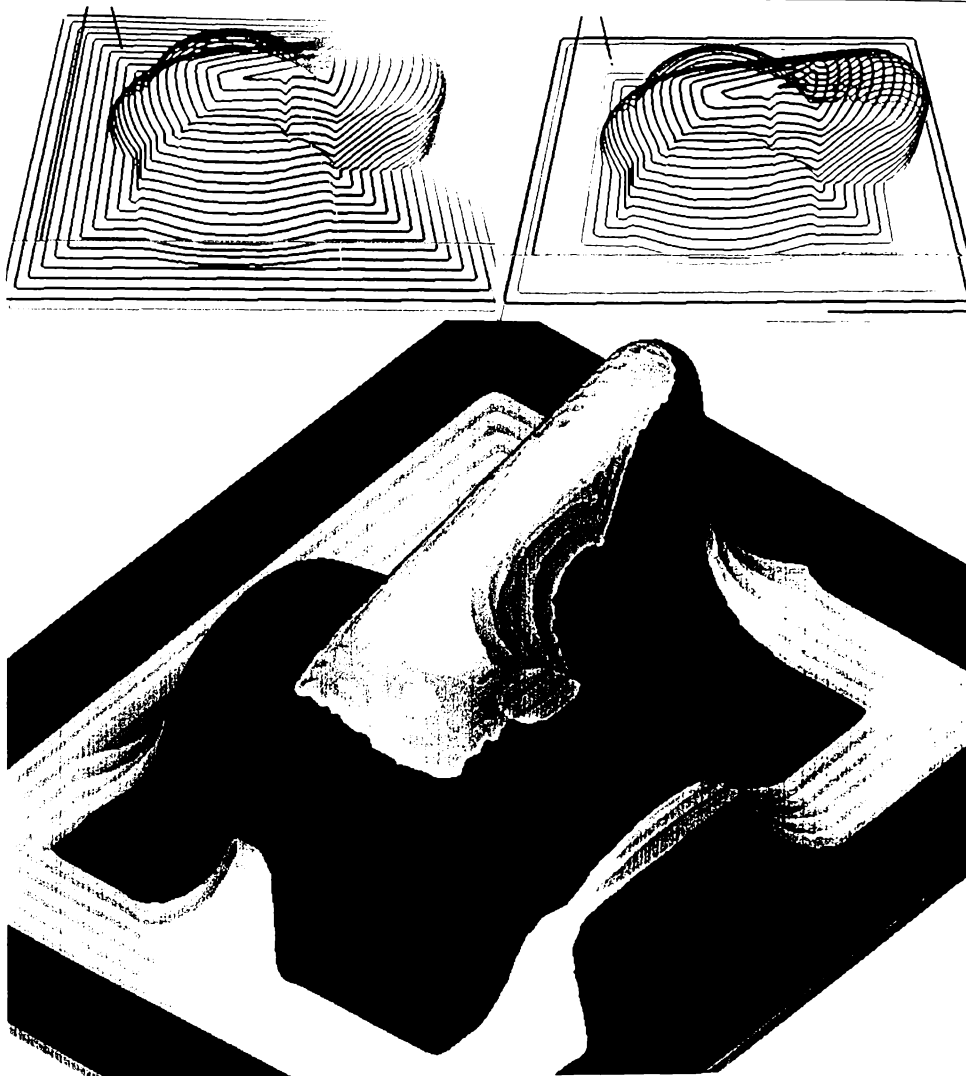


Figura 6.23 Un reper analizat în vederea frezării cu curbe echirugozitate.

- ⇒ curbele echirugozitate proiectate pe suprafața discretă corecție de sculă (SDCS);
- ⇒ curbele transformate într-o spirală continuă și proiectate pe SDCS (*Spirala lui Billator*);
- ⇒ simularea fișierului NC rezultat, cu varierea culoni din 5 în 5 spire.

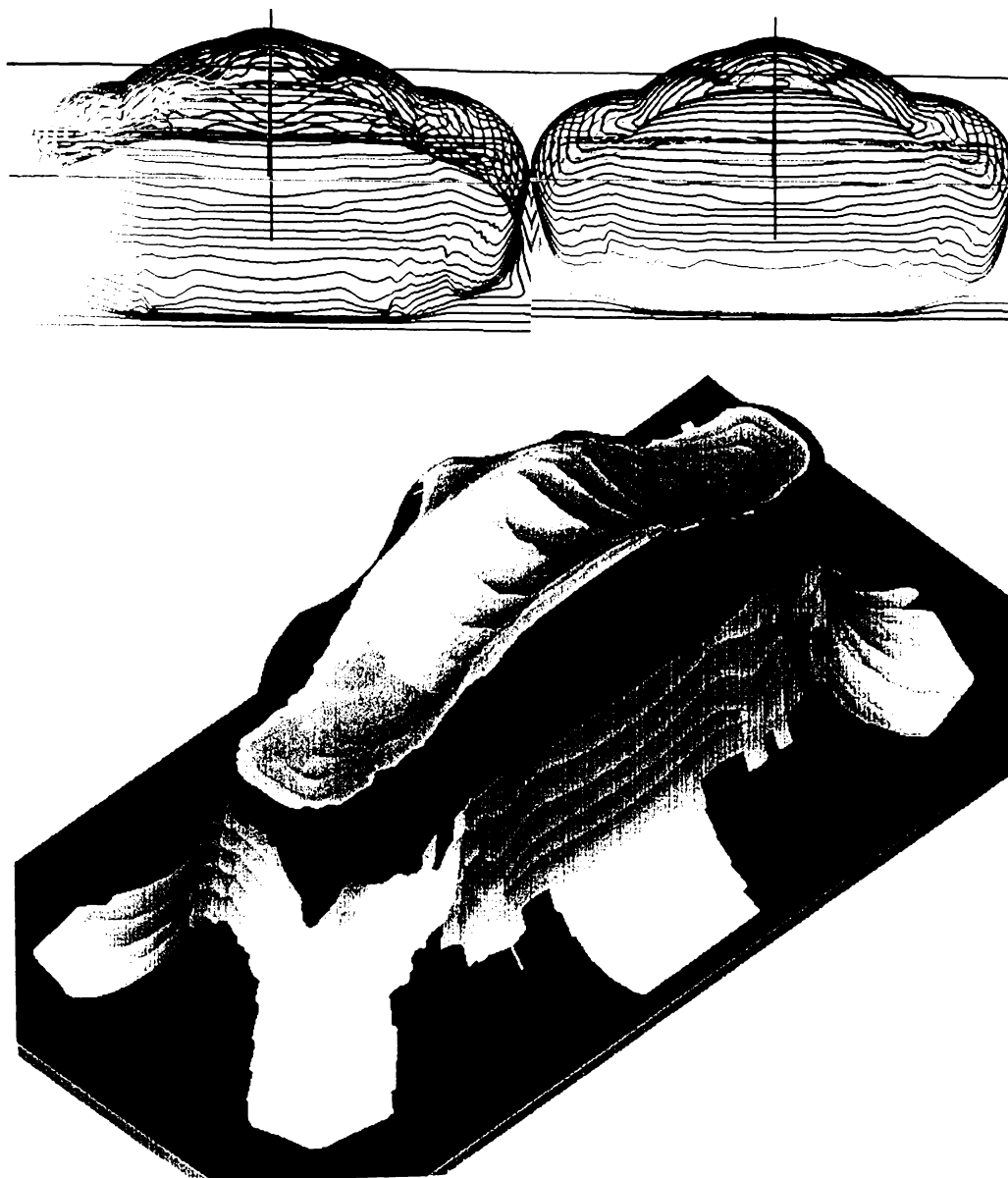


Figura 6.24 Un reper analizat în vederea frezării cu curbe echirugozitate.

- ⇒ curbele echirugozitate proiectate pe suprafața discretă corectie de sculă (SDCS);
- ⇒ curbele transformate într-o spirală continuă și proiectate pe SDCS (*Spirala lui Billator*);
- ⇒ simularea fișierului NC rezultat, cu varierea culorii din 5 în 5 spire.

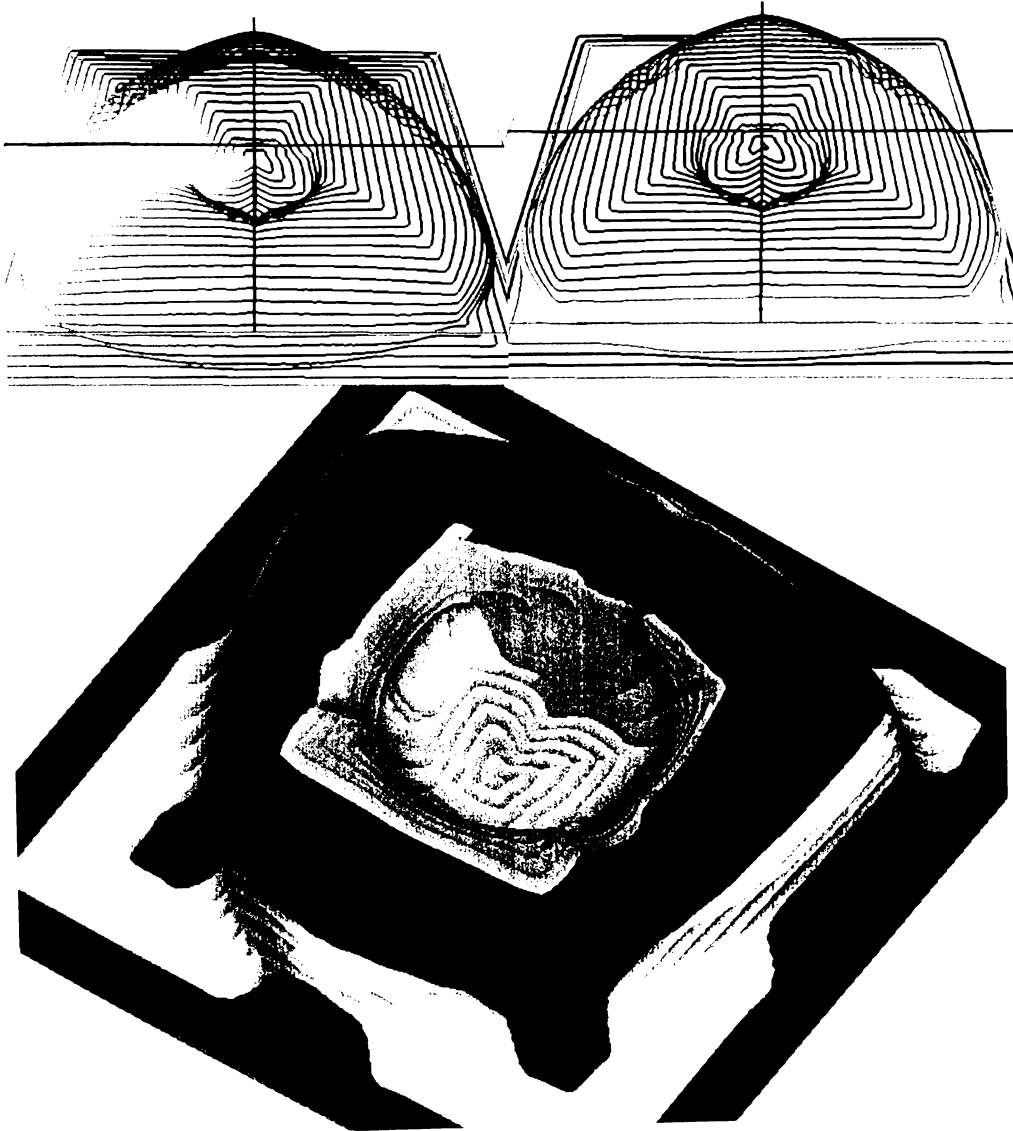


Figura 6.25 Un reper analizat în vederea frezării cu curbe echidistanțate.

- ⇒ curbele echidistanțate proiectate pe suprafața discretă corecție de scală (SDCS);
- ⇒ curbele transformate într-o spirală continuă și proiectate pe SDCS (Spirala lui Billator);
- ⇒ simularea fișierului NC rezultat, cu varierea culorii din 5 în 5 spire.

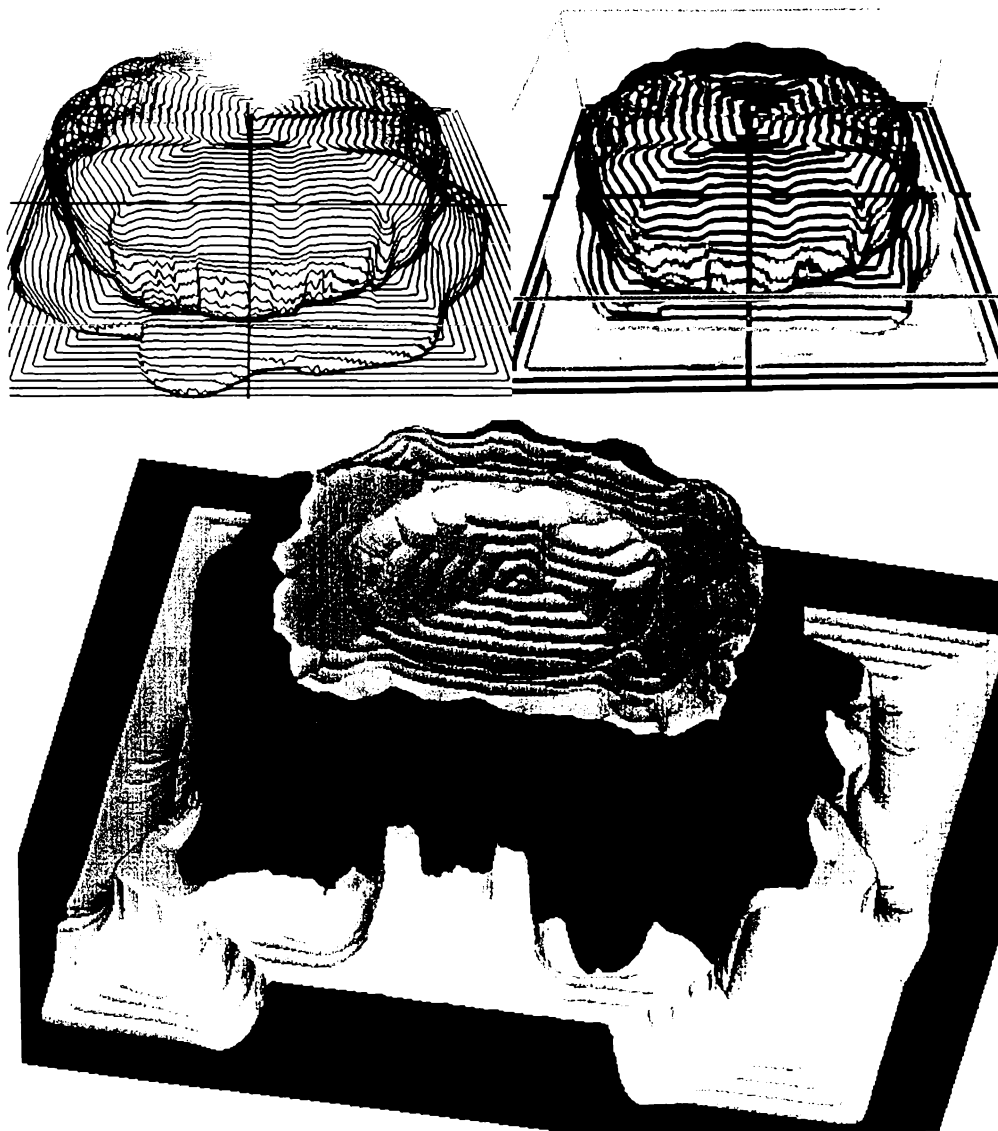


Figura 6.26 Un reper analizat în vederea frezării cu curbe echirugozitate.

- ⇒ curbele echirugozitate proiectate pe suprafața discretă corectie de sculă (SDCS);
- ⇒ curbele transformate într-o spirală continuă și proiectate pe SDCS (*Spirala lui Billator*);
- ⇒ simularea fișierului NC rezultat, cu varierea culorii din 5 în 5 spre.

Fiecare reper a fost prezentat în trei ipostaze: momentul în care a fost convertit în curbe echirugozitate ordonate și cu același sens (a), momentul în care a fost convertit în SLB (b), și

calitatea și distribuția rugozității, după ce a fost simulată o frezare cu fișierul NC generat din SLB (c).

6.5.2. Modul pseudoadaptiv cu SD

Modul pseudoadaptiv, în cazul în care se cunoaște SD, este mult mai realist, putându-se ști în fiecare moment cantitatea de material prelevată în direcție radială și transversală. Se pot rupe, spre exemplu, linii lungi în bucăți mici, în funcție de cantitatea de material prelevată, și se poate încetini ciclul, în oricare moment, pentru a preveni ruperea sculei etc.

Calculul de uzură a sculei se poate face foarte precis, cunoscându-se în fiecare moment cât material a fost frezat cu fiecare porțiune de pe generatoarea sculei.

Acest mod de a pilota scula, variind avansurile în timp real, duce la încărcări optime ale sculei și mașinii unelte, scăzând timpii de frezare și crescând calitatea suprafeței și viața MU, datorită reducerii șocurilor și vibrațiilor.

6.5.3. Detecția interferențelor

În cazul analizării frezării, în timp real, se poate cunoaște starea semifabricatului, putându-se detecta interferențe de tipul:

- ⇒ portsculă - semifabricat;
- ⇒ elemente de fixare - sculă;
- ⇒ portsculă - elemente de fixare;

În cazul în care se cunoaște și SDR se pot analiza, suplimentar, zonele în care suprafața a fost **distrusă** (fișier NC prost generat) sau zonele cu material nefrezat, analizând semnul SD, care reprezintă diferența dintre SD simulare și SDR.

Analiza frezării, în timp real, se poate face relativ simplu, cunoscând geometria fișierului NC și a sculei, folosind modul de punere PM_MIN a SD sculă (SDSC) în fiecare poziție, folosind un algoritm simplu de trasare a liniei într-un raster (Bresenham).

O figură capturată dintr-un sistem care simulează frezarea prin această tehnologie se poate observa în figura următoare (6.27).



Figura 6.27 Simularea solidă a frezării, cu NCVerify Sirius Technology

Alte beneficii imediate ale simulării în timp real a frezării sunt cele ale găsirii cu acuratețe a cotei Z minime, pentru mișcările cu avans rapid.

6.6. Optimizarea traseelor de sculă

În acest subcapitol va fi expusă ca metodă de optimizare generarea fișierului NC într-un singur ciclu, în cazul în care nu se doresc cicluri combinate pentru eliminarea zonelor critice.

De-a lungul vremii s-au încercat diferite metode de a scădea rugozitatea suprafețelor prelucrate. Astfel, în sistemele de fabricație actuale există o metodă de frezare cu pas variabil, în ciclurile clasice de frezare cu Z constant sau după o direcție în planul XY. Prin această metodă (fig. 6.29 a, b) se asigură o rugozitate constantă, într-un timp rezonabil, în general mai mic cu 10..90% din timpul necesar frezării suprafeței cu pasul cel mai mic, constant. Această metodă are însă un dezavantaj, acela de a suprafreza întreaga porțiune care nu este înclinată, lungind timpii teoretici cu 30..90%.

Autorul a încercat să elimine acest dezavantaj și a dezvoltat o metodă care rezolvă problema, crescând doar local numărul de treceri. Această metodă este relativ simplă și duce la scăderi ale timpului de frezare, cu 20...60% în comparație cu metoda clasică, cea cu pas dinamic.

Metoda descrisă a fost numită “cu pas inteligent” (smart step) și, în general, ea este doar cu 10..15% mai lungă decât cea teoretică, de frezare la rugozitate constantă !

Deci, sintetizând pentru o suprafață oarecare și o rugozitate dată, se poate afirma că timpii necesari frezării pentru diferite cicluri sunt proporționali cu următoarele valori:

Echirugozitate:	1.0
Pas inteligent:	1.10 .. 1.15
Pas dinamic:	1.6 .. 3.0
Fără variere de pas:	5.0 .. 20.0

Tab 6.1

Date sunt trasate după analiza unui set de peste 50 de repere discretizate.

La ora actuală, ciclurile de frezare “cu pas inteligent” sunt implementate doar în sistemele de fabricație **EdgeCAM V4.x**, **TechnoPack V2.x** (implementate de autor) și **HyperMill**, în ciclurile de colapsare a curbilor cu mulare pe suprafață.

Frezarea echidistantă cu pas inteligent (fig. 6.29 c, d) există doar în **TechnoPack V2.x** și se preconizează a fi introdusă și în **EdgeCAM V5.0**, fiind descoperită și implementată în exclusivitate de autor.

Dezvoltarea în pseudocod este destul de sofisticată și lungă, din acest considerent se va încerca doar o explicație sumară a metodei (care principal se apropie destul de mult de calculul zonelor critice la frezarea secțiunilor paralele în planul XY).

Se consideră, pentru orice mișcare elementară din traseul sculei, înclinația acesteia în direcție perpendiculară. Dacă aceasta este în intervalul 0...30° nu se execută nimic, dacă este în intervalul 30° ... 60° se activează un comutator **b2x** și se marchează punctul de start, iar dacă este mai mare de 60° se activează un alt comutator **b3x** și se marchează punctul de start.

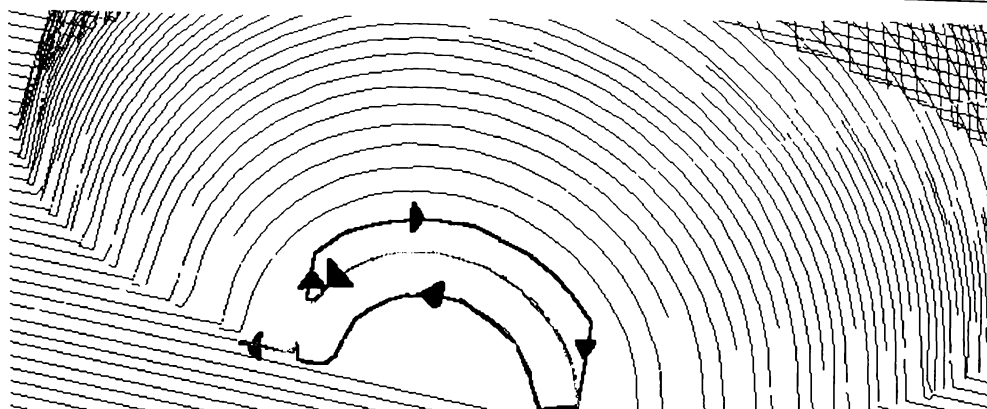


Figura 6.28 Dublarea / triplarea pasului, când înclinația devine mare.

În cazul în care se schimbă un interval $0^\circ - 30^\circ - 60^\circ - 90^\circ$, și unul din comutatoarele b2x sau b3x este activat, se execută o înjumătățire (sau o treime) a pasului și se face o buclă, ca în figura următoare.

NOTĂ: Mișcare elementară înseamnă că fiecare segment de dreaptă este mai mic, spre exemplu de 1 mm. Unghiurile de 30° , 60° sunt orientative.

O simulare solidă este prezentată în figura 6.28, în care se poate observa (relativ) rugozitatea constantă.

Avantajul frezării cu dublarea sau triplarea pasului este acela că se poate implementa relativ ușor, nefiind necesar un modul de suprafețe discrete, utilizându-se codul existent pentru ciclurile echidistante; urmărind tabelul 6.1 se poate observa că timpii, în general, sunt foarte apropiați de frezarea teoretică la rugozitate constantă (fiind, în urma unui studiu efectuat pe peste 20 de repere doar cu 10..15 % mai mari !), care necesită însă calcule relativ complexe.

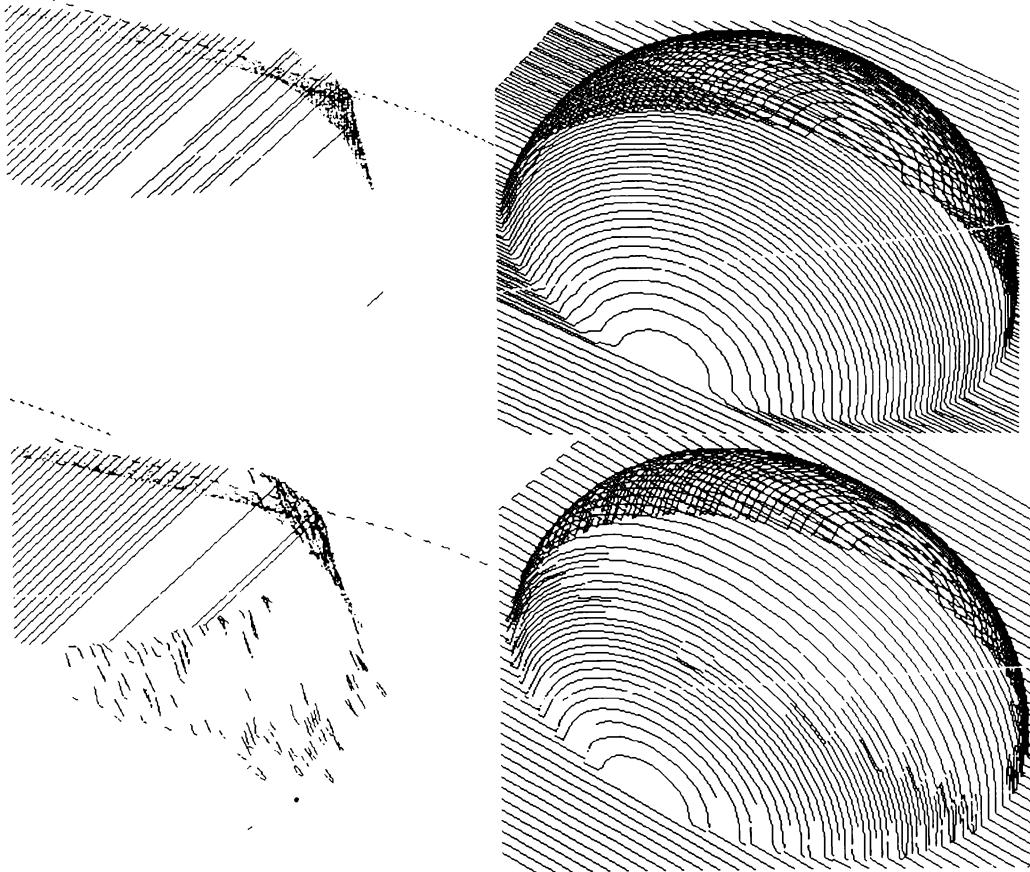


Figura 6.29 Trasee de sculă cu varierea pasului
a, b) dinamic, pe toată lungimea;
c, d) inteligent, doar în locurile unde este necesar.

6.7. Calculul rețelelor de difracție

Rețelele de difracție își găsesc utilitatea, în particular, pentru realizarea elementelor optice și, în general, în orice altă metodă de a grava. Rețele de difracție au rolul de a crea lumină difuză din lumină directă. Această metodă are aplicație la realizarea farurilor din spate de la autovehicole, unde nu este permisă transmiterea luminii directe.

Problema se pune în felul următor: se cere a genera o rețea patrulateră care să acopere o suprafață complexă, și care să aibă celulele relativ egale. Este clar că nu se poate genera o rețea patrulateră perfect echidistanțată care să acopere orice suprafață și să aibă celule egale, scopul este doar estetic ca celulele să fie relativ armonios poziționate, considerentele funcționale fiind realizate deja de prezența “bulinelor” din nodurile rețelei.

În acest domeniu, autorul a încercat să proiecteze o metodă generală de “bulinare”, cu care, dându-se o suprafață complexă și două curbe de ghidare, să se umple suprafața cu o rețea cât mai uniformă.

Algoritmul poate fi sintetizat în felul următor:

- ⇒ se dau două curbe, o SD și o rază a bulinei, doi pași de parcurgere pentru cele două curbe;
- ⇒ se calculează SDCS cu o sculă sferică cu raza egală cu raza bulinei;
- ⇒ se mulează o curbă pe SDCR (curba directoare);
- ⇒ se multiplică cealaltă curbă și se aplică pe curba directoare (curbele generatoare);
- ⇒ se mulează pe SDCR curbele generatoare;
- ⇒ se parcurg generatoarele, începând de la intersecția lor cu curba directoare, cu pasul curbei generatoare constant, spre stânga și spre dreapta;
- ⇒ se parcurge în zig-zag rețeaua de puncte rezultantă și se creează fișierul NC.

Cele enumerate pot fi observate în figura următoare.

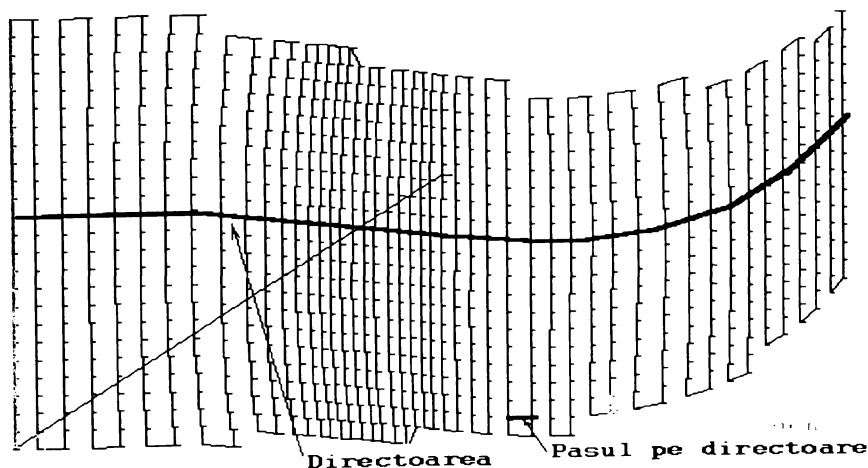


Figura 6.30 Concepte introductive pentru realizarea rețelei de difracție.

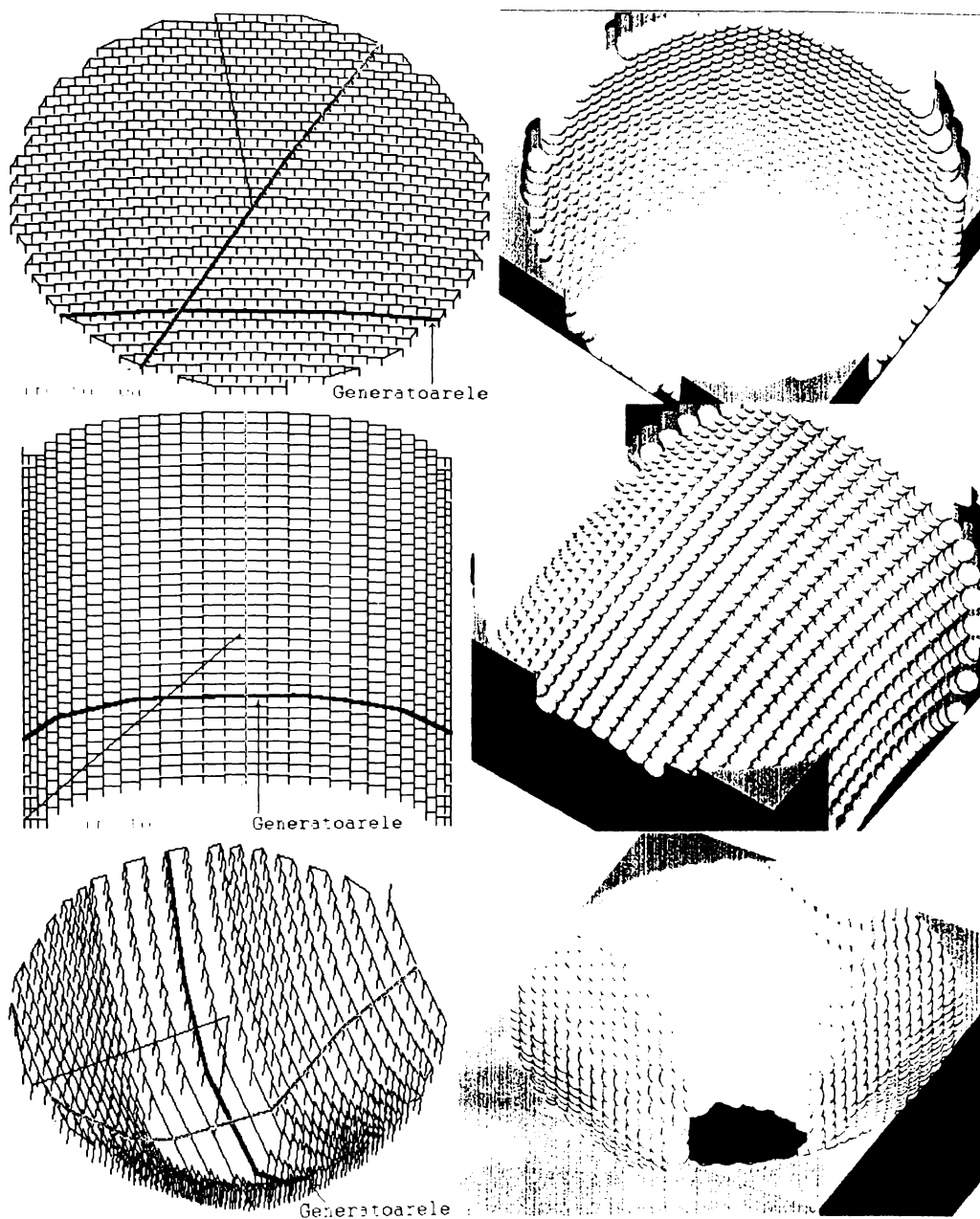


Figura 6.31 Trei seturi de curbe necesare realizării rețelei de difracție, pentru trei repere practice. Coloana a II-a reprezintă calitatea și amplasamentul fiecărei buline.

Algoritmul în pseudocod este destul de lung și nu va fi expus. Din exemplificare se poate observa că toți algoritmi implicați au fost expuși. Se vor prezenta, în continuare, trei exemple reale executate de autor la SC ELBA SA, care reprezintă:

a și b - un far de bicicletă, în care cele două curbe sunt drepte, unghiul dintre ele este de 60° , iar pasul este egal pe cele două direcții, curbele fiind tăiate după un cerc, în XY;

c și d - o suprafață mai complexă, în care se propune o rețea rectangulară cu laturi inegale, pe o suprafață cu curvaturile variabile în cele două direcții de frezare;

e și f - un reper teoretic, complex, cu schimbări rapide de curvatură (discontinuități ale derivatei întâi), rețea rectangulară în mască; curbele sunt tăiate după două cercuri concentrice.

Timpii de frezare au fost sub o oră, pentru fiecare reper, o reducere semnificativă, luând în considerare că, practic la o singură suprafață, prin metodele normale, se lucra **manual** (neexistând un aparat matematic) mai mult de o lună (într-un schimb), iar calitatea rețelei a fost mult superioară în algoritmul prezentat. Ultima suprafață este aproape de realizat manual.

Pentru a putea analiza calitatea rețelei obținute au fost simulate cele două fișiere și au fost prezentate în figura 6.31, c și d.

6.8. Metode de vizualizare a curbelor

Acest subcapitol se va ocupa, în excusivitate, cu diferite metode de a vizualiza, în general, orice curbă sau familie de curbe, în particular, trasee de sculă. Necesitatea vizualizării curbelor (traseelor de sculă) în diferite culori a fost multă vreme una din dorințele nesatisfăcute ale utilizatorilor de sisteme de fabricație, care și-au dorit un mod de reprezentare a acestora într-o manieră cât mai ușor și rapid de interpretat. Această necesitate a fost observată de către autor la începutul anilor '90, și rafinată pe parcurs. Multe din aceste metode folosesc paleta standard de analiză spectrală (curcubeul), începutul fiind reprezentat de albastru, mijlocul de verde și sfârșitul de roșu. De-a lungul lucrării au fost folosite, fără explicații, diferite metode de a reprezenta curbele. Acestea ar putea fi sortate în această ordine:

- ⇒ toate traseele specifice unei scule sunt desenate într-o culoare (tehnică uzuală sistemelor de fabricație actuale);
- ⇒ fiecare traseu de sculă este desenat în paleta spectrală - pentru a ne forma o idee despre începutul, ordinea și sfârșitul unui ciclu;
- ⇒ fiecare traseu de sculă care începe cu o mișcare de lucru este desenat în paleta spectrală - pentru a ne forma o idee despre începutul, ordinea și sfârșitul fiecărui traseu elementar dintr-un ciclu (util pentru spiralizări, analize de rugozitate);
- ⇒ curbele sunt desenate în degradé în paleta spectrală, folosind ca parametru axa X, Z, Y sau variația unui alt parametru: unghiul de variație al normalei, eforturile radiale, longitudinale, mixte, materialul nefrezat, rugozitatea etc., normale în [0...1];

Suplimentar se poate schimba culoarea (sau numai intensitatea nuanței respective), obținându-se informații despre cantitatea de vectori din curba respectivă (toleranță, ștergerea punctelor coliniare, curvatură etc.).

Un exemplu complex, în care s-au utilizat câteva din tehnicile expuse de reprezentare a variației rugozității (albastru - bună, verde, roșu - critică), compensarea acesteia printr-un ciclu inteligent de frezare și cantitatea de vectori (varierea intensității în noduri) poate fi observată pe următorul reper (un om de ciocolată pentru Crăciun), scanat cu un scanner laser în Germania, care a fost procesat numai folosind algoritmi prezentați de-a lungul tezei.

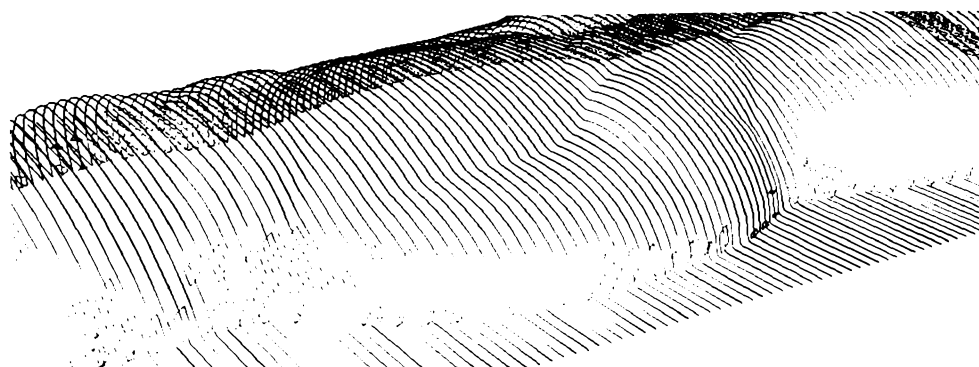


Figura 6.32 Reper într-o reprezentare complexă.

Alte exemple de reprezentare, mai simple, se pot observa în figurile următoare.

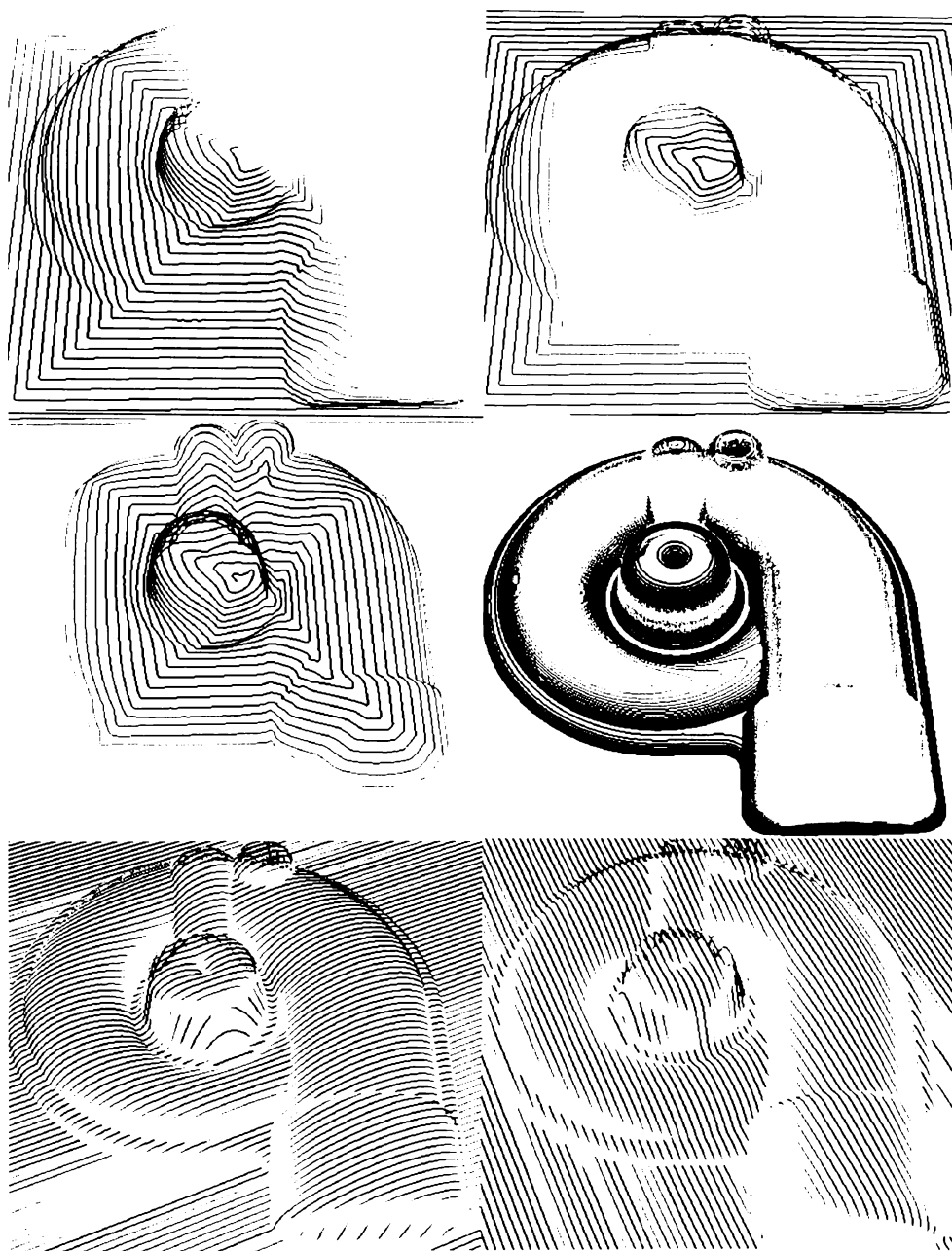


Figura 6.33 Câteva metode de vizualizare a curbelor. a) pentru fiecare curbă; b, c) toată familia desenată în degradé; d) degradé variind axa Z; e, f) degradé după rugozitatea obținută

6.9. Concepte introduse

```

Clasa SuprafațăDiscretă DerivatăDin BazăDiscretă
{
//Concepte introduse în celelalte capitole

Nimic TransfDetectPtZ(SuprafațăDiscretă sdAnaliză);
Nimic DetectăCurbeleZ(FamiliaDeCurbe fcOut, Real rStep = 1.0);

Nimic TransfDetecteazăPentruPlanulXY(SuprafațăDiscretă sdAnaliză, Real rUnghi = 45.0);
Nimic DetecteazăCurbeleInXY(FamiliaDeCurbe fcOut, Real rStep = 1.0, rUnghi = 45.0);

Nimic TransfDetecteazăSuprafațaPlană(SuprafațăDiscretă sdAnaliză);
Nimic DetecteazăSuprafațaPlană(FamiliaDeCurbe fcOut, Real rPentruZ = 45.0);

Nimic TransfEchirugozitate(SuprafațăDiscretă sdAnaliză, Întreg nMetoda);
Nimic DetectăEchirugozitate(FamiliaDeCurbe fcOut, Întreg nMetoda = ct_nEchirugozitateXY, Real rPasul = 1.0);
Nimic TransfNefrezabil(SuprafațăDiscretă sdNefrezabil, Întreg nMetoda);
Nimic DetectăNefrezabil(FamiliaDeCurbe fcNefrezabil, SuprafațăDiscretă sdReper, sdSculaAnal, sdSculaMică,
Boolean bDetectPlan = FALS);

Nimic SpiraleleLuiBillator(FamiliaDeCurbe fcOut, Real rStep = 1.0); //transformă SIDC' în spirale
} //SuprafațăDiscretă

Clasa Curbă DerivatăDin BazăVectorială
{
//Concepte introduse în celelalte capitole

Nimic Rotește(Întreg nDeCâteOri); //rotește o curbă cu nDeCâteOri
Real AriaCuSemn(); //returnează aria cu semn pentru a detecta direcția
Nimic FăTrigonometric(); //transformă o curbă în sens trigonometric
Nimic FăOrar(); //transformă o curbă în sens orar
} //Curbă

Clasa FamiliaDeCurbe DerivatăDin BazăVectorială
{
//Concepte introduse în celelalte capitole

Nimic OptimizeazăFHTSP(Întreg nRezolvăComplet = 40);
Nimic FăTrigonometric(); transformă curbele în sens
Nimic FăOrar(); transformă curbele în sens orar
Nimic Rotește(); rotește curbele până au punctul de start minim
Nimic Spirală(Întreg nPuncte = 100); transformă curbele în spirale
} FamiliaDeCurbe

```


6.10. Concluzii

În acest capitol, intitulat “Metode de analiză și optimizare”, s-a încercat să se cuprindă câteva dintre cele mai importante aspecte legate de analiza și generarea optimizată a codului NC pentru fabricarea suprafețelor discrete pe MUCN, precum și câteva tehnici de verificare și simulare.

Cum toate *optimizările, generările de cod NC, verificările și simulările* sunt tehnici și metode de *analiză*, în mod natural ele și-au găsit locul în acest capitol. S-a preferat gruparea tuturor la un loc, deoarece între multe dintre acestea există o interdependență ascunsă (d.p.d.v. matematic) și se consideră că după expunerea capitolului, sortată din punct de vedere logic, al complexității și asemănării aparatelor matematice, se poate observa asemănarea unor tehnici de *analiză* a suprafeței (*zone plane, material nefrezat etc.*) cu tehnicile de *generare a codului NC* (*echidistante, echirugozitate etc.*). Tehnicile de *verificare* sunt aceleași, într-o foarte mare proporție, cu cele de *simulare*.

Cum lucrarea are un caracter primordial de sinteză, s-a încercat gruparea logică, matematică, în detrimentul celei funcționale, nedorindu-se pierderea relației dintre tehnicile de analiză.

În acest capitol s-au introdus și expus trei mari aspecte ale analizei: *metode de analiză a SD și generarea optimizată de cod NC*, câteva *optimizări posibile ale codului NC în cazul traseelor echidistante* și *calculul rețelei de difracție pentru elementele optice*.

S-au prezentat, în premieră, câteva metode noi, precum:

- ⇒ *calculul zonelor plane;*
- ⇒ *calculul zonelor critice la frezarea secțiunilor paralele în planul XY;*
- ⇒ *calculul materialului nefrezabil;*
- ⇒ *calculul curbelor de egală rugozitate;*
- ⇒ *metode pseudoadaptive de variere a avansului și corecției de uzură în timp real;*
- ⇒ *minimizarea mișcărilor în avans rapid;*
- ⇒ *spiralele lui Billator;*
- ⇒ *o metodă nouă de optimizare a traseelor echidistante, prin dublarea sau triplarea locală;*
- ⇒ *o metodă de rezolvare a rețelelor de difracție;*

Pe lângă prezentarea contribuțiilor autorul au fost expuse și câteva metode clasice de generare de cod, considerându-se ca elemente de noutate metodele de generare ale lor (*curbelor echidistante în XY și Z*) utilizând SD în acest domeniu.

Alte concepte, care sunt enumerate și exemplificate pe parcursul capitolului, cum ar fi: *interpolările superioare, eliminarea punctelor de inflexiune, eliminarea punctelor coliniare* au fost expuse doar cu scopul secundar de a da consistență și calitate unei eventuale generări de cod NC.

7. Concepte introduse

```

//----- Clasele utilizate pe parcursul lucrării -----
//Clasa int utilizată pentru operațiile cu numere întregi
//prefix Variabile: n
Clasa Întreg
{
  operator +, -, *, /, %, |, %, <, >, >=, <=, =, +=, -=, *=, /=, &=, |=, %=, &I, SAU, %%, I, min, max; //operatorii și
  conversiile din tipul real
  Nimic Min (Întreg nA, nB); //întoarce minimul dintre valorile nA și nB
  Nimic Max (Întreg nA, nB); //întoarce maximul dintre valorile nA și nB
  Nimic Abs (Întreg nA); //întoarce valoarea absolută
} //EndInt

//funcții prietene
Întreg Min (Întreg nA, nB); //întoarce minimul dintre valorile nA și nB
Întreg Max (Întreg nA, nB); //întoarce maximul dintre valorile nA și nB
Întreg Abs (Întreg nA); //întoarce valoarea absolută

//Clasa bool utilizată pentru operațiile logice
//prefix Variabile: b
Clasa Boolean DerivatăDin Întreg
{} //Boolean

//Clasa real utilizată pentru operațiile cu numere reale
//prefix Variabile: r
Clasa Real
{
  //operatorii
  operator +, -, *, /, +=, -=, *=, /=, <, >, <=, >=, =, !=;

  //funcții membru
  Nimic Min (Real rA, rB); //întoarce minimul dintre valorile rA și rB
  Nimic Max (Real rA, rB); //întoarce maximul dintre valorile rA și rB
  Nimic Morf(Real rA, rB, rP = 0.5); //întoarce rA * rP + rB * (1.0 - rP)
  Nimic Abs (Real rA); //întoarce valoarea absolută

  Nimic RotX(Punct pRot, Real rUnghiDeg); //rotația în jurul lui X
  Nimic RotY(Punct pRot, Real rUnghiDeg); //rotația în jurul lui Y
  Nimic RotZ(Punct pRot, Real rUnghiDeg); //rotația în jurul lui Z
  Nimic Scalare(Punct pScalare, Real rFactorScalare); //scalarea față de un punct
  Nimic Translație(Real rTranslație); //scalarea față de un punct
  //suplimentar se pot introduce orice funcții matematice Ex sin, cos, etc!!
} //Real

//funcții prietene
Real Min (Real rA, rB); //întoarce minimul dintre valorile rA și rB
Real Max (Real rA, rB); //întoarce maximul dintre valorile rA și rB
Real Morf(Real rA, rB, rP = 0.5); //întoarce rA * rP + rB * (1.0 - rP)
Real Abs (Real rA); //întoarce valoarea absolută
Real RotX(Punct pRot, Real rUnghiDeg); //rotația în jurul lui X
Real RotY(Punct pRot, Real rUnghiDeg); //rotația în jurul lui Y
Real RotZ(Punct pRot, Real rUnghiDeg); //rotația în jurul lui Z
Real Scalare(Punct pScalare, Real rFactorScalare); //scalarea față de un punct
Real Translație(Real rTranslație); //scalarea față de un punct

//Clasa punct utilizată pentru operațiile cu curbe și plase
//prefix Variabile: p

```

```

Clasa Punct
{
//variabile locale
  Real rX, rY, rZ; //coordonatele punctului în R3

//operatorii
  operator +, -, *, /, =, ==, +=, -=, *=, /=, min, max, morf.

//toate funcțiile următoare suportă orice combinație de puncte și reali !!
  Nimic Min(Punct pA, pB); //întoarce minimul dintre valorile pA și pB
  Nimic Max(Punct pA, pB); //întoarce maximul dintre valorile pA și pB
  Nimic Morf(Punct pA, pB, pP = 0.5); //întoarce pA * pP + pB * (1.0 - pP)
  Nimic Abs(Punct pA); //întoarce valoarea absolută

  Nimic RotX(Punct pRot, Real rUnghiDeg); //rotația în jurul lui X
  Nimic RotY(Punct pRot, Real rUnghiDeg); //rotația în jurul lui Y
  Nimic RotZ(Punct pRot, Real rUnghiDeg); //rotația în jurul lui Z
  Nimic Scalare(Punct pScalare, Real rFactorScalare); //scalarea față de un punct
  Nimic Translație(Punct pTranslație); //scalarea față de un punct

//suplimentar se pot introduce orice funcții matematice Ex sin, cos, etc!!
} //Punct

//funcții prietene
Punct Min(Punct pA, pB); //întoarce minimul dintre valorile pA și pB
Punct Max(Punct pA, pB); //întoarce maximul dintre valorile pA și pB
Punct Morf(Punct pA, pB, pP = 0.5); //întoarce pA * pP + pB * (1.0 - pP)
Punct Abs(Punct pA); //întoarce valoarea absolută

Punct RotX(Punct p, pRot, Real rUnghiDeg); //rotația în jurul lui X
Punct RotY(Punct p, pRot, Real rUnghiDeg); //rotația în jurul lui Y
Punct RotZ(Punct p, pRot, Real rUnghiDeg); //rotația în jurul lui Z
Punct Scalare(Punct p, pScalare, Real rFactorScalare); //scalarea față de un punct
Punct Translație(Punct p, pTranslație); //scalarea față de un punct

//Clasa BazăVectorial utilizată pentru operațiile cu curbe și plase în spațiu
//prefix Variabile: bv
Clasa BazăVectorial
{
  Punct pMin; //dreptunghiul înconjurător punctul de start
  Punct pMax; //dreptunghiul înconjurător punctul de sfârșit
  Punct pDif; //pMax - pMin
} //BazăVectorial

//Clasa curbă utilizată pentru operațiile cu curbe
//prefix Variabile: c
Clasa Curbă DerivatăDin BazăVectorial
{
//variabile locale
  Întreg nNr; //numărul de puncte (vertex) în R3

metode
  Punct OperatorI(Întreg nNr); //întoarce punctul numărul nNr [1..nMax]
  Punct OperatorII(Real rT); //întoarce punctul normând curba rT [0.0..1.0]
  Punct OperatorIII(Întreg nNr, Real rT); //întoarce punctul normând elementul nNr
  Nimic PunctLa(Întreg nNr, Punct p); //setează punctul numărul nNr [1..nMax]
  Punct Add(Punct p); //adună un punct
  Punct Del(Întreg nNr); //șterge punctul numărul nNr [1..nMax]
  Punct Add(Întreg nNr, Curbă c); //adună o curbă la poziția dată de nNr
  Punct Add(Curbă c); //adună o curbă la sfârșit
}

```

```

Nimic SchimbăSensul(); //schimbă sensul de parcurgere al curbei
Nimic FăTrigonometric(); //face sensul de parcurs al curbei în sens trig.
Nimic FăOrar(); //face sensul de parcurs al curbei în sens orar.
Boolean EsteInSensTrig(); //întoarce ADEVĂRAT dacă toate sunt în sens trig.
Boolean EsteInSensOrar(); //întoarce ADEVĂRAT dacă toate sunt în sens orar
Boolean EsteInchisă(); //întoarce ADEVĂRAT dacă toate sunt închise

Nimic Roteste(Întreg nDeCâteOri) //rotește o curbă cu nDeCâteOri
Real AriaCuSemn() //returnează aria cu semn pentru a detecta direcția
} //Curbă

//Clasa plasă utilizată pentru operațiile cu suprafețe
//prefix Variabile: l
Clasa Plasă Derivată Din Bază Vectorial
Punct Operator[] (Întreg nU, nV); //întoarce pt. nU=[1..nNrU], nV=[1..nNrV]
Punct IaDeLaUV(Real rU, rV); //întoarce normând plasa rU,rV = [0.0..1.0]
Curbă IaDeLaXY(Real rX, rY); //proiectează și returnează o listă cu pt.
Punct Operator[] (Întreg nU, nV, Real rU, rV); //normează elem. nU, nV
Nimic PuneLa(Întreg nU, nV, Punct p); //setează punctul de la nU, nV
Nimic SchimbăSensul(Boolean bU, bV); //schimbă sensul de parcurgere al plasei

FamiliaDeCurbe IaDeLaXY(Întreg nPlasa, Real rX, rY); //proiectează și returnează o listă
FamiliaDeCurbe IaDeLaU(Real rV); //convertește în curbă pt rV
FamiliaDeCurbe IaDeLaV(Real rU); //convertește în curbă pt rU
FamiliaDeCurbe IaDeLaX(Real rX); //convertește în curbă pt rX
FamiliaDeCurbe IaDeLaY(Real rY); //convertește în curbă pt rY
FamiliaDeCurbe IaDeLaZ(Real rZ); //convertește în curbă pt rZ

Real Aria(); //calculează aria
Real LungimeaU(Real rV); //lungimea la în dir U la v = rV
Real LungimeaV(Real rU); //lungimea la în dir V la u = rU
Real LungimeaMaxU(); //lungimea maximă în dir U
Real LungimeaMaxV(); //lungimea maximă în dir V
} //Plasă

//Clasa de bază pentru suprafețele discrete de tip real și mască
//prefix Variabile: bd
Clasa Bază Discret Derivată Din Bază Vectorial
{
    Întreg nX; //numărul de puncte din matrice în direcția X
    Întreg nY; //numărul de puncte din matrice în direcția Y
    Real rStep; //pasul reprezentării

    Real IndexInRealPtX(Întreg nX); //conversia din index în real pe X
    Real IndexInRealPtY(Întreg nY); //conversia din index în real pe Y
    Întreg RealInIndexPtX(Real rX); //conversia din real în index pe X
    Întreg RealInIndexPtY(Real rY); //conversia din real în index pe Y
} //BazăDiscret

Clasa Mască
prefix m
Clasa Mască Discretă Derivată Din Bază Discret
{
    operator &, |, -, &=, |=, -=, |=;

    citire scriere date
    Nimic PuneLa(Întreg nX, Întreg nY, Boolean bVal, Întreg nMetoda = PM_NONE); //pune un bool inteligent
    Boolean Operator[] (Întreg nX, Întreg nY); //citește un bool
    Nimic PuneLa(Real rX, Real rY, Boolean bVal, Întreg nMetoda = PM_NONE); //pune un punct

```

```

Boolean Operator[(Real rX, Real rY); //citește un bool
Nimic PuneLaAll(Boolean); //setează toată suprafața
Nimic Revert(); //schimbă toate valorile
} //MascăDiscretă

//Clasa suprafața discretă
//prefix s
Clasa SuprafațăDiscretă DerivatăDin BazăDiscret
{
  MascăDiscretă m; //masca asociată

  operator +, -, *, /, +=, -=, *=, /=, =, MAX, MIN, ADD, SUB, MULTIPLY, DIVIDE, MORPH, FILSUS, FILJOS,
  ECDSUS, ECDJOS;

  //citire scriere date
  Nimic PuneLa(Întreg nX, Întreg nY, Real rVal, Întreg nMetoda = PM_NONE, Real rMorph = 0.5);
  Nimic PuneLa(Real rX, Real rY, Real rVal, Întreg nMetoda = PM_NONE, Real rMorph = 0.5);
  Real Operator[] (Întreg nX, Întreg nY); //citește un punct
  Real Operator[] (Real rX, Real rY); //citește un punct
  Nimic PuneLaAll(Real rValoare); //seteaza toată suprafața

  Nimic Combină(SuprafațăDiscretă sdComb, Întreg nModulDePunere = PM_NONE, Boolean bTotal =
  ADEVĂRAT);
  Nimic PuneLaOrizontal(Real rValoare, Întreg nModulDePunere = PM_NONE, Boolean bTotal = ADEVĂRAT);
  Nimic PuneLaPlan3P(Punctp1, p2, p3, Întreg nModulDePunere = PM_NONE, Boolean bTotal = ADEVĂRAT);
  Nimic PuneLaFuncție(SetDeCaractere strFuncția, Întreg nModulDePunere = PM_NONE, Boolean bTotal =
  ADEVĂRAT);

  Nimic PuneLaInterpolareXDir(SuprafațăDiscretă sdSecțiuni, Întreg nOrdinCurbei= 1, Întreg nModulDePunere =
  PM_NONE, Boolean bTotal = ADEVĂRAT);
  Nimic PuneLaInterpolareYDir(SuprafațăDiscretă sdSecțiuni, Întreg nOrdinCurbei= 1, Întreg nModulDePunere =
  PM_NONE, Boolean bTotal = ADEVĂRAT);

  Nimic InterpoleazăPrinPuncte(Curbă cListaCuPuncte, FamiliaDeReali lrListaCuPonderi, FamiliaDeCurbe
  fcAlteCurbe, FamiliaDeReali frPonderiPtCurbe, FamiliaDeReali frPașiiPtCurbe, Real rRigiditatea);

  Nimic InitCapDeSculă(Curbă cCapDeSculă, Real rPas);
  Nimic InitÎnfășurătoareStatic(SuprafațăDiscretă sdSupafața, sdSculă, Boolean bDirecțiaSus, bTotal);
  Nimic InitRacordareStatic(SuprafațăDiscretă sdSupafața, sdSculă, Boolean bDirecțiaSus, bTotal);
  Nimic InitÎnfășurătoareDinamic(SuprafațăDiscretă sdSupafața, sdScalare, sdSculă, Boolean bDirecțiaSus,
  Boolean bTotal);
  Nimic InitRacordareDinamic(SuprafațăDiscretă sdSupafața, sdScalare, sdSculă, Boolean bDirecțiaSus, Boolean
  bTotal);
  Nimic InitPlasă(CPLasa lIn); //importul unei plase
  Nimic InitPlase(FamiliaDePlase flIn); //importul unei liste cu plase

  Nimic PuneLaSuprafațaSuperioară(SuprafațăSuperioară sS, Real rUStep, rVStep);
  Nimic PuneLaSuprafețeSuperioare(FamiliaDeSuprafețeSuperioare fsFS);

  //conversii și protecții
  Nimic CreazăCurbe(FamiliaDeCurbe fcOut, Real rPentruZ);
  Nimic CreazăToateCurbcle(FamiliaDeCurbe fcOut, Real rZStep = 1.0, Boolean bAuto = ADEVĂRAT, Real
  rZStart, rZEnd);

  Nimic ProiecteazăCurbă(Curbă cProiectează);
  Nimic ProiecteazăCurbe(FamiliaDeCurbe fcProiectează);

  Nimic ProiecteazăCurbă(Curbă cProiectează, Real rPas = 0.1); //cu pas constant
  Nimic ProiecteazăCurbe(FamiliaDeCurbe fcProiectează, Real rPas = 0.1); //pas ct

  Nimic ExportDXF(Întreg nCuloare = 15, SetDeCaractere strLayer = "SD ieșire")

```

```

//câteva filtre
Întreg CreazăMască2();
Întreg CreazăMască3();
Întreg CreazăMască4();
Întreg CreazăMască(Întreg nMaxPuncte);

Întreg CreazăValoare2(Real rZ);
Întreg CreazăValoare3(Real rZ);
Întreg CreazăValoare4(Real rZ);
Întreg CreazăValoare(Întreg nMaxPuncte, Real rZ);

Întreg DistrugeMască2();
Întreg DistrugeMască3();
Întreg DistrugeMască4();
Întreg DistrugeMască(Întreg nMaxPuncte);

Întreg DistrugeValoare2(Real rZ);
Întreg DistrugeValoare3(Real rZ);
Întreg DistrugeValoare4(Real rZ);
Întreg DistrugeValoare(Întreg nMaxPuncte, Real rZ);

//Metode utilizate de automatul neuronal la importul familiilor de Supr. sup.
Nimic InitPuneLaR();
Nimic DonePuneLaR();
Nimic PuneLaR(PunctpP, Real rTaieSus = 2.0); //antrenează cei patru vecini

//transformări, analize și optimizări ale generării de fișier NC
Nimic TransfDetectPtZ(SuprafațăDiscretă sdAnaliză);
Nimic DetectăCurbeleZ(FamiliaDeCurbe fcOut, Real rStep = 1.0);

Nimic TransfDetecteazăPentruPlanulXY(SuprafațăDiscretă sdAnaliză, Real rUnghi);
Nimic DetecteazăCurbeleInXY(FamiliaDeCurbe fcOut, Real rStep = 1.0, rUnghi = 45.0);

Nimic TransfDetecteazăSuprafațaPlană(SuprafațăDiscretă sdAnaliză);
Nimic DetecteazăSuprafațaPlană(FamiliaDeCurbe fcOut, Real rPentruZ = 45.0);

Nimic TransfEchirugozitate(SuprafațăDiscretă sdAnaliză, Întreg nMetoda);
Nimic DetectăEchirugozitate(FamiliaDeCurbe fcOut, Întreg nMetoda = ct_nEchirugozitateXY, Real rPasul = 1.0);

Nimic TransfNefrezabil(SuprafațăDiscretă sdNefrezabil, Întreg nMetoda);
Nimic DetectăNefrezabil(FamiliaDeCurbe fcNefrezabil,
SuprafațăDiscretă sdReper, sdSculaAnal, sdSculaMică, Boolean bDetectPlan = FALS);

Nimic SpiraleleLuiBillator(FamiliaDeCurbe fcOut, Real rStep = 1.0);
} //SuprafațăDiscretă

Clasa Fișier //obiect necesar fișierelor de export import
{
Nimic Deschide(SetDeCaractere strNume); //deschide sau creează un fișier
Nimic Închide(); //închide un fișier
Nimic Scrie(SetDeCaractere strOut); //scrie un SetDeCaractere în fișier
Nimic Citește(SetDeCaractere strIn); //citește un SetDeCaractere din fișier
} //SuprafațăDiscretă

Clasa DXFExport //rudimentare a formatului de export DXF care suportă curbe și plase
{
Fișier fișier; //fișierul de export

Nimic Inițializează(SetDeCaractere strNume);

```

```

Nimic Sfârșeste();

Nimic InitCurbă(Întreg nCuloare = 15, SetDeCaractere strLayer = "SD ieșire");
Nimic DoneCurbă();

Nimic InitPlasă(Întreg nU, nV, nCuloare = 15, SetDeCaractere strLayer = "SD ieșire");
Nimic DonePlasă();

Nimic Exportă(Punct pIn);
} //DXFExport

Clasa STLExport //o rudimentare a formatului de export STL care suportă doar ASCII Export
{
    Fișier fișier, //fișierul de export

    Nimic Inițializează(SetDeCaractere strNume);
    Nimic Sfârșeste();

    Nimic Exportă(Punct p1, p2, p3);
} //CSTLExport

Clasa NCExport //o rudimentare a formatului de export NC
{
    Fișier fișier, //fișierul de export

    Nimic Inițializează(SetDeCaractere strNume);
    Nimic Sfârșeste();

    Nimic Exportă(Punct p, Boolean bRapid);
} //NCExport

Enumerare ModulDePunere //enumerarea modurilor de combinare solidă a SD și măștilor
{ PM_NONE, PM_MAX, PM_MIN, PM_ADD, PM_SUB, PM_MULTIPLY, PM_DIVIDE, PM_MORPH,
  PM_FILSUS, PM_FILJOS, PM_ECDLSUS, PM_ECDJOS, PM_AND, PM_OR, PM_XOR }

```


8. Concluzii

Programarea asistată de calculator a MUCN a cunoscut o dinamică de dezvoltare extraordinară în ultimii ani, favorizată de dezvoltarea explozivă a componentelor hard, apariția unor limbaje tot mai performante (C++, Java, Delphi), a unor sisteme de operare foarte performante (Linux, BeOS, Windows 95 și NT, Rhapsody), a unor sisteme de proiectare asistată orientate pe solide (SolidWorks, Autodesk Mechanical Desktop, SolidEdge, ProEngineering) și a unor sisteme de fabricație asistată (MasterCAM, EdgeCAM, DelCAM, HyperMill, SurfCAM).

Analizând critic situația existentă la momentul actual a rezultat că există un complex de *modele matematice, pachete soft și resurse tehnologice* care acoperă, mai mult sau mai puțin complet, latura fabricației.

Având în vedere cele expuse în capitolul privitor la “Stadiul actual”, se poate observa că în domeniul *proiectării, stocării, comunicării (importului, exportului, DNC), vizualizării și simulării*, lucrurile sunt aproape închise, existând colective și produse foarte performante. Singurele locuri deschise îmbunătățirilor sunt:

❖ **Generarea optimizată a codului NC:**

- ⇒ *analizarea și calculul zonelor neprelucrate din cauza interferențelor sculă - semifabricat;*
- ⇒ *generarea codului, cu condiția de frezare la rugozitate constantă, ceea ce duce la reducerea dramatică a timpilor de prelucrare.*
- ⇒ *deteția zonelor critice, unde nu se poate asigura rugozitatea impusă, pentru diferite cicluri clasice (echidistante în x, y, z);*
- ⇒ *analiza și compensarea uzurilor;*
- ⇒ *analiza și compensarea dilatărilor;*
- ⇒ *generarea codului NC în curbe, cu cât mai puține inflexiuni, pentru a preveni oprirea și schimbarea prea deasă a sensului de rotație a motoarelor mașinii unelte, ceea ce duce la șocuri, vibrații și previne utilizarea eficientă a codului generat la mașini unelte de turajii mari, cu avans rapid;*
- ⇒ *reducerea mișcărilor rapide, prin optimizarea traiectoriilor în ciclurile de finisare, ceea ce duce la avansuri constante și timpi mai scăzuți;*
- ⇒ *luarea automată a deciziei privind care tip de frezare este recomandată pentru un anumit tip de reper, în funcție de gabarit, înclinații, inflexiuni, racordări;*
- ⇒ *deciderea, în cazul existenței mai multe scule așchietoare, a setului optim necesar în vederea frezării reperului dat, la rugozitatea cerută, într-un timp cât mai redus;*

❖ **Simulări inteligente, care să mențină în tot timpul generării fișierului NC starea de frezare a semifabricatului.** Aceste simulări trebuie să asigure: *citirea nivelelor de siguranță pentru mișcări în avans rapid, cât mai reale, deci cât mai joase, optimizând timpul în mișcări rapide; cunoașterea în fiecare moment a cantității de material care este prelevată în direcție radială și frontală, oferind oportunitatea de a pilota inteligent avansul, încărcând cât mai uniform scula și mașina unealtă și scăzând timpul necesar prelucrării unui reper.*

❖ **Citirea și convertirea într-un format utilizabil a datelor provenite de la mașini de palpat, scanat și cartografiat.**

❖ **Citirea și convertirea într-un format utilizabil a datelor provenite din alte sisteme de proiectare și fabricație în format CL sau NC.**

❖ **Tehnici de simulare rapidă a fișierelor NC.**

❖ **Tehnici de verificare, cu raportarea zonelor nefrezate și (eventual) a locurilor unde s-au produs interferențe;**

❖ **Experți care să ajute utilizatorul să ia o decizie despre modul optim de frezare a unei suprafețe.**

În general, acestea sunt și domeniile studiate de autor în ultimii ani, domenii în care și-a adus contribuția în prezenta teză de doctorat.

Teza s-a dorit a fi în primul rând una de sinteză, prezentându-se o metodă **solidă, consistentă și generică** de stocare, modelare, conversie, import-export, analiză, generare optimizată, simulare și verificare, bazată în totalitate pe suprafețelor discrete uniform riglate (demulabile), punându-se un mare accent pe modul de structurare și prezentare.

Lucrarea a fost împărțită în patru capitole principale:

- ⇒ **“Metode de notație și clase utilizate”**
- ⇒ **“Metode de generare și modelare”**
- ⇒ **“Metode de conversie și formate de import – export”**
- ⇒ **“Metode de analiză și optimizare”**

Această organizare prezintă graduat problemele care apar în **analiza, designul și implementarea** unei noi metodologii de stocare, care se dorește a fi una viabilă din punctul de vedere al satisfacerii unui număr cât mai mare de necesități.

În capitolul intitulat **“Metode de notație și clase utilizate”** s-a prezentat modul de organizare și structurare a datelor. Nu s-a folosit nici o metodă clasică descrisă în manualele de prezentare a limbajelor orientate pe obiect, ci:

- ⇒ S-a descris un limbaj pseudocod, orientat pe obiecte, utilizat în descrierea unificată a modelelor matematice, algoritmilor și a codului sursă;
- ⇒ S-a încercat crearea unei structuri primare de obiecte care se moștenesc într-o manieră logică și acoperă într-o mare măsură tipul de structuri de dată necesare acestei lucrări;
- ⇒ S-au pus bazele metodei de stocare a suprafețelor discrete (SD), precum și câteva metode de rezolvare a cazurilor în care suprafețele care se doresc a fi convertite nu sunt discrete. S-a încercat să se cuprindă sumar doar problematica stocării, conversia fiecărui tip particular de dată nefăcând parte din tema acestui capitol.
- ⇒ S-a introdus conceptul de mască, ca loc în care se raportează diferite aspecte legate de modul de procesare al SD.

În capitolul intitulat **“Metode de generare și modelare”** au fost descrise tehnici și metode de creare, modelare, conversie, import și filtrare a SD.

Scopul acestui capitol a fost acela ca un număr cât mai mare de repere provenite din diferite sisteme de proiectare sau fabricație, reprezentate prin diferite metode sau modelate direct, utilizând metodele descrise, să poată beneficia de tehnicile sofisticate de analiză și generare a codului NC discutate pe parcursul capitolelor următoare.

De asemenea, au fost prezentate, în premieră, trei metode noi, concepute de către autor:

- ⇒ Algoritmul de import și conversie a seturilor de puncte și curbe furnizate fără nici o regulă;

- ⇒ Algoritm de calculare a înfășurătoare și racordărilor cu forme de orice geometrie (un caz particular al acestora sunt capetele de sculă suprafețe de revoluție utilizate în frezare);
- ⇒ Rețeaua neuronală pentru antrenarea cu date care nu cad în punctele rețelei, utilizabilă ca o metodă generică de import a tuturor datelor parametrice.

A fost prezentată o familie de metode auxiliare, **filtrele**, utilizate pentru reducerea zgomotului introdus de diferite metode de conversie și analiză, exemplificându-se acest concept.

În capitolul intitulat “**Metode de conversie și formate de import - export**” au fost introduse metode de: *creare de curbe, proiecție, offset inteligent și export în formate simple* ASCII, ca: DXF, STL, NC, CL.

Acest capitol, al metodelor de conversie și export, este de o importanță capitală în utilizarea suprafețelor discrete, virtual, în orice sistem de proiectare și fabricație. Ideea prezentării lui a fost aceea de a îmbina prezentarea riguroasă, însoțită de expunerea algoritmilor în pseudocod, cu exemplificarea fiecărui concept introdus, cu ajutorul exemplelor și a listingului potențial realizat de către obiectele expuse.

Contribuțiile esențiale aduse de acest capitol sunt:

- ⇒ A fost creat un set nou de obiecte specifice fiecărui tip de export în parte: Fișier, DXFOut, STLOut, NCOOut, CLOut. Aceste clase au fost implementate folosind o metodă unificată de prezentare, încercând să se ascundă detaliile fiecărui format în parte.
- ⇒ Au fost create metode noi destinate conversiei și exportului, metode care dau utilizabilitate SD, legându-le de alte sisteme de proiectare, ca aparate matematice auxiliare de analiză sau conversie în format NC.
- ⇒ S-a prezentat, în premieră, un algoritm de conversie în curbe de nivel foarte fin, care permite SD corecție de sculă să fie convertită în format NC, și s-au prezentat aplicațiile lui, potențial nelimitate, în detectarea formelor, analizarea și vectorizarea fotografiilor.
- ⇒ S-a expus și exemplificat GNCPP, generator automat de tehnologie, o librărie dinamică complexă, care are scopul de a genera fișier NC specific, virtual, pe orice echipament, optimizat pentru lungime și timp de rulare.

În capitolul intitulat generic “**Metode de analiză și optimizare**” au fost cuprinse câteva dintre cele mai importante aspecte legate de *analiza și generarea optimizată a codului NC*, pentru fabricarea suprafețelor discrete pe mașini unelte cu comenzi numerice, precum și câteva tehnici de verificare și simulare.

Cum toate *optimizările, generările de cod NC, verificările și simulările* sunt tehnici și metode de **analiză**, natural că ele și-au găsit locul în acest ultim capitol.

S-a preferat gruparea la un loc, deoarece, între multe dintre acestea există o interdependență ascunsă, iar autorul consideră că, după expunerea capitolului, sortată din punct de vedere logic, al complexității și asemănării aparatelor matematice, se poate observa asemănarea unor tehnici de analiză a suprafeței (*zone plane, material nefrezat etc.*) cu unele tehnici de generare a codului NC (*echidistante, echirugozitate, etc.*). Tehnicile de **verificare** sunt într-o mare proporție identice cu cele de **simulare**.

Cum lucrarea are un caracter primordial de sinteză, s-a încercat gruparea logică, matematică, în detrimentul celei funcționale, nedorindu-se pierderea relației dintre tehnicile de analiză.

S-au introdus și prezentat trei aspecte ale analizei:

- ⇒ Metode de analiză a SD și generarea optimizată de cod NC,
- ⇒ Câteva optimizări posibile ale codului NC în cazul traseelor echidistante,
- ⇒ Calculul rețelei de difracție pentru elementele optice.

S-au prezentat, în premieră, câteva metode noi:

- ⇒ Calculul zonelor plane;
- ⇒ Calculul zonelor critice la frezarea secțiunilor paralele în planul XY;
- ⇒ Calculul materialului nefrezabil;
- ⇒ Calculul curbilor de egală rugozitate;
- ⇒ Metode pseudoadaptive de variere a avansului și corecției de uzură în timp real;
- ⇒ Minimizarea mișcărilor în avans rapid;
- ⇒ Spiralele lui Billator;
- ⇒ Metoda de optimizare a traseelor echidistante prin dublarea sau triplarea locală;
- ⇒ Metoda de rezolvare a rețelelor de difracție.

Pe lângă prezentarea contribuțiilor autorul au fost expuse și câteva metode clasice de generare de cod, considerându-se ca elemente de noutate metodele de generare a acestora (curbilor echidistante în XY și Z) utilizând SD în acest domeniu.

Alte concepte enumerate și exemplificate pe parcursul capitolului, cum ar fi interpolările superioare, eliminarea punctelor de inflexiune, eliminarea punctelor coliniare au fost expuse doar cu scopul secundar de a da consistență, generalitate și calitate unei eventuale generări de cod NC.

Direcțiile de cercetare abordate în continuare de către autor țin de integrarea domeniului inteligenței artificiale în fabricație, referindu-se la următoarele aspecte:

- ⇒ detecția și prelucrarea automată a găurilor și holurilor (feature recognition),
- ⇒ poziția optimă a unui solid în sculă (în vederea unei extracții simple),
- ⇒ optimizarea setului de scule pentru frezarea în timp minim a oricărei geometrii.
- ⇒ cicluri complexe automate: degroșare + semifinisare + finisare + "frezare creion" (pencil milling) + cicluri de eliminarea materialului nefrezabil;

Aceste analize sunt executate, în general, pe solide discrete (fațetate și demulabile). Câteva rezultate de ultima oră pot fi găsite în prezentările și analizele de pe CD-ul însoțitor.

Anexe

Anexa A: Clase utilizate

Tip de dată	Prefix	Operatori
Nimic	v	
SetDeCaractere	str	+, -
Întreg	n	+, -, *, /, &, , %, <, >, =, ==, +=, -=, *=, /=, &=, =, %=, ȘI, SAU, !, real;
Boolean	b	+, -, *, /, &, , %, <, >, =, ==, +=, -=, *=, /=, &=, =, %=, ȘI, SAU, !, real;
Real	r	+, -, *, /, <, >, =, ==, +=, -=, *=, /=, int;
Punct	p	+, -, *, /, =, ==, +=, -=, *=, /=, translație, rotație, scalare, min, max;
Curbă (superioare)	c, cs	+, -, *, /, =, ==, +=, -=, *=, /=, translație, rotație, scalare, min, max;
Plasa (superioare)	l, ls	+, -, *, /, =, ==, +=, -=, *=, /=, translație, rotație, scalare, min, max;
Masca	m	+, -, *, /, +=, -=, *=, /=, =, ȘI, SAU, XSAU, NOT
Supr. Demulabilă	s	+, -, *, /, +=, -=, *=, /=, =, MAX, MIN, ADD, SUB, MULTIPLY, DIVIDE, MORPH, FILSUS, FILJOS, ECDSUS, ECDJOS
STL Export	stlout	asigură exportul în format STL;
DXF Export	dxfout	asigură exportul în format DXF;
NC Export	ncout	asigură exportul în format NC;
CL Export	clout	asigură exportul în format CL;
Fișier	fișier	un fișier generic fără nici o formatare specială;
FamilieDe*	f*	Reali (fr), Întregi (fn), Booleeni (fb), Puncte Curbă (fc), Plase (fm), etc.

Anexa B: Abrevieri

SD	<i>Suprafață Discretă (demulabilă)</i>
SDR	<i>Suprafață Discretă (demulabilă) Reper</i>
SDCS	<i>Suprafață Discretă (demulabilă) Corecție Sculă</i>
SDCST	<i>Suprafață Discretă (demulabilă) Corecție Sculă Teoretică</i>
SDN	<i>Suprafață Discretă (demulabilă) Nefrezabilă</i>
SDNT	<i>Suprafață Discretă (demulabilă) Nefrezabilă Teoretică</i>
SDER	<i>Suprafață Discretă (demulabilă) EchiRugozitate</i>
SDSC	<i>Suprafață Discretă (demulabilă) sculă</i>
SDT	<i>Suprafață Discretă (demulabilă) Transformată</i>
SLB	<i>Spiralele lui Billator</i>
ACCE	<i>Algoritmul de Conversie în Curbe Echipotențiale</i>
ASCII	<i>Format citibil cu un editor de text</i>
DXF	<i>Format de import export ASCII pentru repere</i>
STL	<i>Format de import export ASCII pentru repere solide rețea triunghiulară</i>
APT	<i>Limbaj de programare pentru proiectarea tehnologiei</i>
CL	<i>Format standard de export a informațiilor necesare fabricării unui reper</i>
NC	<i>Numerical Control (control numeric)</i>
ECN	<i>Echipament cu Comandă Numerică</i>
CNC	<i>Control numeric cu calculator intern</i>
DNC	<i>Direct Numerical Control (control numeric direct)</i>
GNC	<i>Generic Numerical Control (control numeric generic)</i>
GNCPP	<i>Generic Numeric Control PostProcessor</i>
MSD	<i>Masca Suprafeței Digitale</i>
MU	<i>Mașină-Unealtă</i>
MUCN	<i>Mașini-Unele cu Comenzi Numerice</i>
TSP	<i>Traveling Salesman Problem (problema comis voiajorului)</i>
FHTSP	<i>Fast Heuristically Traveling Salesman Problem (rezolvarea rapidă a problemei comis voiajorului);</i>
CAD	<i>Computer Aided Design (proiectare asistată de calculator)</i>
CAM	<i>Computer Aided Manufacturing (fabricație asistată de calculator)</i>
CAE	<i>Computer Aided Engineering (inginerie asistată de calculator)</i>
TechnoPack	<i>Pachet de programe realizat de autor pentru această lucrare</i>
TechnoCAD	<i>Sistemul de proiectare și analiză a SD</i>
TechnoCAM	<i>Sistemul de generare cod NC pe baza SD</i>
TechnoFuncți on	<i>Convertor din reprezentarea analitică a funcțiilor în DXF</i>
TechnoMesh	<i>Convertor 2 ½ și 3 axe din DXF în NC via GNCPP pentru plase</i>
TechnoCurve s	<i>Convertor 2 și 2 ½ axe din DXF în NC via GNCPP și modelator</i>
Techno2D	<i>Convertor 2 și 2 ½ axe din DXF în NC via GNCPP pentru curbe</i>
TechnoBulge	<i>Modul în TechnoCAD care rezolvă rețele de difracție</i>

Anexa C: Definiții

- ADA** (limbaje): unul dintre cele mai complexe și solide limbaje apărute; conține verificare puternică de tip metode de detecție și tratare de erori; utilizează compilatoare foarte complexe.
- Algoritmi** (pseudocod): aparate matematice, proceduri, rutine, funcții, metode; se vor regăsi în două locuri, sub formă de funcții (în cazul în care nu sunt conținuți într-un corp de clasă) sau metode (în cazul în care se găsesc încapsulați în interiorul unei clase).
- Aparate matematice** (pseudocod): vezi algoritmi.
- Asamblare** (limbaje): o evoluție naturală a codului mașină, prin renumirea într-un format mai accesibil a acestuia.
- BASIC** (limbaje): limbaj deosebit de simplu, apărut la început fără nici o formă de modularizare a informației, cu excepția subrutinelor, care, însă, nu puteau avea variabile locale.
- BazăDiscretă** (clasă): clasă de bază derivată din baza vectorială, destinată stocării suprafețelor mască și suprafață discretă; conține informații despre pasul și numărul de puncte discrete în cele două direcții X și Y.
- BazaVectorială** (clasă): clasă elementară care trasează un comportament comun pentru clasele mai evaluate (curbe, plase, suprafețe discrete).
- Booleeni** (clasă): clasă particulară derivată din întregi.
- Borland Pascal** (limbaje): limbaj evoluat orientat obiect.
- C** (limbaje): limbaj de nivel jos, destinat în general scrierii sistemelor de operare portabile.
- C++** (limbaje): limbaj evoluat orientat obiect.
- CAD Report** (reviste): revistă despre proiectarea asistată, editată la Tg. Mureș.
- Clasa** (cuvânt cheie, pseudocod): începutul definiției unei noi clase.
- Clasele** (pseudocod) sunt scrise îngroșat și verde închis și au asociată obligatoriu o prescurtare cât mai sugestivă, formată din una sau mai multe caractere scrise cu literă mică; prefixarea trebuie specificată obligatoriu numai prima oară când clasa este definită.
- Cod mașină** (limbaje): limbaj de programare rudimentar.
- Colecțiile** (clasă): seturi de obiecte de același tip stocate împreună; accesul la un element dintr-o colecție se face cu ajutorul operatorul [] care va returna un element din tipul stocat în colecția respectivă.
- Comentariile** (pseudocod): clarificări ale pseudocodului; sunt scrise în italic și sunt prefixate de //.
- Curbe superioare** (metode de stocare): curbe care utilizează reprezentări polinoamiale pe intervale (mai ales cubice); sunt folosite cvasitotal, în toate sistemele de modelare moderne, ca și curbe și suprafețe spline, B-Spline, Bézier, Hermite etc.
- Curbele** (clasă) folosite în această lucrare sunt cele mai elementare posibile (polilinii în R^3), folosind ca reprezentare o colecție de puncte, cu singura convenție că, curba se va genera trasând segmente de dreaptă între fiecare pereche de puncte consecutive.
- Curbele analitice** (metode de stocare): curbe care pot fi descrise printr-un singur set de ecuații matematice (nu conțin seturi de ecuații pe porțiuni de curbă sau suprafață descrisă).
- Curbele închise** (clasă): curbe a căror prim și ultim element coincid.
- Curbele plane** (clasă): curbe care nu conțin informații despre cota Z; nu au fost tratate separat, ci sunt utilizate cele 3D, nefolosind cota Z.

- Curbele plane** (metode de stocare): curbe care sunt stocate ca o serie de segmente de linie, arce de cerc, sau curbe superioare în planul XY.
- Curbele superioare** (clasă): curbe care nu sunt stocate ca o secvență de segmente de dreaptă, deci pot conține segmente de cerc sau de alte curbe analitice.
- Cuvinte cheie** (pseudocod): cuvintele rezervate în limbajul pseudocod (Clasa, DerivatăDin, Operator, Enumerare).
- Dacă** (funcție specială, pseudocod) o condiție este îndeplinită, atunci se execută prima enumerare de instrucțiuni, altfel (eventual) se execută a doua enumerare.
- Delphi** (limbaje): limbaj evoluat orientat obiect.
- DerivatăDin** (cuvânt cheie, pseudocod): moștenirea comportamentului unei clase părinte.
- Eifel** (limbaje): limbaj evoluat orientat obiect.
- Enumerare** (cuvânt cheie, pseudocod): începutul enumerării valorilor posibile pentru un obiect.
- Enumerările** (pseudocod): sunt fără paranteze acolade în cazul când este vorba de un element, sau între paranteze acolade dacă sunt mai multe.
- FORTTRAN** - FORmula TRANslation (limbaje): primul adevărat limbaj de programare de nivel înalt; permitea pentru prima dată programarea modulară, organizarea codului în subrutine și portarea (interpretarea sau compilarea acestuia) pe diferite sisteme.
- Funcții speciale** (pseudocod): funcții implementate pentru asigurarea logicii algoritmilor (Dacă, Altfel, Pentru, PânăCând, Întoarce).
- Funcțiile** (pseudocod): algoritmi liberi, care nu sunt încapsulați în interiorul vreunei clase (vezi algoritmi).
- Hello CAD Fans** (revistă): revistă despre proiectarea asistată, editată în București.
- Indecșii vectorilor** (pseudocod): sunt între paranteze pătrate.
- Întoarce** (funcție specială, pseudocod): oprește execuția unui algoritm și (eventual) întoarce un obiect din clasa returnată de algoritmul respectiv.
- Întregii** (clasă): mulțimea numerelor întregi Z.
- Java** (limbaje): limbaj evoluat orientat obiect.
- Limbajul pseudocod** (pseudocod): limbaj de tip pseudocod orientat pe obiecte, asemănător cu C++[CPP] sau Java[AV], sintaxa nefiind asemănătoare în totalitate, folosit pentru structurarea conceptelor descrise pe parcursul lucrării; scopul principal al acestei structurări este acela de a fi succintă, flexibilă, sugestivă, trebuind să posede abilitatea de a descrie aparatele matematice, structurile de date, designul și implementarea algoritmului într-un singur loc.
- Lista cu parametri** (pseudocod) ai unei metode sau funcții; este întotdeauna între paranteze rotunde.
- Masca** (clasă): matrice bidimensională de aceeași dimensiuni cu cea a SD, în care sunt stocate obiecte de tip Boolean, și care este utilizată pentru raportarea diferitelor rezultate ale unor analize.
- Matrici cu pas uniform sau neuniform** (metode de stocare): matrice în care suprafața este stocată ca și cotă Z.
- Metodele** (pseudocod): algoritmi specifici unei clase; sintaxa lor este exact ca aceea de la algoritmi, cu excepția că, având acces la datele private interioare unei clase, când se cheamă o metodă, aceasta trebuie prefixată de numele obiectului respectiv, urmată de un punct (vezi algoritmi).
- Metodele analitice** (metode de stocare): curbe compuse, suprafețe analitice, solide sculpturale și simple.
- Metodele discrete** (metode de stocare): polilinii, suprafețe fațetate, stocări matriciale, seturi de puncte.

- Modula** (limbaje): limbaje apărute începând din 1971, în urma lucrărilor profesorului Wirth în domeniul programării structurate; au fost o adevărată revoluție în mediul academic.
- Multiliniile plane** (metode de stocare): caz particular al curbelor și al poliliniilor spațiale, deopotrivă; sunt stocate ca o serie de segmente de linie în planul XY.
- Multiliniile spațiale** (metode de stocare): pot descrie orice curbă în spațiu, sub o toleranță; sunt stocate ca o colecție de puncte în 3D.
- Oberon** (limbaje): limbaje apărute, începând din 1971, în urma lucrărilor profesorului Wirth în domeniul programării structurate; au fost o adevărată revoluție în mediul academic.
- Obiectele** (pseudocod): instanțele (de tipul) unei clase, fiind declarate în felul următor: Clasa tvNume, numele obiectului prefixat obligatoriu de prescurtarea clasei respective (notația ungară); ele sunt scrise normal.
- Object Pascal** (limbaje): limbaj evoluat orientat obiect.
- Objective C** (limbaje): limbaj evoluat orientat obiect.
- Objectual Ada** (limbaje): limbaj evoluat orientat obiect.
- Operator** (cuvânt cheie, pseudocod): începutul descrierii operatorilor permiși pe clasa respectivă.
- Operatorii** (pseudocod): setul de operații posibile cu Clasa respectivă; sunt utilizați în scopul de a scrie expresiile într-un limbaj mai apropiat de cel natural.
- PânăCând** (funcție specială, pseudocod) este satisfăcută condiția, execută o enumerare de instrucțiuni.
- Pascal** (limbaje): limbaje apărute începând din 1971, în urma lucrărilor profesorului Wirth în domeniul programării structurate; au fost o adevărată revoluție în mediul academic.
- Pentru** (funcție specială, pseudocod) fiecare valoare, începând cu condiția de start și sfârșind cu condiția de sfârșit satisfăcută, incrementând cu condiția de incrementare, execută o enumerare de instrucțiuni.
- Plasele** (metode de stocare): cele mai simple obiecte care pot fi utilizate pentru stocarea suprafețelor.
- Poliliniile spațiale** (metode de stocare): pot descrie orice curbă în spațiu, sub o toleranță; sunt stocate ca o colecție de puncte în 3D.
- Poliniile plane** (metode de stocare): caz particular al curbelor și al poliliniilor spațiale, deopotrivă; sunt stocate ca o serie de segmente de linie în planul XY.
- Proceduri** (pseudocod): vezi algoritmi.
- Punctele** (clasă): entități elementare, folosite de către toate clasele vectoriale superioare, pentru a stoca valorile diferitelor entități care le compun.
- Realii** (clasă) sau numerele reale R: clasă elementară, descrisă pentru a înțelege operațiile executate cu numere reale.
- Rutine** (pseudocod): vezi algoritmi.
- Seturi de puncte** (metode de stocare): datele sunt stocate ca o colecție de puncte în spațiu.
- ȘirulDeCaractere** (clase): colecție de obiecte din clasa Întreg; este utilizat la transmiterea mesajelor.
- Smaltalk** (limbaje): limbaj evoluat orientat obiect.
- Solide sculpturale** (metode de stocare): solide reprezentate analitic pe intervale care trebuie să închidă un volum.
- Solidele simple** (metode de stocare): solide de tipul sfere, tori, conuri, piramide, curbe extrudate.
- SuprafațaDiscretă** (clasă): metoda de stocare a suprafețelor discrete; sunt matrici bidimensionale, în care sunt stocate obiecte de tip Real.

Anexe

Suprafețe extrudate (metode de stocare): curbe (polinii, multilinii) în 2D, care au un început și un sfârșit pe axa Z.

Suprafețe fațetate (metode de stocare): metodă generică de stocare a oricărei suprafețe superioare, sub formă de triunghiuri sau patrulatere.

Suprafețe superioare (metode de stocare): utilizează reprezentări polinoamiale pe intervale (mai ales cubice); sunt folosite cvasitotal în toate sistemele de modelare moderne, ca și curbe și suprafețe spline, B-Spline, Bezier, Hermite etc.

Suprafețele analitice (metode de stocare): pot fi descrise printr-un singur set de ecuații matematice (nu conțin seturi de ecuații pe porțiuni de curbă sau suprafață descrisă).

Suprafețele superioare (clasă): suprafețe care sunt descrise prin alte metode decât cele de la plase.

Anexa D: Legături web

D1. Sisteme mari de proiectare și fabricație

Produs, legătură web	Compania
CADDS-5, http://www.cv.com/	Computervision USA
CATIA, http://www.catia.ibm.com/	Dassault France
EMS, http://www.intergraph.com/mech/ems/ems.htm	Intergraph USA
EUCLID, http://www.matra-datavision.com/	Matra Datavision France
MASTER SERIES, http://www.sdr.com/	SDRC USA
Pro/ENGINEER, http://www.ptc.com/	PTC USA
UNIGRAPHICS, http://www.ug.eds.com/	EDS USA

D2. Alte sisteme de proiectare și fabricație

Produs, legătură web	Compania
http://www.anvil5k.com	MCS USA
CADAM, http://www.clearlake.ibm.com/MFG/engineering/consider.html	Dassault France
Cadkey, http://www.cadkey.com/	Baystate Technologies USA
CADRA, http://www.adra.com/	ADRA USA
CAELUM, http://caelum.co.jp/	CAELUM Japan
Cimatron, http://http://www.cimatron.com/	Cimatron Israel
Cimalog, http://www.swissprecision.com/SPIE3.html	Swiss Precision/Engineer
GMS, http://www.graftek.com/	Graftek
ICEM, http://www.cdc.com/icem.html	ICEM USA
I-DEAS, http://www.sdr.com/	SDRC USA
MASTERCAM, http://www.mastercam.com/	CNC Software USA
MicroCADAM, http://www.microcadam.com/	MICROCADAM USA
METALMAN, http://www.unm.edu/~baltz/	Metalman USA
MOZAIC, http://www.auto-trol.com	Auto-Trol
Mr Machinist, http://www.pennet.net/commercial/f1/	F1 Computing USA
Para-Max, http://www.innotts.co.uk/~mecs/	M.E.C.S. UK
Prelude, http://www.matra-datavision.com/	Matra Datavision France
SURFCAM, http://www.surfware.com/	Surfware USA
VisiCAD/VisiCAM, http://www.vero.it/	Vero Italy
Varimetrix, http://www.vx.com/	
Virtual Gibbs, http://www.bureaug.co.uk/gibbs/index.html	Gibbs USA

D3. Sisteme de proiectare

Produs, legătură web	Compania
Ashlar Vellum, http://www.ashlar.com/	Ashlar USA
AutoCAD, http://www.autodesk.com/	Autodesk USA
Accugraph, http://www.accugraph.com/	Accugraph USA
ArchiTECH.PC, http://www.softcad.com/	SoftCAD Belgium
CADVANCE, http://www.cadvance.com/	Furukawa Info Technology USA
CAD/DRAW, http://www.tommysoftware.com/etsw001.htm	Thomas Maier Germany
Drafix, http://www.softdesk.com/	Softdesk USA
DesignCAD, http://www.viagrafix.com/	ViaGraphix USA
DynaCADD, http://www.ditek.com/	Ditek Canada
Douglas CAD/CAM, http://www.douglas.com/	Douglas Electronics USA
FastCAD, http://com.primenet.com/evcomp/	Evolution computing USA
Form.Z, http://www.formz.com/ads.html	auto"des"sys USA
FreeHand, http://www-1.macromedia.com/Tools/Studios/FIGS/index.html	Macromedia USA
GMPCAD, http://www.ens-cachan.fr/~gmpcad/	IUT Cachan France
HVACp, http://www.thecube.com/	MC Squared USA
Mechanical Desktop, http://www.autodesk.com/	Autodesk USA

Anexe

Microstation, http://www.bentley.com/	Bentley USA
MiniCAD, http://www.graphsoft.com/	Graphsoft Inc USA
Powerlib, http://www.cadsoftware.co.uk/plib.htm	CAD Software UK
QuickDraw, http://www.wombat.com.au/wombat/showcase/sa/qikdraw/index.html	QuickDraw Australia
SolidBuilder, http://www.solidbuilder.com/	Builders for Builders USA
RAY DREAM, http://www2.us.com/raydream/	Fractal USA
SolidEdge, http://www.intergraph.com/solidedge	Intergraph USA
SolidWorks, http://www.solidworks.com/	SolidWorks USA
SolidDesigner, http://www.hp.com/	Hewlett Packard USA
TopCAD, http://http://www.merituk.co.uk/topcad/	TopCAD France
TrueCAD, http://www.choicecomp.com/	
Trispectives, http://www.eye.com/	3D Eyes USA
CADMAX TrueSurf Master, http://www.cadmax.com/	CADMAX USA
TurboCAD, http://www.imsisoft.com/catprod.html	IMSI USA
Visio, http://205.185.183.34/html/a.html	Visio USA
Visual CADD, http://www.numera.com/	Numera USA

D4. Procesoare APT

Produs, legătură web	Compania
APT/AC, http://www.clearlake.ibm.com/MFG/engineering/consider.html	IBM USA
HMS APT, http://www.europe.spi.com/Products/appsdirectory.dir/Applications/	Houtzeel USA
PC APT, http://www.ncsoft.com/index.html	N/C Software Inc. USA

D5. Sisteme de fabricație

Produs, legătură web	Compania
ACU-CARV, http://www.gni.com/olmsted/oc-home.htm	Olmsted Engineering USA
AlphaCAM, http://www.licom.com/	LicomUK
ArtCAM, http://www.spline.nl/	Delft Spline SystemThe Netherlands
AutoCODE, http://www.autocode.com/	Kramer ConsultingUSA
AutoPRO,	Intercim USA
BioSculptor, http://www.oandp.com/commerci/biosculptor/index2.htm	O&P Discret Technologies USA
CAMAND, http://www.camax.com/	CamaxUSA
CNC Code Creator, http://www.solas-data.ie/creator.htm	SolasData Ireland
CamModul, http://www.microtech.com/	MicroTech Sweden
CAMSoft, http://pages.prodigy.com/CAMSOFT/	CAMSoft USA
CAMWrite, http://ourworld.compuserve.com/homepages/tech_group/home.htm	TheTechGroup UK
CAPSMill and Turn, http://www.cadem.com/	Cadem India
CIMPLEX, http://www.csn.net/metal/home/cimplex/	Cimplex USA
DUCT, http://www.delcam.com/	Delcam UK
EZFeatureMill, http://www.enggeo.com/	E.G.S.USA
EdgeCAM, http://www.pathtrace.com/	Pathtrace UK
ESPRIT, http://www.dptechnology.com/	DPTechnology USA
FlexCAM, http://www.aii.com/	Software Magic USA
GeoPath, http://www.solution-ware.com/	SolutionWare USA
Goelan, http://www.cni.fr/	CN Industries France
HyperMILL-HyperCAM, http://www.openmind.de/	OPENMIND Germany
FI-MILL, http://www.fidia.it/	FIDIA Italy
NC Works, http://www.industry.net/c-a/showfile/00cm7/sponsors/psc/psc02	Progressive Software Corporation
PEPSCUT, http://www.peps.com/	Camtek UK
ShopCAM	ShopSystem USA
SmartCAM, http://www.camax.com/	Camax USA
Synergy, http://www.weber.com/	Weber SystemUSA
TechnoCAM, http://cccsat.sorosrm.ro/billasoft/	Billasoft Romania
TekSoft, http://www.teksoft.com/	TekSoft USA
WorkNC	Sescoi France
XCAM, http://www.industry.net/c-a/showfile/00cm7/sponsors/psc/psc03/Do.Auth	Progressive Software Corporation

D6. Informații despre proiectare și fabricație

Produs, legătură web	Compania
3Dview, http://www.millennion.com/	Millennion USA
ACIS, Strata, http://www.csn.net/spatial/	Spatial Technology USA
Algor, http://www.algor.com/	Algor USA
ANSYS, http://www.ansys.com/	ANSYS USA
AnthroCAM, http://www.greatlakesmet.com/faro2.htm	Faro Technologies USA
BOX-NET DNC, http://www.manusoft.fi/boxnet.html	Manusoft Finland
CAM-POST, http://www.icam.com/	ICAM Canada
Code-EX , http://www.iasweb.com/index.htm	Industrial Automation Solutions USA
DADS, http://www.cadsi.com/	CADSi USA
http://www.camsoftware.com/DCIasa , http://www.camsoftware.com/	CAM Software USA
DesignBase, http://www.rioh.co.jp/swd/designbase/index_e.html	Ricoh Japan
Director 4000, http://www.peps.com/	Camtek UK
DloG, http://mfinfo.com/cadcam/dlog/dnc.htm	DloG Germany
CamLink, http://www.proaxis.com/~griffobros/	Griffo Brothers USA
EDS-DNC, http://www.eds.com/edsdnc	EDS USA
FlexIt, http://ourworld.compuserve.com/homepages/pilontech/	Pilon Technology USA
IGES PRO, http://www.compunix-usa.com/	Compunix USA
LightWorks NC/MachineWorks, http://www.lightwork.com/nc_overview.html	LightWorks UK
MetCAPP, http://www.iams.org/cim/metcapp/desc.htm	I.A.M.S. USA
MSC/NASTRAN, MSC/PATRAN, http://www.macsch.com/index.html	MacNeal Schwendler USA
Mechanica, http://www.rasna.com/	Rasna USA
Metaphase, http://www.sdr.com/metaphase/intro/	SDRC USA
Modflow, http://www.worldserver.pipex.com/moldflow/	Modflow Australia
NCTool, http://www.ventura.co.il/c/cadtech/index.htm	CadTech Israel
NCV, http://www.csn.net/metal/home/cimplex/	Cimplex USA
NCSimul, http://www.spring.fr/	Spring France
Predator, http://www.teleport.com/~predator/	Predator Software USA
NC Verify, http://www.siriussys.com/	Sirius USA
PDE Wizard, http://www.pdew.com/	P.D.E Wizard USA
Pro NC Edit, http://www.cncci.com/soft.htm	CNC Concepts USA
RevPost, http://www.4dcadcam.com/	4 D Engineering UK
RobCAD, http://www.tecnomatix.com/	Tecnomatix Israel
Shape, http://www.xox.com/	XOX USA
Sherpa, http://www.sherpa.com/	Sherpa USA
SoftMachine, http://www.silma.com/	Silma USA
Spaceball, http://www.spacetec.com/Hard	Spacetec Inc. USA
Disk/WEB_SITE/PRODUCTS/2003/2003.html	
Surfacer, http://www.iware.com	Imageware USA
Valisys, http://www.tecnomatix.com/	Tecnomatix Israel
Tailor Made Software, http://www.serv.net/tms/	Tailor Made Software USA
Vericut, http://www.vericut.com/	CGTech USA
Virtual NC, http://www.deneb.com/	Deneb USA
HP WorkManager, http://www.hp.com/	Hewlett Packard USA
XYZPro EDIT, http://www.ascendtec.com/	Ascendant USA

D7. Informații generale despre proiectare și fabricație

Nume, legătură web	Comentarii
Society of CAD/CAM Engineer, http://chopin.kist.re.kr/cadcam/cadcam.htm	
CAD/CAM Headlines, http://www.newspage.com/NEWSPAGE/cgi-bin/walk.cgi/	
CAD/CAM Recruiters, http://web.infoave.net/cadcam/welcome.html	Căutați o slujbă ?
CAD Society, http://www.wbh.com/cadsociety.html	
CAD Rating Guide, http://www.wbh.com/crg-1description.html	
CIMdata, http://www.cimdata.com/	
CIMWorld, http://www.cimworld.com/	Știri pentru utilizatori profesioniști
Daratech, http://www.daratech.com/	

Anexe

DH Brown, http://www.dhbrown.com/	
Specifying CAE/CAD/CAM system, http://www.os.kcp.com/home/catalog/speevaca.html	Teste si expertize
Portland Microstation Community, http://www.teleport.com/~timothyd/tmc/tmc.htm	microstation din Portland
SunPTC, http://www.sunptc.com/	Pagina PTC prezentata de SUN
Society of CAD Engineer, http://www.cadsociety.org/	
SGI Mechanical CAD/CAM, http://www.sgi.com/Products/appsdirectory.dir/	
Wahoo's PC CAD/CAM Page, http://www.neca.com/~wahoo/camindx.html	
METAL Machining and Fabrication Internet Directory, http://www.mmf.com/metal/	
Manufacturers Information Net Home Page, http://mfinfo.com/home.htm	
Solid Design Automation Newsletter, http://www.ppssoft.com/sol.html	
TechniCOM Newsletter, http://www.technicom.com/	Noutati interesante CAD/CAM
Pro/E Job Network, http://www.pejn.com/	Lista de lucruri de munca in Pro/ENG
I-DEAS Job Network, http://www.ideasjn.com/	Lista de lucruri de munca in I-DEAS
UNIGRAPHICS Job Network, http://www.ugin.com/	Lista de lucruri de munca in UNIGR
CATIA Job Network, http://www.caajn.com/	Lista de lucruri de munca in CATIA

D8. Grupuri de discutii despre proiectare și fabricație

Grupul de noutăți	Comentarii
alt.cad, news:alt.cad	
alt.cad.autocad, news:alt.cad.autocad	
alt.cad.cadkey, news:alt.cad.cadkey	
alt.comp.acad-freedom.news, news:alt.comp.acad-freedom.news	
alt.comp.acad-freedom.talk, news:alt.comp.acad-freedom.talk	
comp.cad.microstation, news:comp.cad.microstation	
comp.cad.i-deas, news:comp.cad.i-deas	
comp.cad.autocad, news:comp.cad.autocad	
comp.cad.pro-engineer, news:comp.cad.pro-engineer	
comp.sys.intergraph, news:comp.sys.intergraph	

D9. Alte liste de pagini web destinate proiectării și fabricației WEB List

Lista, legătură web	Comentarii
http://pcfolini.eng.unipr.it/sites.html	Lista lui Franco Folini
http://www.free.cts.com/crash/p/patcad/	Noutatiile lu Pat
http://www.cad.fnal.gov/otherlinks.html	Lista de Fermi Lab
http://www.cadcam.de	O lista Germana despre CAD/CAM
http://www.cadshack.com/support.htm	O baza de date cu cunostiinte despre CAD
http://tribeca.ios.com/~compvent/cadstuff.html	Accesori CAD
http://promo.net/pdm/bm_cad_i.htm	Lista lui Pietro Di Micelli
http://www.cadonline.com/woc.htm	The world of CAD online by CADALYST
http://www.renature.com/instar/cad_net.html	Resource CAD in web
http://haven.uniserve.com/~ralphg/cadsite1.htm	Pagini CAD in web
http://www.mcp.com/newriders/cad/sites.html	Listă CAD
http://www.arch.buffalo.edu/pairc/cad.html	Listă CAD
http://xenoy.mae.cornell.edu/cad-info.html	Resurse CAD/CAM
http://www.headquarters.com/CGI-WIN/homepage.exe?USE/Search_cad1	Lista cu aplicatii in mecanica CAD/CAM
http://www.webcom.com/%7Eimt/other.html	Lista de CAD de la I.M.T.
http://www.nerdworld.com/nw672.html	Lista de CAD de la Nerd World CAD
Cadsyst CAD Links, http://www.buildingweb.com/cadsyst/cadlink.html	Lista de CAD despre AutoCAD

BIBLIOGRAFIE

- ACAD** *** Autodesk - AutoCAD, manual de utilizare.
- ALM** *** ALMI, manuale de utilizare.
- BEN** Benchimol G., Lévine P., Pomerol J.-C. – *Systèmes experts dans l'entreprise*, Hermès, Paris, 1990.
- BIB** *** BIBEXE, manual de utilizare, 1994.
- BJS** Stroustrup B. – *C++ Programming Language Third Edition*, Addison Wesley, 1997.
- BKOS** de Berg M., van Kreveland M., Overmars M., Schwartzkopf O. – *Computational Geometry – algorithms and applications*, Springer – Verlag, Berlin Heidelberg, 1997.
- BOURDI** Bourdichon P. – *L'ingénierie simultanée et la gestion d'information*, Hermès, Paris, 1994.
- BOW** Bowyer A., Woodwark J. – *A programmer's geometry* Butterworths, University of Bath, 1983.
- CAT** Catrina O., Cojocaru I. – *Turbo C++*, Editura Teora, Bucuresti, 1993.
- CNC** *** CNC 600, CNC 6001, CNC 646 Manuale de utilizare. 1990.
- COH** Cohen P.H., Joshi S.B. – *Advances in integrated product design and manufacturing*, PED-Vol. 47, ASME, New York, 1990.
- COR** Corney J. – *3D Modeling with the ACIS Kernel*, Wiley, Ontario, 1997.
- CRI** Cristea V. – *Tehnici de programare*, Editura Teora, Bucuresti, 1992.
- CTR** *** CorelTrace, manual de utilizare, fișier help, www.corel.com, 1998.
- DFR** Rogers D. F., Adams J. A. – *Mathematical Elements for Computer Graphics*, McGraw Hill International, Singapore, 1989.
- DM01** Micșa D. – *TechnoPack V1.0 Manual de utilizare*, BillaSoft, Timișoara, 1992.
- DM02** Micșa D. – *TechnoPack V1.1 Manual de utilizare*, BillaSoft, Timișoara, 1993.
- DM03** Micșa D. – *TechnoPack V1.2 Manual de utilizare*, BillaSoft, Timișoara, 1994.
- DM04** Micșa D. – *TechnoPack V2.0 Lite Manual de utilizare*, BillaSoft, Timișoara, 1996.
- DM05** Micșa D. – *TechnoPack V2.0 Pro Manual de utilizare*, BillaSoft, Timișoara, 1997.
- DM06** Micșa D. – *TechnoPack V2.0 Pro, prezentare produs*, Chip nr. 14. Brașov, 1996.
- DM09** Micșa D. – *Analytical Model – User requirements*, Pathtrace Engineering, Reading, 1997.
- DM10** Micșa D. – *Analytical Model – Functional specification*, Pathtrace Engineering, Reading, 1997.
- DM11** Micșa D. – *Analytical Model – Design specification*, Pathtrace Engineering, Reading 1997
- DM12** Micșa D. – *Faceted Model – User requirements*, Pathtrace Engineering, Reading, 1998.
- DM13** Micșa D. – *Faceted Model – Functional specification*, Pathtrace Engineering, Reading, 1998.
- DM14** Micșa D. – *Faceted Model – Design specification*, Pathtrace Engineering, Reading, 1998.

BIBLIOGRAFIE

- DM15** Micșa D. – *Faceted Model – Functional test*, Pathtrace Engineering, Reading, 1998.
- DMCS07** Stăncescu C., Micșa D. – *TechnoPack V1.2 prezentare produs Hello CAD Fans nr. 6*, București, 1993.
- DMCS08** Stăncescu C., Micșa D. – *TechnoPack V2.0 Pro prezentare produs Hello CAD Fans nr. 23*, București, 1996.
- DMW0** Micșa D. – *TechnoPack Prezentare produs*, document *www*, site www.dnttm.com, Timișoara, 1996.
- DMW1** Micșa D. – *EdgeAnalyser – Prezentare produs*, document *www*, site www.pathtrace.com Pathtrace, Reading, 1998.
- DMW2** Micșa D. – *Prezentare TechnoPack* Pagina web: www.sorostm.ro/billasoft, BillaSoft, Timișoara, 1997.
- DMW3** Micșa D. – *Analytical Model – Functional Testing* Pagina web www.pathtrace.com Pathtrace, Reading, 1997.
- DMW4** Micșa D. – *Faceted Model – Functional Testing* Pagina web www.pathtrace.com Pathtrace, Reading, 1998.
- DRA92a** Drăghici G. – *MasterCAM Tournage*, IUT Béthune, 1992.
- DRA92b** Drăghici G. – *MasterCAM Fraisage*, IUT Béthune, 1992.
- DRA95a** Drăghici G., Slavici T. – *Contribuții la determinarea și prelucrarea entităților geometrice complexe*, *Lucrările celei de-a VII-a Conferințe Internaționale de Inginerie Managerială și Tehnologică*, Timișoara, iunie 1995.
- DRA95b** Drăghici G., Slavici T., Dumitru E. – *Some Contributions for Defining and Determination of the Geometrical Offset Entities*, *Buletinul Științific al Universității Tehnice din Timișoara*, Tom 40 (54), *Mecanică*, 1995.
- DUT** Dutta D., Woo A.C., Chandrashekar S., Bailey S., Allen M. – *Concurrent engineering*, PED-Vol. 59, ASME, New York, 1992.
- DWG** *** Autodesk – *Formatul DWG*, www.autodesk.com. 1985 – 1998.
- DXF** *** Autodesk – *Formatul DXF*, www.autodesk.com. 1985 – 1998.
- ECAM** *** Pathtrace – *EdgeCAM, manual de utilizare*; www.pathtrace.com. 1985 – 1998.
- ELLI** Ellis M., Stoustrup B. – *The Annotated C++ Reference Manual*, Addison-Wesley, 1990.
- GAR90a** Gardan Y. – *Etudes en CFAO. Outils et applications de l'intelligence artificielle en CFAO*, Hermès, Paris, 1990.
- GAR90b** Gardan Y., Minich C. – *La modélisation géométrique et l'extraction de caractéristiques de forme*, *La gamme automatique en usinage*, Hermès, Paris, 1990.
- GAR92** Gardan Y. – *La CFAO*, Hermès Paris, 1992.
- GF** Farin, G. – *Curves and surfaces for Computer Aided Geometric Design Academic Press Inc. Harcourt Brace Jovanovich, Publishers, San Diego, CA92101*, 1990.
- HCF** Hello CAD Fans, *Colecția revistei* 1992 – 1998.
- IFMP** I.D.Faux, M.J.Pratt – *Computational Geometry for Design and Manufacturing*, Ellis Horwood Publishers, Halsted Press, 1987.
- IGES** *** ANSI – *Formatul IGES* document *www* www.taiormade.com/iges1.htm; 1996.
- JAG** Jagou P. – *Concurrent Engineering*, Hermès, Paris, 1993.
- LEF** Lefur E., Mathieu L. – *Méthodes d'optimisation sous contraintes appliquées à la détermination des conditions de coupe*, *La gamme automatique en usinage*, Hermès, Paris, 1990.
- LEO91** Leon J.-C. – *Modélisation et construction de surfaces pour la CFAO*, Hermès, Paris, 1991.

BIBLIOGRAFIE

- LWRK** *** *RapidWorks*, manual de utilizare; www.lighthwork.com, 1998.
- MANU** *** *The Manufacturer*, colecția revistei, *The Manufacturing Knowledge Group*, 1996 – 1998.
- MAZ** *** *MAZATROL*, manual de utilizare.
- MOL** Moldoveanu F., s.a. – *Grafică pe calculator*, Editura Teora, București, 1996.
- MOR** Moreau R. – *L'approche objets*, Masson, Paris, 1994.
- MSDN** *** *Microsoft Developer Network*, colecția revistei, *Microsoft Press*, 1996 – 1998.
- MUS** Muslea I. – *C++ Programarea orientată pe obiecte*, *Microinformatica*, Cluj, 1992.
- NCV** *** *NC Verify*, *Sirius technology*, *fsier help*, V2.x – V5.0, 1995 – 1998.
- NUM** *** *NUMAFORM*, manual de utilizare.
- RAN** Randoing J.–M. – *Les SGDT*, *Hermès*, Paris, 1995.
- RBPEL** Rumbaugh J., Blaha M., Premerlani W., Eddy F., Lorensen W. – *Object Oriented Modeling and Design* *Prentice Hall Intl.*, *Englewood Cliffs*, *New Jersey*, 1991.
- SAT** *** *Spatial technology – Formatul SAT* <http://www.acis.com/>, 1995 – 1998.
- SAV** Savii G. G. – *Bazele proiectării asistate de calculator*, Editura Mirton, Timișoara, 1997.
- SAV96** Savii G. – *Medii de dezvoltare pentru aplicații de inteligență artificială*, *Universitatea "Politehnica" din Timișoara*, 1996.
- SHI** Shin Y.C., Abdelmonem A.H., Kumara S. – *Neural Networks in Manufacturing and Robotics*, *PED–Vol. 57*, *ASME*, *New York*, 1992.
- SLA94a** Slavici T. – *Contribuții la programarea asistată de calculator a mașinilor unelte cu comandă numerică în vederea prelucrării entităților geometrice complexe*, *Teza de doctorat*, *Universitatea Tehnică Timișoara*, 1994.
- SLA94b** Slavici T., Marinceu D. – *AutoCAD și alte tehnici CAD/CAM*, Editura Mirton, Timișoara, 1994.
- SLA95a** Slavici T., Drăghici G. – *Some Contributions to Determination and Manufacturing of Complex Geometrical Entities*, *Buletinul Stiințific al Universității Tehnice Timișoara*, Tom 40 (54), *Mecanică*, 1995.
- SLA95b** Slavici T., Drăghici G. – *Tehnici de baleiere a suprafețelor complexe în spațiu*, *Lucrările celei de-a VII-a Conferințe Internaționale de Inginerie Managerială și Tehnologică*, Timișoara, iunie 1995.
- SLA96** Slavici T. – *Conducerea cu calculatorul a sistemelor tehnologice*, *Universitatea "Politehnica" din Timișoara*, 1996.
- SOM** Somnea D., s.a. – *Programarea in Assambler*, Editura Tehnica, Bucuresti, 1992.
- SOR** *** *SORI*, manuale de utilizare.
- STL** *** *Formatul STL*, document www.
- TOM** Toma L. – *Sisteme de conversie, achiziție și prelucrare a datelor*, *Universitatea tehnică*, *Timișoara*, 1993.
- TRI** Midtbo T. – *Spatial Modeling by Delaunay Networks of Two and Three Dimensions*, *University of Trondheim*, *Teza de doctorat*, document www, 1996.
- VCPP** Williams M. – *Bazele Visual C++ 4*, Editura Teora, București, 1996.
- ZEI** Zeid I. – *CAD/CAM Theory and Practice*, *McGraw–Hill*, 1991.